

STATICKÝ VÝPOČET

Projekt

Akce : ZŠ Kamenné Žehrovice
Odběratel : Ariprios, s.r.o.
Vypracoval : Ing.Trčka
Datum : 22.01.2024

Norma

Použita národní příloha pro Česko

1 Protokol zatížení: Zatížení sněhem - lávka

Zatížení podle ČSN EN 1991-1-3

Sněhová oblast: vlastní
Základní tíha sněhu $s_k = 0,80 \text{ kN/m}^2$
Typ krajiny: normální
Součinitel expozice $C_e = 1,00$
Tepelný součinitel $C_t = 1,00$
Součinitel zatížení $\gamma_f = 1,50$

Tvar zastřešení: pultová střecha

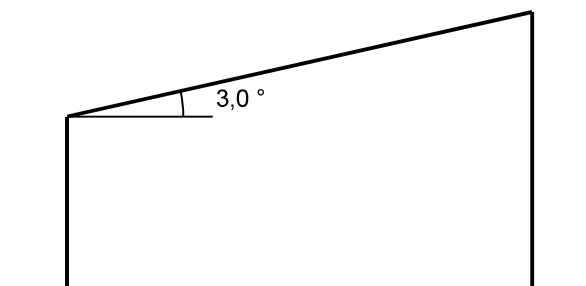
Sklon střechy $\alpha = 3,0^\circ$
Tvarový součinitel $\mu_1 = 0,80$

Charakteristická hodnota zatížení (v závorce návrhová hodnota)

$s_1 = 0,64 \text{ kN/m}^2$ ($0,96 \text{ kN/m}^2$)



0,64;(0,96) [kN/m²]



2 Protokol zatížení: Zatížení větrem

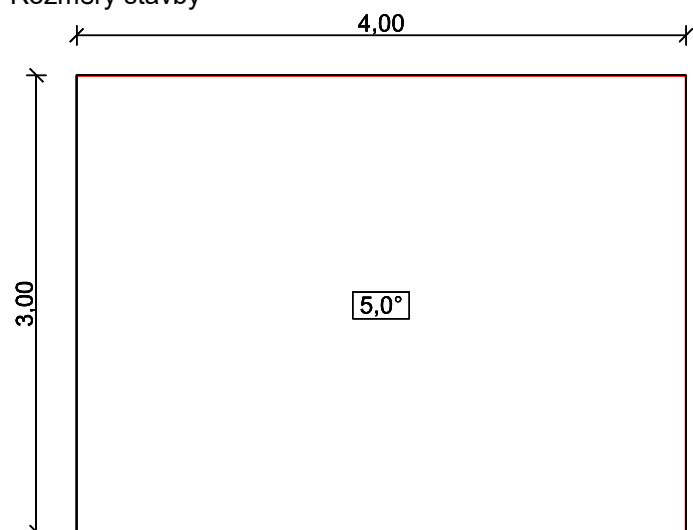
Zatížení podle ČSN EN 1991-1-4

Větrná oblast: II
Rychlost větru $v_{b0} = 25,00 \text{ m/s}$
Kategorie terénu: II
Referenční výška budovy $z_e = 7,20 \text{ m}$
Součinitel směru větru $c_{dir} = 1,00$
Součinitel ročního období $c_{season} = 1,00$
Měrná hmotnost vzduchu $\rho = 1,250 \text{ kg/m}^3$
Součinitel orografie $c_o = 1,00$
Maximální dynamický tlak $q_p = 0,84 \text{ kN/m}^2$
Součinitel zatížení $\gamma_f = 1,50$

Plocha pro stanovení c_{pe} $A = 10,00 \text{ m}^2$

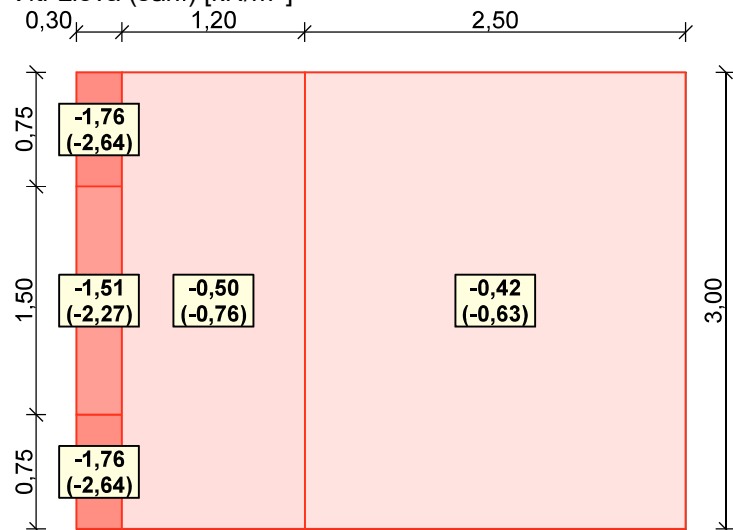
Střecha

Rozměry stavby

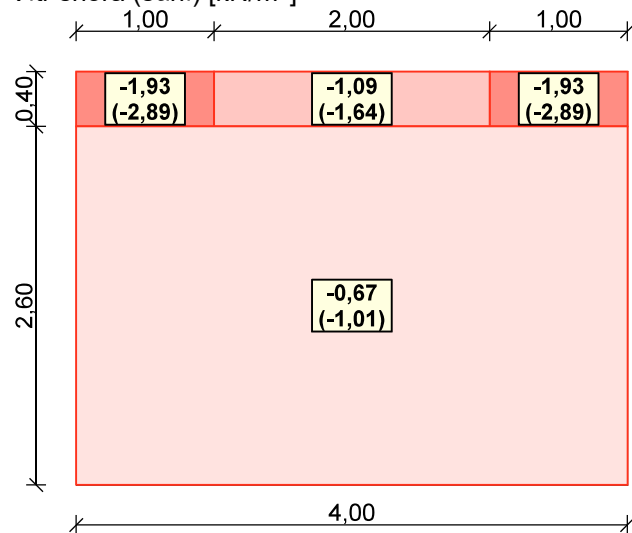


Charakteristické hodnoty zatížení (v závorce návrhové hodnoty)

Vítr zleva (sání) [kN/m²]



Vítr shora (sání) [kN/m²]



3 Protokol zatížení: Zatížení sněhem hlavní objekt přístavby

Zatížení podle ČSN EN 1991-1-3

Sněhová oblast:	vlastní
Základní tíha sněhu s_k	= 0,80 kN/m ²
Typ krajiny:	normální
Součinitel expozice C_e	= 1,00
Tepelný součinitel C_t	= 1,00
Součinitel zatížení γ_f	= 1,50

Tvar zastřešení: sedlová střecha

Sklon střechy α_1	= 18,0 °
Sklon střechy α_2	= 18,0 °
Tvarový součinitel $\mu_1(\alpha_1)$	= 0,80
Tvarový součinitel $\mu_1(\alpha_2)$	= 0,80

Charakteristické hodnoty zatížení (v závorce návrhové hodnoty)

Případ (i) - zatížení nenavátým sněhem:

$$s_1 = 0,64 \text{ kN/m}^2 \text{ (} 0,96 \text{ kN/m}^2 \text{)}$$

$$s_2 = 0,64 \text{ kN/m}^2 \text{ (} 0,96 \text{ kN/m}^2 \text{)}$$

Případ (ii) - zatížení navátým sněhem:

$$s_1 = 0,32 \text{ kN/m}^2 \text{ (} 0,48 \text{ kN/m}^2 \text{)}$$

$$s_2 = 0,64 \text{ kN/m}^2 \text{ (} 0,96 \text{ kN/m}^2 \text{)}$$

Případ (iii) - zatížení navátým sněhem:

$$s_1 = 0,64 \text{ kN/m}^2 \text{ (} 0,96 \text{ kN/m}^2 \text{)}$$

$$s_2 = 0,32 \text{ kN/m}^2 \text{ (} 0,48 \text{ kN/m}^2 \text{)}$$

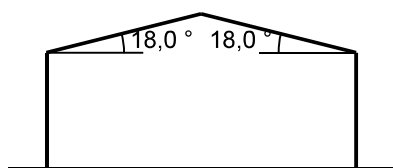
Případ (i)



Případ (ii)



Případ (iii)



4 Protokol zatížení: Zatížení větrem hlavní objekt přístavby

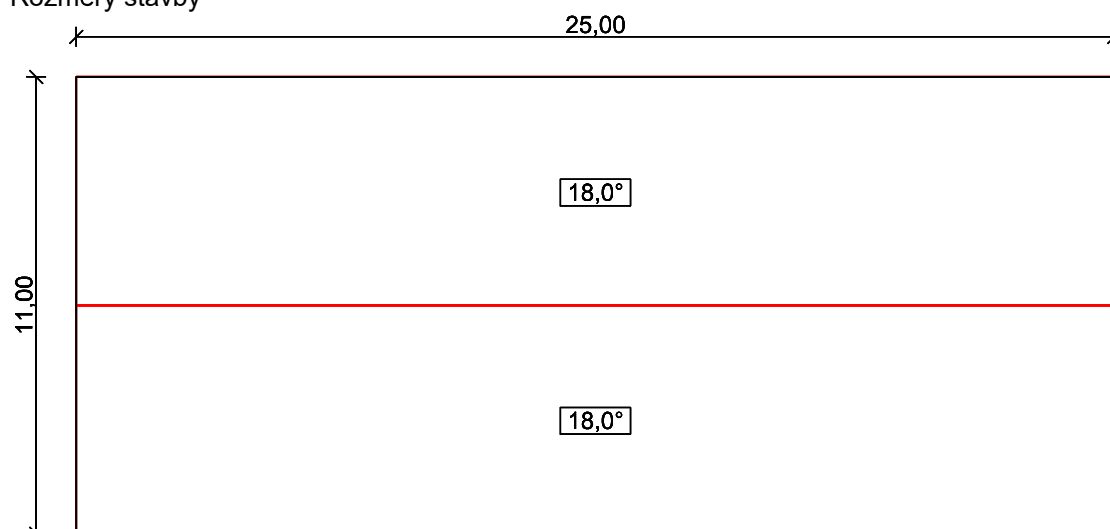
Zatížení podle ČSN EN 1991-1-4

Větrná oblast:	II
Rychlost větru v_{b0}	= 25,00 m/s
Kategorie terénu:	II
Referenční výška budovy z_e	= 9,30 m
Součinitel směru větru c_{dir}	= 1,00
Součinitel ročního období c_{season}	= 1,00
Měrná hmotnost vzduchu ρ	= 1,250 kg/m ³
Součinitel orografie c_o	= 1,00

Maximální dynamický tlak q_p = 0,90 kN/m²
 Součinitel zatížení γ_f = 1,50
 Plocha pro stanovení c_{pe} A = 10,00 m²

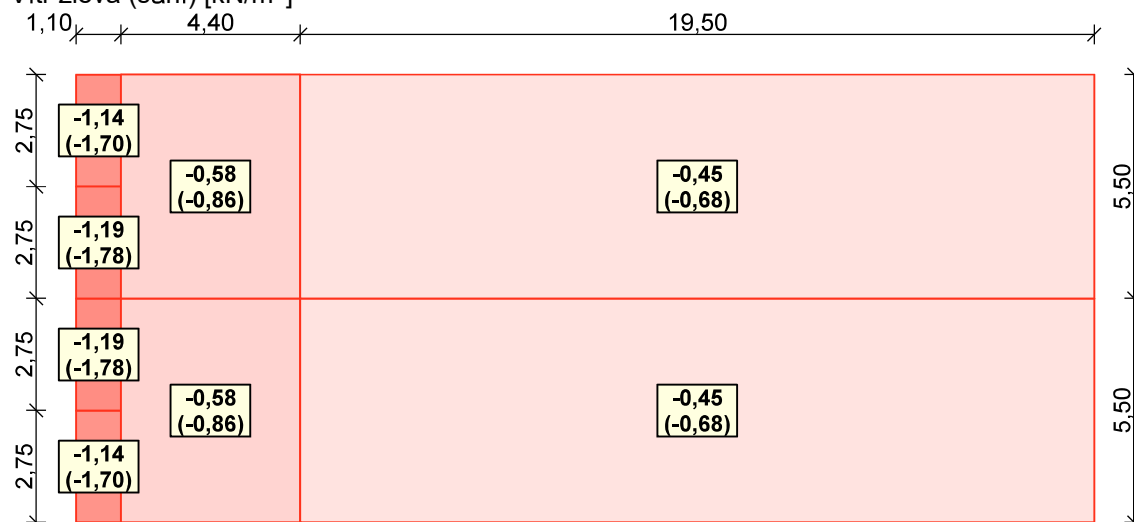
Střecha

Rozměry stavby

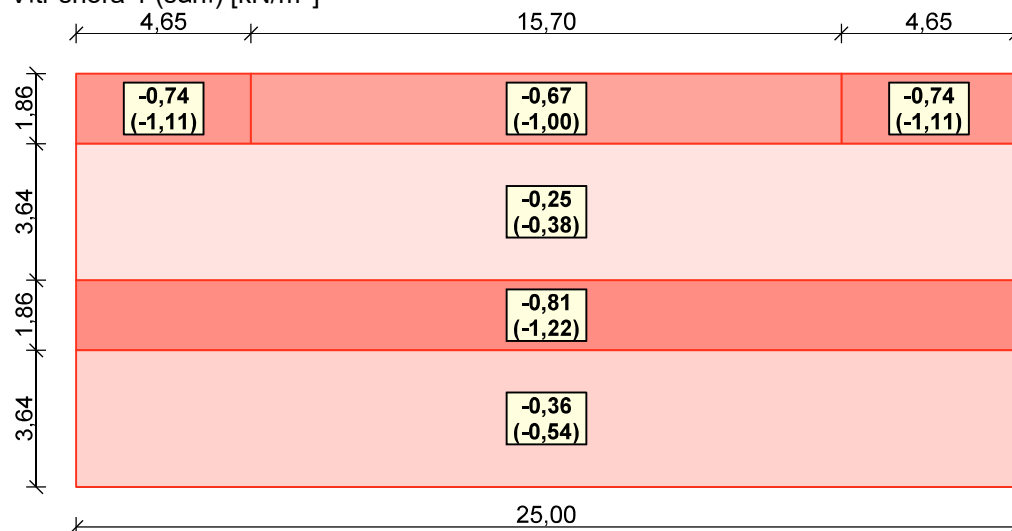


Charakteristické hodnoty zatížení (v závorce návrhové hodnoty)

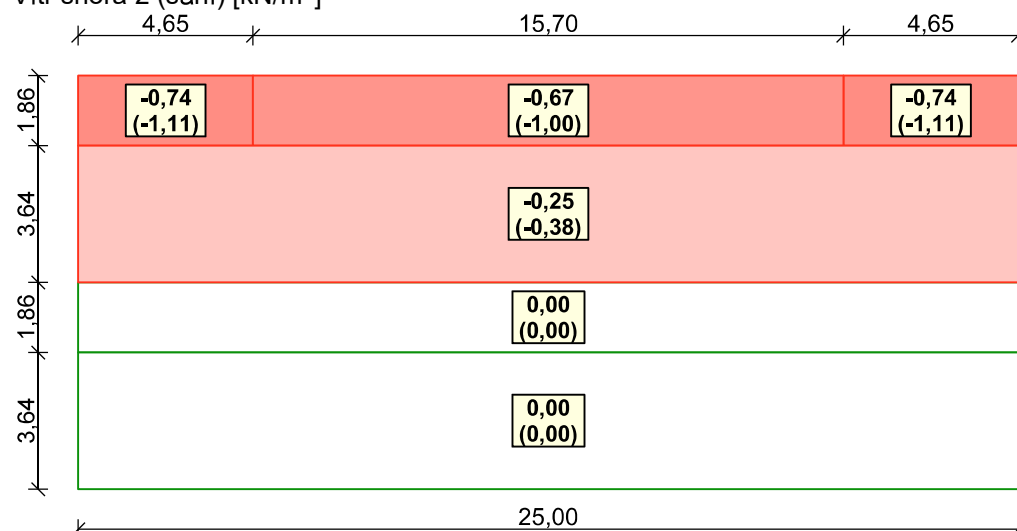
Vítr zleva (sání) [kN/m²]



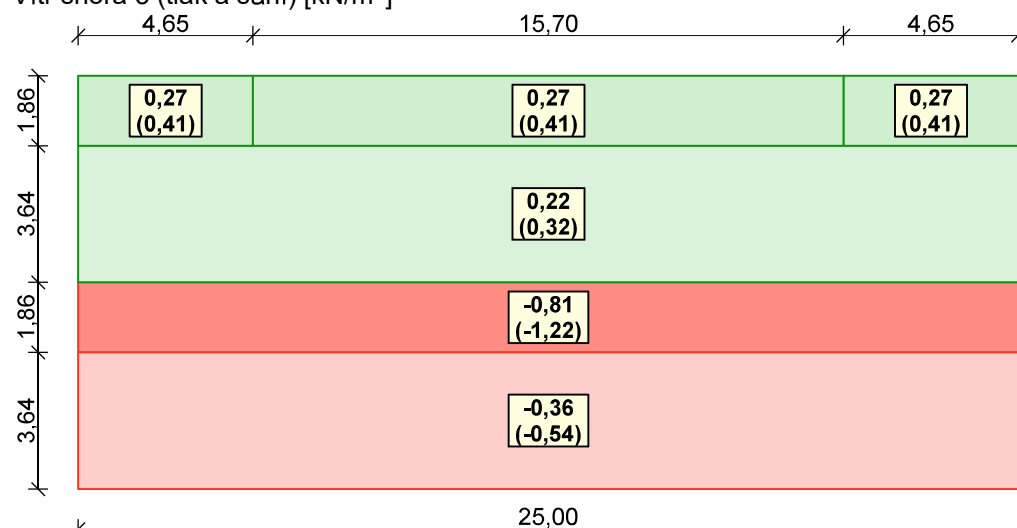
Vítr shora 1 (sání) [kN/m²]



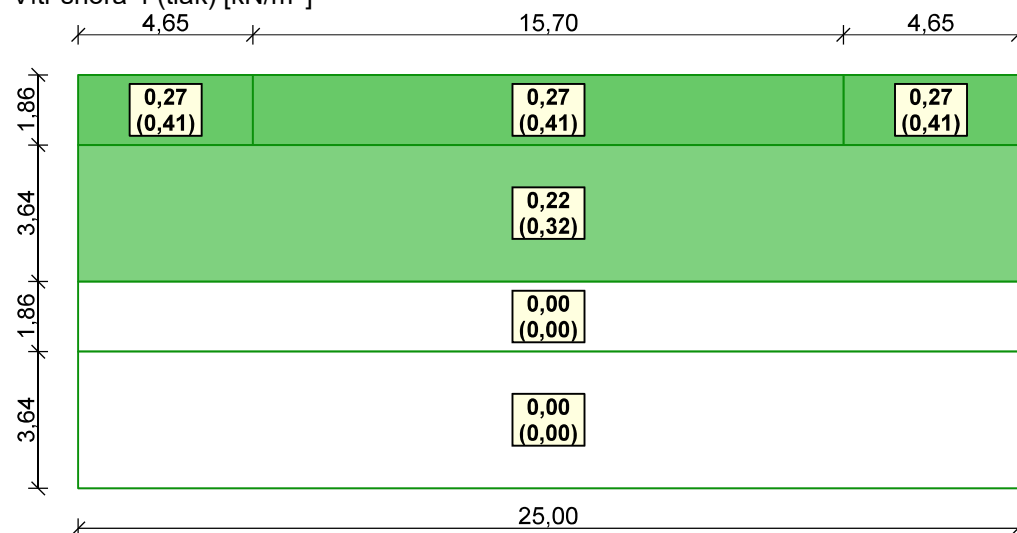
Vítr shora 2 (sání) [kN/m²]



Vítr shora 3 (tlak a sání) [kN/m²]



Vítr shora 4 (tlak) [kN/m²]



1 Projekt

Akce : Krokev pultu nad lávkou

Datum : 22.01.2024

2 Vstupní údaje

2.1 Styčníky

č.	Souřadnice		Podpora						
	Y [m]	Z [m]	Posun Y	K[MN/m]	Posun Z	K[MN/m]	Rotace X	K[MNm]	Natočení [°]
1	0,000	0,000	pevná		pevná				
2	2,200	0,000			pevná				
3	1,100	0,000							

2.2 Dílce

Typ, topologie a profily dílců:

č.	Typ	Zač. styč.	Uložení	Kon. styč.	Průřez	Délka [m]	Natočení [°]	Materiál
1	Nosník	1	---	2	obdélník 100x120	2,200	0,00	C24 - jehličnaté

2.3 Parametry profilů dílců

Průřezové charakteristiky profilů dílců:

Průřez	Plocha průřezu	Smyk. plocha	Mom. setrv.	Sklon hl. os.
	A [mm ²]	A _z [mm ²]	I _{yh} [mm ⁴]	φ [°]
obdélník 100x120	12000	10000	14,4000E+06	0,00

Materiálové charakteristiky profilů dílců:

Materiál	Modul pružnosti	Smykový modul	Koef. tepl. rozt.	Měrná tíha
	E [MPa]	G [MPa]	α _t [1/K]	γ [kN/m ³]
C24 - jehličnaté	11,00E+03	690,0E+00	5,000E-06	4,20

2.4 Zatěžovací stavy

č.	Název	Kód	Typ	γ _f (γ _{f,inf})*	Součinitele pro kombinace				
					ξ	Kateg.*	ψ ₀	ψ ₁	ψ ₂
1	G1 vlastní tíha-stálé	Vlastní tíha	Stálé	1,35(0,90)	0,85	-	-	-	-
2	G2 silové-stálé	Silové	Stálé	1,35(0,90)	0,85	-	-	-	-
3	Q3 silové-proměnné krátkodobé	Silové	Proměnné krátkodobé	1,50	-	H	0,70	0,20	0,00

* γ_{f,inf} pro příznivě působící stálá zatížení

** Kategorie proměnných zatížení podle tabulky A1.1 v EN 1990

2.5 Zatížení styčníků

Zatížení styčníků se v konstrukci nevyskytuje.

2.6 Zatížení dílců

Dílec	Zatížení dílců
Zatěžovací stav č.2 - G2 silové-stálé	
Dílec č.1 1 --- 2, délka 2,200 m	Spojité silové - Po délce ve směru globální osy Z f = -1,10 kN/m

Dílec	Zatížení dílců
Zatěžovací stav č.3 - Q3 silové-proměnné krátkodobé	
Dílec č.1 1 ---- 2, délka 2,200 m	Spojitě silové - Po délce ve směru globální osy Z f = -0,96 kN/m

2.7 Kombinace pro výpočet podle 1.řádu

Kombinace 1. řád, pro posouzení mezního stavu únosnosti (MSÚ)

Číslo	Název a druh kombinace
	Složení
1	Q3:G1+G2; základní kombinace, příznivý účinek stálých zatížení
(inf)	$\gamma_{f,inf,1} \cdot G1 + \gamma_{f,inf,2} \cdot G2 + \gamma_{f,sup,3} \cdot Q3$

Vysvětlivky: (inf) = příznivý účinek působení některých (popř. všech) stálých zatížení použitím součinitele zatížení $\gamma_{f,inf}$

Kombinace 1. řád, pro posouzení mezního stavu použitelnosti (MSP)

Číslo	Název a druh kombinace
	Složení
1	Q3:G1+G2; charakteristická kombinace
	G1 + G2 + Q3

2.8 Hmotnost a povrch dílců

Hmotnost konstrukce

	celkem [kg]
Dřevěné prvky	11,09
Celková hmotnost	11,09

Nátěrová plocha

	celkem [m²]
Dřevěné prvky	0,968
Celková plocha	0,968

3 Výsledky

3.1 Deformace pro zatěžovací stavy

3.1.1 Deformace po styčnicích

Zatěžovací stav		Deformace		
č.	Název	Posun Y [mm]	Posun Z [mm]	Rotace X [mrad]
Styčník č.1 - abs. Y: 0,000 m Z: 0,000 m				
1	G1 vlastní tíha-stálé	0,0	0,0	-0,1
2	G2 silové-stálé	0,0	0,0	-3,1
3	Q3 silové-proměnné krátkodobé	0,0	0,0	-2,7
Styčník č.2 - abs. Y: 2,200 m Z: 0,000 m				
1	G1 vlastní tíha-stálé	0,0	0,0	0,1
2	G2 silové-stálé	0,0	0,0	3,1
3	Q3 silové-proměnné krátkodobé	0,0	0,0	2,7
Styčník č.3 - rel. k 1; 50,00 % od výchozího v ose 1				
1	G1 vlastní tíha-stálé	0,0	-0,1	0,0
2	G2 silové-stálé	0,0	-2,1	0,0
3	Q3 silové-proměnné krátkodobé	0,0	-1,8	0,0

3.1.2 Deformace po zatěžovacích stavech

Styčnick		Deformace		
č.	Popis styčnicku	Posun Y [mm]	Posun Z [mm]	Rotace X [mrad]
Zatěžovací stav č.1 - G1 vlastní tíha-stálé				
1	abs. Y: 0,000 m Z: 0,000 m	0,0	0,0	-0,1
2	abs. Y: 2,200 m Z: 0,000 m	0,0	0,0	0,1
3	rel. k 1; 50,00 % od výchozího v ose 1	0,0	-0,1	0,0
Zatěžovací stav č.2 - G2 silové-stálé				
1	abs. Y: 0,000 m Z: 0,000 m	0,0	0,0	-3,1
2	abs. Y: 2,200 m Z: 0,000 m	0,0	0,0	3,1
3	rel. k 1; 50,00 % od výchozího v ose 1	0,0	-2,1	0,0
Zatěžovací stav č.3 - Q3 silové-proměnné krátkodobé				
1	abs. Y: 0,000 m Z: 0,000 m	0,0	0,0	-2,7
2	abs. Y: 2,200 m Z: 0,000 m	0,0	0,0	2,7
3	rel. k 1; 50,00 % od výchozího v ose 1	0,0	-1,8	0,0

3.1.3 Deformace na dílcích

Dílec č.1 - 1 |----| 2, délka 2,200 m:

Styčnick na dílci			Deformace		
č.	Umístění [m]	Natočení [°]	Posun Y [mm]	Posun Z [mm]	Rotace X [mrad]
Zatěžovací stav č.1 - G1 vlastní tíha-stálé					
1	0,000	-	0,0	0,0	-0,1
-	0,220	-	0,0	0,0	-
-	0,440	-	0,0	-0,1	-
-	0,660	-	0,0	-0,1	-
-	0,880	-	0,0	-0,1	-
3	1,100	-	0,0	-0,1	0,0
-	1,320	-	0,0	-0,1	-
-	1,540	-	0,0	-0,1	-
-	1,760	-	0,0	-0,1	-
-	1,980	-	0,0	0,0	-
2	2,200	-	0,0	0,0	0,1
Zatěžovací stav č.2 - G2 silové-stálé					
1	0,000	-	0,0	0,0	-3,1
-	0,220	-	0,0	-0,7	-
-	0,440	-	0,0	-1,3	-
-	0,660	-	0,0	-1,7	-
-	0,880	-	0,0	-2,0	-
3	1,100	-	0,0	-2,1	0,0
-	1,320	-	0,0	-2,0	-
-	1,540	-	0,0	-1,7	-
-	1,760	-	0,0	-1,3	-
-	1,980	-	0,0	-0,7	-
2	2,200	-	0,0	0,0	3,1
Zatěžovací stav č.3 - Q3 silové-proměnné krátkodobé					
1	0,000	-	0,0	0,0	-2,7
-	0,220	-	0,0	-0,6	-
-	0,440	-	0,0	-1,1	-

Styčnick na dílci			Deformace		
č.	Umístění [m]	Natočení [°]	Posun Y [mm]	Posun Z [mm]	Rotace X [mrad]
-	0,660	-	0,0	-1,5	-
-	0,880	-	0,0	-1,8	-
3	1,100	-	0,0	-1,8	0,0
-	1,320	-	0,0	-1,8	-
-	1,540	-	0,0	-1,5	-
-	1,760	-	0,0	-1,1	-
-	1,980	-	0,0	-0,6	-
2	2,200	-	0,0	0,0	2,7

3.1.4 Extrémy deformací

Kladné extrémy:

Deformace	Zatěžovací stav	Umístění	Hodnota
Posun Y	-	-	0,0 mm
Posun Z	-	-	0,0 mm
Rotace X	Zatěžovací stav 2	Styčnick 2	3,1 mrad

Záporné extrémy:

Deformace	Zatěžovací stav	Umístění	Hodnota
Posun Y	-	-	0,0 mm
Posun Z	Zatěžovací stav 2	Styčnick 3	-2,1 mm
Rotace X	Zatěžovací stav 2	Styčnick 1	-3,1 mrad

3.2 Deformace pro kombinace I.řádu, MSÚ

3.2.1 Deformace po styčnicích

Kombinace 1. řád, pro posouzení mezního stavu únosnosti (MSÚ)

Kombinace I.řád, MSÚ		Deformace		
č.	Název	Posun Y [mm]	Posun Z [mm]	Rotace X [mrad]
Styčnick č.1 - abs. Y: 0,000 m Z: 0,000 m				
1	Q3:G1+G2	0,0	0,0	-6,9
Styčnick č.2 - abs. Y: 2,200 m Z: 0,000 m				
1	Q3:G1+G2	0,0	0,0	6,9
Styčnick č.3 - rel. k 1; 50,00 % od výchozího v ose 1				
1	Q3:G1+G2	0,0	-4,8	0,0

3.2.2 Deformace po kombinacích

Kombinace 1. řád, pro posouzení mezního stavu únosnosti (MSÚ)

Styčnick		Deformace		
č.	Popis styčnicku	Posun Y [mm]	Posun Z [mm]	Rotace X [mrad]
Kombinace č.1 - Q3:G1+G2				
1	abs. Y: 0,000 m Z: 0,000 m	0,0	0,0	-6,9
2	abs. Y: 2,200 m Z: 0,000 m	0,0	0,0	6,9
3	rel. k 1; 50,00 % od výchozího v ose 1	0,0	-4,8	0,0

3.2.3 Deformace na dílcích

Kombinace 1. řád, pro posouzení mezního stavu únosnosti (MSÚ)

Dílec č.1 - 1 |----| 2, délka 2,200 m:

Styčnick na dílci			Deformace		
č.	Umístění [m]	Natočení [°]	Posun Y [mm]	Posun Z [mm]	Rotace X [mrad]
Kombinace č.1 - Q3:G1+G2					
1	0,000	-	0,0	0,0	-6,9
-	0,220	-	0,0	-1,5	-
-	0,440	-	0,0	-2,8	-
-	0,660	-	0,0	-3,9	-
-	0,880	-	0,0	-4,5	-
3	1,100	-	0,0	-4,8	0,0
-	1,320	-	0,0	-4,5	-
-	1,540	-	0,0	-3,9	-
-	1,760	-	0,0	-2,8	-
-	1,980	-	0,0	-1,5	-
2	2,200	-	0,0	0,0	6,9

3.2.4 Extrémy deformací

Kombinace 1. řád, pro posouzení mezního stavu únosnosti (MSÚ)

Kladné extrémy:

Deformace	Kombinace	Umístění	Hodnota
Posun Y	-	-	0,0 mm
Posun Z	-	-	0,0 mm
Rotace X	Kombinace 1	Styčnick 2	6,9 mrad

Záporné extrémy:

Deformace	Kombinace	Umístění	Hodnota
Posun Y	-	-	0,0 mm
Posun Z	Kombinace 1	Styčnick 3	-4,8 mm
Rotace X	Kombinace 1	Styčnick 1	-6,9 mrad

3.3 Deformace pro kombinace I.řádu, MSP

3.3.1 Deformace po styčnicích

Kombinace 1. řád, pro posouzení mezního stavu použitelnosti (MSP)

Kombinace I.řád, MSP		Deformace		
č.	Název	Posun Y [mm]	Posun Z [mm]	Rotace X [mrad]
Styčnick č.1 - abs. Y: 0,000 m Z: 0,000 m				
1	Q3:G1+G2	0,0	0,0	-5,9
Styčnick č.2 - abs. Y: 2,200 m Z: 0,000 m				
1	Q3:G1+G2	0,0	0,0	5,9
Styčnick č.3 - rel. k 1; 50,00 % od výchozího v ose 1				
1	Q3:G1+G2	0,0	-4,1	0,0

3.3.2 Deformace po kombinacích

Kombinace 1. řád, pro posouzení mezního stavu použitelnosti (MSP)

Styčnick		Deformace		
č.	Popis styčnicku	Posun Y [mm]	Posun Z [mm]	Rotace X [mrad]
Kombinace č.1 - Q3:G1+G2				
1	abs. Y: 0,000 m Z: 0,000 m	0,0	0,0	-5,9
2	abs. Y: 2,200 m Z: 0,000 m	0,0	0,0	5,9

Styčnick		Deformace		
č.	Popis styčnicku	Posun Y [mm]	Posun Z [mm]	Rotace X [mrad]
3	rel. k 1; 50,00 % od výchozího v ose 1	0,0	-4,1	0,0

3.3.3 Deformace na dílcích

Kombinace 1. řád, pro posouzení mezního stavu použitelnosti (MSP)

Dílec č.1 - 1 |----| 2, délka 2,200 m:

Styčnick na dílci			Deformace		
č.	Umístění [m]	Natočení [°]	Posun Y [mm]	Posun Z [mm]	Rotace X [mrad]
Kombinace č.1 - Q3:G1+G2					
1	0,000	-	0,0	0,0	-5,9
-	0,220	-	0,0	-1,3	-
-	0,440	-	0,0	-2,4	-
-	0,660	-	0,0	-3,3	-
-	0,880	-	0,0	-3,9	-
3	1,100	-	0,0	-4,1	0,0
-	1,320	-	0,0	-3,9	-
-	1,540	-	0,0	-3,3	-
-	1,760	-	0,0	-2,4	-
-	1,980	-	0,0	-1,3	-
2	2,200	-	0,0	0,0	5,9

3.3.4 Extrémy deformací

Kombinace 1. řád, pro posouzení mezního stavu použitelnosti (MSP)

Kladné extrémy:

Deformace	Kombinace	Umístění	Hodnota
Posun Y	-	-	0,0 mm
Posun Z	-	-	0,0 mm
Rotace X	Kombinace 1	Styčnick 2	5,9 mrad

Záporné extrémy:

Deformace	Kombinace	Umístění	Hodnota
Posun Y	-	-	0,0 mm
Posun Z	Kombinace 1	Styčnick 3	-4,1 mm
Rotace X	Kombinace 1	Styčnick 1	-5,9 mrad

3.4 Reakce pro zatěžovací stavy

3.4.1 Reakce po styčnicích

Zatěžovací stav		Reakce		
č.	Název	R _y [kN]	R _z [kN]	RO _x [kNm]
Styčnick č.1 - abs. Y: 0,000 m Z: 0,000 m				
1	G1 vlastní tíha-stálé	0,00	0,06	-
2	G2 silové-stálé	0,00	1,21	-
3	Q3 silové-proměnné krátkodobé	0,00	1,06	-
Styčnick č.2 - abs. Y: 2,200 m Z: 0,000 m				
1	G1 vlastní tíha-stálé	-	0,06	-
2	G2 silové-stálé	-	1,21	-
3	Q3 silové-proměnné krátkodobé	-	1,06	-

3.4.2 Reakce po zatěžovacích stavech

Styčnick			Reakce		
č.	Popis styčnicku	Natočení [°]	R _y [kN]	R _z [kN]	RO _x [kNm]
Zatěžovací stav č.1 - G1 vlastní tíha-stálé					
1	abs. Y: 0,000 m Z: 0,000 m		0,00	0,06	-
2	abs. Y: 2,200 m Z: 0,000 m		-	0,06	-
Zatěžovací stav č.2 - G2 silové-stálé					
1	abs. Y: 0,000 m Z: 0,000 m		0,00	1,21	-
2	abs. Y: 2,200 m Z: 0,000 m		-	1,21	-
Zatěžovací stav č.3 - Q3 silové-proměnné krátkodobé					
1	abs. Y: 0,000 m Z: 0,000 m		0,00	1,06	-
2	abs. Y: 2,200 m Z: 0,000 m		-	1,06	-

3.4.3 Extrémy reakcí

Kladné extrémy:

Max. reakce	Zatěžovací stav	Styčnick	R _y [kN]	R _z [kN]	RO _x [kNm]
Max.R _y	Zatěžovací stav 1	1	0,00	0,06	-
Max.R _z	Zatěžovací stav 2	1	0,00	1,21	-

Záporné extrémy:

Max. reakce	Zatěžovací stav	Styčnick	R _y [kN]	R _z [kN]	RO _x [kNm]
Min.R _y	Zatěžovací stav 1	1	0,00	0,06	-
Min.R _z	Zatěžovací stav 1	1	0,00	0,06	-

Extrémy po styčnicích:

Max. reakce	Zatěžovací stav	R _y [kN]	R _z [kN]	RO _x [kNm]
Styčnick č.1 - abs. Y: 0,000 m Z: 0,000 m				
Max.R _y	Zatěžovací stav 1	0,00	0,06	-
Max.R _z	Zatěžovací stav 2	0,00	1,21	-
Min.R _y ,R _z	Zatěžovací stav 1	0,00	0,06	-
Styčnick č.1 - abs. Y: 0,000 m Z: 0,000 m				
Max.R _z	Zatěžovací stav 2	-	1,21	-

3.4.4 Součty reakcí ve směrech globálních os

Zatěžovací stav	Ve směru osy Y [kN]	Ve směru osy Z [kN]
Zatěžovací stav 1	0,00	0,11
Zatěžovací stav 2	0,00	2,42
Zatěžovací stav 3	0,00	2,11

3.5 Reakce pro kombinace I.řádu, MSÚ

3.5.1 Reakce po styčnicích

Kombinace 1. řád, pro posouzení mezního stavu únosnosti (MSÚ)

Kombinace I.řád, MSÚ		Reakce		
č.	Název	R _y [kN]	R _z [kN]	RO _x [kNm]
Styčnick č.1 - abs. Y: 0,000 m Z: 0,000 m				
1	Q3:G1+G2	0,00	2,72	-
Styčnick č.2 - abs. Y: 2,200 m Z: 0,000 m				
1	Q3:G1+G2	-	2,72	-

3.5.2 Reakce po kombinacích

Kombinace 1. řád, pro posouzení mezního stavu únosnosti (MSÚ)

Styčnick			Reakce		
č.	Popis styčnicku	Natočení [°]	R _y [kN]	R _z [kN]	RO _x [kNm]
Kombinace č.1 - Q3:G1+G2					
1	abs. Y: 0,000 m Z: 0,000 m		0,00	2,72	-
2	abs. Y: 2,200 m Z: 0,000 m		-	2,72	-

3.5.3 Extrémy reakcí

Kombinace 1. řád, pro posouzení mezního stavu únosnosti (MSÚ)

Kladné extrémy:

Max. reakce	Kombinace	Styčnick	R _y [kN]	R _z [kN]	RO _x [kNm]
Max.R _y	Kombinace 1	1	0,00	2,72	-
Max.R _z	Kombinace 1	2	-	2,72	-

Záporné extrémy:

Max. reakce	Kombinace	Styčnick	R _y [kN]	R _z [kN]	RO _x [kNm]
Min.R _y	Kombinace 1	1	0,00	2,72	-
Min.R _z	Kombinace 1	1	0,00	2,72	-

Extrémy po styčnicích:

Max. reakce	Kombinace	R _y [kN]	R _z [kN]	RO _x [kNm]
Styčnick č.1 - abs. Y: 0,000 m Z: 0,000 m				
Max.R _y ,R _z	Kombinace 1	0,00	2,72	-
Min.R _y ,R _z	Kombinace 1	0,00	2,72	-
Styčnick č.1 - abs. Y: 0,000 m Z: 0,000 m				

3.5.4 Součty reakcí ve směrech globálních os

Kombinace 1. řád, pro posouzení mezního stavu únosnosti (MSÚ)

Kombinace	Ve směru osy Y [kN]	Ve směru osy Z [kN]
Kombinace č.1	0,00	5,45

3.6 Reakce pro kombinace I.řádu, MSP

3.6.1 Reakce po styčnicích

Kombinace 1. řád, pro posouzení mezního stavu použitelnosti (MSP)

Kombinace I.řád, MSP		Reakce		
č.	Název	R _y [kN]	R _z [kN]	RO _x [kNm]
Styčnick č.1 - abs. Y: 0,000 m Z: 0,000 m				
1	Q3:G1+G2	0,00	2,32	-

Kombinace I.řád, MSP		Reakce		
č.	Název	R _y [kN]	R _z [kN]	RO _x [kNm]
Styčnick č.2 - abs. Y: 2,200 m Z: 0,000 m				
1	Q3:G1+G2	-	2,32	-

3.6.2 Reakce po kombinacích

Kombinace 1. řád, pro posouzení mezního stavu použitelnosti (MSP)

Styčnick			Reakce		
č.	Popis styčnicku	Natočení [°]	R _y [kN]	R _z [kN]	RO _x [kNm]
Kombinace č.1 - Q3:G1+G2					
1	abs. Y: 0,000 m Z: 0,000 m		0,00	2,32	-
2	abs. Y: 2,200 m Z: 0,000 m		-	2,32	-

3.6.3 Extrémy reakcí

Kombinace 1. řád, pro posouzení mezního stavu použitelnosti (MSP)

Kladné extrémy:

Max. reakce	Kombinace	Styčnick	R _y [kN]	R _z [kN]	RO _x [kNm]
Max.R _y	Kombinace 1	1	0,00	2,32	-
Max.R _z	Kombinace 1	2	-	2,32	-

Záporné extrémy:

Max. reakce	Kombinace	Styčnick	R _y [kN]	R _z [kN]	RO _x [kNm]
Min.R _y	Kombinace 1	1	0,00	2,32	-
Min.R _z	Kombinace 1	1	0,00	2,32	-

Extrémy po styčnicích:

Max. reakce	Kombinace	R _y [kN]	R _z [kN]	RO _x [kNm]
Styčnick č.1 - abs. Y: 0,000 m Z: 0,000 m				
Max.R _y ,R _z	Kombinace 1	0,00	2,32	-
Min.R _y ,R _z	Kombinace 1	0,00	2,32	-
Styčnick č.1 - abs. Y: 0,000 m Z: 0,000 m				
Max.R _z	Kombinace 1	-	2,32	-
Min.R _z	Kombinace 1	-	2,32	-

3.6.4 Součty reakcí ve směrech globálních os

Kombinace 1. řád, pro posouzení mezního stavu použitelnosti (MSP)

Kombinace	Ve směru osy Y [kN]	Ve směru osy Z [kN]
Kombinace č.1	0,00	4,64

Projekt

Akce : Krokev pultu nad lávkou

Datum : 22.01.2024

Norma

Norma **EN 1995-1-1/Česko**.

Rostlé dřevo, základní kombinace zatížení

: $\gamma_M = 1,300$

Lepené lamelové dřevo, základní kombinace zatížení	: $\gamma_M = 1,250$
LVL, základní kombinace zatížení	: $\gamma_M = 1,200$
Překližka, základní kombinace zatížení	: $\gamma_M = 1,200$
OSB desky, základní kombinace zatížení	: $\gamma_M = 1,200$
Třískové desky, základní kombinace zatížení	: $\gamma_M = 1,300$
Vláknité desky, základní kombinace zatížení	: $\gamma_M = 1,300$
Mimořádná kombinace zatížení	: $\gamma_M = 1,000$

1 1:DD

1.1 Vstupní data

Délka dílce: 2,200 m

Třída provozu: 2

Průřez

Název: obdélník 100x120

Materiál

Název: C24 - jehličnaté

Druh dřeva: rostlé

Při výpočtu je zohledněn součinitel k_h pro zvětšení pevnosti dřeva v tahu a ohybu.

Zatížení - vnitřní síly

Celkový počet zatěžovacích případů: 1

Kombinace č.1 - Q3:G1+G2:

	N[kN]	V ₃ [kN]	M ₂ [kNm]	V ₂ [kN]	M ₃ [kNm]
Max. hodnota	0,000	2,723	1,498	0,000	0,000
Min. hodnota	0,000	-2,723	0,000	0,000	0,000

1.2 Výsledky

Celkové posouzení

Rozhodující zatěžovací případ: Kombinace č.1 - Q3:G1+G2

Vnitřní síly: N = 0,000 kN; M_y = 1,498 kNm; M_z = 0,000 kNm; V_z = 0,000 kN; V_y = 0,000 kN

Posudek ohybu:

Únosnosti: M_{y,R} = 4,170 kNm

0,359 + 0,000 = 0,359 < 1 **Vyhovuje**

Štíhlost dílce: 76,2

Průřez vyhovuje

1 Projekt

Akce : Dvojice nosníků I200 pod stěnou lávky

Datum : 24.02.2024

2 Vstupní údaje

2.1 Styčníky

Typ a souřadnice styčnicků:

č.	Typ	X [m]	Y [m]	Z [m]
1	globální	0,000	0,000	0,000
2	globální	0,000	4,000	0,000

č.	Typ	X [m]	Y [m]	Z [m]
3	relativní na dílci 1	0,000	2,000	0,000

Podpory styčníků:

č.	Souř. systém podpory	Posuny [MN/m]			Rotace [MNm/rad]		
		X	Y	Z	X	Y	Z
1	globální	pevná	pevná	pevná	volná	pevná	pevná
2	globální	pevná	pevná	pevná	volná	pevná	pevná

2.2 Dílce

Typ, topologie a profily dílců:

č.	Typ	Zač. styč.	Kon. styč.	Průřez	Délka [m]	Natočení [°]	Materiál
1	Nosník	1	2	2 x I(IPN) 200	4,000	0,00	EN 10210-1 : S 235

Uložení dílců ve styčnicích (0-volné, 1-pevné, tuhost pružiny, míra zabránění deplanaci):

č.	Na začátku dílce							Na konci dílce						
	Posuny [MN/m]			Natočení [MNm/rad]			Bráněno deplanaci	Posuny [MN/m]			Natočení [MNm/rad]			Bráněno deplanaci
	1	2	3	1	2	3		1	2	3	1	2	3	
1	1	1	1	1	1	1	0,000	1	1	1	1	1	1	0,000

2.3 Parametry profilů dílců

Průřezové charakteristiky profilů dílců:

Průřez	Plocha průřezu	Smyk. plocha		Mom. setrv.		Sklon hl. os.
	A [mm ²]	A _z [mm ²]	A _y [mm ²]	I _y [mm ⁴]	I _z [mm ⁴]	φ [°]
2 x I(IPN) 200	6680,0	3014,9	3415,2	42,8000E+06	15,8470E+06	0,00

Materiálové charakteristiky profilů dílců:

Materiál	Modul pružnosti	Smykový modul	Koef. tepl. rozt.	Měrná tíha
	E [MPa]	G [MPa]	α _t [1/K]	γ [kN/m ³]
EN 10210-1 : S 235	210,0E+03	81,00E+03	12,00E-06	78,50

2.4 Zatěžovací stavy

č.	Název	Kód	Typ	Jako* hlavní	Y _f (Y _{f,inf})**	Součinitele pro kombinace				
						ξ	Kateg.***	ψ ₀	ψ ₁	ψ ₂
1	G1 vlastní tíha-stálé	Vlastní tíha	Stálé	-	1,35(0,90)	0,85	-	-	-	-
2	G2 silové-stálé	Silové	Stálé	-	1,35(0,90)	0,85	-	-	-	-
3	Q3 silové-proměnné krátkodobé	Silové	Proměnné krátkodobé	ANO	1,50	-	C	0,70	0,70	0,60

* zatížení působí v kombinacích jako hlavní proměnné

** Y_{f,inf} pro příznivě působící stálá zatížení

*** Kategorie proměnných zatížení podle tabulky A1.1 v EN 1990

2.5 Zatížení styčníků

Zatížení styčníků se v konstrukci nevyskytuje.

2.6 Zatížení dílců

Dílec	Zatížení dílců
Zatěžovací stav č.2 - G2 silové-stálé	
Dílec č.1 1 ---- 2, délka 4,000 m	Spojité silové - Po délce ve směru globální osy Z f = -19,22 kN/m

Dílec	Zatížení dílců
Zatěžovací stav č.3 - Q3 silové-proměnné krátkodobé	
Dílec č.1 1 ---- 2, délka 4,000 m	Spojitě silové - Po délce ve směru globální osy Z f = -9,00 kN/m

2.7 Kombinace pro výpočet podle 1.řádu

Kombinace 1. řád, pro posouzení mezního stavu únosnosti (MSÚ)

Číslo	Název a druh kombinace
	Složení
1	Q3:G1+G2; základní kombinace, příznivý účinek stálých zatížení
(inf)	$\gamma_{f,inf,1}(0,90)*G1 + \gamma_{f,inf,2}(0,90)*G2 + \gamma_{f,sup,3}(1,50)*Q3$
2	G1+G2; mimořádná kombinace
	G1 + G2

Vysvětlivky: (inf) = příznivý účinek působení některých (popř. všech) stálých zatížení použitím součinitele zatížení $\gamma_{f,inf}$

Kombinace 1. řád, pro posouzení mezního stavu použitelnosti (MSP)

Číslo	Název a druh kombinace
	Složení
1	Q3:G1+G2; charakteristická kombinace
	G1 + G2 + Q3

2.8 Hmotnost a povrch dílců

Objem konstrukce

	celkem [m³]
Ocelové prvky	0,027
Celkový objem	0,027

Hmotnost konstrukce

	celkem [kg]
Ocelové prvky	209,75
Celková hmotnost	209,75

Nátěrová plocha

	celkem [m²]
Ocelové prvky	5,657
Celková plocha	5,657

3 Výsledky

3.1 Deformace pro zatěžovací stavy

3.1.1 Deformace po styčnicích

Zatěžovací stav		Deformace					
č.	Název	Posun X [mm]	Posun Y [mm]	Posun Z [mm]	Rotace X [mrad]	Rotace Y [mrad]	Rotace Z [mrad]
Styčník č.1 - abs. X: 0,000 m Y: 0,000 m Z: 0,000 m							
1	G1 vlastní tíha-stálé	0,0	0,0	0,0	-0,2	0,0	0,0
2	G2 silové-stálé	0,0	0,0	0,0	-5,7	0,0	0,0
3	Q3 silové-proměnné krátkodobé	0,0	0,0	0,0	-2,7	0,0	0,0
Styčník č.2 - abs. X: 0,000 m Y: 4,000 m Z: 0,000 m							
1	G1 vlastní tíha-stálé	0,0	0,0	0,0	0,2	0,0	0,0
2	G2 silové-stálé	0,0	0,0	0,0	5,7	0,0	0,0

Zatěžovací stav		Deformace					
č.	Název	Posun X [mm]	Posun Y [mm]	Posun Z [mm]	Rotace X [mrad]	Rotace Y [mrad]	Rotace Z [mrad]
3	Q3 silové-proměnné krátkodobé	0,0	0,0	0,0	2,7	0,0	0,0
Styčnick č.3 - rel. k 1; 50,00 % od výchozího v ose 1							
1	G1 vlastní tíha-stálé	0,0	0,0	-0,2	0,0	0,0	0,0
2	G2 silové-stálé	0,0	0,0	-7,1	0,0	0,0	0,0
3	Q3 silové-proměnné krátkodobé	0,0	0,0	-3,3	0,0	0,0	0,0

3.1.2 Deformace po zatěžovacích stavech

Styčnick		Deformace					
č.	Popis styčnicku	Posun X [mm]	Posun Y [mm]	Posun Z [mm]	Rotace X [mrad]	Rotace Y [mrad]	Rotace Z [mrad]
Zatěžovací stav č.1 - G1 vlastní tíha-stálé							
1	abs. X: 0,000 m Y: 0,000 m Z: 0,000 m	0,0	0,0	0,0	-0,2	0,0	0,0
2	abs. X: 0,000 m Y: 4,000 m Z: 0,000 m	0,0	0,0	0,0	0,2	0,0	0,0
3	rel. k 1; 50,00 % od výchozího v ose 1	0,0	0,0	-0,2	0,0	0,0	0,0
Zatěžovací stav č.2 - G2 silové-stálé							
1	abs. X: 0,000 m Y: 0,000 m Z: 0,000 m	0,0	0,0	0,0	-5,7	0,0	0,0
2	abs. X: 0,000 m Y: 4,000 m Z: 0,000 m	0,0	0,0	0,0	5,7	0,0	0,0
3	rel. k 1; 50,00 % od výchozího v ose 1	0,0	0,0	-7,1	0,0	0,0	0,0
Zatěžovací stav č.3 - Q3 silové-proměnné krátkodobé							
1	abs. X: 0,000 m Y: 0,000 m Z: 0,000 m	0,0	0,0	0,0	-2,7	0,0	0,0
2	abs. X: 0,000 m Y: 4,000 m Z: 0,000 m	0,0	0,0	0,0	2,7	0,0	0,0
3	rel. k 1; 50,00 % od výchozího v ose 1	0,0	0,0	-3,3	0,0	0,0	0,0

3.1.3 Deformace na dílcích

Dílec č.1: 1 |----| 2, délka 4,000 m:

Styčnick na dílci		Deformace					
č.	Umístění [m]	Posun X [mm]	Posun Y [mm]	Posun Z [mm]	Rotace X [mrad]	Rotace Y [mrad]	Rotace Z [mrad]
Zatěžovací stav č.1 - G1 vlastní tíha-stálé							
1	0,000	0,0	0,0	0,0	-0,2	0,0	0,0
-	0,222	0,0	0,0	0,0	-	-	-
-	0,444	0,0	0,0	-0,1	-	-	-
-	0,667	0,0	0,0	-0,1	-	-	-
-	0,889	0,0	0,0	-0,1	-	-	-
-	1,111	0,0	0,0	-0,1	-	-	-
-	1,333	0,0	0,0	-0,2	-	-	-
-	1,556	0,0	0,0	-0,2	-	-	-
-	1,778	0,0	0,0	-0,2	-	-	-
3	2,000	0,0	0,0	-0,2	0,0	0,0	0,0
-	2,222	0,0	0,0	-0,2	-	-	-
-	2,444	0,0	0,0	-0,2	-	-	-
-	2,667	0,0	0,0	-0,2	-	-	-
-	2,889	0,0	0,0	-0,1	-	-	-
-	3,111	0,0	0,0	-0,1	-	-	-
-	3,333	0,0	0,0	-0,1	-	-	-
-	3,556	0,0	0,0	-0,1	-	-	-
-	3,778	0,0	0,0	0,0	-	-	-

Styčník na dílci		Deformace					
č.	Umístění [m]	Posun X [mm]	Posun Y [mm]	Posun Z [mm]	Rotace X [mrad]	Rotace Y [mrad]	Rotace Z [mrad]
2	4,000	0,0	0,0	0,0	0,2	0,0	0,0
Zatěžovací stav č.2 - G2 silové-stálé							
1	0,000	0,0	0,0	0,0	-5,7	0,0	0,0
-	0,222	0,0	0,0	-1,3	-	-	-
-	0,444	0,0	0,0	-2,5	-	-	-
-	0,667	0,0	0,0	-3,6	-	-	-
-	0,889	0,0	0,0	-4,6	-	-	-
-	1,111	0,0	0,0	-5,5	-	-	-
-	1,333	0,0	0,0	-6,2	-	-	-
-	1,556	0,0	0,0	-6,7	-	-	-
-	1,778	0,0	0,0	-7,0	-	-	-
3	2,000	0,0	0,0	-7,1	0,0	0,0	0,0
-	2,222	0,0	0,0	-7,0	-	-	-
-	2,444	0,0	0,0	-6,7	-	-	-
-	2,667	0,0	0,0	-6,2	-	-	-
-	2,889	0,0	0,0	-5,5	-	-	-
-	3,111	0,0	0,0	-4,6	-	-	-
-	3,333	0,0	0,0	-3,6	-	-	-
-	3,556	0,0	0,0	-2,5	-	-	-
-	3,778	0,0	0,0	-1,3	-	-	-
2	4,000	0,0	0,0	0,0	5,7	0,0	0,0
Zatěžovací stav č.3 - Q3 silové-proměnné krátkodobé							
1	0,000	0,0	0,0	0,0	-2,7	0,0	0,0
-	0,222	0,0	0,0	-0,6	-	-	-
-	0,444	0,0	0,0	-1,2	-	-	-
-	0,667	0,0	0,0	-1,7	-	-	-
-	0,889	0,0	0,0	-2,2	-	-	-
-	1,111	0,0	0,0	-2,6	-	-	-
-	1,333	0,0	0,0	-2,9	-	-	-
-	1,556	0,0	0,0	-3,1	-	-	-
-	1,778	0,0	0,0	-3,3	-	-	-
3	2,000	0,0	0,0	-3,3	0,0	0,0	0,0
-	2,222	0,0	0,0	-3,3	-	-	-
-	2,444	0,0	0,0	-3,1	-	-	-
-	2,667	0,0	0,0	-2,9	-	-	-
-	2,889	0,0	0,0	-2,6	-	-	-
-	3,111	0,0	0,0	-2,2	-	-	-
-	3,333	0,0	0,0	-1,7	-	-	-
-	3,556	0,0	0,0	-1,2	-	-	-
-	3,778	0,0	0,0	-0,6	-	-	-
2	4,000	0,0	0,0	0,0	2,7	0,0	0,0

3.1.4 Extrémy deformací

Kladné extrémy:

Deformace	Zatěžovací stav	Umístění	Hodnota
Posun X	-	-	0,0 mm
Posun Y	-	-	0,0 mm

Deformace	Zatěžovací stav	Umístění	Hodnota
Posun Z	-	-	0,0 mm
Rotace X	Zatěžovací stav 2	Styčnick 2	5,7 mrad
Rotace Y	-	-	0,0 mrad
Rotace Z	-	-	0,0 mrad

Záporné extrémy:

Deformace	Zatěžovací stav	Umístění	Hodnota
Posun X	-	-	0,0 mm
Posun Y	-	-	0,0 mm
Posun Z	Zatěžovací stav 2	Styčnick 3	-7,1 mm
Rotace X	Zatěžovací stav 2	Styčnick 1	-5,7 mrad
Rotace Y	-	-	0,0 mrad
Rotace Z	-	-	0,0 mrad

3.2 Deformace pro kombinace I.řádu, MSÚ

3.2.1 Deformace po styčnicích

Kombinace 1. řád, pro posouzení mezního stavu únosnosti (MSÚ)

Kombinace I.řád, MSÚ		Deformace					
č.	Název	Posun X [mm]	Posun Y [mm]	Posun Z [mm]	Rotace X [mrad]	Rotace Y [mrad]	Rotace Z [mrad]
Styčnick č.1 - abs. X: 0,000 m Y: 0,000 m Z: 0,000 m							
1	Q3:G1+G2	0,0	0,0	0,0	-9,3	0,0	0,0
2	G1+G2	0,0	0,0	0,0	-5,9	0,0	0,0
Styčnick č.2 - abs. X: 0,000 m Y: 4,000 m Z: 0,000 m							
1	Q3:G1+G2	0,0	0,0	0,0	9,3	0,0	0,0
2	G1+G2	0,0	0,0	0,0	5,9	0,0	0,0
Styčnick č.3 - rel. k 1; 50,00 % od výchozího v ose 1							
1	Q3:G1+G2	0,0	0,0	-11,6	0,0	0,0	0,0
2	G1+G2	0,0	0,0	-7,3	0,0	0,0	0,0

3.2.2 Deformace po kombinacích

Kombinace 1. řád, pro posouzení mezního stavu únosnosti (MSÚ)

Styčnick		Deformace					
č.	Popis styčnicku	Posun X [mm]	Posun Y [mm]	Posun Z [mm]	Rotace X [mrad]	Rotace Y [mrad]	Rotace Z [mrad]
Kombinace č.1 - Q3:G1+G2							
1	abs. X: 0,000 m Y: 0,000 m Z: 0,000 m	0,0	0,0	0,0	-9,3	0,0	0,0
2	abs. X: 0,000 m Y: 4,000 m Z: 0,000 m	0,0	0,0	0,0	9,3	0,0	0,0
3	rel. k 1; 50,00 % od výchozího v ose 1	0,0	0,0	-11,6	0,0	0,0	0,0
Kombinace č.2 - G1+G2							
1	abs. X: 0,000 m Y: 0,000 m Z: 0,000 m	0,0	0,0	0,0	-5,9	0,0	0,0
2	abs. X: 0,000 m Y: 4,000 m Z: 0,000 m	0,0	0,0	0,0	5,9	0,0	0,0
3	rel. k 1; 50,00 % od výchozího v ose 1	0,0	0,0	-7,3	0,0	0,0	0,0

3.2.3 Deformace na dílcích

Kombinace 1. řád, pro posouzení mezního stavu únosnosti (MSÚ)

Dílec č.1: 1 |----| 2, délka 4,000 m:

Styčník na dílci		Deformace					
č.	Umístění [m]	Posun X [mm]	Posun Y [mm]	Posun Z [mm]	Rotace X [mrad]	Rotace Y [mrad]	Rotace Z [mrad]
Kombinace č.1 - Q3:G1+G2							
1	0,000	0,0	0,0	0,0	-9,3	0,0	0,0
-	0,222	0,0	0,0	-2,0	-	-	-
-	0,444	0,0	0,0	-4,0	-	-	-
-	0,667	0,0	0,0	-5,9	-	-	-
-	0,889	0,0	0,0	-7,5	-	-	-
-	1,111	0,0	0,0	-8,9	-	-	-
-	1,333	0,0	0,0	-10,1	-	-	-
-	1,556	0,0	0,0	-10,9	-	-	-
-	1,778	0,0	0,0	-11,4	-	-	-
3	2,000	0,0	0,0	-11,6	0,0	0,0	0,0
-	2,222	0,0	0,0	-11,4	-	-	-
-	2,444	0,0	0,0	-10,9	-	-	-
-	2,667	0,0	0,0	-10,1	-	-	-
-	2,889	0,0	0,0	-8,9	-	-	-
-	3,111	0,0	0,0	-7,5	-	-	-
-	3,333	0,0	0,0	-5,9	-	-	-
-	3,556	0,0	0,0	-4,0	-	-	-
-	3,778	0,0	0,0	-2,0	-	-	-
2	4,000	0,0	0,0	0,0	9,3	0,0	0,0
Kombinace č.2 - G1+G2							
1	0,000	0,0	0,0	0,0	-5,9	0,0	0,0
-	0,222	0,0	0,0	-1,3	-	-	-
-	0,444	0,0	0,0	-2,5	-	-	-
-	0,667	0,0	0,0	-3,7	-	-	-
-	0,889	0,0	0,0	-4,7	-	-	-
-	1,111	0,0	0,0	-5,6	-	-	-
-	1,333	0,0	0,0	-6,4	-	-	-
-	1,556	0,0	0,0	-6,9	-	-	-
-	1,778	0,0	0,0	-7,2	-	-	-
3	2,000	0,0	0,0	-7,3	0,0	0,0	0,0
-	2,222	0,0	0,0	-7,2	-	-	-
-	2,444	0,0	0,0	-6,9	-	-	-
-	2,667	0,0	0,0	-6,4	-	-	-
-	2,889	0,0	0,0	-5,6	-	-	-
-	3,111	0,0	0,0	-4,7	-	-	-
-	3,333	0,0	0,0	-3,7	-	-	-
-	3,556	0,0	0,0	-2,5	-	-	-
-	3,778	0,0	0,0	-1,3	-	-	-
2	4,000	0,0	0,0	0,0	5,9	0,0	0,0

3.2.4 Extrémy deformací

Kombinace 1. řád, pro posouzení mezního stavu únosnosti (MSÚ)

Kladné extrémy:

Deformace	Kombinace	Umístění	Hodnota
Posun X	-	-	0,0 mm

Deformace	Kombinace	Umístění	Hodnota
Posun Y	-	-	0,0 mm
Posun Z	-	-	0,0 mm
Rotace X	Kombinace 1	Styčnick 2	9,3 mrad
Rotace Y	-	-	0,0 mrad
Rotace Z	-	-	0,0 mrad

Záporné extrémy:

Deformace	Kombinace	Umístění	Hodnota
Posun X	-	-	0,0 mm
Posun Y	-	-	0,0 mm
Posun Z	Kombinace 1	Styčnick 3	-11,6 mm
Rotace X	Kombinace 1	Styčnick 1	-9,3 mrad
Rotace Y	-	-	0,0 mrad
Rotace Z	-	-	0,0 mrad

3.3 Deformace pro kombinace I.řádu, MSP

3.3.1 Deformace po styčnicích

Kombinace 1. řád, pro posouzení mezního stavu použitelnosti (MSP)

Kombinace I.řád, MSP		Deformace					
č.	Název	Posun X [mm]	Posun Y [mm]	Posun Z [mm]	Rotace X [mrad]	Rotace Y [mrad]	Rotace Z [mrad]
Styčnick č.1 - abs. X: 0,000 m Y: 0,000 m Z: 0,000 m							
1	Q3:G1+G2	0,0	0,0	0,0	-8,5	0,0	0,0
Styčnick č.2 - abs. X: 0,000 m Y: 4,000 m Z: 0,000 m							
1	Q3:G1+G2	0,0	0,0	0,0	8,5	0,0	0,0
Styčnick č.3 - rel. k 1; 50,00 % od výchozího v ose 1							
1	Q3:G1+G2	0,0	0,0	-10,7	0,0	0,0	0,0

3.3.2 Deformace po kombinacích

Kombinace 1. řád, pro posouzení mezního stavu použitelnosti (MSP)

Styčnick		Deformace					
č.	Popis styčnicku	Posun X [mm]	Posun Y [mm]	Posun Z [mm]	Rotace X [mrad]	Rotace Y [mrad]	Rotace Z [mrad]
Kombinace č.1 - Q3:G1+G2							
1	abs. X: 0,000 m Y: 0,000 m Z: 0,000 m	0,0	0,0	0,0	-8,5	0,0	0,0
2	abs. X: 0,000 m Y: 4,000 m Z: 0,000 m	0,0	0,0	0,0	8,5	0,0	0,0
3	rel. k 1; 50,00 % od výchozího v ose 1	0,0	0,0	-10,7	0,0	0,0	0,0

3.3.3 Deformace na dílcích

Kombinace 1. řád, pro posouzení mezního stavu použitelnosti (MSP)

Dílec č.1: 1 |---| 2, délka 4,000 m:

Styčnick na dílcí		Deformace					
č.	Umístění [m]	Posun X [mm]	Posun Y [mm]	Posun Z [mm]	Rotace X [mrad]	Rotace Y [mrad]	Rotace Z [mrad]
Kombinace č.1 - Q3:G1+G2							
1	0,000	0,0	0,0	0,0	-8,5	0,0	0,0
-	0,222	0,0	0,0	-1,9	-	-	-
-	0,444	0,0	0,0	-3,7	-	-	-
-	0,667	0,0	0,0	-5,4	-	-	-
-	0,889	0,0	0,0	-6,9	-	-	-

Styčnick na dílci		Deformace					
č.	Umístění [m]	Posun X [mm]	Posun Y [mm]	Posun Z [mm]	Rotace X [mrad]	Rotace Y [mrad]	Rotace Z [mrad]
-	1,111	0,0	0,0	-8,2	-	-	-
-	1,333	0,0	0,0	-9,3	-	-	-
-	1,556	0,0	0,0	-10,0	-	-	-
-	1,778	0,0	0,0	-10,5	-	-	-
3	2,000	0,0	0,0	-10,7	0,0	0,0	0,0
-	2,222	0,0	0,0	-10,5	-	-	-
-	2,444	0,0	0,0	-10,0	-	-	-
-	2,667	0,0	0,0	-9,3	-	-	-
-	2,889	0,0	0,0	-8,2	-	-	-
-	3,111	0,0	0,0	-6,9	-	-	-
-	3,333	0,0	0,0	-5,4	-	-	-
-	3,556	0,0	0,0	-3,7	-	-	-
-	3,778	0,0	0,0	-1,9	-	-	-
2	4,000	0,0	0,0	0,0	8,5	0,0	0,0

3.3.4 Extrémy deformací

Kombinace 1. řád, pro posouzení mezního stavu použitelnosti (MSP)

Kladné extrémy:

Deformace	Kombinace	Umístění	Hodnota
Posun X	-	-	0,0 mm
Posun Y	-	-	0,0 mm
Posun Z	-	-	0,0 mm
Rotace X	Kombinace 1	Styčnick 2	8,5 mrad
Rotace Y	-	-	0,0 mrad
Rotace Z	-	-	0,0 mrad

Záporné extrémy:

Deformace	Kombinace	Umístění	Hodnota
Posun X	-	-	0,0 mm
Posun Y	-	-	0,0 mm
Posun Z	Kombinace 1	Styčnick 3	-10,7 mm
Rotace X	Kombinace 1	Styčnick 1	-8,5 mrad
Rotace Y	-	-	0,0 mrad
Rotace Z	-	-	0,0 mrad

3.4 Reakce pro zatěžovací stavy

3.4.1 Reakce po styčnicích

Zatěžovací stav		Reakce					
č.	Název	R _x [kN]	R _y [kN]	R _z [kN]	RO _x [kNm]	RO _y [kNm]	RO _z [kNm]
Styčnick č.1 - abs. X: 0,000 m Y: 0,000 m Z: 0,000 m							
1	G1 vlastní tíha-stálé	0,00	0,00	1,05	-	0,00	0,00
2	G2 silové-stálé	0,00	0,00	38,44	-	0,00	0,00
-	G1+G2	0,00	0,00	39,49	-	0,00	0,00
3	Q3 silové-proměnné krátkodobé	0,00	0,00	18,00	-	0,00	0,00
Styčnick č.2 - abs. X: 0,000 m Y: 4,000 m Z: 0,000 m							
1	G1 vlastní tíha-stálé	0,00	0,00	1,05	-	0,00	0,00
2	G2 silové-stálé	0,00	0,00	38,44	-	0,00	0,00

Zatěžovací stav		Reakce					
č.	Název	R _x [kN]	R _y [kN]	R _z [kN]	RO _x [kNm]	RO _y [kNm]	RO _z [kNm]
-	G1+G2	0,00	0,00	39,49	-	0,00	0,00
3	Q3 silové-proměnné krátkodobé	0,00	0,00	18,00	-	0,00	0,00

3.4.2 Reakce po zatěžovacích stavech

Styčník		Reakce					
č.	Popis styčnicku	R _x [kN]	R _y [kN]	R _z [kN]	RO _x [kNm]	RO _y [kNm]	RO _z [kNm]
Zatěžovací stav č.1 - G1 vlastní tíha-stálé							
1	abs. X: 0,000 m Y: 0,000 m Z: 0,000 m	0,00	0,00	1,05	-	0,00	0,00
2	abs. X: 0,000 m Y: 4,000 m Z: 0,000 m	0,00	0,00	1,05	-	0,00	0,00
Zatěžovací stav č.2 - G2 silové-stálé							
1	abs. X: 0,000 m Y: 0,000 m Z: 0,000 m	0,00	0,00	38,44	-	0,00	0,00
2	abs. X: 0,000 m Y: 4,000 m Z: 0,000 m	0,00	0,00	38,44	-	0,00	0,00
Zatěžovací stav č.3 - Q3 silové-proměnné krátkodobé							
1	abs. X: 0,000 m Y: 0,000 m Z: 0,000 m	0,00	0,00	18,00	-	0,00	0,00
2	abs. X: 0,000 m Y: 4,000 m Z: 0,000 m	0,00	0,00	18,00	-	0,00	0,00

3.4.3 Extrémny reakcí

Kladné extrémy:

Max. reakce	Zatěžovací stav	Styčník	R _x [kN]	R _y [kN]	R _z [kN]	RO _x [kNm]	RO _y [kNm]	RO _z [kNm]
Max.R _x	Zatěžovací stav 1	1	0,00	0,00	1,05	-	0,00	0,00
Max.R _y	Zatěžovací stav 1	1	0,00	0,00	1,05	-	0,00	0,00
Max.R _z	Zatěžovací stav 2	1	0,00	0,00	38,44	-	0,00	0,00
Max.RO _y	Zatěžovací stav 1	1	0,00	0,00	1,05	-	0,00	0,00
Max.RO _z	Zatěžovací stav 1	1	0,00	0,00	1,05	-	0,00	0,00

Záporné extrémy:

Max. reakce	Zatěžovací stav	Styčník	R _x [kN]	R _y [kN]	R _z [kN]	RO _x [kNm]	RO _y [kNm]	RO _z [kNm]
Min.R _x	Zatěžovací stav 1	1	0,00	0,00	1,05	-	0,00	0,00
Min.R _y	Zatěžovací stav 1	1	0,00	0,00	1,05	-	0,00	0,00
Min.R _z	Zatěžovací stav 1	1	0,00	0,00	1,05	-	0,00	0,00
Min.RO _y	Zatěžovací stav 1	1	0,00	0,00	1,05	-	0,00	0,00
Min.RO _z	Zatěžovací stav 1	1	0,00	0,00	1,05	-	0,00	0,00

Extrémy po styčnicích:

Max. reakce	Zatěžovací stav	R _x [kN]	R _y [kN]	R _z [kN]	RO _x [kNm]	RO _y [kNm]	RO _z [kNm]
Styčník č.1 - abs. X: 0,000 m Y: 0,000 m Z: 0,000 m							
Max.R _x ,R _y ,RO _y ,RO _z	Zatěžovací stav 1	0,00	0,00	1,05	-	0,00	0,00
Max.R _z	Zatěžovací stav 2	0,00	0,00	38,44	-	0,00	0,00
Min.R _x ,R _y ,R _z ,RO _y ,RO _z	Zatěžovací stav 1	0,00	0,00	1,05	-	0,00	0,00
Styčník č.2 - abs. X: 0,000 m Y: 4,000 m Z: 0,000 m							
Max.R _x ,R _y ,RO _y ,RO _z	Zatěžovací stav 1	0,00	0,00	1,05	-	0,00	0,00
Max.R _z	Zatěžovací stav 2	0,00	0,00	38,44	-	0,00	0,00
Min.R _x ,R _y ,R _z ,RO _y ,RO _z	Zatěžovací stav 1	0,00	0,00	1,05	-	0,00	0,00

3.4.4 Součty reakcí ve směrech globálních os

Zatěžovací stav	Ve směru osy X [kN]	Ve směru osy Y [kN]	Ve směru osy Z [kN]
Zatěžovací stav 1	0,00	0,00	2,10
Zatěžovací stav 2	0,00	0,00	76,88
Zatěžovací stav 3	0,00	0,00	36,00

3.5 Reakce pro kombinace I.řádu, MSÚ

3.5.1 Reakce po styčnicích

Kombinace 1. řád, pro posouzení mezního stavu únosnosti (MSÚ)

Kombinace I.řád, MSÚ		Reakce					
č.	Název	R _x [kN]	R _y [kN]	R _z [kN]	RO _x [kNm]	RO _y [kNm]	RO _z [kNm]
Styčnick č.1 - abs. X: 0,000 m Y: 0,000 m Z: 0,000 m							
1	Q3:G1+G2	0,00	0,00	62,54	-	0,00	0,00
2	G1+G2	0,00	0,00	39,49	-	0,00	0,00
Styčnick č.2 - abs. X: 0,000 m Y: 4,000 m Z: 0,000 m							
1	Q3:G1+G2	0,00	0,00	62,54	-	0,00	0,00
2	G1+G2	0,00	0,00	39,49	-	0,00	0,00

3.5.2 Reakce po kombinacích

Kombinace 1. řád, pro posouzení mezního stavu únosnosti (MSÚ)

Styčnick		Reakce					
č.	Popis styčnicku	R _x [kN]	R _y [kN]	R _z [kN]	RO _x [kNm]	RO _y [kNm]	RO _z [kNm]
Kombinace č.1 - Q3:G1+G2							
1	abs. X: 0,000 m Y: 0,000 m Z: 0,000 m	0,00	0,00	62,54	-	0,00	0,00
2	abs. X: 0,000 m Y: 4,000 m Z: 0,000 m	0,00	0,00	62,54	-	0,00	0,00
Kombinace č.2 - G1+G2							
1	abs. X: 0,000 m Y: 0,000 m Z: 0,000 m	0,00	0,00	39,49	-	0,00	0,00
2	abs. X: 0,000 m Y: 4,000 m Z: 0,000 m	0,00	0,00	39,49	-	0,00	0,00

3.5.3 Extrémy reakcí

Kombinace 1. řád, pro posouzení mezního stavu únosnosti (MSÚ)

Kladné extrémy:

Max. reakce	Kombinace	Styčnick	R _x [kN]	R _y [kN]	R _z [kN]	RO _x [kNm]	RO _y [kNm]	RO _z [kNm]
Max.R _x	Kombinace 1	1	0,00	0,00	62,54	-	0,00	0,00
Max.R _y	Kombinace 1	1	0,00	0,00	62,54	-	0,00	0,00
Max.R _z	Kombinace 1	1	0,00	0,00	62,54	-	0,00	0,00
Max.RO _y	Kombinace 1	1	0,00	0,00	62,54	-	0,00	0,00
Max.RO _z	Kombinace 1	1	0,00	0,00	62,54	-	0,00	0,00

Záporné extrémy:

Max. reakce	Kombinace	Styčnick	R _x [kN]	R _y [kN]	R _z [kN]	RO _x [kNm]	RO _y [kNm]	RO _z [kNm]
Min.R _x	Kombinace 1	1	0,00	0,00	62,54	-	0,00	0,00
Min.R _y	Kombinace 1	1	0,00	0,00	62,54	-	0,00	0,00
Min.R _z	Kombinace 2	1	0,00	0,00	39,49	-	0,00	0,00
Min.RO _y	Kombinace 1	1	0,00	0,00	62,54	-	0,00	0,00

Max. reakce	Kombinace	Styčník	R _x [kN]	R _y [kN]	R _z [kN]	RO _x [kNm]	RO _y [kNm]	RO _z [kNm]
Min.RO _z	Kombinace 1	1	0,00	0,00	62,54	-	0,00	0,00

Extrémy po styčnicích:

Max. reakce	Kombinace	R _x [kN]	R _y [kN]	R _z [kN]	RO _x [kNm]	RO _y [kNm]	RO _z [kNm]
Styčník č.1 - abs. X: 0,000 m Y: 0,000 m Z: 0,000 m							
Max.R _x ,R _y ,R _z ,RO _y ,RO _z	Kombinace 1	0,00	0,00	62,54	-	0,00	0,00
Min.R _x ,R _y ,RO _y ,RO _z	Kombinace 1	0,00	0,00	62,54	-	0,00	0,00
Min.R _z	Kombinace 2	0,00	0,00	39,49	-	0,00	0,00
Styčník č.2 - abs. X: 0,000 m Y: 4,000 m Z: 0,000 m							
Max.R _x ,R _y ,R _z ,RO _y ,RO _z	Kombinace 1	0,00	0,00	62,54	-	0,00	0,00
Min.R _x ,R _y ,RO _y ,RO _z	Kombinace 1	0,00	0,00	62,54	-	0,00	0,00
Min.R _z	Kombinace 2	0,00	0,00	39,49	-	0,00	0,00

3.5.4 Součty reakcí ve směrech globálních os

Kombinace 1. řád, pro posouzení mezního stavu únosnosti (MSÚ)

Kombinace	Ve směru osy X [kN]	Ve směru osy Y [kN]	Ve směru osy Z [kN]
Kombinace č.1	0,00	0,00	125,08
Kombinace č.2	0,00	0,00	78,98

3.6 Reakce pro kombinace I.řádu, MSP

3.6.1 Reakce po styčnicích

Kombinace 1. řád, pro posouzení mezního stavu použitelnosti (MSP)

Kombinace I.řád, MSP		Reakce					
č.	Název	R _x [kN]	R _y [kN]	R _z [kN]	RO _x [kNm]	RO _y [kNm]	RO _z [kNm]
Styčník č.1 - abs. X: 0,000 m Y: 0,000 m Z: 0,000 m							
1	Q3:G1+G2	0,00	0,00	57,49	-	0,00	0,00
Styčník č.2 - abs. X: 0,000 m Y: 4,000 m Z: 0,000 m							
1	Q3:G1+G2	0,00	0,00	57,49	-	0,00	0,00

3.6.2 Reakce po kombinacích

Kombinace 1. řád, pro posouzení mezního stavu použitelnosti (MSP)

Styčník		Reakce					
č.	Popis styčnicku	R _x [kN]	R _y [kN]	R _z [kN]	RO _x [kNm]	RO _y [kNm]	RO _z [kNm]
Kombinace č.1 - Q3:G1+G2							
1	abs. X: 0,000 m Y: 0,000 m Z: 0,000 m	0,00	0,00	57,49	-	0,00	0,00
2	abs. X: 0,000 m Y: 4,000 m Z: 0,000 m	0,00	0,00	57,49	-	0,00	0,00

3.6.3 Extrémy reakcí

Kombinace 1. řád, pro posouzení mezního stavu použitelnosti (MSP)

Kladné extrémy:

Max. reakce	Kombinace	Styčník	R _x [kN]	R _y [kN]	R _z [kN]	RO _x [kNm]	RO _y [kNm]	RO _z [kNm]
Max.R _x	Kombinace 1	1	0,00	0,00	57,49	-	0,00	0,00
Max.R _y	Kombinace 1	1	0,00	0,00	57,49	-	0,00	0,00
Max.R _z	Kombinace 1	1	0,00	0,00	57,49	-	0,00	0,00

Max. reakce	Kombinace	Styčník	R _x [kN]	R _y [kN]	R _z [kN]	RO _x [kNm]	RO _y [kNm]	RO _z [kNm]
Max.RO _y	Kombinace 1	1	0,00	0,00	57,49	-	0,00	0,00
Max.RO _z	Kombinace 1	1	0,00	0,00	57,49	-	0,00	0,00

Záporné extrémy:

Max. reakce	Kombinace	Styčník	R _x [kN]	R _y [kN]	R _z [kN]	RO _x [kNm]	RO _y [kNm]	RO _z [kNm]
Min.R _x	Kombinace 1	1	0,00	0,00	57,49	-	0,00	0,00
Min.R _y	Kombinace 1	1	0,00	0,00	57,49	-	0,00	0,00
Min.R _z	Kombinace 1	1	0,00	0,00	57,49	-	0,00	0,00
Min.RO _y	Kombinace 1	1	0,00	0,00	57,49	-	0,00	0,00
Min.RO _z	Kombinace 1	1	0,00	0,00	57,49	-	0,00	0,00

Extrémy po styčnicích:

Max. reakce	Kombinace	R _x [kN]	R _y [kN]	R _z [kN]	RO _x [kNm]	RO _y [kNm]	RO _z [kNm]
Styčník č.1 - abs. X: 0,000 m Y: 0,000 m Z: 0,000 m							
Max.R _x ,R _y ,R _z ,RO _y ,RO _z	Kombinace 1	0,00	0,00	57,49	-	0,00	0,00
Min.R _x ,R _y ,R _z ,RO _y ,RO _z	Kombinace 1	0,00	0,00	57,49	-	0,00	0,00
Styčník č.2 - abs. X: 0,000 m Y: 4,000 m Z: 0,000 m							
Max.R _x ,R _y ,R _z ,RO _y ,RO _z	Kombinace 1	0,00	0,00	57,49	-	0,00	0,00
Min.R _x ,R _y ,R _z ,RO _y ,RO _z	Kombinace 1	0,00	0,00	57,49	-	0,00	0,00

3.6.4 Součty reakcí ve směrech globálních os

Kombinace 1. řád, pro posouzení mezního stavu použitelnosti (MSP)

Kombinace	Ve směru osy X [kN]	Ve směru osy Y [kN]	Ve směru osy Z [kN]
Kombinace č.1	0,00	0,00	114,98

Projekt

Akce : Dvojice nosníků I200 pod stěnou lávky

Datum : 24.02.2024

Norma

Norma **EN 1993-1-1, EN 1993-1-3, EN 1993-1-4/Česko.**

Součinitele pro ocelové konstrukce

Únosnost průřezu : $\gamma_{M0} = 1,0$

Únosnost průřezu při posuzování stability : $\gamma_{M1} = 1,0$

Únosnost oslabeného průřezu : $\gamma_{M2} = 1,25$

Součinitele pro korozivzdornou ocel

Únosnost průřezu : $\gamma_{M0} = 1,1$

Únosnost průřezu při posuzování stability : $\gamma_{M1} = 1,1$

Únosnost oslabeného průřezu : $\gamma_{M2} = 1,25$

1 1:DD

1.1 Vstupní data

Délka dílce: 4,000 m

Průřez

Úsek č.	Začátek [m]	Konec [m]	Průřez	Natočení [°]
1	0,000	4,000	2 x I(IPN) 200	0,0

Materiál

Název: EN 10210-1 : S 235

Vnitřní síly

Celkový počet zatěžovacích případů: 2

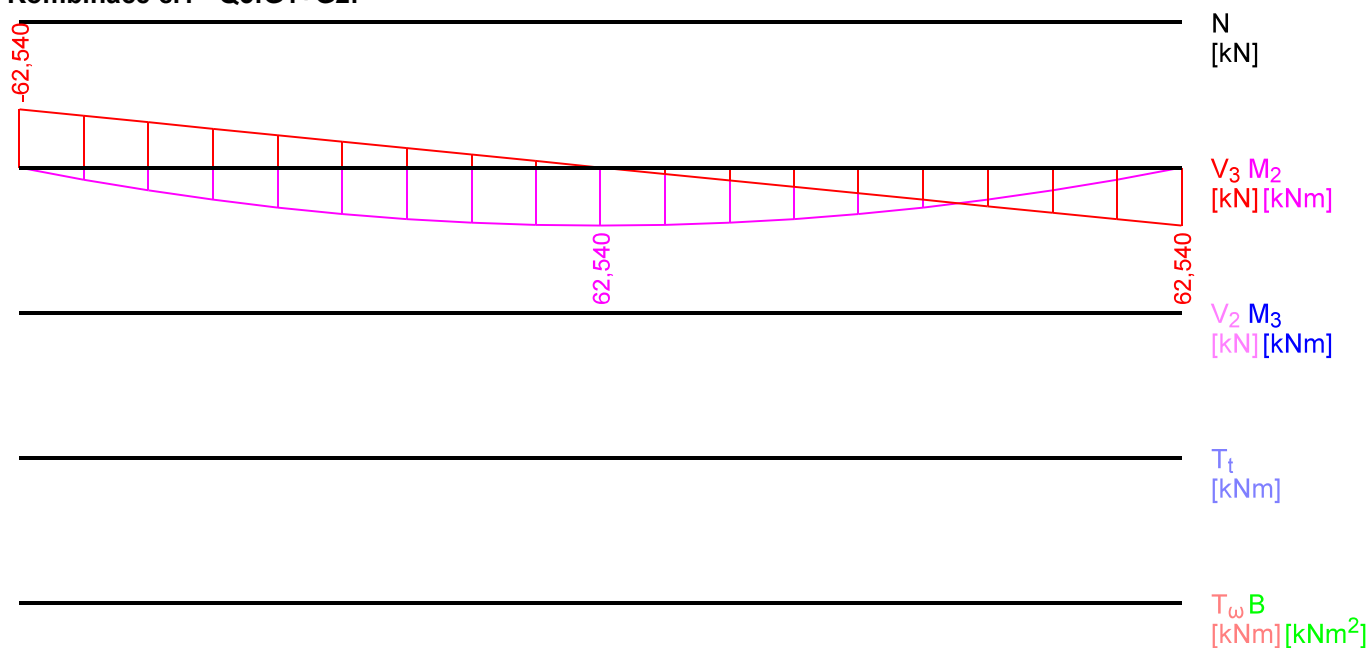
Kombinace č.1 - Q3:G1+G2:

	N[kN]	V ₃ [kN]	M ₂ [kNm]	V ₂ [kN]	M ₃ [kNm]	T _t [kNm]	T _ω [kNm]	B[kNm ²]
Max. hodnota	0,000	62,540	62,540	0,000	0,000	0,000	0,000	0,000
Min. hodnota	0,000	-62,540	0,000	0,000	0,000	0,000	0,000	0,000

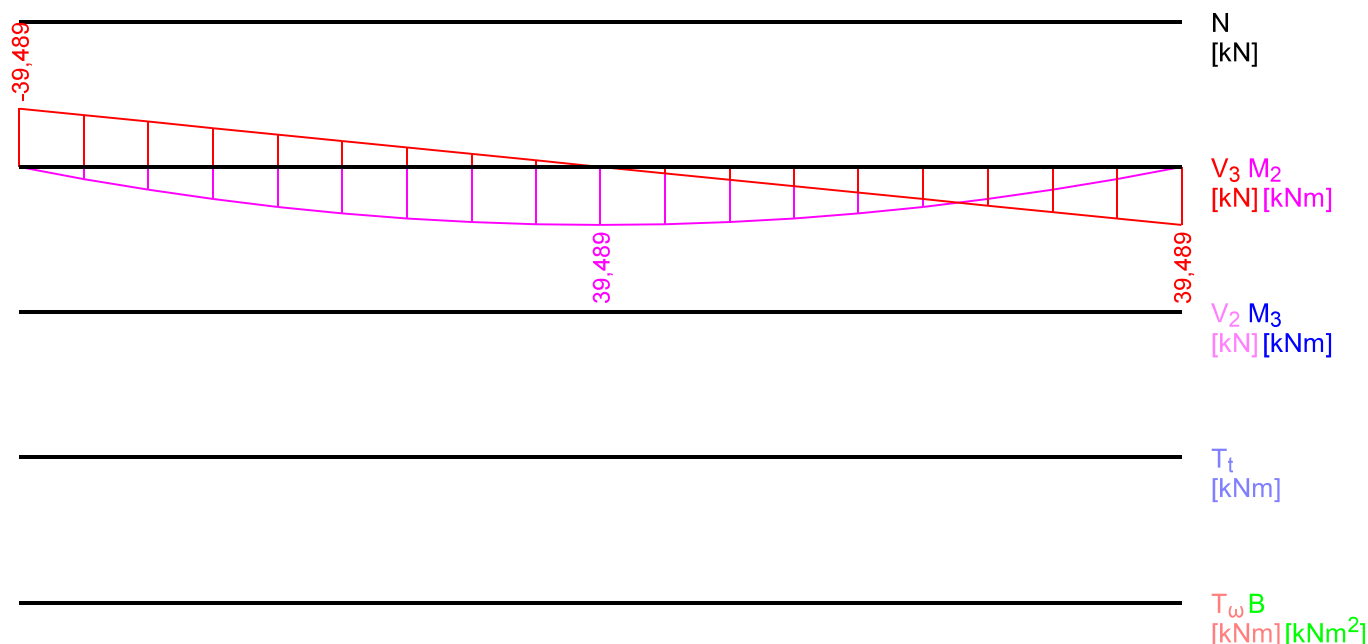
Kombinace č.2 - G1+G2:

	N[kN]	V ₃ [kN]	M ₂ [kNm]	V ₂ [kN]	M ₃ [kNm]	T _t [kNm]	T _ω [kNm]	B[kNm ²]
Max. hodnota	0,000	39,489	39,489	0,000	0,000	0,000	0,000	0,000
Min. hodnota	0,000	-39,489	0,000	0,000	0,000	0,000	0,000	0,000

Kombinace č.1 - Q3:G1+G2:



Kombinace č.2 - G1+G2:



Vzpěr

Vzpěr při vybočení kolmo k ose z:

Úsek č.	Začátek [m]	Konec [m]	Délka pro vzpěr [m]	Souč. vzp. délky k_z	Vzpěrná délka $L_{cr,z}$ [m]	Zadaná vzpěrná křivka
1	0,000	4,000	4,000	Nezadáno	Nezadáno	-

Vzpěr při vybočení kolmo k ose y:

Úsek č.	Začátek [m]	Konec [m]	Délka pro vzpěr [m]	Souč. vzp. délky k_y	Vzpěrná délka $L_{cr,y}$ [m]	Zadaná vzpěrná křivka
1	0,000	4,000	4,000	Nezadáno	Nezadáno	-

Klopení

Klopení od momentu M_y :

Úsek č.	Začátek [m]	Konec [m]	l_{z1} [m]	Tvar momentové plochy	Poloha zatížení
1	0,000	4,000	Nezadáno	Nezadáno	-

Klopení od momentu M_z :

Úsek č.	Začátek [m]	Konec [m]	l_{y1} [m]	Tvar momentové plochy	Poloha zatížení
1	0,000	4,000	Nezadáno	Nezadáno	-

1.2 Výsledky

Celkové posouzení

Rozhodující zatěžovací případ: Kombinace č.1 - Q3:G1+G2; **Třída průřezu:** 1

Vnitřní síly: $N = 0,000$ kN; $M_y = 62,540$ kNm; $M_z = 0,000$ kNm

Posudek nejnepriznivější kombinace prostého tahu a ohybu:

Únosnosti: $M_{y,R} = 116,599$ kNm

$|0,0 + 0,536 + 0,0| = |0,536| < 1$ **Vyhovuje**

Štíhlost dílce: 82,1

Průřez vyhovuje

Projekt

Akce : Dvojice nosníků I200 pod stěnou lávky
Datum : 24.02.2024

Norma

Norma **EN 1993-1-2/Česko**.

Spolehlivost oceli při požáru : $\gamma_{M,fi} = 1,0$

1 1:DD

1.1 Vstupní data

Délka dílce: 4,000 m

Průřez

Úsek č.	Začátek [m]	Konec [m]	Průřez	Natočení [°]
1	0,000	4,000	2 x I(IPN) 200	0,0

Materiál

Název: EN 10210-1 : S 235

Požární detail

Průřez zakrytý truhlíkem, exponovaný ze tří stran

Materiál požární ochrany: Desky - sádrové desky

Tloušťka d_p : 20,0 mm

Hustota ρ_p : 800,0 kg/m³

Měrné teplo c_p : 1700,0 J/kg/K

Tepelná vodivost λ_p : 0,200 W/m/K

Teplotní křivka

Normová teplotní křivka

$20 + 345 \times \log_{10}(8 \cdot t + 1)$

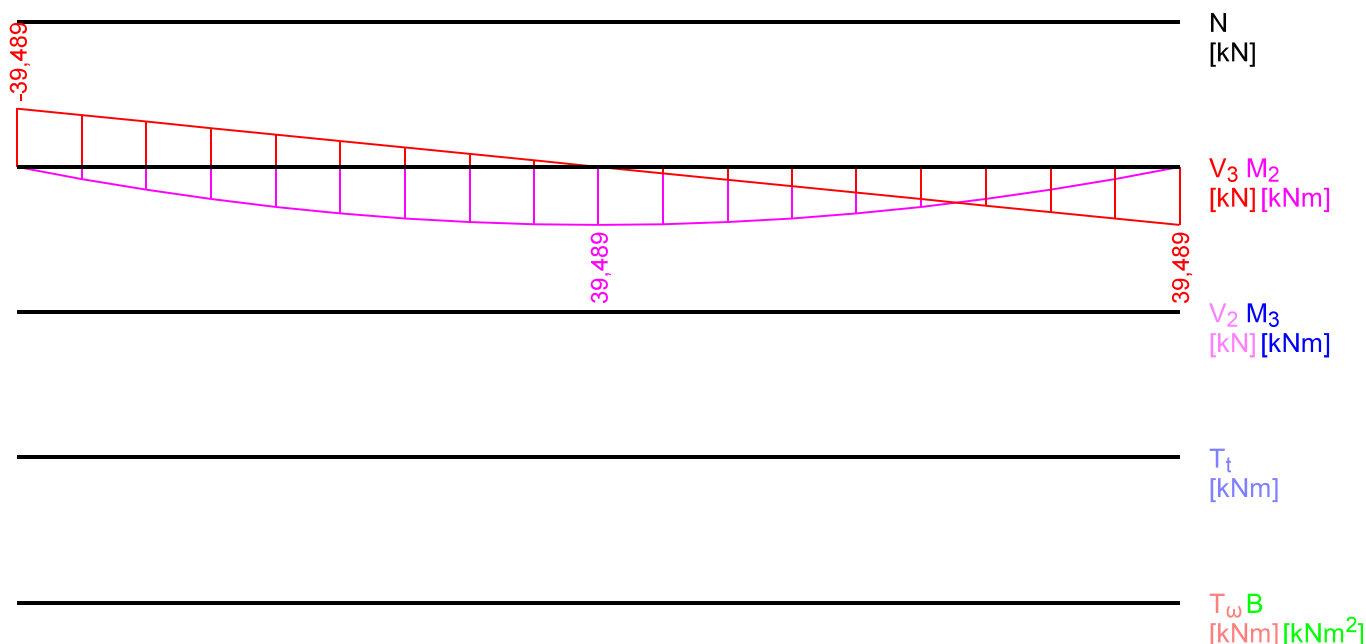
Vnitřní síly

Celkový počet zatěžovacích případů: 1

Kombinace č.2 - G1+G2:

	N[kN]	V ₃ [kN]	M ₂ [kNm]	V ₂ [kN]	M ₃ [kNm]	T _t [kNm]	T _ω [kNm]	B[kNm ²]
Max. hodnota	0,000	39,489	39,489	0,000	0,000	0,000	0,000	0,000
Min. hodnota	0,000	-39,489	0,000	0,000	0,000	0,000	0,000	0,000

Kombinace č.2 - G1+G2:



Vzpěr

Vzpěr při vybočení kolmo k ose z:

Úsek č.	Začátek [m]	Konec [m]	Délka pro vzpěr [m]	Souč. vzp. délky k_z	Vzpěrná délka $L_{cr,z}$ [m]	Zadaná vzpěrná křivka
1	0,000	4,000	4,000	Nezadáno	Nezadáno	-

Vzpěr při vybočení kolmo k ose y:

Úsek č.	Začátek [m]	Konec [m]	Délka pro vzpěr [m]	Souč. vzp. délky k_y	Vzpěrná délka $L_{cr,y}$ [m]	Zadaná vzpěrná křivka
1	0,000	4,000	4,000	Nezadáno	Nezadáno	-

Klopení

Klopení od momentu M_y :

Úsek č.	Začátek [m]	Konec [m]	I_{z1} [m]	Tvar momentové plochy	Poloha zatížení
1	0,000	4,000	Nezadáno	Nezadáno	-

Klopení od momentu M_z :

Úsek č.	Začátek [m]	Konec [m]	I_{y1} [m]	Tvar momentové plochy	Poloha zatížení
1	0,000	4,000	Nezadáno	Nezadáno	-

1.2 Výsledky

Celkové posouzení

Rozhodující zatěžovací případ: Kombinace č.2 - G1+G2; **Třída průřezu:** 1

Kritická teplota: 675,9°C **Doba požární odolnosti:** 138,0 min \geq 15,0 min **Vyhovuje**

Posouzení v čase $t = 15,0$ min:

Teplota plynů: 738,6°C Teplota oceli: 91,2°C

Vnitřní síly: $N = 0,000$ kN; $M_y = 39,489$ kNm; $M_z = 0,000$ kNm

Posudek nejneprůzračnější kombinace prostého tahu a ohybu:

Únosnosti: $M_{y,R} = 137,175$ kNm

$|0,0 + 0,288 + 0,0| = |0,288| < 1$ **Vyhovuje**

Průřez vyhovuje

1 Projekt

Akce : Typický sbíjený vazník z prvků 40_160
Datum : 24.02.2024

2 Vstupní údaje

2.1 Styčníky

Typ a souřadnice styčnicků:

č.	Typ	X [m]	Y [m]	Z [m]
1	globální	0,000	0,000	0,000
2	globální	0,000	1,000	0,000
3	globální	0,000	2,000	0,000
4	globální	0,000	3,000	0,000
5	globální	0,000	4,000	0,000
6	globální	0,000	5,000	0,000
7	globální	0,000	6,000	0,000
8	globální	0,000	7,000	0,000
9	globální	0,000	8,000	0,000
10	globální	0,000	9,000	0,000
11	globální	0,000	10,000	0,000
12	globální	0,000	1,000	0,300
13	globální	0,000	2,000	0,600
14	globální	0,000	3,000	0,900
15	globální	0,000	4,000	1,200
16	globální	0,000	5,000	1,500
17	globální	0,000	6,000	1,200
18	globální	0,000	7,000	0,900
19	globální	0,000	8,000	0,600
20	globální	0,000	9,000	0,300

Podpory styčnicků:

č.	Souř. systém podpory	Posuny [MN/m]			Rotace [MNm/rad]		
		X	Y	Z	X	Y	Z
1	globální	pevná	pevná	pevná	volná	pevná	pevná
11	globální	pevná	volná	pevná	volná	pevná	pevná

2.2 Dílce

Typ, topologie a profily dílců:

č.	Typ	Zač. styč.	Kon. styč.	Průřez	Délka	Natočení	Materiál
					[m]	[°]	
1	Nosník	1	2	obdélník 40x160	1,000	0,00	C24 - jehličnaté
2	Nosník	3	2	obdélník 40x160	1,000	0,00	C24 - jehličnaté
3	Nosník	3	4	obdélník 40x160	1,000	0,00	C24 - jehličnaté
4	Nosník	5	4	obdélník 40x160	1,000	0,00	C24 - jehličnaté
5	Nosník	5	6	obdélník 40x160	1,000	0,00	C24 - jehličnaté
6	Nosník	7	6	obdélník 40x160	1,000	0,00	C24 - jehličnaté
7	Nosník	7	8	obdélník 40x160	1,000	0,00	C24 - jehličnaté
8	Nosník	9	8	obdélník 40x160	1,000	0,00	C24 - jehličnaté
9	Nosník	9	10	obdélník 40x160	1,000	0,00	C24 - jehličnaté
10	Nosník	11	10	obdélník 40x160	1,000	0,00	C24 - jehličnaté

č.	Typ	Zač. styč.	Kon. styč.	Průřez	Délka	Natočení	Materiál
					[m]	[°]	
11	Nosník	1	12	obdélník 40x160	1,044	0,00	C24 - jehličnaté
12	Nosník	13	12	obdélník 40x160	1,044	0,00	C24 - jehličnaté
13	Nosník	13	14	obdélník 40x160	1,044	0,00	C24 - jehličnaté
14	Nosník	15	14	obdélník 40x160	1,044	0,00	C24 - jehličnaté
15	Nosník	15	16	obdélník 40x160	1,044	0,00	C24 - jehličnaté
16	Nosník	17	16	obdélník 40x160	1,044	0,00	C24 - jehličnaté
17	Nosník	17	18	obdélník 40x160	1,044	0,00	C24 - jehličnaté
18	Nosník	19	18	obdélník 40x160	1,044	0,00	C24 - jehličnaté
19	Nosník	19	20	obdélník 40x160	1,044	0,00	C24 - jehličnaté
20	Nosník	11	20	obdélník 40x160	1,044	0,00	C24 - jehličnaté
21	Nosník	2	12	obdélník 40x160	0,300	0,00	C24 - jehličnaté
22	Nosník	3	12	obdélník 40x160	1,044	0,00	C24 - jehličnaté
23	Nosník	3	13	obdélník 40x160	0,600	0,00	C24 - jehličnaté
24	Nosník	3	14	obdélník 40x160	1,345	0,00	C24 - jehličnaté
25	Nosník	4	14	obdélník 40x160	0,900	0,00	C24 - jehličnaté
26	Nosník	5	14	obdélník 40x160	1,345	0,00	C24 - jehličnaté
27	Nosník	5	15	obdélník 40x160	1,200	0,00	C24 - jehličnaté
28	Nosník	5	16	obdélník 40x160	1,803	0,00	C24 - jehličnaté
29	Nosník	6	16	obdélník 40x160	1,500	0,00	C24 - jehličnaté
30	Nosník	7	16	obdélník 40x160	1,803	0,00	C24 - jehličnaté
31	Nosník	7	17	obdélník 40x160	1,200	0,00	C24 - jehličnaté
32	Nosník	7	18	obdélník 40x160	1,345	0,00	C24 - jehličnaté
33	Nosník	8	18	obdélník 40x160	0,900	0,00	C24 - jehličnaté
34	Nosník	9	18	obdélník 40x160	1,345	0,00	C24 - jehličnaté
35	Nosník	9	19	obdélník 40x160	0,600	0,00	C24 - jehličnaté
36	Nosník	9	20	obdélník 40x160	1,044	0,00	C24 - jehličnaté
37	Nosník	10	20	obdélník 40x160	0,300	0,00	C24 - jehličnaté

Uložení dílců ve styčnicích (0-volné, 1-pevné, tuhost pružiny, míra zabránění deplanaci):

č.	Na začátku dílce							Na konci dílce						
	Posuny [MN/m]			Natočení [MNm/rad]			Bráněno deplanaci	Posuny [MN/m]			Natočení [MNm/rad]			Bráněno deplanaci
	1	2	3	1	2	3		1	2	3	1	2	3	
1	1	1	1	1	1	1	0,000	1	1	1	1	1	1	0,000
2	1	1	1	1	1	1	0,000	1	1	1	1	1	1	0,000
3	1	1	1	1	1	1	0,000	1	1	1	1	1	1	0,000
4	1	1	1	1	1	1	0,000	1	1	1	1	1	1	0,000
5	1	1	1	1	1	1	0,000	1	1	1	1	1	1	0,000
6	1	1	1	1	1	1	0,000	1	1	1	1	1	1	0,000
7	1	1	1	1	1	1	0,000	1	1	1	1	1	1	0,000
8	1	1	1	1	1	1	0,000	1	1	1	1	1	1	0,000
9	1	1	1	1	1	1	0,000	1	1	1	1	1	1	0,000
10	1	1	1	1	1	1	0,000	1	1	1	1	1	1	0,000
11	1	1	1	1	1	1	0,000	1	1	1	1	1	1	0,000
12	1	1	1	1	1	1	0,000	1	1	1	1	1	1	0,000
13	1	1	1	1	1	1	0,000	1	1	1	1	1	1	0,000
14	1	1	1	1	1	1	0,000	1	1	1	1	1	1	0,000
15	1	1	1	1	1	1	0,000	1	1	1	1	1	1	0,000
16	1	1	1	1	1	1	0,000	1	1	1	1	1	1	0,000

č.	Na začátku dílce							Na konci dílce						
	Posuny [MN/m]			Natočení [MNm/rad]			Bráněno deplanaci	Posuny [MN/m]			Natočení [MNm/rad]			Bráněno deplanaci
	1	2	3	1	2	3		1	2	3	1	2	3	
17	1	1	1	1	1	1	0,000	1	1	1	1	1	1	0,000
18	1	1	1	1	1	1	0,000	1	1	1	1	1	1	0,000
19	1	1	1	1	1	1	0,000	1	1	1	1	1	1	0,000
20	1	1	1	1	1	1	0,000	1	1	1	1	1	1	0,000
21	1	1	1	1	1	1	0,000	1	1	1	1	1	1	0,000
22	1	1	1	1	1	1	0,000	1	1	1	1	1	1	0,000
23	1	1	1	1	1	1	0,000	1	1	1	1	1	1	0,000
24	1	1	1	1	1	1	0,000	1	1	1	1	1	1	0,000
25	1	1	1	1	1	1	0,000	1	1	1	1	1	1	0,000
26	1	1	1	1	1	1	0,000	1	1	1	1	1	1	0,000
27	1	1	1	1	1	1	0,000	1	1	1	1	1	1	0,000
28	1	1	1	1	1	1	0,000	1	1	1	1	1	1	0,000
29	1	1	1	1	1	1	0,000	1	1	1	1	1	1	0,000
30	1	1	1	1	1	1	0,000	1	1	1	1	1	1	0,000
31	1	1	1	1	1	1	0,000	1	1	1	1	1	1	0,000
32	1	1	1	1	1	1	0,000	1	1	1	1	1	1	0,000
33	1	1	1	1	1	1	0,000	1	1	1	1	1	1	0,000
34	1	1	1	1	1	1	0,000	1	1	1	1	1	1	0,000
35	1	1	1	1	1	1	0,000	1	1	1	1	1	1	0,000
36	1	1	1	1	1	1	0,000	1	1	1	1	1	1	0,000
37	1	1	1	1	1	1	0,000	1	1	1	1	1	1	0,000

2.3 Parametry profilů dílců

Průřezové charakteristiky profilů dílců:

Průřez	Plocha průřezu	Smyk. plocha		Mom. setrv.		Sklon hl. os. ϕ [°]
	A [mm ²]	A _z [mm ²]	A _y [mm ²]	I _y [mm ⁴]	I _z [mm ⁴]	
obdélník 40x160	6400,0	5333,3	5333,3	13,6533E+06	853,333E+03	0,00

Materiálové charakteristiky profilů dílců:

Materiál	Modul pružnosti	Smykový modul	Koef. tepl. rozt.	Měrná tíha γ [kN/m ³]
	E [MPa]	G [MPa]	α_t [1/K]	
C24 - jehličnaté	11,00E+03	690,0E+00	5,000E-06	4,20

2.4 Zatěžovací stavy

č.	Název	Kód	Typ	Jako* hlavní	γ_f ($\gamma_{f,inf}$)**	Součinitele pro kombinace				
						ξ	Kateg.***	ψ_0	ψ_1	ψ_2
1	G1 vlastní tíha-stálé	Vlastní tíha	Stálé	-	1,35(0,90)	0,85	-	-	-	-
2	G2 silové-stálé	Silové	Stálé	-	1,35(0,90)	0,85	-	-	-	-
3	Q3 silové-proměnné krátkodobé	Silové	Proměnné krátkodobé	ANO	1,50	-	H	0,70	0,20	0,00
4	Q4 silové-proměnné krátkodobé	Silové	Proměnné krátkodobé	ANO	1,50	-	H	0,70	0,20	0,00

* zatížení působí v kombinacích jako hlavní proměnné

** $\gamma_{f,inf}$ pro příznivě působící stálá zatížení

*** Kategorie proměnných zatížení podle tabulky A1.1 v EN 1990

2.5 Zatížení styčníků

Zatížení styčníků se v konstrukci nevyskytuje.

2.6 Zatížení dílců

Dílec	Zatížení dílců
Zatěžovací stav č.2 - G2 silové-stálé	
Dílec č.1 1 ---- 2, délka 1,000 m	Spojité silové - Po délce ve směru globální osy Z $f = -0,65 \text{ kN/m}$
Dílec č.2 3 ---- 2, délka 1,000 m	Spojité silové - Po délce ve směru globální osy Z $f = -0,65 \text{ kN/m}$
Dílec č.3 3 ---- 4, délka 1,000 m	Spojité silové - Po délce ve směru globální osy Z $f = -0,65 \text{ kN/m}$
Dílec č.4 5 ---- 4, délka 1,000 m	Spojité silové - Po délce ve směru globální osy Z $f = -0,65 \text{ kN/m}$
Dílec č.5 5 ---- 6, délka 1,000 m	Spojité silové - Po délce ve směru globální osy Z $f = -0,65 \text{ kN/m}$
Dílec č.6 7 ---- 6, délka 1,000 m	Spojité silové - Po délce ve směru globální osy Z $f = -0,65 \text{ kN/m}$
Dílec č.7 7 ---- 8, délka 1,000 m	Spojité silové - Po délce ve směru globální osy Z $f = -0,65 \text{ kN/m}$
Dílec č.8 9 ---- 8, délka 1,000 m	Spojité silové - Po délce ve směru globální osy Z $f = -0,65 \text{ kN/m}$
Dílec č.9 9 ---- 10, délka 1,000 m	Spojité silové - Po délce ve směru globální osy Z $f = -0,65 \text{ kN/m}$
Dílec č.10 11 ---- 10, délka 1,000 m	Spojité silové - Po délce ve směru globální osy Z $f = -0,65 \text{ kN/m}$
Dílec č.11 1 ---- 12, délka 1,044 m	Spojité silové - Po délce ve směru globální osy Z $f = -1,10 \text{ kN/m}$
Dílec č.12 13 ---- 12, délka 1,044 m	Spojité silové - Po délce ve směru globální osy Z $f = -1,25 \text{ kN/m}$
Dílec č.13 13 ---- 14, délka 1,044 m	Spojité silové - Po délce ve směru globální osy Z $f = -1,25 \text{ kN/m}$
Dílec č.14 15 ---- 14, délka 1,044 m	Spojité silové - Po délce ve směru globální osy Z $f = -1,25 \text{ kN/m}$
Dílec č.15 15 ---- 16, délka 1,044 m	Spojité silové - Po délce ve směru globální osy Z $f = -1,25 \text{ kN/m}$
Dílec č.16 17 ---- 16, délka 1,044 m	Spojité silové - Po délce ve směru globální osy Z $f = -1,10 \text{ kN/m}$
Dílec č.17 17 ---- 18, délka 1,044 m	Spojité silové - Po délce ve směru globální osy Z $f = -1,10 \text{ kN/m}$
Dílec č.18 19 ---- 18, délka 1,044 m	Spojité silové - Po délce ve směru globální osy Z $f = -1,10 \text{ kN/m}$
Dílec č.19 19 ---- 20, délka 1,044 m	Spojité silové - Po délce ve směru globální osy Z $f = -1,10 \text{ kN/m}$
Dílec č.20 11 ---- 20, délka 1,044 m	Spojité silové - Po délce ve směru globální osy Z $f = -0,95 \text{ kN/m}$
Zatěžovací stav č.3 - Q3 silové-proměnné krátkodobé	
Dílec č.11 1 ---- 12, délka 1,044 m	Spojité silové - Po délce ve směru globální osy Z $f = -0,95 \text{ kN/m}$
Dílec č.12 13 ---- 12, délka 1,044 m	Spojité silové - Po délce ve směru globální osy Z $f = -0,95 \text{ kN/m}$
Dílec č.13 13 ---- 14, délka 1,044 m	Spojité silové - Po délce ve směru globální osy Z $f = -0,95 \text{ kN/m}$

Dílec	Zatížení dílců
Dílec č.14 15 ---- 14, délka 1,044 m	Spojité silové - Po délce ve směru globální osy Z $f = -0,95 \text{ kN/m}$
Dílec č.15 15 ---- 16, délka 1,044 m	Spojité silové - Po délce ve směru globální osy Z $f = -0,95 \text{ kN/m}$
Dílec č.16 17 ---- 16, délka 1,044 m	Spojité silové - Po délce ve směru globální osy Z $f = -0,95 \text{ kN/m}$
Dílec č.17 17 ---- 18, délka 1,044 m	Spojité silové - Po délce ve směru globální osy Z $f = -0,95 \text{ kN/m}$
Dílec č.18 19 ---- 18, délka 1,044 m	Spojité silové - Po délce ve směru globální osy Z $f = -0,95 \text{ kN/m}$
Dílec č.19 19 ---- 20, délka 1,044 m	Spojité silové - Po délce ve směru globální osy Z $f = -0,95 \text{ kN/m}$
Dílec č.20 11 ---- 20, délka 1,044 m	Spojité silové - Po délce ve směru globální osy Z $f = -0,95 \text{ kN/m}$
Zatěžovací stav č.4 - Q4 silové-proměnné krátkodobé	
Dílec č.11 1 ---- 12, délka 1,044 m	Spojité silové - Po délce ve směru globální osy Z $f = -0,95 \text{ kN/m}$
Dílec č.12 13 ---- 12, délka 1,044 m	Spojité silové - Po délce ve směru globální osy Z $f = -0,95 \text{ kN/m}$
Dílec č.13 13 ---- 14, délka 1,044 m	Spojité silové - Po délce ve směru globální osy Z $f = -0,95 \text{ kN/m}$
Dílec č.14 15 ---- 14, délka 1,044 m	Spojité silové - Po délce ve směru globální osy Z $f = -0,95 \text{ kN/m}$
Dílec č.15 15 ---- 16, délka 1,044 m	Spojité silové - Po délce ve směru globální osy Z $f = -0,95 \text{ kN/m}$

2.7 Kombinace pro výpočet podle 1.řádu

Kombinace 1. řád, pro posouzení mezního stavu únosnosti (MSÚ)

Číslo	Název a druh kombinace Složení
1	Q3:G1+G2; základní kombinace, příznivý účinek stálých zatížení
(inf)	$Y_{f,inf,1}(0,90)*G1 + Y_{f,inf,2}(0,90)*G2 + Y_{f,sup,3}(1,50)*Q3$
2	Q4:G1+G2; základní kombinace, příznivý účinek stálých zatížení
(inf)	$Y_{f,inf,1}(0,90)*G1 + Y_{f,inf,2}(0,90)*G2 + Y_{f,sup,4}(1,50)*Q4$

Vysvětlivky: (inf) = příznivý účinek působení některých (popř. všech) stálých zatížení použitím součinitele zatížení $Y_{f,inf}$

Kombinace 1. řád, pro posouzení mezního stavu použitelnosti (MSP)

Číslo	Název a druh kombinace Složení
1	Q3:G1+G2; charakteristická kombinace G1 + G2 + Q3
2	Q4:G1+G2; charakteristická kombinace G1 + G2 + Q4

2.8 Hmotnost a povrch dílců

Objem konstrukce

	celkem [m³]	vybrané [m³]
Dřevěné prvky	0,250	0,007
Celkový objem	0,250	0,007

Hmotnost konstrukce

	celkem [kg]	vybrané [kg]
Dřevěné prvky	104,87	2,81
Celková hmotnost	104,87	2,81

Nátěrová plocha

	celkem [m²]	vybrané [m²]
Dřevěné prvky	15,606	0,418
Celková plocha	15,606	0,418

3 Výsledky

3.1 Deformace pro zatěžovací stavy

3.1.1 Deformace po styčnicích

Zatěžovací stav		Deformace					
č.	Název	Posun X [mm]	Posun Y [mm]	Posun Z [mm]	Rotace X [mrad]	Rotace Y [mrad]	Rotace Z [mrad]
Styčník č.1 - abs. X: 0,000 m Y: 0,000 m Z: 0,000 m							
1	G1 vlastní tíha-stálé	0,0	0,0	0,0	-0,4	0,0	0,0
2	G2 silové-stálé	0,0	0,0	0,0	-7,4	0,0	0,0
3	Q3 silové-proměnné krátkodobé	0,0	0,0	0,0	-3,9	0,0	0,0
4	Q4 silové-proměnné krátkodobé	0,0	0,0	0,0	-2,6	0,0	0,0
Styčník č.2 - abs. X: 0,000 m Y: 1,000 m Z: 0,000 m							
1	G1 vlastní tíha-stálé	0,0	0,0	-0,4	-0,2	0,0	0,0
2	G2 silové-stálé	0,0	0,3	-6,2	-4,1	0,0	0,0
3	Q3 silové-proměnné krátkodobé	0,0	0,2	-3,3	-2,2	0,0	0,0
4	Q4 silové-proměnné krátkodobé	0,0	0,1	-2,1	-1,3	0,0	0,0
Styčník č.3 - abs. X: 0,000 m Y: 2,000 m Z: 0,000 m							
1	G1 vlastní tíha-stálé	0,0	0,0	-0,5	-0,1	0,0	0,0
2	G2 silové-stálé	0,0	0,7	-9,0	-2,0	0,0	0,0
3	Q3 silové-proměnné krátkodobé	0,0	0,4	-4,7	-1,0	0,0	0,0
4	Q4 silové-proměnné krátkodobé	0,0	0,3	-2,9	-0,5	0,0	0,0
Styčník č.4 - abs. X: 0,000 m Y: 3,000 m Z: 0,000 m							
1	G1 vlastní tíha-stálé	0,0	0,1	-0,6	-0,1	0,0	0,0
2	G2 silové-stálé	0,0	1,0	-10,3	-0,9	0,0	0,0
3	Q3 silové-proměnné krátkodobé	0,0	0,5	-5,4	-0,5	0,0	0,0
4	Q4 silové-proměnné krátkodobé	0,0	0,4	-3,1	-0,1	0,0	0,0
Styčník č.5 - abs. X: 0,000 m Y: 4,000 m Z: 0,000 m							
1	G1 vlastní tíha-stálé	0,0	0,1	-0,7	0,0	0,0	0,0
2	G2 silové-stálé	0,0	1,3	-10,8	-0,3	0,0	0,0
3	Q3 silové-proměnné krátkodobé	0,0	0,7	-5,7	-0,2	0,0	0,0
4	Q4 silové-proměnné krátkodobé	0,0	0,5	-3,1	0,1	0,0	0,0
Styčník č.6 - abs. X: 0,000 m Y: 5,000 m Z: 0,000 m							
1	G1 vlastní tíha-stálé	0,0	0,1	-0,7	0,0	0,0	0,0
2	G2 silové-stálé	0,0	1,5	-10,8	0,0	0,0	0,0
3	Q3 silové-proměnné krátkodobé	0,0	0,8	-5,8	0,0	0,0	0,0
4	Q4 silové-proměnné krátkodobé	0,0	0,5	-2,9	0,2	0,0	0,0
Styčník č.7 - abs. X: 0,000 m Y: 6,000 m Z: 0,000 m							
1	G1 vlastní tíha-stálé	0,0	0,1	-0,7	0,0	0,0	0,0
2	G2 silové-stálé	0,0	1,7	-10,8	0,4	0,0	0,0

Zatěžovací stav		Deformace					
č.	Název	Posun X [mm]	Posun Y [mm]	Posun Z [mm]	Rotace X [mrad]	Rotace Y [mrad]	Rotace Z [mrad]
3	Q3 silové-proměnné krátkodobé	0,0	0,9	-5,7	0,2	0,0	0,0
4	Q4 silové-proměnné krátkodobé	0,0	0,6	-2,6	0,3	0,0	0,0
Styčník č.8 - abs. X: 0,000 m Y: 7,000 m Z: 0,000 m							
1	G1 vlastní tíha-stálé	0,0	0,1	-0,6	0,1	0,0	0,0
2	G2 silové-stálé	0,0	2,0	-10,2	1,0	0,0	0,0
3	Q3 silové-proměnné krátkodobé	0,0	1,1	-5,4	0,5	0,0	0,0
4	Q4 silové-proměnné krátkodobé	0,0	0,6	-2,3	0,4	0,0	0,0
Styčník č.9 - abs. X: 0,000 m Y: 8,000 m Z: 0,000 m							
1	G1 vlastní tíha-stálé	0,0	0,1	-0,5	0,1	0,0	0,0
2	G2 silové-stálé	0,0	2,4	-8,8	2,0	0,0	0,0
3	Q3 silové-proměnné krátkodobé	0,0	1,2	-4,7	1,0	0,0	0,0
4	Q4 silové-proměnné krátkodobé	0,0	0,7	-1,8	0,6	0,0	0,0
Styčník č.10 - abs. X: 0,000 m Y: 9,000 m Z: 0,000 m							
1	G1 vlastní tíha-stálé	0,0	0,2	-0,4	0,2	0,0	0,0
2	G2 silové-stálé	0,0	2,7	-6,0	4,0	0,0	0,0
3	Q3 silové-proměnné krátkodobé	0,0	1,4	-3,3	2,2	0,0	0,0
4	Q4 silové-proměnné krátkodobé	0,0	0,8	-1,2	0,9	0,0	0,0
Styčník č.11 - abs. X: 0,000 m Y: 10,000 m Z: 0,000 m							
1	G1 vlastní tíha-stálé	0,0	0,2	0,0	0,4	0,0	0,0
2	G2 silové-stálé	0,0	3,0	0,0	7,2	0,0	0,0
3	Q3 silové-proměnné krátkodobé	0,0	1,6	0,0	3,9	0,0	0,0
4	Q4 silové-proměnné krátkodobé	0,0	0,8	0,0	1,3	0,0	0,0
Styčník č.12 - abs. X: 0,000 m Y: 1,000 m Z: 0,300 m							
1	G1 vlastní tíha-stálé	0,0	0,1	-0,4	-0,2	0,0	0,0
2	G2 silové-stálé	0,0	1,5	-6,2	-3,8	0,0	0,0
3	Q3 silové-proměnné krátkodobé	0,0	0,8	-3,3	-2,0	0,0	0,0
4	Q4 silové-proměnné krátkodobé	0,0	0,5	-2,1	-1,2	0,0	0,0
Styčník č.13 - abs. X: 0,000 m Y: 2,000 m Z: 0,600 m							
1	G1 vlastní tíha-stálé	0,0	0,1	-0,5	-0,1	0,0	0,0
2	G2 silové-stálé	0,0	1,9	-9,0	-1,9	0,0	0,0
3	Q3 silové-proměnné krátkodobé	0,0	1,0	-4,7	-1,0	0,0	0,0
4	Q4 silové-proměnné krátkodobé	0,0	0,6	-2,9	-0,5	0,0	0,0
Styčník č.14 - abs. X: 0,000 m Y: 3,000 m Z: 0,900 m							
1	G1 vlastní tíha-stálé	0,0	0,1	-0,6	-0,1	0,0	0,0
2	G2 silové-stálé	0,0	1,9	-10,3	-0,9	0,0	0,0
3	Q3 silové-proměnné krátkodobé	0,0	1,0	-5,4	-0,5	0,0	0,0
4	Q4 silové-proměnné krátkodobé	0,0	0,5	-3,1	-0,1	0,0	0,0
Styčník č.15 - abs. X: 0,000 m Y: 4,000 m Z: 1,200 m							
1	G1 vlastní tíha-stálé	0,0	0,1	-0,7	0,0	0,0	0,0
2	G2 silové-stálé	0,0	1,8	-10,9	-0,2	0,0	0,0
3	Q3 silové-proměnné krátkodobé	0,0	1,0	-5,8	-0,1	0,0	0,0
4	Q4 silové-proměnné krátkodobé	0,0	0,4	-3,1	0,1	0,0	0,0
Styčník č.16 - abs. X: 0,000 m Y: 5,000 m Z: 1,500 m							
1	G1 vlastní tíha-stálé	0,0	0,1	-0,7	0,0	0,0	0,0
2	G2 silové-stálé	0,0	1,5	-10,8	0,0	0,0	0,0
3	Q3 silové-proměnné krátkodobé	0,0	0,8	-5,7	0,0	0,0	0,0

Zatěžovací stav		Deformace					
č.	Název	Posun X [mm]	Posun Y [mm]	Posun Z [mm]	Rotace X [mrad]	Rotace Y [mrad]	Rotace Z [mrad]
4	Q4 silové-proměnné krátkodobé	0,0	0,2	-2,9	0,3	0,0	0,0
Styčník č.17 - abs. X: 0,000 m Y: 6,000 m Z: 1,200 m							
1	G1 vlastní tíha-stálé	0,0	0,1	-0,7	0,0	0,0	0,0
2	G2 silové-stálé	0,0	1,2	-10,8	0,2	0,0	0,0
3	Q3 silové-proměnné krátkodobé	0,0	0,6	-5,8	0,1	0,0	0,0
4	Q4 silové-proměnné krátkodobé	0,0	0,3	-2,6	0,2	0,0	0,0
Styčník č.18 - abs. X: 0,000 m Y: 7,000 m Z: 0,900 m							
1	G1 vlastní tíha-stálé	0,0	0,1	-0,6	0,1	0,0	0,0
2	G2 silové-stálé	0,0	1,1	-10,1	0,9	0,0	0,0
3	Q3 silové-proměnné krátkodobé	0,0	0,6	-5,4	0,5	0,0	0,0
4	Q4 silové-proměnné krátkodobé	0,0	0,3	-2,3	0,4	0,0	0,0
Styčník č.19 - abs. X: 0,000 m Y: 8,000 m Z: 0,600 m							
1	G1 vlastní tíha-stálé	0,0	0,1	-0,5	0,1	0,0	0,0
2	G2 silové-stálé	0,0	1,1	-8,8	1,9	0,0	0,0
3	Q3 silové-proměnné krátkodobé	0,0	0,6	-4,7	1,0	0,0	0,0
4	Q4 silové-proměnné krátkodobé	0,0	0,4	-1,8	0,5	0,0	0,0
Styčník č.20 - abs. X: 0,000 m Y: 9,000 m Z: 0,300 m							
1	G1 vlastní tíha-stálé	0,0	0,1	-0,4	0,2	0,0	0,0
2	G2 silové-stálé	0,0	1,5	-6,0	3,8	0,0	0,0
3	Q3 silové-proměnné krátkodobé	0,0	0,8	-3,3	2,0	0,0	0,0
4	Q4 silové-proměnné krátkodobé	0,0	0,5	-1,2	0,8	0,0	0,0

3.1.2 Deformace po zatěžovacích stavech

Styčník		Deformace					
č.	Popis styčnicku	Posun X [mm]	Posun Y [mm]	Posun Z [mm]	Rotace X [mrad]	Rotace Y [mrad]	Rotace Z [mrad]
Zatěžovací stav č.1 - G1 vlastní tíha-stálé							
1	abs. X: 0,000 m Y: 0,000 m Z: 0,000 m	0,0	0,0	0,0	-0,4	0,0	0,0
2	abs. X: 0,000 m Y: 1,000 m Z: 0,000 m	0,0	0,0	-0,4	-0,2	0,0	0,0
3	abs. X: 0,000 m Y: 2,000 m Z: 0,000 m	0,0	0,0	-0,5	-0,1	0,0	0,0
4	abs. X: 0,000 m Y: 3,000 m Z: 0,000 m	0,0	0,1	-0,6	-0,1	0,0	0,0
5	abs. X: 0,000 m Y: 4,000 m Z: 0,000 m	0,0	0,1	-0,7	0,0	0,0	0,0
6	abs. X: 0,000 m Y: 5,000 m Z: 0,000 m	0,0	0,1	-0,7	0,0	0,0	0,0
7	abs. X: 0,000 m Y: 6,000 m Z: 0,000 m	0,0	0,1	-0,7	0,0	0,0	0,0
8	abs. X: 0,000 m Y: 7,000 m Z: 0,000 m	0,0	0,1	-0,6	0,1	0,0	0,0
9	abs. X: 0,000 m Y: 8,000 m Z: 0,000 m	0,0	0,1	-0,5	0,1	0,0	0,0
10	abs. X: 0,000 m Y: 9,000 m Z: 0,000 m	0,0	0,2	-0,4	0,2	0,0	0,0
11	abs. X: 0,000 m Y: 10,000 m Z: 0,000 m	0,0	0,2	0,0	0,4	0,0	0,0
12	abs. X: 0,000 m Y: 1,000 m Z: 0,300 m	0,0	0,1	-0,4	-0,2	0,0	0,0
13	abs. X: 0,000 m Y: 2,000 m Z: 0,600 m	0,0	0,1	-0,5	-0,1	0,0	0,0
14	abs. X: 0,000 m Y: 3,000 m Z: 0,900 m	0,0	0,1	-0,6	-0,1	0,0	0,0
15	abs. X: 0,000 m Y: 4,000 m Z: 1,200 m	0,0	0,1	-0,7	0,0	0,0	0,0
16	abs. X: 0,000 m Y: 5,000 m Z: 1,500 m	0,0	0,1	-0,7	0,0	0,0	0,0
17	abs. X: 0,000 m Y: 6,000 m Z: 1,200 m	0,0	0,1	-0,7	0,0	0,0	0,0
18	abs. X: 0,000 m Y: 7,000 m Z: 0,900 m	0,0	0,1	-0,6	0,1	0,0	0,0
19	abs. X: 0,000 m Y: 8,000 m Z: 0,600 m	0,0	0,1	-0,5	0,1	0,0	0,0
20	abs. X: 0,000 m Y: 9,000 m Z: 0,300 m	0,0	0,1	-0,4	0,2	0,0	0,0

Styčník		Deformace					
č.	Popis styčníku	Posun X [mm]	Posun Y [mm]	Posun Z [mm]	Rotace X [mrad]	Rotace Y [mrad]	Rotace Z [mrad]
Zatěžovací stav č.2 - G2 silové-stálé							
1	abs. X: 0,000 m Y: 0,000 m Z: 0,000 m	0,0	0,0	0,0	-7,4	0,0	0,0
2	abs. X: 0,000 m Y: 1,000 m Z: 0,000 m	0,0	0,3	-6,2	-4,1	0,0	0,0
3	abs. X: 0,000 m Y: 2,000 m Z: 0,000 m	0,0	0,7	-9,0	-2,0	0,0	0,0
4	abs. X: 0,000 m Y: 3,000 m Z: 0,000 m	0,0	1,0	-10,3	-0,9	0,0	0,0
5	abs. X: 0,000 m Y: 4,000 m Z: 0,000 m	0,0	1,3	-10,8	-0,3	0,0	0,0
6	abs. X: 0,000 m Y: 5,000 m Z: 0,000 m	0,0	1,5	-10,8	0,0	0,0	0,0
7	abs. X: 0,000 m Y: 6,000 m Z: 0,000 m	0,0	1,7	-10,8	0,4	0,0	0,0
8	abs. X: 0,000 m Y: 7,000 m Z: 0,000 m	0,0	2,0	-10,2	1,0	0,0	0,0
9	abs. X: 0,000 m Y: 8,000 m Z: 0,000 m	0,0	2,4	-8,8	2,0	0,0	0,0
10	abs. X: 0,000 m Y: 9,000 m Z: 0,000 m	0,0	2,7	-6,0	4,0	0,0	0,0
11	abs. X: 0,000 m Y: 10,000 m Z: 0,000 m	0,0	3,0	0,0	7,2	0,0	0,0
12	abs. X: 0,000 m Y: 1,000 m Z: 0,300 m	0,0	1,5	-6,2	-3,8	0,0	0,0
13	abs. X: 0,000 m Y: 2,000 m Z: 0,600 m	0,0	1,9	-9,0	-1,9	0,0	0,0
14	abs. X: 0,000 m Y: 3,000 m Z: 0,900 m	0,0	1,9	-10,3	-0,9	0,0	0,0
15	abs. X: 0,000 m Y: 4,000 m Z: 1,200 m	0,0	1,8	-10,9	-0,2	0,0	0,0
16	abs. X: 0,000 m Y: 5,000 m Z: 1,500 m	0,0	1,5	-10,8	0,0	0,0	0,0
17	abs. X: 0,000 m Y: 6,000 m Z: 1,200 m	0,0	1,2	-10,8	0,2	0,0	0,0
18	abs. X: 0,000 m Y: 7,000 m Z: 0,900 m	0,0	1,1	-10,1	0,9	0,0	0,0
19	abs. X: 0,000 m Y: 8,000 m Z: 0,600 m	0,0	1,1	-8,8	1,9	0,0	0,0
20	abs. X: 0,000 m Y: 9,000 m Z: 0,300 m	0,0	1,5	-6,0	3,8	0,0	0,0
Zatěžovací stav č.3 - Q3 silové-proměnné krátkodobé							
1	abs. X: 0,000 m Y: 0,000 m Z: 0,000 m	0,0	0,0	0,0	-3,9	0,0	0,0
2	abs. X: 0,000 m Y: 1,000 m Z: 0,000 m	0,0	0,2	-3,3	-2,2	0,0	0,0
3	abs. X: 0,000 m Y: 2,000 m Z: 0,000 m	0,0	0,4	-4,7	-1,0	0,0	0,0
4	abs. X: 0,000 m Y: 3,000 m Z: 0,000 m	0,0	0,5	-5,4	-0,5	0,0	0,0
5	abs. X: 0,000 m Y: 4,000 m Z: 0,000 m	0,0	0,7	-5,7	-0,2	0,0	0,0
6	abs. X: 0,000 m Y: 5,000 m Z: 0,000 m	0,0	0,8	-5,8	0,0	0,0	0,0
7	abs. X: 0,000 m Y: 6,000 m Z: 0,000 m	0,0	0,9	-5,7	0,2	0,0	0,0
8	abs. X: 0,000 m Y: 7,000 m Z: 0,000 m	0,0	1,1	-5,4	0,5	0,0	0,0
9	abs. X: 0,000 m Y: 8,000 m Z: 0,000 m	0,0	1,2	-4,7	1,0	0,0	0,0
10	abs. X: 0,000 m Y: 9,000 m Z: 0,000 m	0,0	1,4	-3,3	2,2	0,0	0,0
11	abs. X: 0,000 m Y: 10,000 m Z: 0,000 m	0,0	1,6	0,0	3,9	0,0	0,0
12	abs. X: 0,000 m Y: 1,000 m Z: 0,300 m	0,0	0,8	-3,3	-2,0	0,0	0,0
13	abs. X: 0,000 m Y: 2,000 m Z: 0,600 m	0,0	1,0	-4,7	-1,0	0,0	0,0
14	abs. X: 0,000 m Y: 3,000 m Z: 0,900 m	0,0	1,0	-5,4	-0,5	0,0	0,0
15	abs. X: 0,000 m Y: 4,000 m Z: 1,200 m	0,0	1,0	-5,8	-0,1	0,0	0,0
16	abs. X: 0,000 m Y: 5,000 m Z: 1,500 m	0,0	0,8	-5,7	0,0	0,0	0,0
17	abs. X: 0,000 m Y: 6,000 m Z: 1,200 m	0,0	0,6	-5,8	0,1	0,0	0,0
18	abs. X: 0,000 m Y: 7,000 m Z: 0,900 m	0,0	0,6	-5,4	0,5	0,0	0,0
19	abs. X: 0,000 m Y: 8,000 m Z: 0,600 m	0,0	0,6	-4,7	1,0	0,0	0,0
20	abs. X: 0,000 m Y: 9,000 m Z: 0,300 m	0,0	0,8	-3,3	2,0	0,0	0,0
Zatěžovací stav č.4 - Q4 silové-proměnné krátkodobé							
1	abs. X: 0,000 m Y: 0,000 m Z: 0,000 m	0,0	0,0	0,0	-2,6	0,0	0,0
2	abs. X: 0,000 m Y: 1,000 m Z: 0,000 m	0,0	0,1	-2,1	-1,3	0,0	0,0
3	abs. X: 0,000 m Y: 2,000 m Z: 0,000 m	0,0	0,3	-2,9	-0,5	0,0	0,0

Styčník		Deformace					
č.	Popis styčnicku	Posun X [mm]	Posun Y [mm]	Posun Z [mm]	Rotace X [mrad]	Rotace Y [mrad]	Rotace Z [mrad]
4	abs. X: 0,000 m Y: 3,000 m Z: 0,000 m	0,0	0,4	-3,1	-0,1	0,0	0,0
5	abs. X: 0,000 m Y: 4,000 m Z: 0,000 m	0,0	0,5	-3,1	0,1	0,0	0,0
6	abs. X: 0,000 m Y: 5,000 m Z: 0,000 m	0,0	0,5	-2,9	0,2	0,0	0,0
7	abs. X: 0,000 m Y: 6,000 m Z: 0,000 m	0,0	0,6	-2,6	0,3	0,0	0,0
8	abs. X: 0,000 m Y: 7,000 m Z: 0,000 m	0,0	0,6	-2,3	0,4	0,0	0,0
9	abs. X: 0,000 m Y: 8,000 m Z: 0,000 m	0,0	0,7	-1,8	0,6	0,0	0,0
10	abs. X: 0,000 m Y: 9,000 m Z: 0,000 m	0,0	0,8	-1,2	0,9	0,0	0,0
11	abs. X: 0,000 m Y: 10,000 m Z: 0,000 m	0,0	0,8	0,0	1,3	0,0	0,0
12	abs. X: 0,000 m Y: 1,000 m Z: 0,300 m	0,0	0,5	-2,1	-1,2	0,0	0,0
13	abs. X: 0,000 m Y: 2,000 m Z: 0,600 m	0,0	0,6	-2,9	-0,5	0,0	0,0
14	abs. X: 0,000 m Y: 3,000 m Z: 0,900 m	0,0	0,5	-3,1	-0,1	0,0	0,0
15	abs. X: 0,000 m Y: 4,000 m Z: 1,200 m	0,0	0,4	-3,1	0,1	0,0	0,0
16	abs. X: 0,000 m Y: 5,000 m Z: 1,500 m	0,0	0,2	-2,9	0,3	0,0	0,0
17	abs. X: 0,000 m Y: 6,000 m Z: 1,200 m	0,0	0,3	-2,6	0,2	0,0	0,0
18	abs. X: 0,000 m Y: 7,000 m Z: 0,900 m	0,0	0,3	-2,3	0,4	0,0	0,0
19	abs. X: 0,000 m Y: 8,000 m Z: 0,600 m	0,0	0,4	-1,8	0,5	0,0	0,0
20	abs. X: 0,000 m Y: 9,000 m Z: 0,300 m	0,0	0,5	-1,2	0,8	0,0	0,0

3.1.3 Deformace na dílcích

Dílec č.1: 1 |---| 2, délka 1,000 m:

Styčník na dílci		Deformace					
č.	Umístění [m]	Posun X [mm]	Posun Y [mm]	Posun Z [mm]	Rotace X [mrad]	Rotace Y [mrad]	Rotace Z [mrad]
Zatěžovací stav č.1 - G1 vlastní tíha-stálé							
1	0,000	0,0	0,0	0,0	-0,4	0,0	0,0
-	0,200	0,0	0,0	-0,1	-	-	-
-	0,400	0,0	0,0	-0,2	-	-	-
-	0,600	0,0	0,0	-0,2	-	-	-
-	0,800	0,0	0,0	-0,3	-	-	-
2	1,000	0,0	0,0	-0,4	-0,2	0,0	0,0
Zatěžovací stav č.2 - G2 silové-stálé							
1	0,000	0,0	0,0	0,0	-7,4	0,0	0,0
-	0,200	0,0	0,1	-1,5	-	-	-
-	0,400	0,0	0,1	-2,9	-	-	-
-	0,600	0,0	0,2	-4,1	-	-	-
-	0,800	0,0	0,3	-5,3	-	-	-
2	1,000	0,0	0,3	-6,2	-4,1	0,0	0,0
Zatěžovací stav č.3 - Q3 silové-proměnné krátkodobé							
1	0,000	0,0	0,0	0,0	-3,9	0,0	0,0
-	0,200	0,0	0,0	-0,8	-	-	-
-	0,400	0,0	0,1	-1,5	-	-	-
-	0,600	0,0	0,1	-2,2	-	-	-
-	0,800	0,0	0,1	-2,8	-	-	-
2	1,000	0,0	0,2	-3,3	-2,2	0,0	0,0
Zatěžovací stav č.4 - Q4 silové-proměnné krátkodobé							
1	0,000	0,0	0,0	0,0	-2,6	0,0	0,0
-	0,200	0,0	0,0	-0,5	-	-	-

Styčnick na dílci		Deformace					
č.	Umístění [m]	Posun X [mm]	Posun Y [mm]	Posun Z [mm]	Rotace X [mrad]	Rotace Y [mrad]	Rotace Z [mrad]
-	0,400	0,0	0,0	-1,0	-	-	-
-	0,600	0,0	0,1	-1,4	-	-	-
-	0,800	0,0	0,1	-1,8	-	-	-
2	1,000	0,0	0,1	-2,1	-1,3	0,0	0,0

Dílec č.2: 3 |----| 2, délka 1,000 m:

Styčnick na dílci		Deformace					
č.	Umístění [m]	Posun X [mm]	Posun Y [mm]	Posun Z [mm]	Rotace X [mrad]	Rotace Y [mrad]	Rotace Z [mrad]
Zatěžovací stav č.1 - G1 vlastní tíha-stálé							
3	0,000	0,0	0,0	-0,5	-0,1	0,0	0,0
-	0,200	0,0	0,0	-0,5	-	-	-
-	0,400	0,0	0,0	-0,5	-	-	-
-	0,600	0,0	0,0	-0,5	-	-	-
-	0,800	0,0	0,0	-0,4	-	-	-
2	1,000	0,0	0,0	-0,4	-0,2	0,0	0,0
Zatěžovací stav č.2 - G2 silové-stálé							
3	0,000	0,0	0,7	-9,0	-2,0	0,0	0,0
-	0,200	0,0	0,6	-8,6	-	-	-
-	0,400	0,0	0,5	-8,1	-	-	-
-	0,600	0,0	0,5	-7,6	-	-	-
-	0,800	0,0	0,4	-6,9	-	-	-
2	1,000	0,0	0,3	-6,2	-4,1	0,0	0,0
Zatěžovací stav č.3 - Q3 silové-proměnné krátkodobé							
3	0,000	0,0	0,4	-4,7	-1,0	0,0	0,0
-	0,200	0,0	0,3	-4,5	-	-	-
-	0,400	0,0	0,3	-4,3	-	-	-
-	0,600	0,0	0,2	-4,0	-	-	-
-	0,800	0,0	0,2	-3,7	-	-	-
2	1,000	0,0	0,2	-3,3	-2,2	0,0	0,0
Zatěžovací stav č.4 - Q4 silové-proměnné krátkodobé							
3	0,000	0,0	0,3	-2,9	-0,5	0,0	0,0
-	0,200	0,0	0,2	-2,8	-	-	-
-	0,400	0,0	0,2	-2,7	-	-	-
-	0,600	0,0	0,2	-2,5	-	-	-
-	0,800	0,0	0,1	-2,3	-	-	-
2	1,000	0,0	0,1	-2,1	-1,3	0,0	0,0

Dílec č.3: 3 |----| 4, délka 1,000 m:

Styčnick na dílci		Deformace					
č.	Umístění [m]	Posun X [mm]	Posun Y [mm]	Posun Z [mm]	Rotace X [mrad]	Rotace Y [mrad]	Rotace Z [mrad]
Zatěžovací stav č.1 - G1 vlastní tíha-stálé							
3	0,000	0,0	0,0	-0,5	-0,1	0,0	0,0
-	0,200	0,0	0,0	-0,6	-	-	-
-	0,400	0,0	0,0	-0,6	-	-	-
-	0,600	0,0	0,1	-0,6	-	-	-
-	0,800	0,0	0,1	-0,6	-	-	-

Styčník na dílci		Deformace					
č.	Umístění [m]	Posun X [mm]	Posun Y [mm]	Posun Z [mm]	Rotace X [mrad]	Rotace Y [mrad]	Rotace Z [mrad]
4	1,000	0,0	0,1	-0,6	-0,1	0,0	0,0
Zatěžovací stav č.2 - G2 silové-stálé							
3	0,000	0,0	0,7	-9,0	-2,0	0,0	0,0
-	0,200	0,0	0,7	-9,3	-	-	-
-	0,400	0,0	0,8	-9,6	-	-	-
-	0,600	0,0	0,9	-9,9	-	-	-
-	0,800	0,0	0,9	-10,1	-	-	-
4	1,000	0,0	1,0	-10,3	-0,9	0,0	0,0
Zatěžovací stav č.3 - Q3 silové-proměnné krátkodobé							
3	0,000	0,0	0,4	-4,7	-1,0	0,0	0,0
-	0,200	0,0	0,4	-4,9	-	-	-
-	0,400	0,0	0,4	-5,1	-	-	-
-	0,600	0,0	0,4	-5,2	-	-	-
-	0,800	0,0	0,5	-5,3	-	-	-
4	1,000	0,0	0,5	-5,4	-0,5	0,0	0,0
Zatěžovací stav č.4 - Q4 silové-proměnné krátkodobé							
3	0,000	0,0	0,3	-2,9	-0,5	0,0	0,0
-	0,200	0,0	0,3	-3,0	-	-	-
-	0,400	0,0	0,3	-3,0	-	-	-
-	0,600	0,0	0,3	-3,1	-	-	-
-	0,800	0,0	0,3	-3,1	-	-	-
4	1,000	0,0	0,4	-3,1	-0,1	0,0	0,0

Dílec č.4: 5 |----| 4, délka 1,000 m:

Styčník na dílci		Deformace					
č.	Umístění [m]	Posun X [mm]	Posun Y [mm]	Posun Z [mm]	Rotace X [mrad]	Rotace Y [mrad]	Rotace Z [mrad]
Zatěžovací stav č.1 - G1 vlastní tíha-stálé							
5	0,000	0,0	0,1	-0,7	0,0	0,0	0,0
-	0,200	0,0	0,1	-0,7	-	-	-
-	0,400	0,0	0,1	-0,7	-	-	-
-	0,600	0,0	0,1	-0,6	-	-	-
-	0,800	0,0	0,1	-0,6	-	-	-
4	1,000	0,0	0,1	-0,6	-0,1	0,0	0,0
Zatěžovací stav č.2 - G2 silové-stálé							
5	0,000	0,0	1,3	-10,8	-0,3	0,0	0,0
-	0,200	0,0	1,2	-10,8	-	-	-
-	0,400	0,0	1,2	-10,7	-	-	-
-	0,600	0,0	1,1	-10,6	-	-	-
-	0,800	0,0	1,0	-10,5	-	-	-
4	1,000	0,0	1,0	-10,3	-0,9	0,0	0,0
Zatěžovací stav č.3 - Q3 silové-proměnné krátkodobé							
5	0,000	0,0	0,7	-5,7	-0,2	0,0	0,0
-	0,200	0,0	0,6	-5,7	-	-	-
-	0,400	0,0	0,6	-5,7	-	-	-
-	0,600	0,0	0,6	-5,6	-	-	-
-	0,800	0,0	0,5	-5,5	-	-	-

Styčník na dílci		Deformace					
č.	Umístění [m]	Posun X [mm]	Posun Y [mm]	Posun Z [mm]	Rotace X [mrad]	Rotace Y [mrad]	Rotace Z [mrad]
4	1,000	0,0	0,5	-5,4	-0,5	0,0	0,0
Zatěžovací stav č.4 - Q4 silové-proměnné krátkodobé							
5	0,000	0,0	0,5	-3,1	0,1	0,0	0,0
-	0,200	0,0	0,4	-3,1	-	-	-
-	0,400	0,0	0,4	-3,1	-	-	-
-	0,600	0,0	0,4	-3,1	-	-	-
-	0,800	0,0	0,4	-3,1	-	-	-
4	1,000	0,0	0,4	-3,1	-0,1	0,0	0,0

Dílec č.5: 5 |---| 6, délka 1,000 m:

Styčník na dílci		Deformace					
č.	Umístění [m]	Posun X [mm]	Posun Y [mm]	Posun Z [mm]	Rotace X [mrad]	Rotace Y [mrad]	Rotace Z [mrad]
Zatěžovací stav č.1 - G1 vlastní tíha-stálé							
5	0,000	0,0	0,1	-0,7	0,0	0,0	0,0
-	0,200	0,0	0,1	-0,7	-	-	-
-	0,400	0,0	0,1	-0,7	-	-	-
-	0,600	0,0	0,1	-0,7	-	-	-
-	0,800	0,0	0,1	-0,7	-	-	-
6	1,000	0,0	0,1	-0,7	0,0	0,0	0,0
Zatěžovací stav č.2 - G2 silové-stálé							
5	0,000	0,0	1,3	-10,8	-0,3	0,0	0,0
-	0,200	0,0	1,3	-10,9	-	-	-
-	0,400	0,0	1,4	-10,9	-	-	-
-	0,600	0,0	1,4	-10,9	-	-	-
-	0,800	0,0	1,5	-10,9	-	-	-
6	1,000	0,0	1,5	-10,8	0,0	0,0	0,0
Zatěžovací stav č.3 - Q3 silové-proměnné krátkodobé							
5	0,000	0,0	0,7	-5,7	-0,2	0,0	0,0
-	0,200	0,0	0,7	-5,8	-	-	-
-	0,400	0,0	0,7	-5,8	-	-	-
-	0,600	0,0	0,8	-5,8	-	-	-
-	0,800	0,0	0,8	-5,8	-	-	-
6	1,000	0,0	0,8	-5,8	0,0	0,0	0,0
Zatěžovací stav č.4 - Q4 silové-proměnné krátkodobé							
5	0,000	0,0	0,5	-3,1	0,1	0,0	0,0
-	0,200	0,0	0,5	-3,1	-	-	-
-	0,400	0,0	0,5	-3,0	-	-	-
-	0,600	0,0	0,5	-3,0	-	-	-
-	0,800	0,0	0,5	-2,9	-	-	-
6	1,000	0,0	0,5	-2,9	0,2	0,0	0,0

Dílec č.6: 7 |---| 6, délka 1,000 m:

Styčník na dílci		Deformace					
č.	Umístění [m]	Posun X [mm]	Posun Y [mm]	Posun Z [mm]	Rotace X [mrad]	Rotace Y [mrad]	Rotace Z [mrad]
Zatěžovací stav č.1 - G1 vlastní tíha-stálé							
7	0,000	0,0	0,1	-0,7	0,0	0,0	0,0

Styčnick na dílci		Deformace					
č.	Umístění [m]	Posun X [mm]	Posun Y [mm]	Posun Z [mm]	Rotace X [mrad]	Rotace Y [mrad]	Rotace Z [mrad]
-	0,200	0,0	0,1	-0,7	-	-	-
-	0,400	0,0	0,1	-0,7	-	-	-
-	0,600	0,0	0,1	-0,7	-	-	-
-	0,800	0,0	0,1	-0,7	-	-	-
6	1,000	0,0	0,1	-0,7	0,0	0,0	0,0
Zatěžovací stav č.2 - G2 silové-stálé							
7	0,000	0,0	1,7	-10,8	0,4	0,0	0,0
-	0,200	0,0	1,7	-10,8	-	-	-
-	0,400	0,0	1,7	-10,9	-	-	-
-	0,600	0,0	1,6	-10,9	-	-	-
-	0,800	0,0	1,6	-10,8	-	-	-
6	1,000	0,0	1,5	-10,8	0,0	0,0	0,0
Zatěžovací stav č.3 - Q3 silové-proměnné krátkodobé							
7	0,000	0,0	0,9	-5,7	0,2	0,0	0,0
-	0,200	0,0	0,9	-5,8	-	-	-
-	0,400	0,0	0,9	-5,8	-	-	-
-	0,600	0,0	0,8	-5,8	-	-	-
-	0,800	0,0	0,8	-5,8	-	-	-
6	1,000	0,0	0,8	-5,8	0,0	0,0	0,0
Zatěžovací stav č.4 - Q4 silové-proměnné krátkodobé							
7	0,000	0,0	0,6	-2,6	0,3	0,0	0,0
-	0,200	0,0	0,6	-2,7	-	-	-
-	0,400	0,0	0,6	-2,7	-	-	-
-	0,600	0,0	0,5	-2,8	-	-	-
-	0,800	0,0	0,5	-2,8	-	-	-
6	1,000	0,0	0,5	-2,9	0,2	0,0	0,0

Dílec č.7: 7 |----| 8, délka 1,000 m:

Styčnick na dílci		Deformace					
č.	Umístění [m]	Posun X [mm]	Posun Y [mm]	Posun Z [mm]	Rotace X [mrad]	Rotace Y [mrad]	Rotace Z [mrad]
Zatěžovací stav č.1 - G1 vlastní tíha-stálé							
7	0,000	0,0	0,1	-0,7	0,0	0,0	0,0
-	0,200	0,0	0,1	-0,7	-	-	-
-	0,400	0,0	0,1	-0,7	-	-	-
-	0,600	0,0	0,1	-0,6	-	-	-
-	0,800	0,0	0,1	-0,6	-	-	-
8	1,000	0,0	0,1	-0,6	0,1	0,0	0,0
Zatěžovací stav č.2 - G2 silové-stálé							
7	0,000	0,0	1,7	-10,8	0,4	0,0	0,0
-	0,200	0,0	1,8	-10,7	-	-	-
-	0,400	0,0	1,9	-10,6	-	-	-
-	0,600	0,0	1,9	-10,5	-	-	-
-	0,800	0,0	2,0	-10,3	-	-	-
8	1,000	0,0	2,0	-10,2	1,0	0,0	0,0
Zatěžovací stav č.3 - Q3 silové-proměnné krátkodobé							
7	0,000	0,0	0,9	-5,7	0,2	0,0	0,0

Styčník na dílci		Deformace					
č.	Umístění [m]	Posun X [mm]	Posun Y [mm]	Posun Z [mm]	Rotace X [mrad]	Rotace Y [mrad]	Rotace Z [mrad]
-	0,200	0,0	0,9	-5,7	-	-	-
-	0,400	0,0	1,0	-5,7	-	-	-
-	0,600	0,0	1,0	-5,6	-	-	-
-	0,800	0,0	1,0	-5,5	-	-	-
8	1,000	0,0	1,1	-5,4	0,5	0,0	0,0
Zatěžovací stav č.4 - Q4 silové-proměnné krátkodobé							
7	0,000	0,0	0,6	-2,6	0,3	0,0	0,0
-	0,200	0,0	0,6	-2,6	-	-	-
-	0,400	0,0	0,6	-2,5	-	-	-
-	0,600	0,0	0,6	-2,5	-	-	-
-	0,800	0,0	0,6	-2,4	-	-	-
8	1,000	0,0	0,6	-2,3	0,4	0,0	0,0

Dílec č.8: 9 |----| 8, délka 1,000 m:

Styčník na dílci		Deformace					
č.	Umístění [m]	Posun X [mm]	Posun Y [mm]	Posun Z [mm]	Rotace X [mrad]	Rotace Y [mrad]	Rotace Z [mrad]
Zatěžovací stav č.1 - G1 vlastní tíha-stálé							
9	0,000	0,0	0,1	-0,5	0,1	0,0	0,0
-	0,200	0,0	0,1	-0,6	-	-	-
-	0,400	0,0	0,1	-0,6	-	-	-
-	0,600	0,0	0,1	-0,6	-	-	-
-	0,800	0,0	0,1	-0,6	-	-	-
8	1,000	0,0	0,1	-0,6	0,1	0,0	0,0
Zatěžovací stav č.2 - G2 silové-stálé							
9	0,000	0,0	2,4	-8,8	2,0	0,0	0,0
-	0,200	0,0	2,3	-9,2	-	-	-
-	0,400	0,0	2,2	-9,5	-	-	-
-	0,600	0,0	2,2	-9,7	-	-	-
-	0,800	0,0	2,1	-10,0	-	-	-
8	1,000	0,0	2,0	-10,2	1,0	0,0	0,0
Zatěžovací stav č.3 - Q3 silové-proměnné krátkodobé							
9	0,000	0,0	1,2	-4,7	1,0	0,0	0,0
-	0,200	0,0	1,2	-4,9	-	-	-
-	0,400	0,0	1,2	-5,1	-	-	-
-	0,600	0,0	1,1	-5,2	-	-	-
-	0,800	0,0	1,1	-5,3	-	-	-
8	1,000	0,0	1,1	-5,4	0,5	0,0	0,0
Zatěžovací stav č.4 - Q4 silové-proměnné krátkodobé							
9	0,000	0,0	0,7	-1,8	0,6	0,0	0,0
-	0,200	0,0	0,7	-2,0	-	-	-
-	0,400	0,0	0,7	-2,1	-	-	-
-	0,600	0,0	0,7	-2,1	-	-	-
-	0,800	0,0	0,7	-2,2	-	-	-
8	1,000	0,0	0,6	-2,3	0,4	0,0	0,0

Dílec č.9: 9 |----| 10, délka 1,000 m:

Styčník na dílci		Deformace					
č.	Umístění [m]	Posun X [mm]	Posun Y [mm]	Posun Z [mm]	Rotace X [mrad]	Rotace Y [mrad]	Rotace Z [mrad]
Zatěžovací stav č.1 - G1 vlastní tíha-stálé							
9	0,000	0,0	0,1	-0,5	0,1	0,0	0,0
-	0,200	0,0	0,1	-0,5	-	-	-
-	0,400	0,0	0,2	-0,5	-	-	-
-	0,600	0,0	0,2	-0,5	-	-	-
-	0,800	0,0	0,2	-0,4	-	-	-
10	1,000	0,0	0,2	-0,4	0,2	0,0	0,0
Zatěžovací stav č.2 - G2 silové-stálé							
9	0,000	0,0	2,4	-8,8	2,0	0,0	0,0
-	0,200	0,0	2,4	-8,4	-	-	-
-	0,400	0,0	2,5	-7,9	-	-	-
-	0,600	0,0	2,6	-7,4	-	-	-
-	0,800	0,0	2,6	-6,8	-	-	-
10	1,000	0,0	2,7	-6,0	4,0	0,0	0,0
Zatěžovací stav č.3 - Q3 silové-proměnné krátkodobé							
9	0,000	0,0	1,2	-4,7	1,0	0,0	0,0
-	0,200	0,0	1,3	-4,5	-	-	-
-	0,400	0,0	1,3	-4,3	-	-	-
-	0,600	0,0	1,4	-4,0	-	-	-
-	0,800	0,0	1,4	-3,7	-	-	-
10	1,000	0,0	1,4	-3,3	2,2	0,0	0,0
Zatěžovací stav č.4 - Q4 silové-proměnné krátkodobé							
9	0,000	0,0	0,7	-1,8	0,6	0,0	0,0
-	0,200	0,0	0,7	-1,7	-	-	-
-	0,400	0,0	0,7	-1,6	-	-	-
-	0,600	0,0	0,7	-1,5	-	-	-
-	0,800	0,0	0,7	-1,3	-	-	-
10	1,000	0,0	0,8	-1,2	0,9	0,0	0,0

Dílec č.10: 11 |----| 10, délka 1,000 m:

Styčník na dílci		Deformace					
č.	Umístění [m]	Posun X [mm]	Posun Y [mm]	Posun Z [mm]	Rotace X [mrad]	Rotace Y [mrad]	Rotace Z [mrad]
Zatěžovací stav č.1 - G1 vlastní tíha-stálé							
11	0,000	0,0	0,2	0,0	0,4	0,0	0,0
-	0,200	0,0	0,2	-0,1	-	-	-
-	0,400	0,0	0,2	-0,2	-	-	-
-	0,600	0,0	0,2	-0,2	-	-	-
-	0,800	0,0	0,2	-0,3	-	-	-
10	1,000	0,0	0,2	-0,4	0,2	0,0	0,0
Zatěžovací stav č.2 - G2 silové-stálé							
11	0,000	0,0	3,0	0,0	7,2	0,0	0,0
-	0,200	0,0	2,9	-1,4	-	-	-
-	0,400	0,0	2,9	-2,8	-	-	-
-	0,600	0,0	2,8	-4,0	-	-	-
-	0,800	0,0	2,8	-5,1	-	-	-

Styčník na dílci		Deformace					
č.	Umístění [m]	Posun X [mm]	Posun Y [mm]	Posun Z [mm]	Rotace X [mrad]	Rotace Y [mrad]	Rotace Z [mrad]
10	1,000	0,0	2,7	-6,0	4,0	0,0	0,0
Zatěžovací stav č.3 - Q3 silové-proměnné krátkodobé							
11	0,000	0,0	1,6	0,0	3,9	0,0	0,0
-	0,200	0,0	1,6	-0,8	-	-	-
-	0,400	0,0	1,5	-1,5	-	-	-
-	0,600	0,0	1,5	-2,2	-	-	-
-	0,800	0,0	1,5	-2,8	-	-	-
10	1,000	0,0	1,4	-3,3	2,2	0,0	0,0
Zatěžovací stav č.4 - Q4 silové-proměnné krátkodobé							
11	0,000	0,0	0,8	0,0	1,3	0,0	0,0
-	0,200	0,0	0,8	-0,3	-	-	-
-	0,400	0,0	0,8	-0,5	-	-	-
-	0,600	0,0	0,8	-0,8	-	-	-
-	0,800	0,0	0,8	-1,0	-	-	-
10	1,000	0,0	0,8	-1,2	0,9	0,0	0,0

Dílec č.11: 1 |----| 12, délka 1,044 m:

Styčník na dílci		Deformace					
č.	Umístění [m]	Posun X [mm]	Posun Y [mm]	Posun Z [mm]	Rotace X [mrad]	Rotace Y [mrad]	Rotace Z [mrad]
Zatěžovací stav č.1 - G1 vlastní tíha-stálé							
1	0,000	0,0	0,0	0,0	-0,4	0,0	0,0
-	0,209	0,0	0,0	-0,1	-	-	-
-	0,418	0,0	0,0	-0,2	-	-	-
-	0,626	0,0	0,1	-0,2	-	-	-
-	0,835	0,0	0,1	-0,3	-	-	-
12	1,044	0,0	0,1	-0,4	-0,2	0,0	0,0
Zatěžovací stav č.2 - G2 silové-stálé							
1	0,000	0,0	0,0	0,0	-7,4	0,0	0,0
-	0,209	0,0	0,4	-1,5	-	-	-
-	0,418	0,0	0,7	-2,9	-	-	-
-	0,626	0,0	1,0	-4,2	-	-	-
-	0,835	0,0	1,3	-5,3	-	-	-
12	1,044	0,0	1,5	-6,2	-3,8	0,0	0,0
Zatěžovací stav č.3 - Q3 silové-proměnné krátkodobé							
1	0,000	0,0	0,0	0,0	-3,9	0,0	0,0
-	0,209	0,0	0,2	-0,8	-	-	-
-	0,418	0,0	0,4	-1,5	-	-	-
-	0,626	0,0	0,5	-2,2	-	-	-
-	0,835	0,0	0,7	-2,8	-	-	-
12	1,044	0,0	0,8	-3,3	-2,0	0,0	0,0
Zatěžovací stav č.4 - Q4 silové-proměnné krátkodobé							
1	0,000	0,0	0,0	0,0	-2,6	0,0	0,0
-	0,209	0,0	0,1	-0,5	-	-	-
-	0,418	0,0	0,2	-1,0	-	-	-
-	0,626	0,0	0,4	-1,5	-	-	-
-	0,835	0,0	0,4	-1,8	-	-	-

Styčnick na dílci		Deformace					
č.	Umístění [m]	Posun X [mm]	Posun Y [mm]	Posun Z [mm]	Rotace X [mrad]	Rotace Y [mrad]	Rotace Z [mrad]
12	1,044	0,0	0,5	-2,1	-1,2	0,0	0,0

Dílec č.12: 13 |----| 12, délka 1,044 m:

Styčnick na dílci		Deformace					
č.	Umístění [m]	Posun X [mm]	Posun Y [mm]	Posun Z [mm]	Rotace X [mrad]	Rotace Y [mrad]	Rotace Z [mrad]
Zatěžovací stav č.1 - G1 vlastní tíha-stálé							
13	0,000	0,0	0,1	-0,5	-0,1	0,0	0,0
-	0,209	0,0	0,1	-0,5	-	-	-
-	0,418	0,0	0,1	-0,5	-	-	-
-	0,626	0,0	0,1	-0,5	-	-	-
-	0,835	0,0	0,1	-0,4	-	-	-
12	1,044	0,0	0,1	-0,4	-0,2	0,0	0,0
Zatěžovací stav č.2 - G2 silové-stálé							
13	0,000	0,0	1,9	-9,0	-1,9	0,0	0,0
-	0,209	0,0	1,9	-8,6	-	-	-
-	0,418	0,0	1,8	-8,1	-	-	-
-	0,626	0,0	1,7	-7,6	-	-	-
-	0,835	0,0	1,6	-6,9	-	-	-
12	1,044	0,0	1,5	-6,2	-3,8	0,0	0,0
Zatěžovací stav č.3 - Q3 silové-proměnné krátkodobé							
13	0,000	0,0	1,0	-4,7	-1,0	0,0	0,0
-	0,209	0,0	1,0	-4,5	-	-	-
-	0,418	0,0	1,0	-4,3	-	-	-
-	0,626	0,0	0,9	-4,0	-	-	-
-	0,835	0,0	0,9	-3,7	-	-	-
12	1,044	0,0	0,8	-3,3	-2,0	0,0	0,0
Zatěžovací stav č.4 - Q4 silové-proměnné krátkodobé							
13	0,000	0,0	0,6	-2,9	-0,5	0,0	0,0
-	0,209	0,0	0,6	-2,8	-	-	-
-	0,418	0,0	0,6	-2,7	-	-	-
-	0,626	0,0	0,6	-2,5	-	-	-
-	0,835	0,0	0,5	-2,3	-	-	-
12	1,044	0,0	0,5	-2,1	-1,2	0,0	0,0

Dílec č.13: 13 |----| 14, délka 1,044 m:

Styčnick na dílci		Deformace					
č.	Umístění [m]	Posun X [mm]	Posun Y [mm]	Posun Z [mm]	Rotace X [mrad]	Rotace Y [mrad]	Rotace Z [mrad]
Zatěžovací stav č.1 - G1 vlastní tíha-stálé							
13	0,000	0,0	0,1	-0,5	-0,1	0,0	0,0
-	0,209	0,0	0,1	-0,6	-	-	-
-	0,418	0,0	0,1	-0,6	-	-	-
-	0,626	0,0	0,1	-0,6	-	-	-
-	0,835	0,0	0,1	-0,6	-	-	-
14	1,044	0,0	0,1	-0,6	-0,1	0,0	0,0
Zatěžovací stav č.2 - G2 silové-stálé							
13	0,000	0,0	1,9	-9,0	-1,9	0,0	0,0

Styčník na dílci		Deformace					
č.	Umístění [m]	Posun X [mm]	Posun Y [mm]	Posun Z [mm]	Rotace X [mrad]	Rotace Y [mrad]	Rotace Z [mrad]
-	0,209	0,0	2,0	-9,3	-	-	-
-	0,418	0,0	2,0	-9,6	-	-	-
-	0,626	0,0	2,0	-9,9	-	-	-
-	0,835	0,0	1,9	-10,1	-	-	-
14	1,044	0,0	1,9	-10,3	-0,9	0,0	0,0
Zatěžovací stav č.3 - Q3 silové-proměnné krátkodobé							
13	0,000	0,0	1,0	-4,7	-1,0	0,0	0,0
-	0,209	0,0	1,0	-4,9	-	-	-
-	0,418	0,0	1,0	-5,1	-	-	-
-	0,626	0,0	1,0	-5,2	-	-	-
-	0,835	0,0	1,0	-5,3	-	-	-
14	1,044	0,0	1,0	-5,4	-0,5	0,0	0,0
Zatěžovací stav č.4 - Q4 silové-proměnné krátkodobé							
13	0,000	0,0	0,6	-2,9	-0,5	0,0	0,0
-	0,209	0,0	0,6	-3,0	-	-	-
-	0,418	0,0	0,6	-3,0	-	-	-
-	0,626	0,0	0,6	-3,1	-	-	-
-	0,835	0,0	0,5	-3,1	-	-	-
14	1,044	0,0	0,5	-3,1	-0,1	0,0	0,0

Dílec č.14: 15 |----| 14, délka 1,044 m:

Styčník na dílci		Deformace					
č.	Umístění [m]	Posun X [mm]	Posun Y [mm]	Posun Z [mm]	Rotace X [mrad]	Rotace Y [mrad]	Rotace Z [mrad]
Zatěžovací stav č.1 - G1 vlastní tíha-stálé							
15	0,000	0,0	0,1	-0,7	0,0	0,0	0,0
-	0,209	0,0	0,1	-0,7	-	-	-
-	0,418	0,0	0,1	-0,7	-	-	-
-	0,626	0,0	0,1	-0,6	-	-	-
-	0,835	0,0	0,1	-0,6	-	-	-
14	1,044	0,0	0,1	-0,6	-0,1	0,0	0,0
Zatěžovací stav č.2 - G2 silové-stálé							
15	0,000	0,0	1,8	-10,9	-0,2	0,0	0,0
-	0,209	0,0	1,8	-10,8	-	-	-
-	0,418	0,0	1,9	-10,7	-	-	-
-	0,626	0,0	1,9	-10,6	-	-	-
-	0,835	0,0	1,9	-10,5	-	-	-
14	1,044	0,0	1,9	-10,3	-0,9	0,0	0,0
Zatěžovací stav č.3 - Q3 silové-proměnné krátkodobé							
15	0,000	0,0	1,0	-5,8	-0,1	0,0	0,0
-	0,209	0,0	1,0	-5,7	-	-	-
-	0,418	0,0	1,0	-5,7	-	-	-
-	0,626	0,0	1,0	-5,6	-	-	-
-	0,835	0,0	1,0	-5,5	-	-	-
14	1,044	0,0	1,0	-5,4	-0,5	0,0	0,0
Zatěžovací stav č.4 - Q4 silové-proměnné krátkodobé							
15	0,000	0,0	0,4	-3,1	0,1	0,0	0,0

Styčník na dílci		Deformace					
č.	Umístění [m]	Posun X [mm]	Posun Y [mm]	Posun Z [mm]	Rotace X [mrad]	Rotace Y [mrad]	Rotace Z [mrad]
-	0,209	0,0	0,4	-3,1	-	-	-
-	0,418	0,0	0,5	-3,2	-	-	-
-	0,626	0,0	0,5	-3,2	-	-	-
-	0,835	0,0	0,5	-3,1	-	-	-
14	1,044	0,0	0,5	-3,1	-0,1	0,0	0,0

Dílec č.15: 15 |----| 16, délka 1,044 m:

Styčník na dílci		Deformace					
č.	Umístění [m]	Posun X [mm]	Posun Y [mm]	Posun Z [mm]	Rotace X [mrad]	Rotace Y [mrad]	Rotace Z [mrad]
Zatěžovací stav č.1 - G1 vlastní tíha-stálé							
15	0,000	0,0	0,1	-0,7	0,0	0,0	0,0
-	0,209	0,0	0,1	-0,7	-	-	-
-	0,418	0,0	0,1	-0,7	-	-	-
-	0,626	0,0	0,1	-0,7	-	-	-
-	0,835	0,0	0,1	-0,7	-	-	-
16	1,044	0,0	0,1	-0,7	0,0	0,0	0,0
Zatěžovací stav č.2 - G2 silové-stálé							
15	0,000	0,0	1,8	-10,9	-0,2	0,0	0,0
-	0,209	0,0	1,7	-10,9	-	-	-
-	0,418	0,0	1,7	-10,9	-	-	-
-	0,626	0,0	1,6	-10,9	-	-	-
-	0,835	0,0	1,5	-10,8	-	-	-
16	1,044	0,0	1,5	-10,8	0,0	0,0	0,0
Zatěžovací stav č.3 - Q3 silové-proměnné krátkodobé							
15	0,000	0,0	1,0	-5,8	-0,1	0,0	0,0
-	0,209	0,0	0,9	-5,8	-	-	-
-	0,418	0,0	0,9	-5,8	-	-	-
-	0,626	0,0	0,9	-5,8	-	-	-
-	0,835	0,0	0,8	-5,8	-	-	-
16	1,044	0,0	0,8	-5,7	0,0	0,0	0,0
Zatěžovací stav č.4 - Q4 silové-proměnné krátkodobé							
15	0,000	0,0	0,4	-3,1	0,1	0,0	0,0
-	0,209	0,0	0,4	-3,1	-	-	-
-	0,418	0,0	0,4	-3,1	-	-	-
-	0,626	0,0	0,3	-3,0	-	-	-
-	0,835	0,0	0,3	-2,9	-	-	-
16	1,044	0,0	0,2	-2,9	0,3	0,0	0,0

Dílec č.16: 17 |----| 16, délka 1,044 m:

Styčník na dílci		Deformace					
č.	Umístění [m]	Posun X [mm]	Posun Y [mm]	Posun Z [mm]	Rotace X [mrad]	Rotace Y [mrad]	Rotace Z [mrad]
Zatěžovací stav č.1 - G1 vlastní tíha-stálé							
17	0,000	0,0	0,1	-0,7	0,0	0,0	0,0
-	0,209	0,0	0,1	-0,7	-	-	-
-	0,418	0,0	0,1	-0,7	-	-	-
-	0,626	0,0	0,1	-0,7	-	-	-

Styčník na dílci		Deformace					
č.	Umístění [m]	Posun X [mm]	Posun Y [mm]	Posun Z [mm]	Rotace X [mrad]	Rotace Y [mrad]	Rotace Z [mrad]
-	0,835	0,0	0,1	-0,7	-	-	-
16	1,044	0,0	0,1	-0,7	0,0	0,0	0,0
Zatěžovací stav č.2 - G2 silové-stálé							
17	0,000	0,0	1,2	-10,8	0,2	0,0	0,0
-	0,209	0,0	1,2	-10,8	-	-	-
-	0,418	0,0	1,3	-10,8	-	-	-
-	0,626	0,0	1,4	-10,8	-	-	-
-	0,835	0,0	1,4	-10,8	-	-	-
16	1,044	0,0	1,5	-10,8	0,0	0,0	0,0
Zatěžovací stav č.3 - Q3 silové-proměnné krátkodobé							
17	0,000	0,0	0,6	-5,8	0,1	0,0	0,0
-	0,209	0,0	0,7	-5,8	-	-	-
-	0,418	0,0	0,7	-5,8	-	-	-
-	0,626	0,0	0,7	-5,8	-	-	-
-	0,835	0,0	0,8	-5,8	-	-	-
16	1,044	0,0	0,8	-5,7	0,0	0,0	0,0
Zatěžovací stav č.4 - Q4 silové-proměnné krátkodobé							
17	0,000	0,0	0,3	-2,6	0,2	0,0	0,0
-	0,209	0,0	0,3	-2,7	-	-	-
-	0,418	0,0	0,3	-2,7	-	-	-
-	0,626	0,0	0,3	-2,8	-	-	-
-	0,835	0,0	0,3	-2,8	-	-	-
16	1,044	0,0	0,2	-2,9	0,3	0,0	0,0

Dílec č.17: 17 |----| 18, délka 1,044 m:

Styčník na dílci		Deformace					
č.	Umístění [m]	Posun X [mm]	Posun Y [mm]	Posun Z [mm]	Rotace X [mrad]	Rotace Y [mrad]	Rotace Z [mrad]
Zatěžovací stav č.1 - G1 vlastní tíha-stálé							
17	0,000	0,0	0,1	-0,7	0,0	0,0	0,0
-	0,209	0,0	0,1	-0,7	-	-	-
-	0,418	0,0	0,1	-0,7	-	-	-
-	0,626	0,0	0,1	-0,6	-	-	-
-	0,835	0,0	0,1	-0,6	-	-	-
18	1,044	0,0	0,1	-0,6	0,1	0,0	0,0
Zatěžovací stav č.2 - G2 silové-stálé							
17	0,000	0,0	1,2	-10,8	0,2	0,0	0,0
-	0,209	0,0	1,1	-10,7	-	-	-
-	0,418	0,0	1,1	-10,6	-	-	-
-	0,626	0,0	1,1	-10,5	-	-	-
-	0,835	0,0	1,1	-10,3	-	-	-
18	1,044	0,0	1,1	-10,1	0,9	0,0	0,0
Zatěžovací stav č.3 - Q3 silové-proměnné krátkodobé							
17	0,000	0,0	0,6	-5,8	0,1	0,0	0,0
-	0,209	0,0	0,6	-5,7	-	-	-
-	0,418	0,0	0,6	-5,7	-	-	-
-	0,626	0,0	0,6	-5,6	-	-	-

Styčník na dílci		Deformace					
č.	Umístění [m]	Posun X [mm]	Posun Y [mm]	Posun Z [mm]	Rotace X [mrad]	Rotace Y [mrad]	Rotace Z [mrad]
-	0,835	0,0	0,6	-5,5	-	-	-
18	1,044	0,0	0,6	-5,4	0,5	0,0	0,0
Zatěžovací stav č.4 - Q4 silové-proměnné krátkodobé							
17	0,000	0,0	0,3	-2,6	0,2	0,0	0,0
-	0,209	0,0	0,3	-2,6	-	-	-
-	0,418	0,0	0,3	-2,5	-	-	-
-	0,626	0,0	0,3	-2,5	-	-	-
-	0,835	0,0	0,3	-2,4	-	-	-
18	1,044	0,0	0,3	-2,3	0,4	0,0	0,0

Dílec č.18: 19 |---| 18, délka 1,044 m:

Styčník na dílci		Deformace					
č.	Umístění [m]	Posun X [mm]	Posun Y [mm]	Posun Z [mm]	Rotace X [mrad]	Rotace Y [mrad]	Rotace Z [mrad]
Zatěžovací stav č.1 - G1 vlastní tíha-stálé							
19	0,000	0,0	0,1	-0,5	0,1	0,0	0,0
-	0,209	0,0	0,1	-0,6	-	-	-
-	0,418	0,0	0,1	-0,6	-	-	-
-	0,626	0,0	0,1	-0,6	-	-	-
-	0,835	0,0	0,1	-0,6	-	-	-
18	1,044	0,0	0,1	-0,6	0,1	0,0	0,0
Zatěžovací stav č.2 - G2 silové-stálé							
19	0,000	0,0	1,1	-8,8	1,9	0,0	0,0
-	0,209	0,0	1,1	-9,2	-	-	-
-	0,418	0,0	1,1	-9,5	-	-	-
-	0,626	0,0	1,1	-9,7	-	-	-
-	0,835	0,0	1,1	-9,9	-	-	-
18	1,044	0,0	1,1	-10,1	0,9	0,0	0,0
Zatěžovací stav č.3 - Q3 silové-proměnné krátkodobé							
19	0,000	0,0	0,6	-4,7	1,0	0,0	0,0
-	0,209	0,0	0,6	-4,9	-	-	-
-	0,418	0,0	0,6	-5,1	-	-	-
-	0,626	0,0	0,6	-5,2	-	-	-
-	0,835	0,0	0,6	-5,3	-	-	-
18	1,044	0,0	0,6	-5,4	0,5	0,0	0,0
Zatěžovací stav č.4 - Q4 silové-proměnné krátkodobé							
19	0,000	0,0	0,4	-1,8	0,5	0,0	0,0
-	0,209	0,0	0,3	-2,0	-	-	-
-	0,418	0,0	0,3	-2,1	-	-	-
-	0,626	0,0	0,3	-2,1	-	-	-
-	0,835	0,0	0,3	-2,2	-	-	-
18	1,044	0,0	0,3	-2,3	0,4	0,0	0,0

Dílec č.19: 19 |----| 20, délka 1,044 m:

Styčník na dílci		Deformace					
č.	Umístění [m]	Posun X [mm]	Posun Y [mm]	Posun Z [mm]	Rotace X [mrad]	Rotace Y [mrad]	Rotace Z [mrad]
Zatěžovací stav č.1 - G1 vlastní tíha-stálé							
19	0,000	0,0	0,1	-0,5	0,1	0,0	0,0
-	0,209	0,0	0,1	-0,5	-	-	-
-	0,418	0,0	0,1	-0,5	-	-	-
-	0,626	0,0	0,1	-0,5	-	-	-
-	0,835	0,0	0,1	-0,4	-	-	-
20	1,044	0,0	0,1	-0,4	0,2	0,0	0,0
Zatěžovací stav č.2 - G2 silové-stálé							
19	0,000	0,0	1,1	-8,8	1,9	0,0	0,0
-	0,209	0,0	1,2	-8,4	-	-	-
-	0,418	0,0	1,2	-7,9	-	-	-
-	0,626	0,0	1,3	-7,4	-	-	-
-	0,835	0,0	1,4	-6,8	-	-	-
20	1,044	0,0	1,5	-6,0	3,8	0,0	0,0
Zatěžovací stav č.3 - Q3 silové-proměnné krátkodobé							
19	0,000	0,0	0,6	-4,7	1,0	0,0	0,0
-	0,209	0,0	0,6	-4,5	-	-	-
-	0,418	0,0	0,6	-4,3	-	-	-
-	0,626	0,0	0,7	-4,0	-	-	-
-	0,835	0,0	0,7	-3,7	-	-	-
20	1,044	0,0	0,8	-3,3	2,0	0,0	0,0
Zatěžovací stav č.4 - Q4 silové-proměnné krátkodobé							
19	0,000	0,0	0,4	-1,8	0,5	0,0	0,0
-	0,209	0,0	0,4	-1,7	-	-	-
-	0,418	0,0	0,4	-1,6	-	-	-
-	0,626	0,0	0,4	-1,5	-	-	-
-	0,835	0,0	0,5	-1,3	-	-	-
20	1,044	0,0	0,5	-1,2	0,8	0,0	0,0

Dílec č.20: 11 |----| 20, délka 1,044 m:

Styčník na dílci		Deformace					
č.	Umístění [m]	Posun X [mm]	Posun Y [mm]	Posun Z [mm]	Rotace X [mrad]	Rotace Y [mrad]	Rotace Z [mrad]
Zatěžovací stav č.1 - G1 vlastní tíha-stálé							
11	0,000	0,0	0,2	0,0	0,4	0,0	0,0
-	0,209	0,0	0,2	-0,1	-	-	-
-	0,418	0,0	0,1	-0,2	-	-	-
-	0,626	0,0	0,1	-0,2	-	-	-
-	0,835	0,0	0,1	-0,3	-	-	-
20	1,044	0,0	0,1	-0,4	0,2	0,0	0,0
Zatěžovací stav č.2 - G2 silové-stálé							
11	0,000	0,0	3,0	0,0	7,2	0,0	0,0
-	0,209	0,0	2,6	-1,4	-	-	-
-	0,418	0,0	2,3	-2,8	-	-	-
-	0,626	0,0	2,0	-4,1	-	-	-
-	0,835	0,0	1,7	-5,2	-	-	-

Styčník na dílci		Deformace					
č.	Umístění [m]	Posun X [mm]	Posun Y [mm]	Posun Z [mm]	Rotace X [mrad]	Rotace Y [mrad]	Rotace Z [mrad]
20	1,044	0,0	1,5	-6,0	3,8	0,0	0,0
Zatěžovací stav č.3 - Q3 silové-proměnné krátkodobé							
11	0,000	0,0	1,6	0,0	3,9	0,0	0,0
-	0,209	0,0	1,4	-0,8	-	-	-
-	0,418	0,0	1,2	-1,5	-	-	-
-	0,626	0,0	1,1	-2,2	-	-	-
-	0,835	0,0	0,9	-2,8	-	-	-
20	1,044	0,0	0,8	-3,3	2,0	0,0	0,0
Zatěžovací stav č.4 - Q4 silové-proměnné krátkodobé							
11	0,000	0,0	0,8	0,0	1,3	0,0	0,0
-	0,209	0,0	0,7	-0,3	-	-	-
-	0,418	0,0	0,7	-0,5	-	-	-
-	0,626	0,0	0,6	-0,8	-	-	-
-	0,835	0,0	0,5	-1,0	-	-	-
20	1,044	0,0	0,5	-1,2	0,8	0,0	0,0

Dílec č.21: 2 |----| 12, délka 0,300 m:

Styčník na dílci		Deformace					
č.	Umístění [m]	Posun X [mm]	Posun Y [mm]	Posun Z [mm]	Rotace X [mrad]	Rotace Y [mrad]	Rotace Z [mrad]
Zatěžovací stav č.1 - G1 vlastní tíha-stálé							
2	0,000	0,0	0,0	-0,4	-0,2	0,0	0,0
-	0,150	0,0	0,1	-0,4	-	-	-
12	0,300	0,0	0,1	-0,4	-0,2	0,0	0,0
Zatěžovací stav č.2 - G2 silové-stálé							
2	0,000	0,0	0,3	-6,2	-4,1	0,0	0,0
-	0,150	0,0	0,9	-6,2	-	-	-
12	0,300	0,0	1,5	-6,2	-3,8	0,0	0,0
Zatěžovací stav č.3 - Q3 silové-proměnné krátkodobé							
2	0,000	0,0	0,2	-3,3	-2,2	0,0	0,0
-	0,150	0,0	0,5	-3,3	-	-	-
12	0,300	0,0	0,8	-3,3	-2,0	0,0	0,0
Zatěžovací stav č.4 - Q4 silové-proměnné krátkodobé							
2	0,000	0,0	0,1	-2,1	-1,3	0,0	0,0
-	0,150	0,0	0,3	-2,1	-	-	-
12	0,300	0,0	0,5	-2,1	-1,2	0,0	0,0

Dílec č.22: 3 |----| 12, délka 1,044 m:

Styčník na dílci		Deformace					
č.	Umístění [m]	Posun X [mm]	Posun Y [mm]	Posun Z [mm]	Rotace X [mrad]	Rotace Y [mrad]	Rotace Z [mrad]
Zatěžovací stav č.1 - G1 vlastní tíha-stálé							
3	0,000	0,0	0,0	-0,5	-0,1	0,0	0,0
-	0,209	0,0	0,0	-0,5	-	-	-
-	0,418	0,0	0,1	-0,5	-	-	-
-	0,626	0,0	0,1	-0,5	-	-	-
-	0,835	0,0	0,1	-0,4	-	-	-
12	1,044	0,0	0,1	-0,4	-0,2	0,0	0,0

Styčník na dílci		Deformace					
č.	Umístění [m]	Posun X [mm]	Posun Y [mm]	Posun Z [mm]	Rotace X [mrad]	Rotace Y [mrad]	Rotace Z [mrad]
Zatěžovací stav č.2 - G2 silové-stálé							
3	0,000	0,0	0,7	-9,0	-2,0	0,0	0,0
-	0,209	0,0	0,8	-8,5	-	-	-
-	0,418	0,0	0,9	-8,1	-	-	-
-	0,626	0,0	1,1	-7,5	-	-	-
-	0,835	0,0	1,3	-6,9	-	-	-
12	1,044	0,0	1,5	-6,2	-3,8	0,0	0,0
Zatěžovací stav č.3 - Q3 silové-proměnné krátkodobé							
3	0,000	0,0	0,4	-4,7	-1,0	0,0	0,0
-	0,209	0,0	0,4	-4,5	-	-	-
-	0,418	0,0	0,5	-4,3	-	-	-
-	0,626	0,0	0,6	-4,0	-	-	-
-	0,835	0,0	0,7	-3,6	-	-	-
12	1,044	0,0	0,8	-3,3	-2,0	0,0	0,0
Zatěžovací stav č.4 - Q4 silové-proměnné krátkodobé							
3	0,000	0,0	0,3	-2,9	-0,5	0,0	0,0
-	0,209	0,0	0,3	-2,8	-	-	-
-	0,418	0,0	0,3	-2,7	-	-	-
-	0,626	0,0	0,4	-2,5	-	-	-
-	0,835	0,0	0,4	-2,3	-	-	-
12	1,044	0,0	0,5	-2,1	-1,2	0,0	0,0

Dílec č.23: 3 |----| 13, délka 0,600 m:

Styčník na dílci		Deformace					
č.	Umístění [m]	Posun X [mm]	Posun Y [mm]	Posun Z [mm]	Rotace X [mrad]	Rotace Y [mrad]	Rotace Z [mrad]
Zatěžovací stav č.1 - G1 vlastní tíha-stálé							
3	0,000	0,0	0,0	-0,5	-0,1	0,0	0,0
-	0,200	0,0	0,1	-0,5	-	-	-
-	0,400	0,0	0,1	-0,5	-	-	-
13	0,600	0,0	0,1	-0,5	-0,1	0,0	0,0
Zatěžovací stav č.2 - G2 silové-stálé							
3	0,000	0,0	0,7	-9,0	-2,0	0,0	0,0
-	0,200	0,0	1,1	-9,0	-	-	-
-	0,400	0,0	1,5	-9,0	-	-	-
13	0,600	0,0	1,9	-9,0	-1,9	0,0	0,0
Zatěžovací stav č.3 - Q3 silové-proměnné krátkodobé							
3	0,000	0,0	0,4	-4,7	-1,0	0,0	0,0
-	0,200	0,0	0,6	-4,7	-	-	-
-	0,400	0,0	0,8	-4,7	-	-	-
13	0,600	0,0	1,0	-4,7	-1,0	0,0	0,0
Zatěžovací stav č.4 - Q4 silové-proměnné krátkodobé							
3	0,000	0,0	0,3	-2,9	-0,5	0,0	0,0
-	0,200	0,0	0,4	-2,9	-	-	-
-	0,400	0,0	0,5	-2,9	-	-	-
13	0,600	0,0	0,6	-2,9	-0,5	0,0	0,0

Dílec č.24: 3 |----| 14, délka 1,345 m:

Styčník na dílci		Deformace					
č.	Umístění [m]	Posun X [mm]	Posun Y [mm]	Posun Z [mm]	Rotace X [mrad]	Rotace Y [mrad]	Rotace Z [mrad]
Zatěžovací stav č.1 - G1 vlastní tíha-stálé							
3	0,000	0,0	0,0	-0,5	-0,1	0,0	0,0
-	0,224	0,0	0,1	-0,6	-	-	-
-	0,448	0,0	0,1	-0,6	-	-	-
-	0,673	0,0	0,1	-0,6	-	-	-
-	0,897	0,0	0,1	-0,6	-	-	-
-	1,121	0,0	0,1	-0,6	-	-	-
14	1,345	0,0	0,1	-0,6	-0,1	0,0	0,0
Zatěžovací stav č.2 - G2 silové-stálé							
3	0,000	0,0	0,7	-9,0	-2,0	0,0	0,0
-	0,224	0,0	1,0	-9,3	-	-	-
-	0,448	0,0	1,2	-9,5	-	-	-
-	0,673	0,0	1,4	-9,8	-	-	-
-	0,897	0,0	1,6	-9,9	-	-	-
-	1,121	0,0	1,8	-10,1	-	-	-
14	1,345	0,0	1,9	-10,3	-0,9	0,0	0,0
Zatěžovací stav č.3 - Q3 silové-proměnné krátkodobé							
3	0,000	0,0	0,4	-4,7	-1,0	0,0	0,0
-	0,224	0,0	0,5	-4,9	-	-	-
-	0,448	0,0	0,6	-5,0	-	-	-
-	0,673	0,0	0,7	-5,1	-	-	-
-	0,897	0,0	0,8	-5,3	-	-	-
-	1,121	0,0	0,9	-5,3	-	-	-
14	1,345	0,0	1,0	-5,4	-0,5	0,0	0,0
Zatěžovací stav č.4 - Q4 silové-proměnné krátkodobé							
3	0,000	0,0	0,3	-2,9	-0,5	0,0	0,0
-	0,224	0,0	0,3	-3,0	-	-	-
-	0,448	0,0	0,4	-3,0	-	-	-
-	0,673	0,0	0,4	-3,0	-	-	-
-	0,897	0,0	0,5	-3,1	-	-	-
-	1,121	0,0	0,5	-3,1	-	-	-
14	1,345	0,0	0,5	-3,1	-0,1	0,0	0,0

Dílec č.25: 4 |----| 14, délka 0,900 m:

Styčník na dílci		Deformace					
č.	Umístění [m]	Posun X [mm]	Posun Y [mm]	Posun Z [mm]	Rotace X [mrad]	Rotace Y [mrad]	Rotace Z [mrad]
Zatěžovací stav č.1 - G1 vlastní tíha-stálé							
4	0,000	0,0	0,1	-0,6	-0,1	0,0	0,0
-	0,225	0,0	0,1	-0,6	-	-	-
-	0,450	0,0	0,1	-0,6	-	-	-
-	0,675	0,0	0,1	-0,6	-	-	-
14	0,900	0,0	0,1	-0,6	-0,1	0,0	0,0
Zatěžovací stav č.2 - G2 silové-stálé							
4	0,000	0,0	1,0	-10,3	-0,9	0,0	0,0
-	0,225	0,0	1,2	-10,3	-	-	-

Styčník na dílci		Deformace					
č.	Umístění [m]	Posun X [mm]	Posun Y [mm]	Posun Z [mm]	Rotace X [mrad]	Rotace Y [mrad]	Rotace Z [mrad]
-	0,450	0,0	1,5	-10,3	-	-	-
-	0,675	0,0	1,7	-10,3	-	-	-
14	0,900	0,0	1,9	-10,3	-0,9	0,0	0,0
Zatěžovací stav č.3 - Q3 silové-proměnné krátkodobé							
4	0,000	0,0	0,5	-5,4	-0,5	0,0	0,0
-	0,225	0,0	0,6	-5,4	-	-	-
-	0,450	0,0	0,8	-5,4	-	-	-
-	0,675	0,0	0,9	-5,4	-	-	-
14	0,900	0,0	1,0	-5,4	-0,5	0,0	0,0
Zatěžovací stav č.4 - Q4 silové-proměnné krátkodobé							
4	0,000	0,0	0,4	-3,1	-0,1	0,0	0,0
-	0,225	0,0	0,4	-3,1	-	-	-
-	0,450	0,0	0,4	-3,1	-	-	-
-	0,675	0,0	0,5	-3,1	-	-	-
14	0,900	0,0	0,5	-3,1	-0,1	0,0	0,0

Dílec č.26: 5 |----| 14, délka 1,345 m:

Styčník na dílci		Deformace					
č.	Umístění [m]	Posun X [mm]	Posun Y [mm]	Posun Z [mm]	Rotace X [mrad]	Rotace Y [mrad]	Rotace Z [mrad]
Zatěžovací stav č.1 - G1 vlastní tíha-stálé							
5	0,000	0,0	0,1	-0,7	0,0	0,0	0,0
-	0,224	0,0	0,1	-0,7	-	-	-
-	0,448	0,0	0,1	-0,7	-	-	-
-	0,673	0,0	0,1	-0,7	-	-	-
-	0,897	0,0	0,1	-0,6	-	-	-
-	1,121	0,0	0,1	-0,6	-	-	-
14	1,345	0,0	0,1	-0,6	-0,1	0,0	0,0
Zatěžovací stav č.2 - G2 silové-stálé							
5	0,000	0,0	1,3	-10,8	-0,3	0,0	0,0
-	0,224	0,0	1,4	-10,8	-	-	-
-	0,448	0,0	1,4	-10,7	-	-	-
-	0,673	0,0	1,5	-10,6	-	-	-
-	0,897	0,0	1,7	-10,5	-	-	-
-	1,121	0,0	1,8	-10,4	-	-	-
14	1,345	0,0	1,9	-10,3	-0,9	0,0	0,0
Zatěžovací stav č.3 - Q3 silové-proměnné krátkodobé							
5	0,000	0,0	0,7	-5,7	-0,2	0,0	0,0
-	0,224	0,0	0,7	-5,7	-	-	-
-	0,448	0,0	0,8	-5,7	-	-	-
-	0,673	0,0	0,8	-5,6	-	-	-
-	0,897	0,0	0,9	-5,6	-	-	-
-	1,121	0,0	0,9	-5,5	-	-	-
14	1,345	0,0	1,0	-5,4	-0,5	0,0	0,0
Zatěžovací stav č.4 - Q4 silové-proměnné krátkodobé							
5	0,000	0,0	0,5	-3,1	0,1	0,0	0,0
-	0,224	0,0	0,5	-3,1	-	-	-

Styčník na dílci		Deformace					
č.	Umístění [m]	Posun X [mm]	Posun Y [mm]	Posun Z [mm]	Rotace X [mrad]	Rotace Y [mrad]	Rotace Z [mrad]
-	0,448	0,0	0,5	-3,1	-	-	-
-	0,673	0,0	0,5	-3,1	-	-	-
-	0,897	0,0	0,5	-3,1	-	-	-
-	1,121	0,0	0,5	-3,1	-	-	-
14	1,345	0,0	0,5	-3,1	-0,1	0,0	0,0

Dílec č.27: 5 |----| 15, délka 1,200 m:

Styčník na dílci		Deformace					
č.	Umístění [m]	Posun X [mm]	Posun Y [mm]	Posun Z [mm]	Rotace X [mrad]	Rotace Y [mrad]	Rotace Z [mrad]
Zatěžovací stav č.1 - G1 vlastní tíha-stálé							
5	0,000	0,0	0,1	-0,7	0,0	0,0	0,0
-	0,240	0,0	0,1	-0,7	-	-	-
-	0,480	0,0	0,1	-0,7	-	-	-
-	0,720	0,0	0,1	-0,7	-	-	-
-	0,960	0,0	0,1	-0,7	-	-	-
15	1,200	0,0	0,1	-0,7	0,0	0,0	0,0
Zatěžovací stav č.2 - G2 silové-stálé							
5	0,000	0,0	1,3	-10,8	-0,3	0,0	0,0
-	0,240	0,0	1,4	-10,8	-	-	-
-	0,480	0,0	1,5	-10,8	-	-	-
-	0,720	0,0	1,6	-10,9	-	-	-
-	0,960	0,0	1,7	-10,9	-	-	-
15	1,200	0,0	1,8	-10,9	-0,2	0,0	0,0
Zatěžovací stav č.3 - Q3 silové-proměnné krátkodobé							
5	0,000	0,0	0,7	-5,7	-0,2	0,0	0,0
-	0,240	0,0	0,7	-5,7	-	-	-
-	0,480	0,0	0,8	-5,8	-	-	-
-	0,720	0,0	0,9	-5,8	-	-	-
-	0,960	0,0	0,9	-5,8	-	-	-
15	1,200	0,0	1,0	-5,8	-0,1	0,0	0,0
Zatěžovací stav č.4 - Q4 silové-proměnné krátkodobé							
5	0,000	0,0	0,5	-3,1	0,1	0,0	0,0
-	0,240	0,0	0,5	-3,1	-	-	-
-	0,480	0,0	0,4	-3,1	-	-	-
-	0,720	0,0	0,4	-3,1	-	-	-
-	0,960	0,0	0,4	-3,1	-	-	-
15	1,200	0,0	0,4	-3,1	0,1	0,0	0,0

Dílec č.28: 5 |----| 16, délka 1,803 m:

Styčník na dílci		Deformace					
č.	Umístění [m]	Posun X [mm]	Posun Y [mm]	Posun Z [mm]	Rotace X [mrad]	Rotace Y [mrad]	Rotace Z [mrad]
Zatěžovací stav č.1 - G1 vlastní tíha-stálé							
5	0,000	0,0	0,1	-0,7	0,0	0,0	0,0
-	0,225	0,0	0,1	-0,7	-	-	-
-	0,451	0,0	0,1	-0,7	-	-	-
-	0,676	0,0	0,1	-0,7	-	-	-

Styčník na dílci		Deformace					
č.	Umístění [m]	Posun X [mm]	Posun Y [mm]	Posun Z [mm]	Rotace X [mrad]	Rotace Y [mrad]	Rotace Z [mrad]
-	0,901	0,0	0,1	-0,7	-	-	-
-	1,127	0,0	0,1	-0,7	-	-	-
-	1,352	0,0	0,1	-0,7	-	-	-
-	1,577	0,0	0,1	-0,7	-	-	-
16	1,803	0,0	0,1	-0,7	0,0	0,0	0,0
Zatěžovací stav č.2 - G2 silové-stálé							
5	0,000	0,0	1,3	-10,8	-0,3	0,0	0,0
-	0,225	0,0	1,4	-10,9	-	-	-
-	0,451	0,0	1,4	-10,9	-	-	-
-	0,676	0,0	1,4	-10,9	-	-	-
-	0,901	0,0	1,5	-10,9	-	-	-
-	1,127	0,0	1,5	-10,9	-	-	-
-	1,352	0,0	1,5	-10,8	-	-	-
-	1,577	0,0	1,5	-10,8	-	-	-
16	1,803	0,0	1,5	-10,8	0,0	0,0	0,0
Zatěžovací stav č.3 - Q3 silové-proměnné krátkodobé							
5	0,000	0,0	0,7	-5,7	-0,2	0,0	0,0
-	0,225	0,0	0,7	-5,8	-	-	-
-	0,451	0,0	0,7	-5,8	-	-	-
-	0,676	0,0	0,8	-5,8	-	-	-
-	0,901	0,0	0,8	-5,8	-	-	-
-	1,127	0,0	0,8	-5,8	-	-	-
-	1,352	0,0	0,8	-5,8	-	-	-
-	1,577	0,0	0,8	-5,8	-	-	-
16	1,803	0,0	0,8	-5,7	0,0	0,0	0,0
Zatěžovací stav č.4 - Q4 silové-proměnné krátkodobé							
5	0,000	0,0	0,5	-3,1	0,1	0,0	0,0
-	0,225	0,0	0,5	-3,1	-	-	-
-	0,451	0,0	0,4	-3,1	-	-	-
-	0,676	0,0	0,4	-3,0	-	-	-
-	0,901	0,0	0,4	-3,0	-	-	-
-	1,127	0,0	0,4	-3,0	-	-	-
-	1,352	0,0	0,3	-2,9	-	-	-
-	1,577	0,0	0,3	-2,9	-	-	-
16	1,803	0,0	0,2	-2,9	0,3	0,0	0,0

Dílec č.29: 6 |---| 16, délka 1,500 m:

Styčník na dílci		Deformace					
č.	Umístění [m]	Posun X [mm]	Posun Y [mm]	Posun Z [mm]	Rotace X [mrad]	Rotace Y [mrad]	Rotace Z [mrad]
Zatěžovací stav č.1 - G1 vlastní tíha-stálé							
6	0,000	0,0	0,1	-0,7	0,0	0,0	0,0
-	0,214	0,0	0,1	-0,7	-	-	-
-	0,429	0,0	0,1	-0,7	-	-	-
-	0,643	0,0	0,1	-0,7	-	-	-
-	0,857	0,0	0,1	-0,7	-	-	-
-	1,071	0,0	0,1	-0,7	-	-	-

Styčník na dílci		Deformace					
č.	Umístění [m]	Posun X [mm]	Posun Y [mm]	Posun Z [mm]	Rotace X [mrad]	Rotace Y [mrad]	Rotace Z [mrad]
-	1,286	0,0	0,1	-0,7	-	-	-
16	1,500	0,0	0,1	-0,7	0,0	0,0	0,0
Zatěžovací stav č.2 - G2 silové-stálé							
6	0,000	0,0	1,5	-10,8	0,0	0,0	0,0
-	0,214	0,0	1,5	-10,8	-	-	-
-	0,429	0,0	1,5	-10,8	-	-	-
-	0,643	0,0	1,5	-10,8	-	-	-
-	0,857	0,0	1,5	-10,8	-	-	-
-	1,071	0,0	1,5	-10,8	-	-	-
-	1,286	0,0	1,5	-10,8	-	-	-
16	1,500	0,0	1,5	-10,8	0,0	0,0	0,0
Zatěžovací stav č.3 - Q3 silové-proměnné krátkodobé							
6	0,000	0,0	0,8	-5,8	0,0	0,0	0,0
-	0,214	0,0	0,8	-5,8	-	-	-
-	0,429	0,0	0,8	-5,8	-	-	-
-	0,643	0,0	0,8	-5,8	-	-	-
-	0,857	0,0	0,8	-5,8	-	-	-
-	1,071	0,0	0,8	-5,7	-	-	-
-	1,286	0,0	0,8	-5,7	-	-	-
16	1,500	0,0	0,8	-5,7	0,0	0,0	0,0
Zatěžovací stav č.4 - Q4 silové-proměnné krátkodobé							
6	0,000	0,0	0,5	-2,9	0,2	0,0	0,0
-	0,214	0,0	0,5	-2,9	-	-	-
-	0,429	0,0	0,4	-2,9	-	-	-
-	0,643	0,0	0,4	-2,9	-	-	-
-	0,857	0,0	0,4	-2,9	-	-	-
-	1,071	0,0	0,3	-2,9	-	-	-
-	1,286	0,0	0,3	-2,9	-	-	-
16	1,500	0,0	0,2	-2,9	0,3	0,0	0,0

Dílec č.30: 7 |----| 16, délka 1,803 m:

Styčník na dílci		Deformace					
č.	Umístění [m]	Posun X [mm]	Posun Y [mm]	Posun Z [mm]	Rotace X [mrad]	Rotace Y [mrad]	Rotace Z [mrad]
Zatěžovací stav č.1 - G1 vlastní tíha-stálé							
7	0,000	0,0	0,1	-0,7	0,0	0,0	0,0
-	0,225	0,0	0,1	-0,7	-	-	-
-	0,451	0,0	0,1	-0,7	-	-	-
-	0,676	0,0	0,1	-0,7	-	-	-
-	0,901	0,0	0,1	-0,7	-	-	-
-	1,127	0,0	0,1	-0,7	-	-	-
-	1,352	0,0	0,1	-0,7	-	-	-
-	1,577	0,0	0,1	-0,7	-	-	-
16	1,803	0,0	0,1	-0,7	0,0	0,0	0,0
Zatěžovací stav č.2 - G2 silové-stálé							
7	0,000	0,0	1,7	-10,8	0,4	0,0	0,0
-	0,225	0,0	1,7	-10,8	-	-	-

Styčník na dílci		Deformace					
č.	Umístění [m]	Posun X [mm]	Posun Y [mm]	Posun Z [mm]	Rotace X [mrad]	Rotace Y [mrad]	Rotace Z [mrad]
-	0,451	0,0	1,6	-10,8	-	-	-
-	0,676	0,0	1,6	-10,8	-	-	-
-	0,901	0,0	1,5	-10,8	-	-	-
-	1,127	0,0	1,5	-10,8	-	-	-
-	1,352	0,0	1,5	-10,8	-	-	-
-	1,577	0,0	1,5	-10,8	-	-	-
16	1,803	0,0	1,5	-10,8	0,0	0,0	0,0
Zatěžovací stav č.3 - Q3 silové-proměnné krátkodobé							
7	0,000	0,0	0,9	-5,7	0,2	0,0	0,0
-	0,225	0,0	0,9	-5,8	-	-	-
-	0,451	0,0	0,9	-5,8	-	-	-
-	0,676	0,0	0,8	-5,8	-	-	-
-	0,901	0,0	0,8	-5,8	-	-	-
-	1,127	0,0	0,8	-5,8	-	-	-
-	1,352	0,0	0,8	-5,8	-	-	-
-	1,577	0,0	0,8	-5,8	-	-	-
16	1,803	0,0	0,8	-5,7	0,0	0,0	0,0
Zatěžovací stav č.4 - Q4 silové-proměnné krátkodobé							
7	0,000	0,0	0,6	-2,6	0,3	0,0	0,0
-	0,225	0,0	0,5	-2,7	-	-	-
-	0,451	0,0	0,5	-2,7	-	-	-
-	0,676	0,0	0,5	-2,7	-	-	-
-	0,901	0,0	0,4	-2,8	-	-	-
-	1,127	0,0	0,4	-2,8	-	-	-
-	1,352	0,0	0,3	-2,8	-	-	-
-	1,577	0,0	0,3	-2,8	-	-	-
16	1,803	0,0	0,2	-2,9	0,3	0,0	0,0

Dílec č.31: 7 |----| 17, délka 1,200 m:

Styčník na dílci		Deformace					
č.	Umístění [m]	Posun X [mm]	Posun Y [mm]	Posun Z [mm]	Rotace X [mrad]	Rotace Y [mrad]	Rotace Z [mrad]
Zatěžovací stav č.1 - G1 vlastní tíha-stálé							
7	0,000	0,0	0,1	-0,7	0,0	0,0	0,0
-	0,240	0,0	0,1	-0,7	-	-	-
-	0,480	0,0	0,1	-0,7	-	-	-
-	0,720	0,0	0,1	-0,7	-	-	-
-	0,960	0,0	0,1	-0,7	-	-	-
17	1,200	0,0	0,1	-0,7	0,0	0,0	0,0
Zatěžovací stav č.2 - G2 silové-stálé							
7	0,000	0,0	1,7	-10,8	0,4	0,0	0,0
-	0,240	0,0	1,6	-10,8	-	-	-
-	0,480	0,0	1,5	-10,8	-	-	-
-	0,720	0,0	1,4	-10,8	-	-	-
-	0,960	0,0	1,3	-10,8	-	-	-
17	1,200	0,0	1,2	-10,8	0,2	0,0	0,0

Styčník na dílci		Deformace					
č.	Umístění [m]	Posun X [mm]	Posun Y [mm]	Posun Z [mm]	Rotace X [mrad]	Rotace Y [mrad]	Rotace Z [mrad]
Zatěžovací stav č.3 - Q3 silové-proměnné krátkodobé							
7	0,000	0,0	0,9	-5,7	0,2	0,0	0,0
-	0,240	0,0	0,9	-5,7	-	-	-
-	0,480	0,0	0,8	-5,8	-	-	-
-	0,720	0,0	0,7	-5,8	-	-	-
-	0,960	0,0	0,7	-5,8	-	-	-
17	1,200	0,0	0,6	-5,8	0,1	0,0	0,0
Zatěžovací stav č.4 - Q4 silové-proměnné krátkodobé							
7	0,000	0,0	0,6	-2,6	0,3	0,0	0,0
-	0,240	0,0	0,5	-2,6	-	-	-
-	0,480	0,0	0,4	-2,6	-	-	-
-	0,720	0,0	0,4	-2,6	-	-	-
-	0,960	0,0	0,3	-2,6	-	-	-
17	1,200	0,0	0,3	-2,6	0,2	0,0	0,0

Dílec č.32: 7 |----| 18, délka 1,345 m:

Styčník na dílci		Deformace					
č.	Umístění [m]	Posun X [mm]	Posun Y [mm]	Posun Z [mm]	Rotace X [mrad]	Rotace Y [mrad]	Rotace Z [mrad]
Zatěžovací stav č.1 - G1 vlastní tíha-stálé							
7	0,000	0,0	0,1	-0,7	0,0	0,0	0,0
-	0,224	0,0	0,1	-0,7	-	-	-
-	0,448	0,0	0,1	-0,7	-	-	-
-	0,673	0,0	0,1	-0,7	-	-	-
-	0,897	0,0	0,1	-0,6	-	-	-
-	1,121	0,0	0,1	-0,6	-	-	-
18	1,345	0,0	0,1	-0,6	0,1	0,0	0,0
Zatěžovací stav č.2 - G2 silové-stálé							
7	0,000	0,0	1,7	-10,8	0,4	0,0	0,0
-	0,224	0,0	1,7	-10,7	-	-	-
-	0,448	0,0	1,6	-10,6	-	-	-
-	0,673	0,0	1,5	-10,5	-	-	-
-	0,897	0,0	1,4	-10,4	-	-	-
-	1,121	0,0	1,2	-10,3	-	-	-
18	1,345	0,0	1,1	-10,1	0,9	0,0	0,0
Zatěžovací stav č.3 - Q3 silové-proměnné krátkodobé							
7	0,000	0,0	0,9	-5,7	0,2	0,0	0,0
-	0,224	0,0	0,9	-5,7	-	-	-
-	0,448	0,0	0,8	-5,7	-	-	-
-	0,673	0,0	0,8	-5,6	-	-	-
-	0,897	0,0	0,7	-5,6	-	-	-
-	1,121	0,0	0,7	-5,5	-	-	-
18	1,345	0,0	0,6	-5,4	0,5	0,0	0,0
Zatěžovací stav č.4 - Q4 silové-proměnné krátkodobé							
7	0,000	0,0	0,6	-2,6	0,3	0,0	0,0
-	0,224	0,0	0,5	-2,6	-	-	-
-	0,448	0,0	0,5	-2,5	-	-	-

Styčník na dílci		Deformace					
č.	Umístění [m]	Posun X [mm]	Posun Y [mm]	Posun Z [mm]	Rotace X [mrad]	Rotace Y [mrad]	Rotace Z [mrad]
-	0,673	0,0	0,4	-2,5	-	-	-
-	0,897	0,0	0,4	-2,4	-	-	-
-	1,121	0,0	0,3	-2,4	-	-	-
18	1,345	0,0	0,3	-2,3	0,4	0,0	0,0

Dílec č.33: 8 |----| 18, délka 0,900 m:

Styčník na dílci		Deformace					
č.	Umístění [m]	Posun X [mm]	Posun Y [mm]	Posun Z [mm]	Rotace X [mrad]	Rotace Y [mrad]	Rotace Z [mrad]
Zatěžovací stav č.1 - G1 vlastní tíha-stálé							
8	0,000	0,0	0,1	-0,6	0,1	0,0	0,0
-	0,225	0,0	0,1	-0,6	-	-	-
-	0,450	0,0	0,1	-0,6	-	-	-
-	0,675	0,0	0,1	-0,6	-	-	-
18	0,900	0,0	0,1	-0,6	0,1	0,0	0,0
Zatěžovací stav č.2 - G2 silové-stálé							
8	0,000	0,0	2,0	-10,2	1,0	0,0	0,0
-	0,225	0,0	1,8	-10,1	-	-	-
-	0,450	0,0	1,6	-10,1	-	-	-
-	0,675	0,0	1,3	-10,1	-	-	-
18	0,900	0,0	1,1	-10,1	0,9	0,0	0,0
Zatěžovací stav č.3 - Q3 silové-proměnné krátkodobé							
8	0,000	0,0	1,1	-5,4	0,5	0,0	0,0
-	0,225	0,0	1,0	-5,4	-	-	-
-	0,450	0,0	0,8	-5,4	-	-	-
-	0,675	0,0	0,7	-5,4	-	-	-
18	0,900	0,0	0,6	-5,4	0,5	0,0	0,0
Zatěžovací stav č.4 - Q4 silové-proměnné krátkodobé							
8	0,000	0,0	0,6	-2,3	0,4	0,0	0,0
-	0,225	0,0	0,6	-2,3	-	-	-
-	0,450	0,0	0,5	-2,3	-	-	-
-	0,675	0,0	0,4	-2,3	-	-	-
18	0,900	0,0	0,3	-2,3	0,4	0,0	0,0

Dílec č.34: 9 |----| 18, délka 1,345 m:

Styčník na dílci		Deformace					
č.	Umístění [m]	Posun X [mm]	Posun Y [mm]	Posun Z [mm]	Rotace X [mrad]	Rotace Y [mrad]	Rotace Z [mrad]
Zatěžovací stav č.1 - G1 vlastní tíha-stálé							
9	0,000	0,0	0,1	-0,5	0,1	0,0	0,0
-	0,224	0,0	0,1	-0,6	-	-	-
-	0,448	0,0	0,1	-0,6	-	-	-
-	0,673	0,0	0,1	-0,6	-	-	-
-	0,897	0,0	0,1	-0,6	-	-	-
-	1,121	0,0	0,1	-0,6	-	-	-
18	1,345	0,0	0,1	-0,6	0,1	0,0	0,0
Zatěžovací stav č.2 - G2 silové-stálé							
9	0,000	0,0	2,4	-8,8	2,0	0,0	0,0

Styčník na dílci		Deformace					
č.	Umístění [m]	Posun X [mm]	Posun Y [mm]	Posun Z [mm]	Rotace X [mrad]	Rotace Y [mrad]	Rotace Z [mrad]
-	0,224	0,0	2,1	-9,1	-	-	-
-	0,448	0,0	1,8	-9,4	-	-	-
-	0,673	0,0	1,6	-9,6	-	-	-
-	0,897	0,0	1,4	-9,8	-	-	-
-	1,121	0,0	1,2	-10,0	-	-	-
18	1,345	0,0	1,1	-10,1	0,9	0,0	0,0
Zatěžovací stav č.3 - Q3 silové-proměnné krátkodobé							
9	0,000	0,0	1,2	-4,7	1,0	0,0	0,0
-	0,224	0,0	1,1	-4,9	-	-	-
-	0,448	0,0	1,0	-5,0	-	-	-
-	0,673	0,0	0,8	-5,1	-	-	-
-	0,897	0,0	0,7	-5,3	-	-	-
-	1,121	0,0	0,7	-5,3	-	-	-
18	1,345	0,0	0,6	-5,4	0,5	0,0	0,0
Zatěžovací stav č.4 - Q4 silové-proměnné krátkodobé							
9	0,000	0,0	0,7	-1,8	0,6	0,0	0,0
-	0,224	0,0	0,6	-1,9	-	-	-
-	0,448	0,0	0,5	-2,0	-	-	-
-	0,673	0,0	0,5	-2,1	-	-	-
-	0,897	0,0	0,4	-2,2	-	-	-
-	1,121	0,0	0,3	-2,2	-	-	-
18	1,345	0,0	0,3	-2,3	0,4	0,0	0,0

Dílec č.35: 9 |----| 19, délka 0,600 m:

Styčník na dílci		Deformace					
č.	Umístění [m]	Posun X [mm]	Posun Y [mm]	Posun Z [mm]	Rotace X [mrad]	Rotace Y [mrad]	Rotace Z [mrad]
Zatěžovací stav č.1 - G1 vlastní tíha-stálé							
9	0,000	0,0	0,1	-0,5	0,1	0,0	0,0
-	0,200	0,0	0,1	-0,5	-	-	-
-	0,400	0,0	0,1	-0,5	-	-	-
19	0,600	0,0	0,1	-0,5	0,1	0,0	0,0
Zatěžovací stav č.2 - G2 silové-stálé							
9	0,000	0,0	2,4	-8,8	2,0	0,0	0,0
-	0,200	0,0	1,9	-8,8	-	-	-
-	0,400	0,0	1,5	-8,8	-	-	-
19	0,600	0,0	1,1	-8,8	1,9	0,0	0,0
Zatěžovací stav č.3 - Q3 silové-proměnné krátkodobé							
9	0,000	0,0	1,2	-4,7	1,0	0,0	0,0
-	0,200	0,0	1,0	-4,7	-	-	-
-	0,400	0,0	0,8	-4,7	-	-	-
19	0,600	0,0	0,6	-4,7	1,0	0,0	0,0
Zatěžovací stav č.4 - Q4 silové-proměnné krátkodobé							
9	0,000	0,0	0,7	-1,8	0,6	0,0	0,0
-	0,200	0,0	0,6	-1,8	-	-	-
-	0,400	0,0	0,5	-1,8	-	-	-
19	0,600	0,0	0,4	-1,8	0,5	0,0	0,0

Dílec č.36: 9 |----| 20, délka 1,044 m:

Styčník na dílci		Deformace					
č.	Umístění [m]	Posun X [mm]	Posun Y [mm]	Posun Z [mm]	Rotace X [mrad]	Rotace Y [mrad]	Rotace Z [mrad]
Zatěžovací stav č.1 - G1 vlastní tíha-stálé							
9	0,000	0,0	0,1	-0,5	0,1	0,0	0,0
-	0,209	0,0	0,1	-0,5	-	-	-
-	0,418	0,0	0,1	-0,5	-	-	-
-	0,626	0,0	0,1	-0,5	-	-	-
-	0,835	0,0	0,1	-0,4	-	-	-
20	1,044	0,0	0,1	-0,4	0,2	0,0	0,0
Zatěžovací stav č.2 - G2 silové-stálé							
9	0,000	0,0	2,4	-8,8	2,0	0,0	0,0
-	0,209	0,0	2,2	-8,4	-	-	-
-	0,418	0,0	2,1	-7,9	-	-	-
-	0,626	0,0	1,9	-7,4	-	-	-
-	0,835	0,0	1,8	-6,8	-	-	-
20	1,044	0,0	1,5	-6,0	3,8	0,0	0,0
Zatěžovací stav č.3 - Q3 silové-proměnné krátkodobé							
9	0,000	0,0	1,2	-4,7	1,0	0,0	0,0
-	0,209	0,0	1,2	-4,5	-	-	-
-	0,418	0,0	1,1	-4,3	-	-	-
-	0,626	0,0	1,0	-4,0	-	-	-
-	0,835	0,0	0,9	-3,6	-	-	-
20	1,044	0,0	0,8	-3,3	2,0	0,0	0,0
Zatěžovací stav č.4 - Q4 silové-proměnné krátkodobé							
9	0,000	0,0	0,7	-1,8	0,6	0,0	0,0
-	0,209	0,0	0,7	-1,7	-	-	-
-	0,418	0,0	0,6	-1,6	-	-	-
-	0,626	0,0	0,6	-1,5	-	-	-
-	0,835	0,0	0,5	-1,3	-	-	-
20	1,044	0,0	0,5	-1,2	0,8	0,0	0,0

Dílec č.37: 10 |----| 20, délka 0,300 m:

Styčník na dílci		Deformace					
č.	Umístění [m]	Posun X [mm]	Posun Y [mm]	Posun Z [mm]	Rotace X [mrad]	Rotace Y [mrad]	Rotace Z [mrad]
Zatěžovací stav č.1 - G1 vlastní tíha-stálé							
10	0,000	0,0	0,2	-0,4	0,2	0,0	0,0
-	0,150	0,0	0,1	-0,4	-	-	-
20	0,300	0,0	0,1	-0,4	0,2	0,0	0,0
Zatěžovací stav č.2 - G2 silové-stálé							
10	0,000	0,0	2,7	-6,0	4,0	0,0	0,0
-	0,150	0,0	2,1	-6,0	-	-	-
20	0,300	0,0	1,5	-6,0	3,8	0,0	0,0
Zatěžovací stav č.3 - Q3 silové-proměnné krátkodobé							
10	0,000	0,0	1,4	-3,3	2,2	0,0	0,0
-	0,150	0,0	1,1	-3,3	-	-	-
20	0,300	0,0	0,8	-3,3	2,0	0,0	0,0

Styčník na dílci		Deformace					
č.	Umístění [m]	Posun X [mm]	Posun Y [mm]	Posun Z [mm]	Rotace X [mrad]	Rotace Y [mrad]	Rotace Z [mrad]
Zatěžovací stav č.4 - Q4 silové-proměnné krátkodobé							
10	0,000	0,0	0,8	-1,2	0,9	0,0	0,0
-	0,150	0,0	0,6	-1,2	-	-	-
20	0,300	0,0	0,5	-1,2	0,8	0,0	0,0

3.1.4 Extrémy deformací

Kladné extrémy:

Deformace	Zatěžovací stav	Umístění	Hodnota
Posun X	-	-	0,0 mm
Posun Y	Zatěžovací stav 2	Styčník 11	3,0 mm
Posun Z	-	-	0,0 mm
Rotace X	Zatěžovací stav 2	Styčník 11	7,2 mrad
Rotace Y	-	-	0,0 mrad
Rotace Z	-	-	0,0 mrad

Záporné extrémy:

Deformace	Zatěžovací stav	Umístění	Hodnota
Posun X	-	-	0,0 mm
Posun Y	-	-	0,0 mm
Posun Z	Zatěžovací stav 2	Dílec 5 : X = 0,400m	-10,9 mm
Rotace X	Zatěžovací stav 2	Styčník 1	-7,4 mrad
Rotace Y	-	-	0,0 mrad
Rotace Z	-	-	0,0 mrad

3.2 Deformace pro kombinace I.řádu, MSÚ

3.2.1 Deformace po styčnicích

Kombinace 1. řád, pro posouzení mezního stavu únosnosti (MSÚ)

Kombinace I.řád, MSÚ		Deformace					
č.	Název	Posun X [mm]	Posun Y [mm]	Posun Z [mm]	Rotace X [mrad]	Rotace Y [mrad]	Rotace Z [mrad]
Styčník č.1 - abs. X: 0,000 m Y: 0,000 m Z: 0,000 m							
1	Q3:G1+G2	0,0	0,0	0,0	-12,8	0,0	0,0
2	Q4:G1+G2	0,0	0,0	0,0	-10,9	0,0	0,0
Styčník č.2 - abs. X: 0,000 m Y: 1,000 m Z: 0,000 m							
1	Q3:G1+G2	0,0	0,6	-10,8	-7,1	0,0	0,0
2	Q4:G1+G2	0,0	0,5	-9,1	-5,8	0,0	0,0
Styčník č.3 - abs. X: 0,000 m Y: 2,000 m Z: 0,000 m							
1	Q3:G1+G2	0,0	1,2	-15,6	-3,4	0,0	0,0
2	Q4:G1+G2	0,0	1,0	-12,9	-2,6	0,0	0,0
Styčník č.4 - abs. X: 0,000 m Y: 3,000 m Z: 0,000 m							
1	Q3:G1+G2	0,0	1,7	-18,0	-1,7	0,0	0,0
2	Q4:G1+G2	0,0	1,5	-14,5	-1,1	0,0	0,0
Styčník č.5 - abs. X: 0,000 m Y: 4,000 m Z: 0,000 m							
1	Q3:G1+G2	0,0	2,3	-19,0	-0,6	0,0	0,0
2	Q4:G1+G2	0,0	1,9	-15,0	-0,1	0,0	0,0
Styčník č.6 - abs. X: 0,000 m Y: 5,000 m Z: 0,000 m							
1	Q3:G1+G2	0,0	2,6	-19,0	0,0	0,0	0,0
2	Q4:G1+G2	0,0	2,2	-14,7	0,4	0,0	0,0

Kombinace I.řád, MSÚ		Deformace					
č.	Název	Posun X [mm]	Posun Y [mm]	Posun Z [mm]	Rotace X [mrad]	Rotace Y [mrad]	Rotace Z [mrad]
Styčník č.7 - abs. X: 0,000 m Y: 6,000 m Z: 0,000 m							
1	Q3:G1+G2	0,0	3,0	-18,9	0,6	0,0	0,0
2	Q4:G1+G2	0,0	2,5	-14,3	0,8	0,0	0,0
Styčník č.8 - abs. X: 0,000 m Y: 7,000 m Z: 0,000 m							
1	Q3:G1+G2	0,0	3,6	-17,8	1,7	0,0	0,0
2	Q4:G1+G2	0,0	2,9	-13,2	1,5	0,0	0,0
Styčník č.9 - abs. X: 0,000 m Y: 8,000 m Z: 0,000 m							
1	Q3:G1+G2	0,0	4,1	-15,5	3,5	0,0	0,0
2	Q4:G1+G2	0,0	3,3	-11,2	2,7	0,0	0,0
Styčník č.10 - abs. X: 0,000 m Y: 9,000 m Z: 0,000 m							
1	Q3:G1+G2	0,0	4,7	-10,7	7,1	0,0	0,0
2	Q4:G1+G2	0,0	3,7	-7,5	5,1	0,0	0,0
Styčník č.11 - abs. X: 0,000 m Y: 10,000 m Z: 0,000 m							
1	Q3:G1+G2	0,0	5,3	0,0	12,7	0,0	0,0
2	Q4:G1+G2	0,0	4,1	0,0	8,8	0,0	0,0
Styčník č.12 - abs. X: 0,000 m Y: 1,000 m Z: 0,300 m							
1	Q3:G1+G2	0,0	2,6	-10,8	-6,7	0,0	0,0
2	Q4:G1+G2	0,0	2,2	-9,1	-5,5	0,0	0,0
Styčník č.13 - abs. X: 0,000 m Y: 2,000 m Z: 0,600 m							
1	Q3:G1+G2	0,0	3,4	-15,7	-3,4	0,0	0,0
2	Q4:G1+G2	0,0	2,7	-12,9	-2,5	0,0	0,0
Styčník č.14 - abs. X: 0,000 m Y: 3,000 m Z: 0,900 m							
1	Q3:G1+G2	0,0	3,4	-17,9	-1,6	0,0	0,0
2	Q4:G1+G2	0,0	2,6	-14,5	-1,0	0,0	0,0
Styčník č.15 - abs. X: 0,000 m Y: 4,000 m Z: 1,200 m							
1	Q3:G1+G2	0,0	3,1	-19,0	-0,4	0,0	0,0
2	Q4:G1+G2	0,0	2,3	-15,0	0,0	0,0	0,0
Styčník č.16 - abs. X: 0,000 m Y: 5,000 m Z: 1,500 m							
1	Q3:G1+G2	0,0	2,6	-18,9	0,0	0,0	0,0
2	Q4:G1+G2	0,0	1,8	-14,6	0,4	0,0	0,0
Styčník č.17 - abs. X: 0,000 m Y: 6,000 m Z: 1,200 m							
1	Q3:G1+G2	0,0	2,1	-18,9	0,4	0,0	0,0
2	Q4:G1+G2	0,0	1,5	-14,3	0,6	0,0	0,0
Styčník č.18 - abs. X: 0,000 m Y: 7,000 m Z: 0,900 m							
1	Q3:G1+G2	0,0	1,9	-17,8	1,6	0,0	0,0
2	Q4:G1+G2	0,0	1,5	-13,2	1,5	0,0	0,0
Styčník č.19 - abs. X: 0,000 m Y: 8,000 m Z: 0,600 m							
1	Q3:G1+G2	0,0	1,9	-15,5	3,4	0,0	0,0
2	Q4:G1+G2	0,0	1,6	-11,2	2,7	0,0	0,0
Styčník č.20 - abs. X: 0,000 m Y: 9,000 m Z: 0,300 m							
1	Q3:G1+G2	0,0	2,7	-10,7	6,6	0,0	0,0
2	Q4:G1+G2	0,0	2,2	-7,5	4,9	0,0	0,0

3.2.2 Deformace po kombinacích

Kombinace 1. řád, pro posouzení mezního stavu únosnosti (MSÚ)

Styčník		Deformace					
č.	Popis styčníku	Posun X [mm]	Posun Y [mm]	Posun Z [mm]	Rotace X [mrad]	Rotace Y [mrad]	Rotace Z [mrad]
Kombinace č.1 - Q3:G1+G2							
1	abs. X: 0,000 m Y: 0,000 m Z: 0,000 m	0,0	0,0	0,0	-12,8	0,0	0,0
2	abs. X: 0,000 m Y: 1,000 m Z: 0,000 m	0,0	0,6	-10,8	-7,1	0,0	0,0
3	abs. X: 0,000 m Y: 2,000 m Z: 0,000 m	0,0	1,2	-15,6	-3,4	0,0	0,0
4	abs. X: 0,000 m Y: 3,000 m Z: 0,000 m	0,0	1,7	-18,0	-1,7	0,0	0,0
5	abs. X: 0,000 m Y: 4,000 m Z: 0,000 m	0,0	2,3	-19,0	-0,6	0,0	0,0
6	abs. X: 0,000 m Y: 5,000 m Z: 0,000 m	0,0	2,6	-19,0	0,0	0,0	0,0
7	abs. X: 0,000 m Y: 6,000 m Z: 0,000 m	0,0	3,0	-18,9	0,6	0,0	0,0
8	abs. X: 0,000 m Y: 7,000 m Z: 0,000 m	0,0	3,6	-17,8	1,7	0,0	0,0
9	abs. X: 0,000 m Y: 8,000 m Z: 0,000 m	0,0	4,1	-15,5	3,5	0,0	0,0
10	abs. X: 0,000 m Y: 9,000 m Z: 0,000 m	0,0	4,7	-10,7	7,1	0,0	0,0
11	abs. X: 0,000 m Y: 10,000 m Z: 0,000 m	0,0	5,3	0,0	12,7	0,0	0,0
12	abs. X: 0,000 m Y: 1,000 m Z: 0,300 m	0,0	2,6	-10,8	-6,7	0,0	0,0
13	abs. X: 0,000 m Y: 2,000 m Z: 0,600 m	0,0	3,4	-15,7	-3,4	0,0	0,0
14	abs. X: 0,000 m Y: 3,000 m Z: 0,900 m	0,0	3,4	-17,9	-1,6	0,0	0,0
15	abs. X: 0,000 m Y: 4,000 m Z: 1,200 m	0,0	3,1	-19,0	-0,4	0,0	0,0
16	abs. X: 0,000 m Y: 5,000 m Z: 1,500 m	0,0	2,6	-18,9	0,0	0,0	0,0
17	abs. X: 0,000 m Y: 6,000 m Z: 1,200 m	0,0	2,1	-18,9	0,4	0,0	0,0
18	abs. X: 0,000 m Y: 7,000 m Z: 0,900 m	0,0	1,9	-17,8	1,6	0,0	0,0
19	abs. X: 0,000 m Y: 8,000 m Z: 0,600 m	0,0	1,9	-15,5	3,4	0,0	0,0
20	abs. X: 0,000 m Y: 9,000 m Z: 0,300 m	0,0	2,7	-10,7	6,6	0,0	0,0
Kombinace č.2 - Q4:G1+G2							
1	abs. X: 0,000 m Y: 0,000 m Z: 0,000 m	0,0	0,0	0,0	-10,9	0,0	0,0
2	abs. X: 0,000 m Y: 1,000 m Z: 0,000 m	0,0	0,5	-9,1	-5,8	0,0	0,0
3	abs. X: 0,000 m Y: 2,000 m Z: 0,000 m	0,0	1,0	-12,9	-2,6	0,0	0,0
4	abs. X: 0,000 m Y: 3,000 m Z: 0,000 m	0,0	1,5	-14,5	-1,1	0,0	0,0
5	abs. X: 0,000 m Y: 4,000 m Z: 0,000 m	0,0	1,9	-15,0	-0,1	0,0	0,0
6	abs. X: 0,000 m Y: 5,000 m Z: 0,000 m	0,0	2,2	-14,7	0,4	0,0	0,0
7	abs. X: 0,000 m Y: 6,000 m Z: 0,000 m	0,0	2,5	-14,3	0,8	0,0	0,0
8	abs. X: 0,000 m Y: 7,000 m Z: 0,000 m	0,0	2,9	-13,2	1,5	0,0	0,0
9	abs. X: 0,000 m Y: 8,000 m Z: 0,000 m	0,0	3,3	-11,2	2,7	0,0	0,0
10	abs. X: 0,000 m Y: 9,000 m Z: 0,000 m	0,0	3,7	-7,5	5,1	0,0	0,0
11	abs. X: 0,000 m Y: 10,000 m Z: 0,000 m	0,0	4,1	0,0	8,8	0,0	0,0
12	abs. X: 0,000 m Y: 1,000 m Z: 0,300 m	0,0	2,2	-9,1	-5,5	0,0	0,0
13	abs. X: 0,000 m Y: 2,000 m Z: 0,600 m	0,0	2,7	-12,9	-2,5	0,0	0,0
14	abs. X: 0,000 m Y: 3,000 m Z: 0,900 m	0,0	2,6	-14,5	-1,0	0,0	0,0
15	abs. X: 0,000 m Y: 4,000 m Z: 1,200 m	0,0	2,3	-15,0	0,0	0,0	0,0
16	abs. X: 0,000 m Y: 5,000 m Z: 1,500 m	0,0	1,8	-14,6	0,4	0,0	0,0
17	abs. X: 0,000 m Y: 6,000 m Z: 1,200 m	0,0	1,5	-14,3	0,6	0,0	0,0
18	abs. X: 0,000 m Y: 7,000 m Z: 0,900 m	0,0	1,5	-13,2	1,5	0,0	0,0
19	abs. X: 0,000 m Y: 8,000 m Z: 0,600 m	0,0	1,6	-11,2	2,7	0,0	0,0
20	abs. X: 0,000 m Y: 9,000 m Z: 0,300 m	0,0	2,2	-7,5	4,9	0,0	0,0

3.2.3 Deformace na dílcích

Kombinace 1. řád, pro posouzení mezního stavu únosnosti (MSÚ)

Dílec č.1: 1 |----| 2, délka 1,000 m:

Styčník na dílci		Deformace					
č.	Umístění [m]	Posun X [mm]	Posun Y [mm]	Posun Z [mm]	Rotace X [mrad]	Rotace Y [mrad]	Rotace Z [mrad]
Kombinace č.1 - Q3:G1+G2							
1	0,000	0,0	0,0	0,0	-12,8	0,0	0,0
-	0,200	0,0	0,1	-2,5	-	-	-
-	0,400	0,0	0,2	-5,0	-	-	-
-	0,600	0,0	0,3	-7,2	-	-	-
-	0,800	0,0	0,4	-9,2	-	-	-
2	1,000	0,0	0,6	-10,8	-7,1	0,0	0,0
Kombinace č.2 - Q4:G1+G2							
1	0,000	0,0	0,0	0,0	-10,9	0,0	0,0
-	0,200	0,0	0,1	-2,2	-	-	-
-	0,400	0,0	0,2	-4,2	-	-	-
-	0,600	0,0	0,3	-6,1	-	-	-
-	0,800	0,0	0,4	-7,7	-	-	-
2	1,000	0,0	0,5	-9,1	-5,8	0,0	0,0

Dílec č.2: 3 |----| 2, délka 1,000 m:

Styčník na dílci		Deformace					
č.	Umístění [m]	Posun X [mm]	Posun Y [mm]	Posun Z [mm]	Rotace X [mrad]	Rotace Y [mrad]	Rotace Z [mrad]
Kombinace č.1 - Q3:G1+G2							
3	0,000	0,0	1,2	-15,6	-3,4	0,0	0,0
-	0,200	0,0	1,0	-14,9	-	-	-
-	0,400	0,0	0,9	-14,1	-	-	-
-	0,600	0,0	0,8	-13,2	-	-	-
-	0,800	0,0	0,7	-12,1	-	-	-
2	1,000	0,0	0,6	-10,8	-7,1	0,0	0,0
Kombinace č.2 - Q4:G1+G2							
3	0,000	0,0	1,0	-12,9	-2,6	0,0	0,0
-	0,200	0,0	0,9	-12,3	-	-	-
-	0,400	0,0	0,8	-11,7	-	-	-
-	0,600	0,0	0,7	-11,0	-	-	-
-	0,800	0,0	0,6	-10,1	-	-	-
2	1,000	0,0	0,5	-9,1	-5,8	0,0	0,0

Dílec č.3: 3 |----| 4, délka 1,000 m:

Styčník na dílci		Deformace					
č.	Umístění [m]	Posun X [mm]	Posun Y [mm]	Posun Z [mm]	Rotace X [mrad]	Rotace Y [mrad]	Rotace Z [mrad]
Kombinace č.1 - Q3:G1+G2							
3	0,000	0,0	1,2	-15,6	-3,4	0,0	0,0
-	0,200	0,0	1,3	-16,3	-	-	-
-	0,400	0,0	1,4	-16,8	-	-	-
-	0,600	0,0	1,5	-17,2	-	-	-
-	0,800	0,0	1,6	-17,6	-	-	-
4	1,000	0,0	1,7	-18,0	-1,7	0,0	0,0
Kombinace č.2 - Q4:G1+G2							
3	0,000	0,0	1,0	-12,9	-2,6	0,0	0,0

Styčník na dílci		Deformace					
č.	Umístění [m]	Posun X [mm]	Posun Y [mm]	Posun Z [mm]	Rotace X [mrad]	Rotace Y [mrad]	Rotace Z [mrad]
-	0,200	0,0	1,1	-13,3	-	-	-
-	0,400	0,0	1,2	-13,7	-	-	-
-	0,600	0,0	1,3	-14,0	-	-	-
-	0,800	0,0	1,4	-14,3	-	-	-
4	1,000	0,0	1,5	-14,5	-1,1	0,0	0,0

Dílec č.4: 5 |----| 4, délka 1,000 m:

Styčník na dílci		Deformace					
č.	Umístění [m]	Posun X [mm]	Posun Y [mm]	Posun Z [mm]	Rotace X [mrad]	Rotace Y [mrad]	Rotace Z [mrad]
Kombinace č.1 - Q3:G1+G2							
5	0,000	0,0	2,3	-19,0	-0,6	0,0	0,0
-	0,200	0,0	2,1	-18,9	-	-	-
-	0,400	0,0	2,0	-18,7	-	-	-
-	0,600	0,0	1,9	-18,5	-	-	-
-	0,800	0,0	1,8	-18,3	-	-	-
4	1,000	0,0	1,7	-18,0	-1,7	0,0	0,0
Kombinace č.2 - Q4:G1+G2							
5	0,000	0,0	1,9	-15,0	-0,1	0,0	0,0
-	0,200	0,0	1,8	-15,0	-	-	-
-	0,400	0,0	1,8	-14,9	-	-	-
-	0,600	0,0	1,7	-14,8	-	-	-
-	0,800	0,0	1,6	-14,7	-	-	-
4	1,000	0,0	1,5	-14,5	-1,1	0,0	0,0

Dílec č.5: 5 |----| 6, délka 1,000 m:

Styčník na dílci		Deformace					
č.	Umístění [m]	Posun X [mm]	Posun Y [mm]	Posun Z [mm]	Rotace X [mrad]	Rotace Y [mrad]	Rotace Z [mrad]
Kombinace č.1 - Q3:G1+G2							
5	0,000	0,0	2,3	-19,0	-0,6	0,0	0,0
-	0,200	0,0	2,3	-19,1	-	-	-
-	0,400	0,0	2,4	-19,1	-	-	-
-	0,600	0,0	2,5	-19,0	-	-	-
-	0,800	0,0	2,6	-19,0	-	-	-
6	1,000	0,0	2,6	-19,0	0,0	0,0	0,0
Kombinace č.2 - Q4:G1+G2							
5	0,000	0,0	1,9	-15,0	-0,1	0,0	0,0
-	0,200	0,0	2,0	-15,0	-	-	-
-	0,400	0,0	2,1	-15,0	-	-	-
-	0,600	0,0	2,1	-14,9	-	-	-
-	0,800	0,0	2,2	-14,8	-	-	-
6	1,000	0,0	2,2	-14,7	0,4	0,0	0,0

Dílec č.6: 7 |----| 6, délka 1,000 m:

Styčník na dílci		Deformace					
č.	Umístění [m]	Posun X [mm]	Posun Y [mm]	Posun Z [mm]	Rotace X [mrad]	Rotace Y [mrad]	Rotace Z [mrad]
Kombinace č.1 - Q3:G1+G2							
7	0,000	0,0	3,0	-18,9	0,6	0,0	0,0
-	0,200	0,0	3,0	-19,0	-	-	-
-	0,400	0,0	2,9	-19,0	-	-	-
-	0,600	0,0	2,8	-19,0	-	-	-
-	0,800	0,0	2,7	-19,0	-	-	-
6	1,000	0,0	2,6	-19,0	0,0	0,0	0,0
Kombinace č.2 - Q4:G1+G2							
7	0,000	0,0	2,5	-14,3	0,8	0,0	0,0
-	0,200	0,0	2,5	-14,4	-	-	-
-	0,400	0,0	2,4	-14,5	-	-	-
-	0,600	0,0	2,4	-14,6	-	-	-
-	0,800	0,0	2,3	-14,6	-	-	-
6	1,000	0,0	2,2	-14,7	0,4	0,0	0,0

Dílec č.7: 7 |----| 8, délka 1,000 m:

Styčník na dílci		Deformace					
č.	Umístění [m]	Posun X [mm]	Posun Y [mm]	Posun Z [mm]	Rotace X [mrad]	Rotace Y [mrad]	Rotace Z [mrad]
Kombinace č.1 - Q3:G1+G2							
7	0,000	0,0	3,0	-18,9	0,6	0,0	0,0
-	0,200	0,0	3,1	-18,8	-	-	-
-	0,400	0,0	3,3	-18,6	-	-	-
-	0,600	0,0	3,4	-18,4	-	-	-
-	0,800	0,0	3,5	-18,2	-	-	-
8	1,000	0,0	3,6	-17,8	1,7	0,0	0,0
Kombinace č.2 - Q4:G1+G2							
7	0,000	0,0	2,5	-14,3	0,8	0,0	0,0
-	0,200	0,0	2,6	-14,1	-	-	-
-	0,400	0,0	2,7	-13,9	-	-	-
-	0,600	0,0	2,8	-13,7	-	-	-
-	0,800	0,0	2,8	-13,5	-	-	-
8	1,000	0,0	2,9	-13,2	1,5	0,0	0,0

Dílec č.8: 9 |----| 8, délka 1,000 m:

Styčník na dílci		Deformace					
č.	Umístění [m]	Posun X [mm]	Posun Y [mm]	Posun Z [mm]	Rotace X [mrad]	Rotace Y [mrad]	Rotace Z [mrad]
Kombinace č.1 - Q3:G1+G2							
9	0,000	0,0	4,1	-15,5	3,5	0,0	0,0
-	0,200	0,0	4,0	-16,1	-	-	-
-	0,400	0,0	3,9	-16,7	-	-	-
-	0,600	0,0	3,8	-17,1	-	-	-
-	0,800	0,0	3,7	-17,5	-	-	-
8	1,000	0,0	3,6	-17,8	1,7	0,0	0,0
Kombinace č.2 - Q4:G1+G2							
9	0,000	0,0	3,3	-11,2	2,7	0,0	0,0

Styčník na dílci		Deformace					
č.	Umístění [m]	Posun X [mm]	Posun Y [mm]	Posun Z [mm]	Rotace X [mrad]	Rotace Y [mrad]	Rotace Z [mrad]
-	0,200	0,0	3,2	-11,7	-	-	-
-	0,400	0,0	3,2	-12,1	-	-	-
-	0,600	0,0	3,1	-12,5	-	-	-
-	0,800	0,0	3,0	-12,9	-	-	-
8	1,000	0,0	2,9	-13,2	1,5	0,0	0,0

Dílec č.9: 9 |----| 10, délka 1,000 m:

Styčník na dílci		Deformace					
č.	Umístění [m]	Posun X [mm]	Posun Y [mm]	Posun Z [mm]	Rotace X [mrad]	Rotace Y [mrad]	Rotace Z [mrad]
Kombinace č.1 - Q3:G1+G2							
9	0,000	0,0	4,1	-15,5	3,5	0,0	0,0
-	0,200	0,0	4,2	-14,8	-	-	-
-	0,400	0,0	4,4	-14,0	-	-	-
-	0,600	0,0	4,5	-13,1	-	-	-
-	0,800	0,0	4,6	-12,0	-	-	-
10	1,000	0,0	4,7	-10,7	7,1	0,0	0,0
Kombinace č.2 - Q4:G1+G2							
9	0,000	0,0	3,3	-11,2	2,7	0,0	0,0
-	0,200	0,0	3,4	-10,6	-	-	-
-	0,400	0,0	3,5	-10,0	-	-	-
-	0,600	0,0	3,5	-9,3	-	-	-
-	0,800	0,0	3,6	-8,5	-	-	-
10	1,000	0,0	3,7	-7,5	5,1	0,0	0,0

Dílec č.10: 11 |----| 10, délka 1,000 m:

Styčník na dílci		Deformace					
č.	Umístění [m]	Posun X [mm]	Posun Y [mm]	Posun Z [mm]	Rotace X [mrad]	Rotace Y [mrad]	Rotace Z [mrad]
Kombinace č.1 - Q3:G1+G2							
11	0,000	0,0	5,3	0,0	12,7	0,0	0,0
-	0,200	0,0	5,1	-2,5	-	-	-
-	0,400	0,0	5,0	-4,9	-	-	-
-	0,600	0,0	4,9	-7,1	-	-	-
-	0,800	0,0	4,8	-9,1	-	-	-
10	1,000	0,0	4,7	-10,7	7,1	0,0	0,0
Kombinace č.2 - Q4:G1+G2							
11	0,000	0,0	4,1	0,0	8,8	0,0	0,0
-	0,200	0,0	4,0	-1,7	-	-	-
-	0,400	0,0	3,9	-3,4	-	-	-
-	0,600	0,0	3,8	-5,0	-	-	-
-	0,800	0,0	3,8	-6,4	-	-	-
10	1,000	0,0	3,7	-7,5	5,1	0,0	0,0

Dílec č.11: 1 |----| 12, délka 1,044 m:

Styčnick na dílci		Deformace					
č.	Umístění [m]	Posun X [mm]	Posun Y [mm]	Posun Z [mm]	Rotace X [mrad]	Rotace Y [mrad]	Rotace Z [mrad]
Kombinace č.1 - Q3:G1+G2							
1	0,000	0,0	0,0	0,0	-12,8	0,0	0,0
-	0,209	0,0	0,6	-2,6	-	-	-
-	0,418	0,0	1,3	-5,1	-	-	-
-	0,626	0,0	1,8	-7,3	-	-	-
-	0,835	0,0	2,3	-9,2	-	-	-
12	1,044	0,0	2,6	-10,8	-6,7	0,0	0,0
Kombinace č.2 - Q4:G1+G2							
1	0,000	0,0	0,0	0,0	-10,9	0,0	0,0
-	0,209	0,0	0,5	-2,2	-	-	-
-	0,418	0,0	1,1	-4,3	-	-	-
-	0,626	0,0	1,5	-6,2	-	-	-
-	0,835	0,0	1,9	-7,8	-	-	-
12	1,044	0,0	2,2	-9,1	-5,5	0,0	0,0

Dílec č.12: 13 |----| 12, délka 1,044 m:

Styčnick na dílci		Deformace					
č.	Umístění [m]	Posun X [mm]	Posun Y [mm]	Posun Z [mm]	Rotace X [mrad]	Rotace Y [mrad]	Rotace Z [mrad]
Kombinace č.1 - Q3:G1+G2							
13	0,000	0,0	3,4	-15,7	-3,4	0,0	0,0
-	0,209	0,0	3,3	-14,9	-	-	-
-	0,418	0,0	3,2	-14,1	-	-	-
-	0,626	0,0	3,0	-13,2	-	-	-
-	0,835	0,0	2,8	-12,1	-	-	-
12	1,044	0,0	2,6	-10,8	-6,7	0,0	0,0
Kombinace č.2 - Q4:G1+G2							
13	0,000	0,0	2,7	-12,9	-2,5	0,0	0,0
-	0,209	0,0	2,7	-12,4	-	-	-
-	0,418	0,0	2,6	-11,7	-	-	-
-	0,626	0,0	2,5	-11,0	-	-	-
-	0,835	0,0	2,3	-10,1	-	-	-
12	1,044	0,0	2,2	-9,1	-5,5	0,0	0,0

Dílec č.13: 13 |----| 14, délka 1,044 m:

Styčnick na dílci		Deformace					
č.	Umístění [m]	Posun X [mm]	Posun Y [mm]	Posun Z [mm]	Rotace X [mrad]	Rotace Y [mrad]	Rotace Z [mrad]
Kombinace č.1 - Q3:G1+G2							
13	0,000	0,0	3,4	-15,7	-3,4	0,0	0,0
-	0,209	0,0	3,4	-16,3	-	-	-
-	0,418	0,0	3,4	-16,9	-	-	-
-	0,626	0,0	3,4	-17,3	-	-	-
-	0,835	0,0	3,4	-17,6	-	-	-
14	1,044	0,0	3,4	-17,9	-1,6	0,0	0,0
Kombinace č.2 - Q4:G1+G2							
13	0,000	0,0	2,7	-12,9	-2,5	0,0	0,0

Styčník na dílci		Deformace					
č.	Umístění [m]	Posun X [mm]	Posun Y [mm]	Posun Z [mm]	Rotace X [mrad]	Rotace Y [mrad]	Rotace Z [mrad]
-	0,209	0,0	2,7	-13,4	-	-	-
-	0,418	0,0	2,7	-13,8	-	-	-
-	0,626	0,0	2,7	-14,1	-	-	-
-	0,835	0,0	2,6	-14,3	-	-	-
14	1,044	0,0	2,6	-14,5	-1,0	0,0	0,0

Dílec č.14: 15 |----| 14, délka 1,044 m:

Styčník na dílci		Deformace					
č.	Umístění [m]	Posun X [mm]	Posun Y [mm]	Posun Z [mm]	Rotace X [mrad]	Rotace Y [mrad]	Rotace Z [mrad]
Kombinace č.1 - Q3:G1+G2							
15	0,000	0,0	3,1	-19,0	-0,4	0,0	0,0
-	0,209	0,0	3,2	-18,9	-	-	-
-	0,418	0,0	3,3	-18,8	-	-	-
-	0,626	0,0	3,3	-18,6	-	-	-
-	0,835	0,0	3,4	-18,3	-	-	-
14	1,044	0,0	3,4	-17,9	-1,6	0,0	0,0
Kombinace č.2 - Q4:G1+G2							
15	0,000	0,0	2,3	-15,0	0,0	0,0	0,0
-	0,209	0,0	2,4	-15,0	-	-	-
-	0,418	0,0	2,5	-15,0	-	-	-
-	0,626	0,0	2,5	-14,9	-	-	-
-	0,835	0,0	2,6	-14,7	-	-	-
14	1,044	0,0	2,6	-14,5	-1,0	0,0	0,0

Dílec č.15: 15 |----| 16, délka 1,044 m:

Styčník na dílci		Deformace					
č.	Umístění [m]	Posun X [mm]	Posun Y [mm]	Posun Z [mm]	Rotace X [mrad]	Rotace Y [mrad]	Rotace Z [mrad]
Kombinace č.1 - Q3:G1+G2							
15	0,000	0,0	3,1	-19,0	-0,4	0,0	0,0
-	0,209	0,0	3,1	-19,1	-	-	-
-	0,418	0,0	3,0	-19,1	-	-	-
-	0,626	0,0	2,8	-19,0	-	-	-
-	0,835	0,0	2,7	-19,0	-	-	-
16	1,044	0,0	2,6	-18,9	0,0	0,0	0,0
Kombinace č.2 - Q4:G1+G2							
15	0,000	0,0	2,3	-15,0	0,0	0,0	0,0
-	0,209	0,0	2,2	-15,0	-	-	-
-	0,418	0,0	2,1	-15,0	-	-	-
-	0,626	0,0	2,0	-14,9	-	-	-
-	0,835	0,0	1,9	-14,7	-	-	-
16	1,044	0,0	1,8	-14,6	0,4	0,0	0,0

Dílec č.16: 17 |---| 16, délka 1,044 m:

Styčník na dílci		Deformace					
č.	Umístění [m]	Posun X [mm]	Posun Y [mm]	Posun Z [mm]	Rotace X [mrad]	Rotace Y [mrad]	Rotace Z [mrad]
Kombinace č.1 - Q3:G1+G2							
17	0,000	0,0	2,1	-18,9	0,4	0,0	0,0
-	0,209	0,0	2,2	-19,0	-	-	-
-	0,418	0,0	2,3	-19,0	-	-	-
-	0,626	0,0	2,4	-19,0	-	-	-
-	0,835	0,0	2,5	-19,0	-	-	-
16	1,044	0,0	2,6	-18,9	0,0	0,0	0,0
Kombinace č.2 - Q4:G1+G2							
17	0,000	0,0	1,5	-14,3	0,6	0,0	0,0
-	0,209	0,0	1,6	-14,4	-	-	-
-	0,418	0,0	1,6	-14,5	-	-	-
-	0,626	0,0	1,7	-14,5	-	-	-
-	0,835	0,0	1,7	-14,6	-	-	-
16	1,044	0,0	1,8	-14,6	0,4	0,0	0,0

Dílec č.17: 17 |---| 18, délka 1,044 m:

Styčník na dílci		Deformace					
č.	Umístění [m]	Posun X [mm]	Posun Y [mm]	Posun Z [mm]	Rotace X [mrad]	Rotace Y [mrad]	Rotace Z [mrad]
Kombinace č.1 - Q3:G1+G2							
17	0,000	0,0	2,1	-18,9	0,4	0,0	0,0
-	0,209	0,0	2,0	-18,8	-	-	-
-	0,418	0,0	2,0	-18,7	-	-	-
-	0,626	0,0	1,9	-18,5	-	-	-
-	0,835	0,0	1,9	-18,2	-	-	-
18	1,044	0,0	1,9	-17,8	1,6	0,0	0,0
Kombinace č.2 - Q4:G1+G2							
17	0,000	0,0	1,5	-14,3	0,6	0,0	0,0
-	0,209	0,0	1,5	-14,1	-	-	-
-	0,418	0,0	1,5	-13,9	-	-	-
-	0,626	0,0	1,4	-13,7	-	-	-
-	0,835	0,0	1,4	-13,5	-	-	-
18	1,044	0,0	1,5	-13,2	1,5	0,0	0,0

Dílec č.18: 19 |---| 18, délka 1,044 m:

Styčník na dílci		Deformace					
č.	Umístění [m]	Posun X [mm]	Posun Y [mm]	Posun Z [mm]	Rotace X [mrad]	Rotace Y [mrad]	Rotace Z [mrad]
Kombinace č.1 - Q3:G1+G2							
19	0,000	0,0	1,9	-15,5	3,4	0,0	0,0
-	0,209	0,0	1,9	-16,2	-	-	-
-	0,418	0,0	1,8	-16,7	-	-	-
-	0,626	0,0	1,8	-17,1	-	-	-
-	0,835	0,0	1,9	-17,5	-	-	-
18	1,044	0,0	1,9	-17,8	1,6	0,0	0,0
Kombinace č.2 - Q4:G1+G2							
19	0,000	0,0	1,6	-11,2	2,7	0,0	0,0

Styčník na dílci		Deformace					
č.	Umístění [m]	Posun X [mm]	Posun Y [mm]	Posun Z [mm]	Rotace X [mrad]	Rotace Y [mrad]	Rotace Z [mrad]
-	0,209	0,0	1,5	-11,7	-	-	-
-	0,418	0,0	1,5	-12,1	-	-	-
-	0,626	0,0	1,5	-12,5	-	-	-
-	0,835	0,0	1,5	-12,8	-	-	-
18	1,044	0,0	1,5	-13,2	1,5	0,0	0,0

Dílec č.19: 19 |----| 20, délka 1,044 m:

Styčník na dílci		Deformace					
č.	Umístění [m]	Posun X [mm]	Posun Y [mm]	Posun Z [mm]	Rotace X [mrad]	Rotace Y [mrad]	Rotace Z [mrad]
Kombinace č.1 - Q3:G1+G2							
19	0,000	0,0	1,9	-15,5	3,4	0,0	0,0
-	0,209	0,0	2,0	-14,8	-	-	-
-	0,418	0,0	2,1	-14,0	-	-	-
-	0,626	0,0	2,3	-13,1	-	-	-
-	0,835	0,0	2,4	-12,0	-	-	-
20	1,044	0,0	2,7	-10,7	6,6	0,0	0,0
Kombinace č.2 - Q4:G1+G2							
19	0,000	0,0	1,6	-11,2	2,7	0,0	0,0
-	0,209	0,0	1,7	-10,6	-	-	-
-	0,418	0,0	1,8	-10,0	-	-	-
-	0,626	0,0	1,9	-9,3	-	-	-
-	0,835	0,0	2,0	-8,5	-	-	-
20	1,044	0,0	2,2	-7,5	4,9	0,0	0,0

Dílec č.20: 11 |----| 20, délka 1,044 m:

Styčník na dílci		Deformace					
č.	Umístění [m]	Posun X [mm]	Posun Y [mm]	Posun Z [mm]	Rotace X [mrad]	Rotace Y [mrad]	Rotace Z [mrad]
Kombinace č.1 - Q3:G1+G2							
11	0,000	0,0	5,3	0,0	12,7	0,0	0,0
-	0,209	0,0	4,6	-2,6	-	-	-
-	0,418	0,0	4,0	-5,0	-	-	-
-	0,626	0,0	3,5	-7,2	-	-	-
-	0,835	0,0	3,0	-9,1	-	-	-
20	1,044	0,0	2,7	-10,7	6,6	0,0	0,0
Kombinace č.2 - Q4:G1+G2							
11	0,000	0,0	4,1	0,0	8,8	0,0	0,0
-	0,209	0,0	3,6	-1,8	-	-	-
-	0,418	0,0	3,2	-3,5	-	-	-
-	0,626	0,0	2,8	-5,0	-	-	-
-	0,835	0,0	2,5	-6,4	-	-	-
20	1,044	0,0	2,2	-7,5	4,9	0,0	0,0

Dílec č.21: 2 |----| 12, délka 0,300 m:

Styčník na dílci		Deformace					
č.	Umístění [m]	Posun X [mm]	Posun Y [mm]	Posun Z [mm]	Rotace X [mrad]	Rotace Y [mrad]	Rotace Z [mrad]
Kombinace č.1 - Q3:G1+G2							
2	0,000	0,0	0,6	-10,8	-7,1	0,0	0,0
-	0,150	0,0	1,6	-10,8	-	-	-
12	0,300	0,0	2,6	-10,8	-6,7	0,0	0,0
Kombinace č.2 - Q4:G1+G2							
2	0,000	0,0	0,5	-9,1	-5,8	0,0	0,0
-	0,150	0,0	1,3	-9,1	-	-	-
12	0,300	0,0	2,2	-9,1	-5,5	0,0	0,0

Dílec č.22: 3 |----| 12, délka 1,044 m:

Styčník na dílci		Deformace					
č.	Umístění [m]	Posun X [mm]	Posun Y [mm]	Posun Z [mm]	Rotace X [mrad]	Rotace Y [mrad]	Rotace Z [mrad]
Kombinace č.1 - Q3:G1+G2							
3	0,000	0,0	1,2	-15,6	-3,4	0,0	0,0
-	0,209	0,0	1,4	-14,9	-	-	-
-	0,418	0,0	1,6	-14,1	-	-	-
-	0,626	0,0	1,9	-13,1	-	-	-
-	0,835	0,0	2,2	-12,1	-	-	-
12	1,044	0,0	2,6	-10,8	-6,7	0,0	0,0
Kombinace č.2 - Q4:G1+G2							
3	0,000	0,0	1,0	-12,9	-2,6	0,0	0,0
-	0,209	0,0	1,2	-12,3	-	-	-
-	0,418	0,0	1,4	-11,7	-	-	-
-	0,626	0,0	1,6	-10,9	-	-	-
-	0,835	0,0	1,9	-10,1	-	-	-
12	1,044	0,0	2,2	-9,1	-5,5	0,0	0,0

Dílec č.23: 3 |----| 13, délka 0,600 m:

Styčník na dílci		Deformace					
č.	Umístění [m]	Posun X [mm]	Posun Y [mm]	Posun Z [mm]	Rotace X [mrad]	Rotace Y [mrad]	Rotace Z [mrad]
Kombinace č.1 - Q3:G1+G2							
3	0,000	0,0	1,2	-15,6	-3,4	0,0	0,0
-	0,200	0,0	1,9	-15,7	-	-	-
-	0,400	0,0	2,6	-15,7	-	-	-
13	0,600	0,0	3,4	-15,7	-3,4	0,0	0,0
Kombinace č.2 - Q4:G1+G2							
3	0,000	0,0	1,0	-12,9	-2,6	0,0	0,0
-	0,200	0,0	1,6	-12,9	-	-	-
-	0,400	0,0	2,2	-12,9	-	-	-
13	0,600	0,0	2,7	-12,9	-2,5	0,0	0,0

Dílec č.24: 3 |----| 14, délka 1,345 m:

Styčník na dílci		Deformace					
č.	Umístění [m]	Posun X [mm]	Posun Y [mm]	Posun Z [mm]	Rotace X [mrad]	Rotace Y [mrad]	Rotace Z [mrad]
Kombinace č.1 - Q3:G1+G2							
3	0,000	0,0	1,2	-15,6	-3,4	0,0	0,0
-	0,224	0,0	1,7	-16,2	-	-	-
-	0,448	0,0	2,1	-16,6	-	-	-
-	0,673	0,0	2,5	-17,0	-	-	-
-	0,897	0,0	2,8	-17,4	-	-	-
-	1,121	0,0	3,1	-17,7	-	-	-
14	1,345	0,0	3,4	-17,9	-1,6	0,0	0,0
Kombinace č.2 - Q4:G1+G2							
3	0,000	0,0	1,0	-12,9	-2,6	0,0	0,0
-	0,224	0,0	1,4	-13,3	-	-	-
-	0,448	0,0	1,7	-13,6	-	-	-
-	0,673	0,0	2,0	-13,9	-	-	-
-	0,897	0,0	2,2	-14,1	-	-	-
-	1,121	0,0	2,4	-14,3	-	-	-
14	1,345	0,0	2,6	-14,5	-1,0	0,0	0,0

Dílec č.25: 4 |----| 14, délka 0,900 m:

Styčník na dílci		Deformace					
č.	Umístění [m]	Posun X [mm]	Posun Y [mm]	Posun Z [mm]	Rotace X [mrad]	Rotace Y [mrad]	Rotace Z [mrad]
Kombinace č.1 - Q3:G1+G2							
4	0,000	0,0	1,7	-18,0	-1,7	0,0	0,0
-	0,225	0,0	2,1	-18,0	-	-	-
-	0,450	0,0	2,5	-18,0	-	-	-
-	0,675	0,0	3,0	-17,9	-	-	-
14	0,900	0,0	3,4	-17,9	-1,6	0,0	0,0
Kombinace č.2 - Q4:G1+G2							
4	0,000	0,0	1,5	-14,5	-1,1	0,0	0,0
-	0,225	0,0	1,7	-14,5	-	-	-
-	0,450	0,0	2,0	-14,5	-	-	-
-	0,675	0,0	2,3	-14,5	-	-	-
14	0,900	0,0	2,6	-14,5	-1,0	0,0	0,0

Dílec č.26: 5 |----| 14, délka 1,345 m:

Styčník na dílci		Deformace					
č.	Umístění [m]	Posun X [mm]	Posun Y [mm]	Posun Z [mm]	Rotace X [mrad]	Rotace Y [mrad]	Rotace Z [mrad]
Kombinace č.1 - Q3:G1+G2							
5	0,000	0,0	2,3	-19,0	-0,6	0,0	0,0
-	0,224	0,0	2,4	-18,9	-	-	-
-	0,448	0,0	2,5	-18,7	-	-	-
-	0,673	0,0	2,7	-18,6	-	-	-
-	0,897	0,0	2,9	-18,4	-	-	-
-	1,121	0,0	3,1	-18,2	-	-	-
14	1,345	0,0	3,4	-17,9	-1,6	0,0	0,0

Styčnick na dílci		Deformace					
č.	Umístění [m]	Posun X [mm]	Posun Y [mm]	Posun Z [mm]	Rotace X [mrad]	Rotace Y [mrad]	Rotace Z [mrad]
Kombinace č.2 - Q4:G1+G2							
5	0,000	0,0	1,9	-15,0	-0,1	0,0	0,0
-	0,224	0,0	2,0	-15,0	-	-	-
-	0,448	0,0	2,1	-14,9	-	-	-
-	0,673	0,0	2,2	-14,8	-	-	-
-	0,897	0,0	2,3	-14,7	-	-	-
-	1,121	0,0	2,4	-14,6	-	-	-
14	1,345	0,0	2,6	-14,5	-1,0	0,0	0,0

Dílec č.27: 5 |----| 15, délka 1,200 m:

Styčnick na dílci		Deformace					
č.	Umístění [m]	Posun X [mm]	Posun Y [mm]	Posun Z [mm]	Rotace X [mrad]	Rotace Y [mrad]	Rotace Z [mrad]
Kombinace č.1 - Q3:G1+G2							
5	0,000	0,0	2,3	-19,0	-0,6	0,0	0,0
-	0,240	0,0	2,4	-19,0	-	-	-
-	0,480	0,0	2,6	-19,0	-	-	-
-	0,720	0,0	2,8	-19,0	-	-	-
-	0,960	0,0	3,0	-19,0	-	-	-
15	1,200	0,0	3,1	-19,0	-0,4	0,0	0,0
Kombinace č.2 - Q4:G1+G2							
5	0,000	0,0	1,9	-15,0	-0,1	0,0	0,0
-	0,240	0,0	2,0	-15,0	-	-	-
-	0,480	0,0	2,1	-15,0	-	-	-
-	0,720	0,0	2,2	-15,0	-	-	-
-	0,960	0,0	2,3	-15,0	-	-	-
15	1,200	0,0	2,3	-15,0	0,0	0,0	0,0

Dílec č.28: 5 |----| 16, délka 1,803 m:

Styčnick na dílci		Deformace					
č.	Umístění [m]	Posun X [mm]	Posun Y [mm]	Posun Z [mm]	Rotace X [mrad]	Rotace Y [mrad]	Rotace Z [mrad]
Kombinace č.1 - Q3:G1+G2							
5	0,000	0,0	2,3	-19,0	-0,6	0,0	0,0
-	0,225	0,0	2,4	-19,0	-	-	-
-	0,451	0,0	2,4	-19,0	-	-	-
-	0,676	0,0	2,5	-19,0	-	-	-
-	0,901	0,0	2,5	-19,0	-	-	-
-	1,127	0,0	2,6	-19,0	-	-	-
-	1,352	0,0	2,6	-19,0	-	-	-
-	1,577	0,0	2,6	-19,0	-	-	-
16	1,803	0,0	2,6	-18,9	0,0	0,0	0,0
Kombinace č.2 - Q4:G1+G2							
5	0,000	0,0	1,9	-15,0	-0,1	0,0	0,0
-	0,225	0,0	2,0	-15,0	-	-	-
-	0,451	0,0	2,0	-15,0	-	-	-
-	0,676	0,0	2,0	-14,9	-	-	-
-	0,901	0,0	2,0	-14,9	-	-	-

Styčník na dílci		Deformace					
č.	Umístění [m]	Posun X [mm]	Posun Y [mm]	Posun Z [mm]	Rotace X [mrad]	Rotace Y [mrad]	Rotace Z [mrad]
-	1,127	0,0	1,9	-14,8	-	-	-
-	1,352	0,0	1,9	-14,8	-	-	-
-	1,577	0,0	1,8	-14,7	-	-	-
16	1,803	0,0	1,8	-14,6	0,4	0,0	0,0

Dílec č.29: 6 |----| 16, délka 1,500 m:

Styčník na dílci		Deformace					
č.	Umístění [m]	Posun X [mm]	Posun Y [mm]	Posun Z [mm]	Rotace X [mrad]	Rotace Y [mrad]	Rotace Z [mrad]
Kombinace č.1 - Q3:G1+G2							
6	0,000	0,0	2,6	-19,0	0,0	0,0	0,0
-	0,214	0,0	2,6	-19,0	-	-	-
-	0,429	0,0	2,6	-19,0	-	-	-
-	0,643	0,0	2,6	-19,0	-	-	-
-	0,857	0,0	2,6	-19,0	-	-	-
-	1,071	0,0	2,6	-19,0	-	-	-
-	1,286	0,0	2,6	-19,0	-	-	-
16	1,500	0,0	2,6	-18,9	0,0	0,0	0,0
Kombinace č.2 - Q4:G1+G2							
6	0,000	0,0	2,2	-14,7	0,4	0,0	0,0
-	0,214	0,0	2,2	-14,7	-	-	-
-	0,429	0,0	2,1	-14,7	-	-	-
-	0,643	0,0	2,1	-14,7	-	-	-
-	0,857	0,0	2,0	-14,6	-	-	-
-	1,071	0,0	1,9	-14,6	-	-	-
-	1,286	0,0	1,9	-14,6	-	-	-
16	1,500	0,0	1,8	-14,6	0,4	0,0	0,0

Dílec č.30: 7 |----| 16, délka 1,803 m:

Styčník na dílci		Deformace					
č.	Umístění [m]	Posun X [mm]	Posun Y [mm]	Posun Z [mm]	Rotace X [mrad]	Rotace Y [mrad]	Rotace Z [mrad]
Kombinace č.1 - Q3:G1+G2							
7	0,000	0,0	3,0	-18,9	0,6	0,0	0,0
-	0,225	0,0	2,9	-19,0	-	-	-
-	0,451	0,0	2,8	-19,0	-	-	-
-	0,676	0,0	2,8	-19,0	-	-	-
-	0,901	0,0	2,7	-19,0	-	-	-
-	1,127	0,0	2,7	-19,0	-	-	-
-	1,352	0,0	2,7	-19,0	-	-	-
-	1,577	0,0	2,6	-19,0	-	-	-
16	1,803	0,0	2,6	-18,9	0,0	0,0	0,0
Kombinace č.2 - Q4:G1+G2							
7	0,000	0,0	2,5	-14,3	0,8	0,0	0,0
-	0,225	0,0	2,4	-14,3	-	-	-
-	0,451	0,0	2,3	-14,4	-	-	-
-	0,676	0,0	2,2	-14,4	-	-	-
-	0,901	0,0	2,1	-14,5	-	-	-

Styčník na dílci		Deformace					
č.	Umístění [m]	Posun X [mm]	Posun Y [mm]	Posun Z [mm]	Rotace X [mrad]	Rotace Y [mrad]	Rotace Z [mrad]
-	1,127	0,0	2,0	-14,5	-	-	-
-	1,352	0,0	1,9	-14,6	-	-	-
-	1,577	0,0	1,9	-14,6	-	-	-
16	1,803	0,0	1,8	-14,6	0,4	0,0	0,0

Dílec č.31: 7 |----| 17, délka 1,200 m:

Styčník na dílci		Deformace					
č.	Umístění [m]	Posun X [mm]	Posun Y [mm]	Posun Z [mm]	Rotace X [mrad]	Rotace Y [mrad]	Rotace Z [mrad]
Kombinace č.1 - Q3:G1+G2							
7	0,000	0,0	3,0	-18,9	0,6	0,0	0,0
-	0,240	0,0	2,9	-18,9	-	-	-
-	0,480	0,0	2,6	-18,9	-	-	-
-	0,720	0,0	2,4	-18,9	-	-	-
-	0,960	0,0	2,2	-18,9	-	-	-
17	1,200	0,0	2,1	-18,9	0,4	0,0	0,0
Kombinace č.2 - Q4:G1+G2							
7	0,000	0,0	2,5	-14,3	0,8	0,0	0,0
-	0,240	0,0	2,3	-14,3	-	-	-
-	0,480	0,0	2,1	-14,3	-	-	-
-	0,720	0,0	1,9	-14,3	-	-	-
-	0,960	0,0	1,7	-14,3	-	-	-
17	1,200	0,0	1,5	-14,3	0,6	0,0	0,0

Dílec č.32: 7 |----| 18, délka 1,345 m:

Styčník na dílci		Deformace					
č.	Umístění [m]	Posun X [mm]	Posun Y [mm]	Posun Z [mm]	Rotace X [mrad]	Rotace Y [mrad]	Rotace Z [mrad]
Kombinace č.1 - Q3:G1+G2							
7	0,000	0,0	3,0	-18,9	0,6	0,0	0,0
-	0,224	0,0	2,9	-18,8	-	-	-
-	0,448	0,0	2,8	-18,7	-	-	-
-	0,673	0,0	2,6	-18,5	-	-	-
-	0,897	0,0	2,4	-18,3	-	-	-
-	1,121	0,0	2,1	-18,1	-	-	-
18	1,345	0,0	1,9	-17,8	1,6	0,0	0,0
Kombinace č.2 - Q4:G1+G2							
7	0,000	0,0	2,5	-14,3	0,8	0,0	0,0
-	0,224	0,0	2,4	-14,1	-	-	-
-	0,448	0,0	2,3	-14,0	-	-	-
-	0,673	0,0	2,1	-13,8	-	-	-
-	0,897	0,0	1,9	-13,6	-	-	-
-	1,121	0,0	1,7	-13,4	-	-	-
18	1,345	0,0	1,5	-13,2	1,5	0,0	0,0

Dílec č.33: 8 |----| 18, délka 0,900 m:

Styčník na dílci		Deformace					
č.	Umístění [m]	Posun X [mm]	Posun Y [mm]	Posun Z [mm]	Rotace X [mrad]	Rotace Y [mrad]	Rotace Z [mrad]
Kombinace č.1 - Q3:G1+G2							
8	0,000	0,0	3,6	-17,8	1,7	0,0	0,0
-	0,225	0,0	3,2	-17,8	-	-	-
-	0,450	0,0	2,7	-17,8	-	-	-
-	0,675	0,0	2,3	-17,8	-	-	-
18	0,900	0,0	1,9	-17,8	1,6	0,0	0,0
Kombinace č.2 - Q4:G1+G2							
8	0,000	0,0	2,9	-13,2	1,5	0,0	0,0
-	0,225	0,0	2,6	-13,2	-	-	-
-	0,450	0,0	2,2	-13,2	-	-	-
-	0,675	0,0	1,8	-13,2	-	-	-
18	0,900	0,0	1,5	-13,2	1,5	0,0	0,0

Dílec č.34: 9 |----| 18, délka 1,345 m:

Styčník na dílci		Deformace					
č.	Umístění [m]	Posun X [mm]	Posun Y [mm]	Posun Z [mm]	Rotace X [mrad]	Rotace Y [mrad]	Rotace Z [mrad]
Kombinace č.1 - Q3:G1+G2							
9	0,000	0,0	4,1	-15,5	3,5	0,0	0,0
-	0,224	0,0	3,6	-16,0	-	-	-
-	0,448	0,0	3,2	-16,5	-	-	-
-	0,673	0,0	2,8	-16,9	-	-	-
-	0,897	0,0	2,5	-17,2	-	-	-
-	1,121	0,0	2,2	-17,6	-	-	-
18	1,345	0,0	1,9	-17,8	1,6	0,0	0,0
Kombinace č.2 - Q4:G1+G2							
9	0,000	0,0	3,3	-11,2	2,7	0,0	0,0
-	0,224	0,0	2,9	-11,6	-	-	-
-	0,448	0,0	2,6	-12,0	-	-	-
-	0,673	0,0	2,2	-12,3	-	-	-
-	0,897	0,0	2,0	-12,6	-	-	-
-	1,121	0,0	1,7	-12,9	-	-	-
18	1,345	0,0	1,5	-13,2	1,5	0,0	0,0

Dílec č.35: 9 |----| 19, délka 0,600 m:

Styčník na dílci		Deformace					
č.	Umístění [m]	Posun X [mm]	Posun Y [mm]	Posun Z [mm]	Rotace X [mrad]	Rotace Y [mrad]	Rotace Z [mrad]
Kombinace č.1 - Q3:G1+G2							
9	0,000	0,0	4,1	-15,5	3,5	0,0	0,0
-	0,200	0,0	3,4	-15,5	-	-	-
-	0,400	0,0	2,6	-15,5	-	-	-
19	0,600	0,0	1,9	-15,5	3,4	0,0	0,0
Kombinace č.2 - Q4:G1+G2							
9	0,000	0,0	3,3	-11,2	2,7	0,0	0,0
-	0,200	0,0	2,7	-11,2	-	-	-
-	0,400	0,0	2,2	-11,2	-	-	-

Styčník na dílci		Deformace					
č.	Umístění [m]	Posun X [mm]	Posun Y [mm]	Posun Z [mm]	Rotace X [mrad]	Rotace Y [mrad]	Rotace Z [mrad]
19	0,600	0,0	1,6	-11,2	2,7	0,0	0,0

Dílec č.36: 9 |----| 20, délka 1,044 m:

Styčník na dílci		Deformace					
č.	Umístění [m]	Posun X [mm]	Posun Y [mm]	Posun Z [mm]	Rotace X [mrad]	Rotace Y [mrad]	Rotace Z [mrad]
Kombinace č.1 - Q3:G1+G2							
9	0,000	0,0	4,1	-15,5	3,5	0,0	0,0
-	0,209	0,0	3,9	-14,8	-	-	-
-	0,418	0,0	3,7	-13,9	-	-	-
-	0,626	0,0	3,4	-13,0	-	-	-
-	0,835	0,0	3,1	-11,9	-	-	-
20	1,044	0,0	2,7	-10,7	6,6	0,0	0,0
Kombinace č.2 - Q4:G1+G2							
9	0,000	0,0	3,3	-11,2	2,7	0,0	0,0
-	0,209	0,0	3,1	-10,6	-	-	-
-	0,418	0,0	2,9	-10,0	-	-	-
-	0,626	0,0	2,7	-9,2	-	-	-
-	0,835	0,0	2,5	-8,4	-	-	-
20	1,044	0,0	2,2	-7,5	4,9	0,0	0,0

Dílec č.37: 10 |----| 20, délka 0,300 m:

Styčník na dílci		Deformace					
č.	Umístění [m]	Posun X [mm]	Posun Y [mm]	Posun Z [mm]	Rotace X [mrad]	Rotace Y [mrad]	Rotace Z [mrad]
Kombinace č.1 - Q3:G1+G2							
10	0,000	0,0	4,7	-10,7	7,1	0,0	0,0
-	0,150	0,0	3,7	-10,7	-	-	-
20	0,300	0,0	2,7	-10,7	6,6	0,0	0,0
Kombinace č.2 - Q4:G1+G2							
10	0,000	0,0	3,7	-7,5	5,1	0,0	0,0
-	0,150	0,0	3,0	-7,5	-	-	-
20	0,300	0,0	2,2	-7,5	4,9	0,0	0,0

3.2.4 Extrémy deformací

Kombinace 1. řád, pro posouzení mezního stavu únosnosti (MSÚ)

Kladné extrémy:

Deformace	Kombinace	Umístění	Hodnota
Posun X	-	-	0,0 mm
Posun Y	Kombinace 1	Styčník 11	5,3 mm
Posun Z	-	-	0,0 mm
Rotace X	Kombinace 1	Styčník 11	12,7 mrad
Rotace Y	-	-	0,0 mrad
Rotace Z	-	-	0,0 mrad

Záporné extrémy:

Deformace	Kombinace	Umístění	Hodnota
Posun X	-	-	0,0 mm
Posun Y	-	-	0,0 mm
Posun Z	Kombinace 1	Dílec 15 : X = 0,418m	-19,1 mm

Deformace	Kombinace	Umístění	Hodnota
Rotace X	Kombinace 1	Styčnick 1	-12,8 mrad
Rotace Y	-	-	0,0 mrad
Rotace Z	-	-	0,0 mrad

3.3 Deformace pro kombinace I.řádu, MSP

3.3.1 Deformace po styčnicích

Kombinace 1. řád, pro posouzení mezního stavu použitelnosti (MSP)

Kombinace I.řád, MSP		Deformace					
č.	Název	Posun X [mm]	Posun Y [mm]	Posun Z [mm]	Rotace X [mrad]	Rotace Y [mrad]	Rotace Z [mrad]
Styčnick č.1 - abs. X: 0,000 m Y: 0,000 m Z: 0,000 m							
1	Q3:G1+G2	0,0	0,0	0,0	-11,7	0,0	0,0
2	Q4:G1+G2	0,0	0,0	0,0	-10,4	0,0	0,0
Styčnick č.2 - abs. X: 0,000 m Y: 1,000 m Z: 0,000 m							
1	Q3:G1+G2	0,0	0,5	-9,8	-6,5	0,0	0,0
2	Q4:G1+G2	0,0	0,5	-8,7	-5,6	0,0	0,0
Styčnick č.3 - abs. X: 0,000 m Y: 2,000 m Z: 0,000 m							
1	Q3:G1+G2	0,0	1,1	-14,2	-3,1	0,0	0,0
2	Q4:G1+G2	0,0	1,0	-12,4	-2,6	0,0	0,0
Styčnick č.4 - abs. X: 0,000 m Y: 3,000 m Z: 0,000 m							
1	Q3:G1+G2	0,0	1,6	-16,3	-1,5	0,0	0,0
2	Q4:G1+G2	0,0	1,4	-14,0	-1,1	0,0	0,0
Styčnick č.5 - abs. X: 0,000 m Y: 4,000 m Z: 0,000 m							
1	Q3:G1+G2	0,0	2,1	-17,3	-0,5	0,0	0,0
2	Q4:G1+G2	0,0	1,8	-14,6	-0,2	0,0	0,0
Styčnick č.6 - abs. X: 0,000 m Y: 5,000 m Z: 0,000 m							
1	Q3:G1+G2	0,0	2,4	-17,3	0,0	0,0	0,0
2	Q4:G1+G2	0,0	2,1	-14,4	0,3	0,0	0,0
Styčnick č.7 - abs. X: 0,000 m Y: 6,000 m Z: 0,000 m							
1	Q3:G1+G2	0,0	2,8	-17,2	0,6	0,0	0,0
2	Q4:G1+G2	0,0	2,4	-14,1	0,7	0,0	0,0
Styčnick č.8 - abs. X: 0,000 m Y: 7,000 m Z: 0,000 m							
1	Q3:G1+G2	0,0	3,3	-16,2	1,6	0,0	0,0
2	Q4:G1+G2	0,0	2,8	-13,1	1,4	0,0	0,0
Styčnick č.9 - abs. X: 0,000 m Y: 8,000 m Z: 0,000 m							
1	Q3:G1+G2	0,0	3,7	-14,1	3,1	0,0	0,0
2	Q4:G1+G2	0,0	3,2	-11,2	2,7	0,0	0,0
Styčnick č.10 - abs. X: 0,000 m Y: 9,000 m Z: 0,000 m							
1	Q3:G1+G2	0,0	4,3	-9,7	6,4	0,0	0,0
2	Q4:G1+G2	0,0	3,6	-7,6	5,1	0,0	0,0
Styčnick č.11 - abs. X: 0,000 m Y: 10,000 m Z: 0,000 m							
1	Q3:G1+G2	0,0	4,8	0,0	11,5	0,0	0,0
2	Q4:G1+G2	0,0	4,0	0,0	8,9	0,0	0,0
Styčnick č.12 - abs. X: 0,000 m Y: 1,000 m Z: 0,300 m							
1	Q3:G1+G2	0,0	2,4	-9,8	-6,1	0,0	0,0
2	Q4:G1+G2	0,0	2,1	-8,7	-5,3	0,0	0,0
Styčnick č.13 - abs. X: 0,000 m Y: 2,000 m Z: 0,600 m							
1	Q3:G1+G2	0,0	3,0	-14,2	-3,1	0,0	0,0

Kombinace I.řád, MSP		Deformace					
č.	Název	Posun X [mm]	Posun Y [mm]	Posun Z [mm]	Rotace X [mrad]	Rotace Y [mrad]	Rotace Z [mrad]
2	Q4:G1+G2	0,0	2,6	-12,4	-2,5	0,0	0,0
Styčník č.14 - abs. X: 0,000 m Y: 3,000 m Z: 0,900 m							
1	Q3:G1+G2	0,0	3,1	-16,3	-1,4	0,0	0,0
2	Q4:G1+G2	0,0	2,5	-14,0	-1,0	0,0	0,0
Styčník č.15 - abs. X: 0,000 m Y: 4,000 m Z: 1,200 m							
1	Q3:G1+G2	0,0	2,9	-17,3	-0,3	0,0	0,0
2	Q4:G1+G2	0,0	2,3	-14,6	-0,1	0,0	0,0
Styčník č.16 - abs. X: 0,000 m Y: 5,000 m Z: 1,500 m							
1	Q3:G1+G2	0,0	2,4	-17,2	0,0	0,0	0,0
2	Q4:G1+G2	0,0	1,8	-14,3	0,3	0,0	0,0
Styčník č.17 - abs. X: 0,000 m Y: 6,000 m Z: 1,200 m							
1	Q3:G1+G2	0,0	1,9	-17,2	0,4	0,0	0,0
2	Q4:G1+G2	0,0	1,5	-14,1	0,5	0,0	0,0
Styčník č.18 - abs. X: 0,000 m Y: 7,000 m Z: 0,900 m							
1	Q3:G1+G2	0,0	1,7	-16,2	1,5	0,0	0,0
2	Q4:G1+G2	0,0	1,4	-13,1	1,4	0,0	0,0
Styčník č.19 - abs. X: 0,000 m Y: 8,000 m Z: 0,600 m							
1	Q3:G1+G2	0,0	1,8	-14,1	3,1	0,0	0,0
2	Q4:G1+G2	0,0	1,5	-11,2	2,6	0,0	0,0
Styčník č.20 - abs. X: 0,000 m Y: 9,000 m Z: 0,300 m							
1	Q3:G1+G2	0,0	2,4	-9,7	6,0	0,0	0,0
2	Q4:G1+G2	0,0	2,1	-7,6	4,8	0,0	0,0

3.3.2 Deformace po kombinacích

Kombinace 1. řád, pro posouzení mezního stavu použitelnosti (MSP)

Styčník		Deformace					
č.	Popis styčnicku	Posun X [mm]	Posun Y [mm]	Posun Z [mm]	Rotace X [mrad]	Rotace Y [mrad]	Rotace Z [mrad]
Kombinace č.1 - Q3:G1+G2							
1	abs. X: 0,000 m Y: 0,000 m Z: 0,000 m	0,0	0,0	0,0	-11,7	0,0	0,0
2	abs. X: 0,000 m Y: 1,000 m Z: 0,000 m	0,0	0,5	-9,8	-6,5	0,0	0,0
3	abs. X: 0,000 m Y: 2,000 m Z: 0,000 m	0,0	1,1	-14,2	-3,1	0,0	0,0
4	abs. X: 0,000 m Y: 3,000 m Z: 0,000 m	0,0	1,6	-16,3	-1,5	0,0	0,0
5	abs. X: 0,000 m Y: 4,000 m Z: 0,000 m	0,0	2,1	-17,3	-0,5	0,0	0,0
6	abs. X: 0,000 m Y: 5,000 m Z: 0,000 m	0,0	2,4	-17,3	0,0	0,0	0,0
7	abs. X: 0,000 m Y: 6,000 m Z: 0,000 m	0,0	2,8	-17,2	0,6	0,0	0,0
8	abs. X: 0,000 m Y: 7,000 m Z: 0,000 m	0,0	3,3	-16,2	1,6	0,0	0,0
9	abs. X: 0,000 m Y: 8,000 m Z: 0,000 m	0,0	3,7	-14,1	3,1	0,0	0,0
10	abs. X: 0,000 m Y: 9,000 m Z: 0,000 m	0,0	4,3	-9,7	6,4	0,0	0,0
11	abs. X: 0,000 m Y: 10,000 m Z: 0,000 m	0,0	4,8	0,0	11,5	0,0	0,0
12	abs. X: 0,000 m Y: 1,000 m Z: 0,300 m	0,0	2,4	-9,8	-6,1	0,0	0,0
13	abs. X: 0,000 m Y: 2,000 m Z: 0,600 m	0,0	3,0	-14,2	-3,1	0,0	0,0
14	abs. X: 0,000 m Y: 3,000 m Z: 0,900 m	0,0	3,1	-16,3	-1,4	0,0	0,0
15	abs. X: 0,000 m Y: 4,000 m Z: 1,200 m	0,0	2,9	-17,3	-0,3	0,0	0,0
16	abs. X: 0,000 m Y: 5,000 m Z: 1,500 m	0,0	2,4	-17,2	0,0	0,0	0,0
17	abs. X: 0,000 m Y: 6,000 m Z: 1,200 m	0,0	1,9	-17,2	0,4	0,0	0,0
18	abs. X: 0,000 m Y: 7,000 m Z: 0,900 m	0,0	1,7	-16,2	1,5	0,0	0,0

Styčník		Deformace					
č.	Popis styčníku	Posun X [mm]	Posun Y [mm]	Posun Z [mm]	Rotace X [mrad]	Rotace Y [mrad]	Rotace Z [mrad]
19	abs. X: 0,000 m Y: 8,000 m Z: 0,600 m	0,0	1,8	-14,1	3,1	0,0	0,0
20	abs. X: 0,000 m Y: 9,000 m Z: 0,300 m	0,0	2,4	-9,7	6,0	0,0	0,0
Kombinace č.2 - Q4:G1+G2							
1	abs. X: 0,000 m Y: 0,000 m Z: 0,000 m	0,0	0,0	0,0	-10,4	0,0	0,0
2	abs. X: 0,000 m Y: 1,000 m Z: 0,000 m	0,0	0,5	-8,7	-5,6	0,0	0,0
3	abs. X: 0,000 m Y: 2,000 m Z: 0,000 m	0,0	1,0	-12,4	-2,6	0,0	0,0
4	abs. X: 0,000 m Y: 3,000 m Z: 0,000 m	0,0	1,4	-14,0	-1,1	0,0	0,0
5	abs. X: 0,000 m Y: 4,000 m Z: 0,000 m	0,0	1,8	-14,6	-0,2	0,0	0,0
6	abs. X: 0,000 m Y: 5,000 m Z: 0,000 m	0,0	2,1	-14,4	0,3	0,0	0,0
7	abs. X: 0,000 m Y: 6,000 m Z: 0,000 m	0,0	2,4	-14,1	0,7	0,0	0,0
8	abs. X: 0,000 m Y: 7,000 m Z: 0,000 m	0,0	2,8	-13,1	1,4	0,0	0,0
9	abs. X: 0,000 m Y: 8,000 m Z: 0,000 m	0,0	3,2	-11,2	2,7	0,0	0,0
10	abs. X: 0,000 m Y: 9,000 m Z: 0,000 m	0,0	3,6	-7,6	5,1	0,0	0,0
11	abs. X: 0,000 m Y: 10,000 m Z: 0,000 m	0,0	4,0	0,0	8,9	0,0	0,0
12	abs. X: 0,000 m Y: 1,000 m Z: 0,300 m	0,0	2,1	-8,7	-5,3	0,0	0,0
13	abs. X: 0,000 m Y: 2,000 m Z: 0,600 m	0,0	2,6	-12,4	-2,5	0,0	0,0
14	abs. X: 0,000 m Y: 3,000 m Z: 0,900 m	0,0	2,5	-14,0	-1,0	0,0	0,0
15	abs. X: 0,000 m Y: 4,000 m Z: 1,200 m	0,0	2,3	-14,6	-0,1	0,0	0,0
16	abs. X: 0,000 m Y: 5,000 m Z: 1,500 m	0,0	1,8	-14,3	0,3	0,0	0,0
17	abs. X: 0,000 m Y: 6,000 m Z: 1,200 m	0,0	1,5	-14,1	0,5	0,0	0,0
18	abs. X: 0,000 m Y: 7,000 m Z: 0,900 m	0,0	1,4	-13,1	1,4	0,0	0,0
19	abs. X: 0,000 m Y: 8,000 m Z: 0,600 m	0,0	1,5	-11,2	2,6	0,0	0,0
20	abs. X: 0,000 m Y: 9,000 m Z: 0,300 m	0,0	2,1	-7,6	4,8	0,0	0,0

3.3.3 Deformace na dílcích

Kombinace 1. řád, pro posouzení mezního stavu použitelnosti (MSP)

Dílec č.1: 1 |---| 2, délka 1,000 m:

Styčník na dílci		Deformace					
č.	Umístění [m]	Posun X [mm]	Posun Y [mm]	Posun Z [mm]	Rotace X [mrad]	Rotace Y [mrad]	Rotace Z [mrad]
Kombinace č.1 - Q3:G1+G2							
1	0,000	0,0	0,0	0,0	-11,7	0,0	0,0
-	0,200	0,0	0,1	-2,3	-	-	-
-	0,400	0,0	0,2	-4,5	-	-	-
-	0,600	0,0	0,3	-6,6	-	-	-
-	0,800	0,0	0,4	-8,3	-	-	-
2	1,000	0,0	0,5	-9,8	-6,5	0,0	0,0
Kombinace č.2 - Q4:G1+G2							
1	0,000	0,0	0,0	0,0	-10,4	0,0	0,0
-	0,200	0,0	0,1	-2,1	-	-	-
-	0,400	0,0	0,2	-4,0	-	-	-
-	0,600	0,0	0,3	-5,8	-	-	-
-	0,800	0,0	0,4	-7,4	-	-	-
2	1,000	0,0	0,5	-8,7	-5,6	0,0	0,0

Dílec č.2: 3 |---| 2, délka 1,000 m:

Styčník na dílci		Deformace					
č.	Umístění [m]	Posun X [mm]	Posun Y [mm]	Posun Z [mm]	Rotace X [mrad]	Rotace Y [mrad]	Rotace Z [mrad]
Kombinace č.1 - Q3:G1+G2							
3	0,000	0,0	1,1	-14,2	-3,1	0,0	0,0
-	0,200	0,0	0,9	-13,6	-	-	-
-	0,400	0,0	0,8	-12,9	-	-	-
-	0,600	0,0	0,7	-12,0	-	-	-
-	0,800	0,0	0,6	-11,0	-	-	-
2	1,000	0,0	0,5	-9,8	-6,5	0,0	0,0
Kombinace č.2 - Q4:G1+G2							
3	0,000	0,0	1,0	-12,4	-2,6	0,0	0,0
-	0,200	0,0	0,9	-11,9	-	-	-
-	0,400	0,0	0,8	-11,3	-	-	-
-	0,600	0,0	0,7	-10,6	-	-	-
-	0,800	0,0	0,6	-9,7	-	-	-
2	1,000	0,0	0,5	-8,7	-5,6	0,0	0,0

Dílec č.3: 3 |---| 4, délka 1,000 m:

Styčník na dílci		Deformace					
č.	Umístění [m]	Posun X [mm]	Posun Y [mm]	Posun Z [mm]	Rotace X [mrad]	Rotace Y [mrad]	Rotace Z [mrad]
Kombinace č.1 - Q3:G1+G2							
3	0,000	0,0	1,1	-14,2	-3,1	0,0	0,0
-	0,200	0,0	1,2	-14,8	-	-	-
-	0,400	0,0	1,3	-15,3	-	-	-
-	0,600	0,0	1,4	-15,7	-	-	-
-	0,800	0,0	1,5	-16,0	-	-	-
4	1,000	0,0	1,6	-16,3	-1,5	0,0	0,0
Kombinace č.2 - Q4:G1+G2							
3	0,000	0,0	1,0	-12,4	-2,6	0,0	0,0
-	0,200	0,0	1,0	-12,9	-	-	-
-	0,400	0,0	1,1	-13,2	-	-	-
-	0,600	0,0	1,2	-13,5	-	-	-
-	0,800	0,0	1,3	-13,8	-	-	-
4	1,000	0,0	1,4	-14,0	-1,1	0,0	0,0

Dílec č.4: 5 |---| 4, délka 1,000 m:

Styčník na dílci		Deformace					
č.	Umístění [m]	Posun X [mm]	Posun Y [mm]	Posun Z [mm]	Rotace X [mrad]	Rotace Y [mrad]	Rotace Z [mrad]
Kombinace č.1 - Q3:G1+G2							
5	0,000	0,0	2,1	-17,3	-0,5	0,0	0,0
-	0,200	0,0	2,0	-17,1	-	-	-
-	0,400	0,0	1,9	-17,0	-	-	-
-	0,600	0,0	1,8	-16,8	-	-	-
-	0,800	0,0	1,7	-16,6	-	-	-
4	1,000	0,0	1,6	-16,3	-1,5	0,0	0,0
Kombinace č.2 - Q4:G1+G2							
5	0,000	0,0	1,8	-14,6	-0,2	0,0	0,0

Styčník na dílci		Deformace					
č.	Umístění [m]	Posun X [mm]	Posun Y [mm]	Posun Z [mm]	Rotace X [mrad]	Rotace Y [mrad]	Rotace Z [mrad]
-	0,200	0,0	1,8	-14,6	-	-	-
-	0,400	0,0	1,7	-14,5	-	-	-
-	0,600	0,0	1,6	-14,4	-	-	-
-	0,800	0,0	1,5	-14,2	-	-	-
4	1,000	0,0	1,4	-14,0	-1,1	0,0	0,0

Dílec č.5: 5 |----| 6, délka 1,000 m:

Styčník na dílci		Deformace					
č.	Umístění [m]	Posun X [mm]	Posun Y [mm]	Posun Z [mm]	Rotace X [mrad]	Rotace Y [mrad]	Rotace Z [mrad]
Kombinace č.1 - Q3:G1+G2							
5	0,000	0,0	2,1	-17,3	-0,5	0,0	0,0
-	0,200	0,0	2,1	-17,3	-	-	-
-	0,400	0,0	2,2	-17,3	-	-	-
-	0,600	0,0	2,3	-17,3	-	-	-
-	0,800	0,0	2,3	-17,3	-	-	-
6	1,000	0,0	2,4	-17,3	0,0	0,0	0,0
Kombinace č.2 - Q4:G1+G2							
5	0,000	0,0	1,8	-14,6	-0,2	0,0	0,0
-	0,200	0,0	1,9	-14,6	-	-	-
-	0,400	0,0	2,0	-14,6	-	-	-
-	0,600	0,0	2,0	-14,5	-	-	-
-	0,800	0,0	2,1	-14,4	-	-	-
6	1,000	0,0	2,1	-14,4	0,3	0,0	0,0

Dílec č.6: 7 |----| 6, délka 1,000 m:

Styčník na dílci		Deformace					
č.	Umístění [m]	Posun X [mm]	Posun Y [mm]	Posun Z [mm]	Rotace X [mrad]	Rotace Y [mrad]	Rotace Z [mrad]
Kombinace č.1 - Q3:G1+G2							
7	0,000	0,0	2,8	-17,2	0,6	0,0	0,0
-	0,200	0,0	2,7	-17,3	-	-	-
-	0,400	0,0	2,6	-17,3	-	-	-
-	0,600	0,0	2,6	-17,3	-	-	-
-	0,800	0,0	2,5	-17,3	-	-	-
6	1,000	0,0	2,4	-17,3	0,0	0,0	0,0
Kombinace č.2 - Q4:G1+G2							
7	0,000	0,0	2,4	-14,1	0,7	0,0	0,0
-	0,200	0,0	2,4	-14,2	-	-	-
-	0,400	0,0	2,3	-14,3	-	-	-
-	0,600	0,0	2,3	-14,3	-	-	-
-	0,800	0,0	2,2	-14,3	-	-	-
6	1,000	0,0	2,1	-14,4	0,3	0,0	0,0

Dílec č.7: 7 |----| 8, délka 1,000 m:

Styčník na dílci		Deformace					
č.	Umístění [m]	Posun X [mm]	Posun Y [mm]	Posun Z [mm]	Rotace X [mrad]	Rotace Y [mrad]	Rotace Z [mrad]
Kombinace č.1 - Q3:G1+G2							
7	0,000	0,0	2,8	-17,2	0,6	0,0	0,0
-	0,200	0,0	2,9	-17,1	-	-	-
-	0,400	0,0	3,0	-16,9	-	-	-
-	0,600	0,0	3,1	-16,7	-	-	-
-	0,800	0,0	3,2	-16,5	-	-	-
8	1,000	0,0	3,3	-16,2	1,6	0,0	0,0
Kombinace č.2 - Q4:G1+G2							
7	0,000	0,0	2,4	-14,1	0,7	0,0	0,0
-	0,200	0,0	2,5	-13,9	-	-	-
-	0,400	0,0	2,6	-13,8	-	-	-
-	0,600	0,0	2,7	-13,6	-	-	-
-	0,800	0,0	2,7	-13,4	-	-	-
8	1,000	0,0	2,8	-13,1	1,4	0,0	0,0

Dílec č.8: 9 |----| 8, délka 1,000 m:

Styčník na dílci		Deformace					
č.	Umístění [m]	Posun X [mm]	Posun Y [mm]	Posun Z [mm]	Rotace X [mrad]	Rotace Y [mrad]	Rotace Z [mrad]
Kombinace č.1 - Q3:G1+G2							
9	0,000	0,0	3,7	-14,1	3,1	0,0	0,0
-	0,200	0,0	3,6	-14,6	-	-	-
-	0,400	0,0	3,5	-15,1	-	-	-
-	0,600	0,0	3,5	-15,5	-	-	-
-	0,800	0,0	3,4	-15,9	-	-	-
8	1,000	0,0	3,3	-16,2	1,6	0,0	0,0
Kombinace č.2 - Q4:G1+G2							
9	0,000	0,0	3,2	-11,2	2,7	0,0	0,0
-	0,200	0,0	3,1	-11,7	-	-	-
-	0,400	0,0	3,0	-12,1	-	-	-
-	0,600	0,0	3,0	-12,5	-	-	-
-	0,800	0,0	2,9	-12,8	-	-	-
8	1,000	0,0	2,8	-13,1	1,4	0,0	0,0

Dílec č.9: 9 |----| 10, délka 1,000 m:

Styčník na dílci		Deformace					
č.	Umístění [m]	Posun X [mm]	Posun Y [mm]	Posun Z [mm]	Rotace X [mrad]	Rotace Y [mrad]	Rotace Z [mrad]
Kombinace č.1 - Q3:G1+G2							
9	0,000	0,0	3,7	-14,1	3,1	0,0	0,0
-	0,200	0,0	3,9	-13,4	-	-	-
-	0,400	0,0	4,0	-12,7	-	-	-
-	0,600	0,0	4,1	-11,9	-	-	-
-	0,800	0,0	4,2	-10,9	-	-	-
10	1,000	0,0	4,3	-9,7	6,4	0,0	0,0
Kombinace č.2 - Q4:G1+G2							
9	0,000	0,0	3,2	-11,2	2,7	0,0	0,0

Styčník na dílci		Deformace					
č.	Umístění [m]	Posun X [mm]	Posun Y [mm]	Posun Z [mm]	Rotace X [mrad]	Rotace Y [mrad]	Rotace Z [mrad]
-	0,200	0,0	3,3	-10,6	-	-	-
-	0,400	0,0	3,4	-10,0	-	-	-
-	0,600	0,0	3,4	-9,3	-	-	-
-	0,800	0,0	3,5	-8,5	-	-	-
10	1,000	0,0	3,6	-7,6	5,1	0,0	0,0

Dílec č.10: 11 |----| 10, délka 1,000 m:

Styčník na dílci		Deformace					
č.	Umístění [m]	Posun X [mm]	Posun Y [mm]	Posun Z [mm]	Rotace X [mrad]	Rotace Y [mrad]	Rotace Z [mrad]
Kombinace č.1 - Q3:G1+G2							
11	0,000	0,0	4,8	0,0	11,5	0,0	0,0
-	0,200	0,0	4,7	-2,3	-	-	-
-	0,400	0,0	4,6	-4,5	-	-	-
-	0,600	0,0	4,5	-6,5	-	-	-
-	0,800	0,0	4,4	-8,2	-	-	-
10	1,000	0,0	4,3	-9,7	6,4	0,0	0,0
Kombinace č.2 - Q4:G1+G2							
11	0,000	0,0	4,0	0,0	8,9	0,0	0,0
-	0,200	0,0	3,9	-1,8	-	-	-
-	0,400	0,0	3,8	-3,5	-	-	-
-	0,600	0,0	3,8	-5,0	-	-	-
-	0,800	0,0	3,7	-6,4	-	-	-
10	1,000	0,0	3,6	-7,6	5,1	0,0	0,0

Dílec č.11: 1 |----| 12, délka 1,044 m:

Styčník na dílci		Deformace					
č.	Umístění [m]	Posun X [mm]	Posun Y [mm]	Posun Z [mm]	Rotace X [mrad]	Rotace Y [mrad]	Rotace Z [mrad]
Kombinace č.1 - Q3:G1+G2							
1	0,000	0,0	0,0	0,0	-11,7	0,0	0,0
-	0,209	0,0	0,6	-2,4	-	-	-
-	0,418	0,0	1,1	-4,6	-	-	-
-	0,626	0,0	1,6	-6,6	-	-	-
-	0,835	0,0	2,0	-8,4	-	-	-
12	1,044	0,0	2,4	-9,8	-6,1	0,0	0,0
Kombinace č.2 - Q4:G1+G2							
1	0,000	0,0	0,0	0,0	-10,4	0,0	0,0
-	0,209	0,0	0,5	-2,1	-	-	-
-	0,418	0,0	1,0	-4,1	-	-	-
-	0,626	0,0	1,4	-5,9	-	-	-
-	0,835	0,0	1,8	-7,4	-	-	-
12	1,044	0,0	2,1	-8,7	-5,3	0,0	0,0

Dílec č.12: 13 |---| 12, délka 1,044 m:

Styčník na dílci		Deformace					
č.	Umístění [m]	Posun X [mm]	Posun Y [mm]	Posun Z [mm]	Rotace X [mrad]	Rotace Y [mrad]	Rotace Z [mrad]
Kombinace č.1 - Q3:G1+G2							
13	0,000	0,0	3,0	-14,2	-3,1	0,0	0,0
-	0,209	0,0	3,0	-13,6	-	-	-
-	0,418	0,0	2,9	-12,9	-	-	-
-	0,626	0,0	2,8	-12,0	-	-	-
-	0,835	0,0	2,6	-11,0	-	-	-
12	1,044	0,0	2,4	-9,8	-6,1	0,0	0,0
Kombinace č.2 - Q4:G1+G2							
13	0,000	0,0	2,6	-12,4	-2,5	0,0	0,0
-	0,209	0,0	2,6	-11,9	-	-	-
-	0,418	0,0	2,5	-11,3	-	-	-
-	0,626	0,0	2,4	-10,5	-	-	-
-	0,835	0,0	2,3	-9,7	-	-	-
12	1,044	0,0	2,1	-8,7	-5,3	0,0	0,0

Dílec č.13: 13 |---| 14, délka 1,044 m:

Styčník na dílci		Deformace					
č.	Umístění [m]	Posun X [mm]	Posun Y [mm]	Posun Z [mm]	Rotace X [mrad]	Rotace Y [mrad]	Rotace Z [mrad]
Kombinace č.1 - Q3:G1+G2							
13	0,000	0,0	3,0	-14,2	-3,1	0,0	0,0
-	0,209	0,0	3,1	-14,8	-	-	-
-	0,418	0,0	3,1	-15,3	-	-	-
-	0,626	0,0	3,1	-15,7	-	-	-
-	0,835	0,0	3,1	-16,0	-	-	-
14	1,044	0,0	3,1	-16,3	-1,4	0,0	0,0
Kombinace č.2 - Q4:G1+G2							
13	0,000	0,0	2,6	-12,4	-2,5	0,0	0,0
-	0,209	0,0	2,6	-12,9	-	-	-
-	0,418	0,0	2,7	-13,3	-	-	-
-	0,626	0,0	2,6	-13,6	-	-	-
-	0,835	0,0	2,6	-13,8	-	-	-
14	1,044	0,0	2,5	-14,0	-1,0	0,0	0,0

Dílec č.14: 15 |---| 14, délka 1,044 m:

Styčník na dílci		Deformace					
č.	Umístění [m]	Posun X [mm]	Posun Y [mm]	Posun Z [mm]	Rotace X [mrad]	Rotace Y [mrad]	Rotace Z [mrad]
Kombinace č.1 - Q3:G1+G2							
15	0,000	0,0	2,9	-17,3	-0,3	0,0	0,0
-	0,209	0,0	2,9	-17,2	-	-	-
-	0,418	0,0	3,0	-17,1	-	-	-
-	0,626	0,0	3,0	-16,9	-	-	-
-	0,835	0,0	3,0	-16,6	-	-	-
14	1,044	0,0	3,1	-16,3	-1,4	0,0	0,0
Kombinace č.2 - Q4:G1+G2							
15	0,000	0,0	2,3	-14,6	-0,1	0,0	0,0

Styčník na dílci		Deformace					
č.	Umístění [m]	Posun X [mm]	Posun Y [mm]	Posun Z [mm]	Rotace X [mrad]	Rotace Y [mrad]	Rotace Z [mrad]
-	0,209	0,0	2,4	-14,6	-	-	-
-	0,418	0,0	2,4	-14,5	-	-	-
-	0,626	0,0	2,5	-14,4	-	-	-
-	0,835	0,0	2,5	-14,2	-	-	-
14	1,044	0,0	2,5	-14,0	-1,0	0,0	0,0

Dílec č.15: 15 |----| 16, délka 1,044 m:

Styčník na dílci		Deformace					
č.	Umístění [m]	Posun X [mm]	Posun Y [mm]	Posun Z [mm]	Rotace X [mrad]	Rotace Y [mrad]	Rotace Z [mrad]
Kombinace č.1 - Q3:G1+G2							
15	0,000	0,0	2,9	-17,3	-0,3	0,0	0,0
-	0,209	0,0	2,8	-17,3	-	-	-
-	0,418	0,0	2,7	-17,4	-	-	-
-	0,626	0,0	2,6	-17,3	-	-	-
-	0,835	0,0	2,5	-17,2	-	-	-
16	1,044	0,0	2,4	-17,2	0,0	0,0	0,0
Kombinace č.2 - Q4:G1+G2							
15	0,000	0,0	2,3	-14,6	-0,1	0,0	0,0
-	0,209	0,0	2,2	-14,7	-	-	-
-	0,418	0,0	2,1	-14,6	-	-	-
-	0,626	0,0	2,0	-14,5	-	-	-
-	0,835	0,0	1,9	-14,4	-	-	-
16	1,044	0,0	1,8	-14,3	0,3	0,0	0,0

Dílec č.16: 17 |----| 16, délka 1,044 m:

Styčník na dílci		Deformace					
č.	Umístění [m]	Posun X [mm]	Posun Y [mm]	Posun Z [mm]	Rotace X [mrad]	Rotace Y [mrad]	Rotace Z [mrad]
Kombinace č.1 - Q3:G1+G2							
17	0,000	0,0	1,9	-17,2	0,4	0,0	0,0
-	0,209	0,0	2,0	-17,3	-	-	-
-	0,418	0,0	2,1	-17,3	-	-	-
-	0,626	0,0	2,2	-17,3	-	-	-
-	0,835	0,0	2,3	-17,2	-	-	-
16	1,044	0,0	2,4	-17,2	0,0	0,0	0,0
Kombinace č.2 - Q4:G1+G2							
17	0,000	0,0	1,5	-14,1	0,5	0,0	0,0
-	0,209	0,0	1,6	-14,2	-	-	-
-	0,418	0,0	1,6	-14,3	-	-	-
-	0,626	0,0	1,7	-14,3	-	-	-
-	0,835	0,0	1,8	-14,3	-	-	-
16	1,044	0,0	1,8	-14,3	0,3	0,0	0,0

Dílec č.17: 17 |----| 18, délka 1,044 m:

Styčník na dílci		Deformace					
č.	Umístění [m]	Posun X [mm]	Posun Y [mm]	Posun Z [mm]	Rotace X [mrad]	Rotace Y [mrad]	Rotace Z [mrad]
Kombinace č.1 - Q3:G1+G2							
17	0,000	0,0	1,9	-17,2	0,4	0,0	0,0
-	0,209	0,0	1,8	-17,1	-	-	-
-	0,418	0,0	1,8	-17,0	-	-	-
-	0,626	0,0	1,7	-16,8	-	-	-
-	0,835	0,0	1,7	-16,5	-	-	-
18	1,044	0,0	1,7	-16,2	1,5	0,0	0,0
Kombinace č.2 - Q4:G1+G2							
17	0,000	0,0	1,5	-14,1	0,5	0,0	0,0
-	0,209	0,0	1,5	-14,0	-	-	-
-	0,418	0,0	1,4	-13,8	-	-	-
-	0,626	0,0	1,4	-13,6	-	-	-
-	0,835	0,0	1,4	-13,4	-	-	-
18	1,044	0,0	1,4	-13,1	1,4	0,0	0,0

Dílec č.18: 19 |----| 18, délka 1,044 m:

Styčník na dílci		Deformace					
č.	Umístění [m]	Posun X [mm]	Posun Y [mm]	Posun Z [mm]	Rotace X [mrad]	Rotace Y [mrad]	Rotace Z [mrad]
Kombinace č.1 - Q3:G1+G2							
19	0,000	0,0	1,8	-14,1	3,1	0,0	0,0
-	0,209	0,0	1,7	-14,7	-	-	-
-	0,418	0,0	1,7	-15,2	-	-	-
-	0,626	0,0	1,7	-15,6	-	-	-
-	0,835	0,0	1,7	-15,9	-	-	-
18	1,044	0,0	1,7	-16,2	1,5	0,0	0,0
Kombinace č.2 - Q4:G1+G2							
19	0,000	0,0	1,5	-11,2	2,6	0,0	0,0
-	0,209	0,0	1,5	-11,7	-	-	-
-	0,418	0,0	1,4	-12,1	-	-	-
-	0,626	0,0	1,4	-12,5	-	-	-
-	0,835	0,0	1,4	-12,8	-	-	-
18	1,044	0,0	1,4	-13,1	1,4	0,0	0,0

Dílec č.19: 19 |----| 20, délka 1,044 m:

Styčník na dílci		Deformace					
č.	Umístění [m]	Posun X [mm]	Posun Y [mm]	Posun Z [mm]	Rotace X [mrad]	Rotace Y [mrad]	Rotace Z [mrad]
Kombinace č.1 - Q3:G1+G2							
19	0,000	0,0	1,8	-14,1	3,1	0,0	0,0
-	0,209	0,0	1,8	-13,4	-	-	-
-	0,418	0,0	1,9	-12,7	-	-	-
-	0,626	0,0	2,0	-11,8	-	-	-
-	0,835	0,0	2,2	-10,8	-	-	-
20	1,044	0,0	2,4	-9,7	6,0	0,0	0,0
Kombinace č.2 - Q4:G1+G2							
19	0,000	0,0	1,5	-11,2	2,6	0,0	0,0

Styčník na dílci		Deformace					
č.	Umístění [m]	Posun X [mm]	Posun Y [mm]	Posun Z [mm]	Rotace X [mrad]	Rotace Y [mrad]	Rotace Z [mrad]
-	0,209	0,0	1,6	-10,6	-	-	-
-	0,418	0,0	1,7	-10,0	-	-	-
-	0,626	0,0	1,8	-9,3	-	-	-
-	0,835	0,0	2,0	-8,5	-	-	-
20	1,044	0,0	2,1	-7,6	4,8	0,0	0,0

Dílec č.20: 11 |----| 20, délka 1,044 m:

Styčník na dílci		Deformace					
č.	Umístění [m]	Posun X [mm]	Posun Y [mm]	Posun Z [mm]	Rotace X [mrad]	Rotace Y [mrad]	Rotace Z [mrad]
Kombinace č.1 - Q3:G1+G2							
11	0,000	0,0	4,8	0,0	11,5	0,0	0,0
-	0,209	0,0	4,2	-2,3	-	-	-
-	0,418	0,0	3,7	-4,5	-	-	-
-	0,626	0,0	3,2	-6,5	-	-	-
-	0,835	0,0	2,8	-8,3	-	-	-
20	1,044	0,0	2,4	-9,7	6,0	0,0	0,0
Kombinace č.2 - Q4:G1+G2							
11	0,000	0,0	4,0	0,0	8,9	0,0	0,0
-	0,209	0,0	3,5	-1,8	-	-	-
-	0,418	0,0	3,1	-3,5	-	-	-
-	0,626	0,0	2,7	-5,1	-	-	-
-	0,835	0,0	2,4	-6,5	-	-	-
20	1,044	0,0	2,1	-7,6	4,8	0,0	0,0

Dílec č.21: 2 |----| 12, délka 0,300 m:

Styčník na dílci		Deformace					
č.	Umístění [m]	Posun X [mm]	Posun Y [mm]	Posun Z [mm]	Rotace X [mrad]	Rotace Y [mrad]	Rotace Z [mrad]
Kombinace č.1 - Q3:G1+G2							
2	0,000	0,0	0,5	-9,8	-6,5	0,0	0,0
-	0,150	0,0	1,5	-9,8	-	-	-
12	0,300	0,0	2,4	-9,8	-6,1	0,0	0,0
Kombinace č.2 - Q4:G1+G2							
2	0,000	0,0	0,5	-8,7	-5,6	0,0	0,0
-	0,150	0,0	1,3	-8,7	-	-	-
12	0,300	0,0	2,1	-8,7	-5,3	0,0	0,0

Dílec č.22: 3 |----| 12, délka 1,044 m:

Styčník na dílci		Deformace					
č.	Umístění [m]	Posun X [mm]	Posun Y [mm]	Posun Z [mm]	Rotace X [mrad]	Rotace Y [mrad]	Rotace Z [mrad]
Kombinace č.1 - Q3:G1+G2							
3	0,000	0,0	1,1	-14,2	-3,1	0,0	0,0
-	0,209	0,0	1,3	-13,6	-	-	-
-	0,418	0,0	1,5	-12,8	-	-	-
-	0,626	0,0	1,7	-12,0	-	-	-
-	0,835	0,0	2,0	-11,0	-	-	-
12	1,044	0,0	2,4	-9,8	-6,1	0,0	0,0

Styčník na dílci		Deformace					
č.	Umístění [m]	Posun X [mm]	Posun Y [mm]	Posun Z [mm]	Rotace X [mrad]	Rotace Y [mrad]	Rotace Z [mrad]
Kombinace č.2 - Q4:G1+G2							
3	0,000	0,0	1,0	-12,4	-2,6	0,0	0,0
-	0,209	0,0	1,1	-11,8	-	-	-
-	0,418	0,0	1,3	-11,2	-	-	-
-	0,626	0,0	1,5	-10,5	-	-	-
-	0,835	0,0	1,8	-9,6	-	-	-
12	1,044	0,0	2,1	-8,7	-5,3	0,0	0,0

Dílec č.23: 3 |----| 13, délka 0,600 m:

Styčník na dílci		Deformace					
č.	Umístění [m]	Posun X [mm]	Posun Y [mm]	Posun Z [mm]	Rotace X [mrad]	Rotace Y [mrad]	Rotace Z [mrad]
Kombinace č.1 - Q3:G1+G2							
3	0,000	0,0	1,1	-14,2	-3,1	0,0	0,0
-	0,200	0,0	1,7	-14,2	-	-	-
-	0,400	0,0	2,4	-14,2	-	-	-
13	0,600	0,0	3,0	-14,2	-3,1	0,0	0,0
Kombinace č.2 - Q4:G1+G2							
3	0,000	0,0	1,0	-12,4	-2,6	0,0	0,0
-	0,200	0,0	1,5	-12,4	-	-	-
-	0,400	0,0	2,1	-12,4	-	-	-
13	0,600	0,0	2,6	-12,4	-2,5	0,0	0,0

Dílec č.24: 3 |----| 14, délka 1,345 m:

Styčník na dílci		Deformace					
č.	Umístění [m]	Posun X [mm]	Posun Y [mm]	Posun Z [mm]	Rotace X [mrad]	Rotace Y [mrad]	Rotace Z [mrad]
Kombinace č.1 - Q3:G1+G2							
3	0,000	0,0	1,1	-14,2	-3,1	0,0	0,0
-	0,224	0,0	1,5	-14,7	-	-	-
-	0,448	0,0	1,9	-15,1	-	-	-
-	0,673	0,0	2,2	-15,5	-	-	-
-	0,897	0,0	2,6	-15,8	-	-	-
-	1,121	0,0	2,8	-16,1	-	-	-
14	1,345	0,0	3,1	-16,3	-1,4	0,0	0,0
Kombinace č.2 - Q4:G1+G2							
3	0,000	0,0	1,0	-12,4	-2,6	0,0	0,0
-	0,224	0,0	1,3	-12,8	-	-	-
-	0,448	0,0	1,6	-13,1	-	-	-
-	0,673	0,0	1,9	-13,4	-	-	-
-	0,897	0,0	2,2	-13,6	-	-	-
-	1,121	0,0	2,4	-13,8	-	-	-
14	1,345	0,0	2,5	-14,0	-1,0	0,0	0,0

Dílec č.25: 4 |----| 14, délka 0,900 m:

Styčník na dílci		Deformace					
č.	Umístění [m]	Posun X [mm]	Posun Y [mm]	Posun Z [mm]	Rotace X [mrad]	Rotace Y [mrad]	Rotace Z [mrad]
Kombinace č.1 - Q3:G1+G2							
4	0,000	0,0	1,6	-16,3	-1,5	0,0	0,0
-	0,225	0,0	1,9	-16,3	-	-	-
-	0,450	0,0	2,3	-16,3	-	-	-
-	0,675	0,0	2,7	-16,3	-	-	-
14	0,900	0,0	3,1	-16,3	-1,4	0,0	0,0
Kombinace č.2 - Q4:G1+G2							
4	0,000	0,0	1,4	-14,0	-1,1	0,0	0,0
-	0,225	0,0	1,7	-14,0	-	-	-
-	0,450	0,0	2,0	-14,0	-	-	-
-	0,675	0,0	2,3	-14,0	-	-	-
14	0,900	0,0	2,5	-14,0	-1,0	0,0	0,0

Dílec č.26: 5 |----| 14, délka 1,345 m:

Styčník na dílci		Deformace					
č.	Umístění [m]	Posun X [mm]	Posun Y [mm]	Posun Z [mm]	Rotace X [mrad]	Rotace Y [mrad]	Rotace Z [mrad]
Kombinace č.1 - Q3:G1+G2							
5	0,000	0,0	2,1	-17,3	-0,5	0,0	0,0
-	0,224	0,0	2,2	-17,2	-	-	-
-	0,448	0,0	2,3	-17,0	-	-	-
-	0,673	0,0	2,4	-16,9	-	-	-
-	0,897	0,0	2,6	-16,7	-	-	-
-	1,121	0,0	2,8	-16,5	-	-	-
14	1,345	0,0	3,1	-16,3	-1,4	0,0	0,0
Kombinace č.2 - Q4:G1+G2							
5	0,000	0,0	1,8	-14,6	-0,2	0,0	0,0
-	0,224	0,0	1,9	-14,6	-	-	-
-	0,448	0,0	2,0	-14,5	-	-	-
-	0,673	0,0	2,1	-14,4	-	-	-
-	0,897	0,0	2,2	-14,3	-	-	-
-	1,121	0,0	2,4	-14,2	-	-	-
14	1,345	0,0	2,5	-14,0	-1,0	0,0	0,0

Dílec č.27: 5 |----| 15, délka 1,200 m:

Styčník na dílci		Deformace					
č.	Umístění [m]	Posun X [mm]	Posun Y [mm]	Posun Z [mm]	Rotace X [mrad]	Rotace Y [mrad]	Rotace Z [mrad]
Kombinace č.1 - Q3:G1+G2							
5	0,000	0,0	2,1	-17,3	-0,5	0,0	0,0
-	0,240	0,0	2,2	-17,3	-	-	-
-	0,480	0,0	2,4	-17,3	-	-	-
-	0,720	0,0	2,6	-17,3	-	-	-
-	0,960	0,0	2,7	-17,3	-	-	-
15	1,200	0,0	2,9	-17,3	-0,3	0,0	0,0
Kombinace č.2 - Q4:G1+G2							
5	0,000	0,0	1,8	-14,6	-0,2	0,0	0,0

Styčník na dílci		Deformace					
č.	Umístění [m]	Posun X [mm]	Posun Y [mm]	Posun Z [mm]	Rotace X [mrad]	Rotace Y [mrad]	Rotace Z [mrad]
-	0,240	0,0	1,9	-14,6	-	-	-
-	0,480	0,0	2,0	-14,6	-	-	-
-	0,720	0,0	2,2	-14,6	-	-	-
-	0,960	0,0	2,3	-14,6	-	-	-
15	1,200	0,0	2,3	-14,6	-0,1	0,0	0,0

Dílec č.28: 5 |----| 16, délka 1,803 m:

Styčník na dílci		Deformace					
č.	Umístění [m]	Posun X [mm]	Posun Y [mm]	Posun Z [mm]	Rotace X [mrad]	Rotace Y [mrad]	Rotace Z [mrad]
Kombinace č.1 - Q3:G1+G2							
5	0,000	0,0	2,1	-17,3	-0,5	0,0	0,0
-	0,225	0,0	2,1	-17,3	-	-	-
-	0,451	0,0	2,2	-17,3	-	-	-
-	0,676	0,0	2,3	-17,3	-	-	-
-	0,901	0,0	2,3	-17,3	-	-	-
-	1,127	0,0	2,3	-17,3	-	-	-
-	1,352	0,0	2,4	-17,3	-	-	-
-	1,577	0,0	2,4	-17,2	-	-	-
16	1,803	0,0	2,4	-17,2	0,0	0,0	0,0
Kombinace č.2 - Q4:G1+G2							
5	0,000	0,0	1,8	-14,6	-0,2	0,0	0,0
-	0,225	0,0	1,9	-14,6	-	-	-
-	0,451	0,0	1,9	-14,6	-	-	-
-	0,676	0,0	1,9	-14,6	-	-	-
-	0,901	0,0	1,9	-14,5	-	-	-
-	1,127	0,0	1,9	-14,5	-	-	-
-	1,352	0,0	1,9	-14,5	-	-	-
-	1,577	0,0	1,9	-14,4	-	-	-
16	1,803	0,0	1,8	-14,3	0,3	0,0	0,0

Dílec č.29: 6 |----| 16, délka 1,500 m:

Styčník na dílci		Deformace					
č.	Umístění [m]	Posun X [mm]	Posun Y [mm]	Posun Z [mm]	Rotace X [mrad]	Rotace Y [mrad]	Rotace Z [mrad]
Kombinace č.1 - Q3:G1+G2							
6	0,000	0,0	2,4	-17,3	0,0	0,0	0,0
-	0,214	0,0	2,4	-17,2	-	-	-
-	0,429	0,0	2,4	-17,2	-	-	-
-	0,643	0,0	2,4	-17,2	-	-	-
-	0,857	0,0	2,4	-17,2	-	-	-
-	1,071	0,0	2,4	-17,2	-	-	-
-	1,286	0,0	2,4	-17,2	-	-	-
16	1,500	0,0	2,4	-17,2	0,0	0,0	0,0
Kombinace č.2 - Q4:G1+G2							
6	0,000	0,0	2,1	-14,4	0,3	0,0	0,0
-	0,214	0,0	2,1	-14,4	-	-	-
-	0,429	0,0	2,0	-14,4	-	-	-

Styčník na dílci		Deformace					
č.	Umístění [m]	Posun X [mm]	Posun Y [mm]	Posun Z [mm]	Rotace X [mrad]	Rotace Y [mrad]	Rotace Z [mrad]
-	0,643	0,0	2,0	-14,4	-	-	-
-	0,857	0,0	2,0	-14,4	-	-	-
-	1,071	0,0	1,9	-14,4	-	-	-
-	1,286	0,0	1,9	-14,4	-	-	-
16	1,500	0,0	1,8	-14,3	0,3	0,0	0,0

Dílec č.30: 7 |----| 16, délka 1,803 m:

Styčník na dílci		Deformace					
č.	Umístění [m]	Posun X [mm]	Posun Y [mm]	Posun Z [mm]	Rotace X [mrad]	Rotace Y [mrad]	Rotace Z [mrad]
Kombinace č.1 - Q3:G1+G2							
7	0,000	0,0	2,8	-17,2	0,6	0,0	0,0
-	0,225	0,0	2,7	-17,2	-	-	-
-	0,451	0,0	2,6	-17,2	-	-	-
-	0,676	0,0	2,5	-17,3	-	-	-
-	0,901	0,0	2,5	-17,3	-	-	-
-	1,127	0,0	2,4	-17,3	-	-	-
-	1,352	0,0	2,4	-17,3	-	-	-
-	1,577	0,0	2,4	-17,2	-	-	-
16	1,803	0,0	2,4	-17,2	0,0	0,0	0,0
Kombinace č.2 - Q4:G1+G2							
7	0,000	0,0	2,4	-14,1	0,7	0,0	0,0
-	0,225	0,0	2,3	-14,1	-	-	-
-	0,451	0,0	2,2	-14,2	-	-	-
-	0,676	0,0	2,1	-14,2	-	-	-
-	0,901	0,0	2,1	-14,3	-	-	-
-	1,127	0,0	2,0	-14,3	-	-	-
-	1,352	0,0	1,9	-14,3	-	-	-
-	1,577	0,0	1,9	-14,3	-	-	-
16	1,803	0,0	1,8	-14,3	0,3	0,0	0,0

Dílec č.31: 7 |----| 17, délka 1,200 m:

Styčník na dílci		Deformace					
č.	Umístění [m]	Posun X [mm]	Posun Y [mm]	Posun Z [mm]	Rotace X [mrad]	Rotace Y [mrad]	Rotace Z [mrad]
Kombinace č.1 - Q3:G1+G2							
7	0,000	0,0	2,8	-17,2	0,6	0,0	0,0
-	0,240	0,0	2,6	-17,2	-	-	-
-	0,480	0,0	2,4	-17,2	-	-	-
-	0,720	0,0	2,2	-17,2	-	-	-
-	0,960	0,0	2,0	-17,2	-	-	-
17	1,200	0,0	1,9	-17,2	0,4	0,0	0,0
Kombinace č.2 - Q4:G1+G2							
7	0,000	0,0	2,4	-14,1	0,7	0,0	0,0
-	0,240	0,0	2,3	-14,1	-	-	-
-	0,480	0,0	2,1	-14,1	-	-	-
-	0,720	0,0	1,9	-14,1	-	-	-
-	0,960	0,0	1,7	-14,1	-	-	-

Styčnick na dílci		Deformace					
č.	Umístění [m]	Posun X [mm]	Posun Y [mm]	Posun Z [mm]	Rotace X [mrad]	Rotace Y [mrad]	Rotace Z [mrad]
17	1,200	0,0	1,5	-14,1	0,5	0,0	0,0

Dílec č.32: 7 |----| 18, délka 1,345 m:

Styčnick na dílci		Deformace					
č.	Umístění [m]	Posun X [mm]	Posun Y [mm]	Posun Z [mm]	Rotace X [mrad]	Rotace Y [mrad]	Rotace Z [mrad]
Kombinace č.1 - Q3:G1+G2							
7	0,000	0,0	2,8	-17,2	0,6	0,0	0,0
-	0,224	0,0	2,7	-17,1	-	-	-
-	0,448	0,0	2,5	-17,0	-	-	-
-	0,673	0,0	2,3	-16,8	-	-	-
-	0,897	0,0	2,2	-16,6	-	-	-
-	1,121	0,0	2,0	-16,4	-	-	-
18	1,345	0,0	1,7	-16,2	1,5	0,0	0,0
Kombinace č.2 - Q4:G1+G2							
7	0,000	0,0	2,4	-14,1	0,7	0,0	0,0
-	0,224	0,0	2,3	-14,0	-	-	-
-	0,448	0,0	2,2	-13,8	-	-	-
-	0,673	0,0	2,0	-13,7	-	-	-
-	0,897	0,0	1,8	-13,5	-	-	-
-	1,121	0,0	1,6	-13,3	-	-	-
18	1,345	0,0	1,4	-13,1	1,4	0,0	0,0

Dílec č.33: 8 |----| 18, délka 0,900 m:

Styčnick na dílci		Deformace					
č.	Umístění [m]	Posun X [mm]	Posun Y [mm]	Posun Z [mm]	Rotace X [mrad]	Rotace Y [mrad]	Rotace Z [mrad]
Kombinace č.1 - Q3:G1+G2							
8	0,000	0,0	3,3	-16,2	1,6	0,0	0,0
-	0,225	0,0	2,9	-16,2	-	-	-
-	0,450	0,0	2,5	-16,2	-	-	-
-	0,675	0,0	2,1	-16,2	-	-	-
18	0,900	0,0	1,7	-16,2	1,5	0,0	0,0
Kombinace č.2 - Q4:G1+G2							
8	0,000	0,0	2,8	-13,1	1,4	0,0	0,0
-	0,225	0,0	2,5	-13,1	-	-	-
-	0,450	0,0	2,1	-13,1	-	-	-
-	0,675	0,0	1,8	-13,1	-	-	-
18	0,900	0,0	1,4	-13,1	1,4	0,0	0,0

Dílec č.34: 9 |----| 18, délka 1,345 m:

Styčnick na dílci		Deformace					
č.	Umístění [m]	Posun X [mm]	Posun Y [mm]	Posun Z [mm]	Rotace X [mrad]	Rotace Y [mrad]	Rotace Z [mrad]
Kombinace č.1 - Q3:G1+G2							
9	0,000	0,0	3,7	-14,1	3,1	0,0	0,0
-	0,224	0,0	3,3	-14,5	-	-	-
-	0,448	0,0	2,9	-15,0	-	-	-
-	0,673	0,0	2,5	-15,3	-	-	-

Styčník na dílci		Deformace					
č.	Umístění [m]	Posun X [mm]	Posun Y [mm]	Posun Z [mm]	Rotace X [mrad]	Rotace Y [mrad]	Rotace Z [mrad]
-	0,897	0,0	2,2	-15,7	-	-	-
-	1,121	0,0	2,0	-15,9	-	-	-
18	1,345	0,0	1,7	-16,2	1,5	0,0	0,0
Kombinace č.2 - Q4:G1+G2							
9	0,000	0,0	3,2	-11,2	2,7	0,0	0,0
-	0,224	0,0	2,8	-11,6	-	-	-
-	0,448	0,0	2,5	-12,0	-	-	-
-	0,673	0,0	2,2	-12,3	-	-	-
-	0,897	0,0	1,9	-12,6	-	-	-
-	1,121	0,0	1,7	-12,8	-	-	-
18	1,345	0,0	1,4	-13,1	1,4	0,0	0,0

Dílec č.35: 9 |----| 19, délka 0,600 m:

Styčník na dílci		Deformace					
č.	Umístění [m]	Posun X [mm]	Posun Y [mm]	Posun Z [mm]	Rotace X [mrad]	Rotace Y [mrad]	Rotace Z [mrad]
Kombinace č.1 - Q3:G1+G2							
9	0,000	0,0	3,7	-14,1	3,1	0,0	0,0
-	0,200	0,0	3,1	-14,1	-	-	-
-	0,400	0,0	2,4	-14,1	-	-	-
19	0,600	0,0	1,8	-14,1	3,1	0,0	0,0
Kombinace č.2 - Q4:G1+G2							
9	0,000	0,0	3,2	-11,2	2,7	0,0	0,0
-	0,200	0,0	2,6	-11,2	-	-	-
-	0,400	0,0	2,1	-11,2	-	-	-
19	0,600	0,0	1,5	-11,2	2,6	0,0	0,0

Dílec č.36: 9 |----| 20, délka 1,044 m:

Styčník na dílci		Deformace					
č.	Umístění [m]	Posun X [mm]	Posun Y [mm]	Posun Z [mm]	Rotace X [mrad]	Rotace Y [mrad]	Rotace Z [mrad]
Kombinace č.1 - Q3:G1+G2							
9	0,000	0,0	3,7	-14,1	3,1	0,0	0,0
-	0,209	0,0	3,6	-13,4	-	-	-
-	0,418	0,0	3,3	-12,7	-	-	-
-	0,626	0,0	3,1	-11,8	-	-	-
-	0,835	0,0	2,8	-10,8	-	-	-
20	1,044	0,0	2,4	-9,7	6,0	0,0	0,0
Kombinace č.2 - Q4:G1+G2							
9	0,000	0,0	3,2	-11,2	2,7	0,0	0,0
-	0,209	0,0	3,0	-10,6	-	-	-
-	0,418	0,0	2,9	-10,0	-	-	-
-	0,626	0,0	2,6	-9,3	-	-	-
-	0,835	0,0	2,4	-8,5	-	-	-
20	1,044	0,0	2,1	-7,6	4,8	0,0	0,0

Dílec č.37: 10 |---| 20, délka 0,300 m:

Styčnick na dílci		Deformace					
č.	Umístění [m]	Posun X [mm]	Posun Y [mm]	Posun Z [mm]	Rotace X [mrad]	Rotace Y [mrad]	Rotace Z [mrad]
Kombinace č.1 - Q3:G1+G2							
10	0,000	0,0	4,3	-9,7	6,4	0,0	0,0
-	0,150	0,0	3,3	-9,7	-	-	-
20	0,300	0,0	2,4	-9,7	6,0	0,0	0,0
Kombinace č.2 - Q4:G1+G2							
10	0,000	0,0	3,6	-7,6	5,1	0,0	0,0
-	0,150	0,0	2,9	-7,6	-	-	-
20	0,300	0,0	2,1	-7,6	4,8	0,0	0,0

3.3.4 Extrémy deformací

Kombinace 1. řád, pro posouzení mezního stavu použitelnosti (MSP)

Kladné extrémy:

Deformace	Kombinace	Umístění	Hodnota
Posun X	-	-	0,0 mm
Posun Y	Kombinace 1	Styčnick 11	4,8 mm
Posun Z	-	-	0,0 mm
Rotace X	Kombinace 1	Styčnick 11	11,5 mrad
Rotace Y	-	-	0,0 mrad
Rotace Z	-	-	0,0 mrad

Záporné extrémy:

Deformace	Kombinace	Umístění	Hodnota
Posun X	-	-	0,0 mm
Posun Y	-	-	0,0 mm
Posun Z	Kombinace 1	Dílec 15 : X = 0,418m	-17,4 mm
Rotace X	Kombinace 1	Styčnick 1	-11,7 mrad
Rotace Y	-	-	0,0 mrad
Rotace Z	-	-	0,0 mrad

3.4 Reakce pro zatěžovací stavy

3.4.1 Reakce po styčnicích

Zatěžovací stav		Reakce					
č.	Název	R _x [kN]	R _y [kN]	R _z [kN]	RO _x [kNm]	RO _y [kNm]	RO _z [kNm]
Styčnick č.1 - abs. X: 0,000 m Y: 0,000 m Z: 0,000 m							
1	G1 vlastní tíha-stálé	0,00	0,00	0,52	-	0,00	0,00
2	G2 silové-stálé	0,00	0,00	9,42	-	0,00	0,00
-	G1+G2	0,00	0,00	9,95	-	0,00	0,00
3	Q3 silové-proměnné krátkodobé	0,00	0,00	4,96	-	0,00	0,00
4	Q4 silové-proměnné krátkodobé	0,00	0,00	3,72	-	0,00	0,00
Styčnick č.11 - abs. X: 0,000 m Y: 10,000 m Z: 0,000 m							
1	G1 vlastní tíha-stálé	0,00	-	0,52	-	0,00	0,00
2	G2 silové-stálé	0,00	-	9,03	-	0,00	0,00
-	G1+G2	0,00	-	9,56	-	0,00	0,00
3	Q3 silové-proměnné krátkodobé	0,00	-	4,96	-	0,00	0,00
4	Q4 silové-proměnné krátkodobé	0,00	-	1,24	-	0,00	0,00

3.4.2 Reakce po zatěžovacích stavech

Styčník		Reakce					
č.	Popis styčnicku	R _x [kN]	R _y [kN]	R _z [kN]	RO _x [kNm]	RO _y [kNm]	RO _z [kNm]
Zatěžovací stav č.1 - G1 vlastní tíha-stálé							
1	abs. X: 0,000 m Y: 0,000 m Z: 0,000 m	0,00	0,00	0,52	-	0,00	0,00
11	abs. X: 0,000 m Y: 10,000 m Z: 0,000 m	0,00	-	0,52	-	0,00	0,00
Zatěžovací stav č.2 - G2 silové-stálé							
1	abs. X: 0,000 m Y: 0,000 m Z: 0,000 m	0,00	0,00	9,42	-	0,00	0,00
11	abs. X: 0,000 m Y: 10,000 m Z: 0,000 m	0,00	-	9,03	-	0,00	0,00
Zatěžovací stav č.3 - Q3 silové-proměnné krátkodobé							
1	abs. X: 0,000 m Y: 0,000 m Z: 0,000 m	0,00	0,00	4,96	-	0,00	0,00
11	abs. X: 0,000 m Y: 10,000 m Z: 0,000 m	0,00	-	4,96	-	0,00	0,00
Zatěžovací stav č.4 - Q4 silové-proměnné krátkodobé							
1	abs. X: 0,000 m Y: 0,000 m Z: 0,000 m	0,00	0,00	3,72	-	0,00	0,00
11	abs. X: 0,000 m Y: 10,000 m Z: 0,000 m	0,00	-	1,24	-	0,00	0,00

3.4.3 Extrémy reakcí

Kladné extrémy:

Max. reakce	Zatěžovací stav	Styčník	R _x [kN]	R _y [kN]	R _z [kN]	RO _x [kNm]	RO _y [kNm]	RO _z [kNm]
Max.R _x	Zatěžovací stav 1	1	0,00	0,00	0,52	-	0,00	0,00
Max.R _y	Zatěžovací stav 2	1	0,00	0,00	9,42	-	0,00	0,00
Max.R _z	Zatěžovací stav 2	1	0,00	0,00	9,42	-	0,00	0,00
Max.RO _y	Zatěžovací stav 1	1	0,00	0,00	0,52	-	0,00	0,00
Max.RO _z	Zatěžovací stav 1	1	0,00	0,00	0,52	-	0,00	0,00

Záporné extrémy:

Max. reakce	Zatěžovací stav	Styčník	R _x [kN]	R _y [kN]	R _z [kN]	RO _x [kNm]	RO _y [kNm]	RO _z [kNm]
Min.R _x	Zatěžovací stav 1	1	0,00	0,00	0,52	-	0,00	0,00
Min.R _y	Zatěžovací stav 1	1	0,00	0,00	0,52	-	0,00	0,00
Min.R _z	Zatěžovací stav 1	11	0,00	-	0,52	-	0,00	0,00
Min.RO _y	Zatěžovací stav 1	1	0,00	0,00	0,52	-	0,00	0,00
Min.RO _z	Zatěžovací stav 1	1	0,00	0,00	0,52	-	0,00	0,00

Extrémy po styčnicích:

Max. reakce	Zatěžovací stav	R _x [kN]	R _y [kN]	R _z [kN]	RO _x [kNm]	RO _y [kNm]	RO _z [kNm]
Styčník č.1 - abs. X: 0,000 m Y: 0,000 m Z: 0,000 m							
Max.R _x ,RO _y ,RO _z	Zatěžovací stav 1	0,00	0,00	0,52	-	0,00	0,00
Max.R _y ,R _z	Zatěžovací stav 2	0,00	0,00	9,42	-	0,00	0,00
Min.R _x ,R _y ,R _z ,RO _y ,RO _z	Zatěžovací stav 1	0,00	0,00	0,52	-	0,00	0,00
Styčník č.11 - abs. X: 0,000 m Y: 10,000 m Z: 0,000 m							
Max.R _x ,RO _y ,RO _z	Zatěžovací stav 1	0,00	-	0,52	-	0,00	0,00
Max.R _z	Zatěžovací stav 2	0,00	-	9,03	-	0,00	0,00
Min.R _x ,R _z ,RO _y ,RO _z	Zatěžovací stav 1	0,00	-	0,52	-	0,00	0,00

3.4.4 Součty reakcí ve směrech globálních os

Zatěžovací stav	Ve směru osy X [kN]	Ve směru osy Y [kN]	Ve směru osy Z [kN]
Zatěžovací stav 1	0,00	0,00	1,05
Zatěžovací stav 2	0,00	0,00	18,45
Zatěžovací stav 3	0,00	0,00	9,92
Zatěžovací stav 4	0,00	0,00	4,96

3.5 Reakce pro kombinace I.řádu, MSÚ

3.5.1 Reakce po styčnicích

Kombinace 1. řád, pro posouzení mezního stavu únosnosti (MSÚ)

Kombinace I.řád, MSÚ		Reakce					
č.	Název	R _x [kN]	R _y [kN]	R _z [kN]	RO _x [kNm]	RO _y [kNm]	RO _z [kNm]
Styčník č.1 - abs. X: 0,000 m Y: 0,000 m Z: 0,000 m							
1	Q3:G1+G2	0,00	0,00	16,39	-	0,00	0,00
2	Q4:G1+G2	0,00	0,00	14,53	-	0,00	0,00
Styčník č.11 - abs. X: 0,000 m Y: 10,000 m Z: 0,000 m							
1	Q3:G1+G2	0,00	-	16,04	-	0,00	0,00
2	Q4:G1+G2	0,00	-	10,46	-	0,00	0,00

3.5.2 Reakce po kombinacích

Kombinace 1. řád, pro posouzení mezního stavu únosnosti (MSÚ)

Styčník		Reakce					
č.	Popis styčnicku	R _x [kN]	R _y [kN]	R _z [kN]	RO _x [kNm]	RO _y [kNm]	RO _z [kNm]
Kombinace č.1 - Q3:G1+G2							
1	abs. X: 0,000 m Y: 0,000 m Z: 0,000 m	0,00	0,00	16,39	-	0,00	0,00
11	abs. X: 0,000 m Y: 10,000 m Z: 0,000 m	0,00	-	16,04	-	0,00	0,00
Kombinace č.2 - Q4:G1+G2							
1	abs. X: 0,000 m Y: 0,000 m Z: 0,000 m	0,00	0,00	14,53	-	0,00	0,00
11	abs. X: 0,000 m Y: 10,000 m Z: 0,000 m	0,00	-	10,46	-	0,00	0,00

3.5.3 Extrémy reakcí

Kombinace 1. řád, pro posouzení mezního stavu únosnosti (MSÚ)

Kladné extrémy:

Max. reakce	Kombinace	Styčník	R _x [kN]	R _y [kN]	R _z [kN]	RO _x [kNm]	RO _y [kNm]	RO _z [kNm]
Max.R _x	Kombinace 1	1	0,00	0,00	16,39	-	0,00	0,00
Max.R _y	Kombinace 1	1	0,00	0,00	16,39	-	0,00	0,00
Max.R _z	Kombinace 1	1	0,00	0,00	16,39	-	0,00	0,00
Max.RO _y	Kombinace 1	1	0,00	0,00	16,39	-	0,00	0,00
Max.RO _z	Kombinace 1	1	0,00	0,00	16,39	-	0,00	0,00

Záporné extrémy:

Max. reakce	Kombinace	Styčník	R _x [kN]	R _y [kN]	R _z [kN]	RO _x [kNm]	RO _y [kNm]	RO _z [kNm]
Min.R _x	Kombinace 1	1	0,00	0,00	16,39	-	0,00	0,00
Min.R _y	Kombinace 2	1	0,00	0,00	14,53	-	0,00	0,00
Min.R _z	Kombinace 2	11	0,00	-	10,46	-	0,00	0,00
Min.RO _y	Kombinace 1	1	0,00	0,00	16,39	-	0,00	0,00

Max. reakce	Kombinace	Styčník	R _x [kN]	R _y [kN]	R _z [kN]	RO _x [kNm]	RO _y [kNm]	RO _z [kNm]
Min.RO _z	Kombinace 1	1	0,00	0,00	16,39	-	0,00	0,00

Extrémy po styčnicích:

Max. reakce	Kombinace	R _x [kN]	R _y [kN]	R _z [kN]	RO _x [kNm]	RO _y [kNm]	RO _z [kNm]
Styčník č.1 - abs. X: 0,000 m Y: 0,000 m Z: 0,000 m							
Max.R _x ,R _y ,R _z ,RO _y ,RO _z	Kombinace 1	0,00	0,00	16,39	-	0,00	0,00
Min.R _x ,RO _y ,RO _z	Kombinace 1	0,00	0,00	16,39	-	0,00	0,00
Min.R _y ,R _z	Kombinace 2	0,00	0,00	14,53	-	0,00	0,00
Styčník č.11 - abs. X: 0,000 m Y: 10,000 m Z: 0,000 m							
Max.R _x ,R _z ,RO _y ,RO _z	Kombinace 1	0,00	-	16,04	-	0,00	0,00
Min.R _x ,RO _y ,RO _z	Kombinace 1	0,00	-	16,04	-	0,00	0,00
Min.R _z	Kombinace 2	0,00	-	10,46	-	0,00	0,00

3.5.4 Součty reakcí ve směrech globálních os

Kombinace 1. řád, pro posouzení mezního stavu únosnosti (MSÚ)

Kombinace	Ve směru osy X [kN]	Ve směru osy Y [kN]	Ve směru osy Z [kN]
Kombinace č.1	0,00	0,00	32,43
Kombinace č.2	0,00	0,00	24,99

3.6 Reakce pro kombinace I.řádu, MSP

3.6.1 Reakce po styčnicích

Kombinace 1. řád, pro posouzení mezního stavu použitelnosti (MSP)

Kombinace I.řád, MSP		Reakce					
č.	Název	R _x [kN]	R _y [kN]	R _z [kN]	RO _x [kNm]	RO _y [kNm]	RO _z [kNm]
Styčník č.1 - abs. X: 0,000 m Y: 0,000 m Z: 0,000 m							
1	Q3:G1+G2	0,00	0,00	14,91	-	0,00	0,00
2	Q4:G1+G2	0,00	0,00	13,67	-	0,00	0,00
Styčník č.11 - abs. X: 0,000 m Y: 10,000 m Z: 0,000 m							
1	Q3:G1+G2	0,00	-	14,51	-	0,00	0,00
2	Q4:G1+G2	0,00	-	10,80	-	0,00	0,00

3.6.2 Reakce po kombinacích

Kombinace 1. řád, pro posouzení mezního stavu použitelnosti (MSP)

Styčník		Reakce					
č.	Popis styčnicku	R _x [kN]	R _y [kN]	R _z [kN]	RO _x [kNm]	RO _y [kNm]	RO _z [kNm]
Kombinace č.1 - Q3:G1+G2							
1	abs. X: 0,000 m Y: 0,000 m Z: 0,000 m	0,00	0,00	14,91	-	0,00	0,00
11	abs. X: 0,000 m Y: 10,000 m Z: 0,000 m	0,00	-	14,51	-	0,00	0,00
Kombinace č.2 - Q4:G1+G2							
1	abs. X: 0,000 m Y: 0,000 m Z: 0,000 m	0,00	0,00	13,67	-	0,00	0,00
11	abs. X: 0,000 m Y: 10,000 m Z: 0,000 m	0,00	-	10,80	-	0,00	0,00

3.6.3 Extrémy reakcí

Kombinace 1. řád, pro posouzení mezního stavu použitelnosti (MSP)

Kladné extrémy:

Max. reakce	Kombinace	Styčnick	R _x [kN]	R _y [kN]	R _z [kN]	RO _x [kNm]	RO _y [kNm]	RO _z [kNm]
Max.R _x	Kombinace 1	1	0,00	0,00	14,91	-	0,00	0,00
Max.R _y	Kombinace 1	1	0,00	0,00	14,91	-	0,00	0,00
Max.R _z	Kombinace 1	1	0,00	0,00	14,91	-	0,00	0,00
Max.RO _y	Kombinace 1	1	0,00	0,00	14,91	-	0,00	0,00
Max.RO _z	Kombinace 1	1	0,00	0,00	14,91	-	0,00	0,00

Záporné extrémy:

Max. reakce	Kombinace	Styčnick	R _x [kN]	R _y [kN]	R _z [kN]	RO _x [kNm]	RO _y [kNm]	RO _z [kNm]
Min.R _x	Kombinace 1	1	0,00	0,00	14,91	-	0,00	0,00
Min.R _y	Kombinace 2	1	0,00	0,00	13,67	-	0,00	0,00
Min.R _z	Kombinace 2	11	0,00	-	10,80	-	0,00	0,00
Min.RO _y	Kombinace 1	1	0,00	0,00	14,91	-	0,00	0,00
Min.RO _z	Kombinace 1	1	0,00	0,00	14,91	-	0,00	0,00

Extrémy po styčnicích:

Max. reakce	Kombinace	R _x [kN]	R _y [kN]	R _z [kN]	RO _x [kNm]	RO _y [kNm]	RO _z [kNm]
Styčnick č.1 - abs. X: 0,000 m Y: 0,000 m Z: 0,000 m							
Max.R _x ,R _y ,R _z ,RO _y ,RO _z	Kombinace 1	0,00	0,00	14,91	-	0,00	0,00
Min.R _x ,RO _y ,RO _z	Kombinace 1	0,00	0,00	14,91	-	0,00	0,00
Min.R _y ,R _z	Kombinace 2	0,00	0,00	13,67	-	0,00	0,00
Styčnick č.11 - abs. X: 0,000 m Y: 10,000 m Z: 0,000 m							
Max.R _x ,R _z ,RO _y ,RO _z	Kombinace 1	0,00	-	14,51	-	0,00	0,00
Min.R _x ,RO _y ,RO _z	Kombinace 1	0,00	-	14,51	-	0,00	0,00
Min.R _z	Kombinace 2	0,00	-	10,80	-	0,00	0,00

3.6.4 Součty reakcí ve směrech globálních os

Kombinace 1. řád, pro posouzení mezního stavu použitelnosti (MSP)

Kombinace	Ve směru osy X [kN]	Ve směru osy Y [kN]	Ve směru osy Z [kN]
Kombinace č.1	0,00	0,00	29,42
Kombinace č.2	0,00	0,00	24,46

Projekt

Akce : Typický sbíjený vazník z prvků 40_160

Datum : 24.02.2024

Norma

Norma **EN 1995-1-1/Česko**.

Rostlé dřevo, základní kombinace zatížení	: Y _M = 1,3
Lepené lamelové dřevo, základní kombinace zatížení	: Y _M = 1,25
LVL, základní kombinace zatížení	: Y _M = 1,2
Překližka, základní kombinace zatížení	: Y _M = 1,2
OSB desky, základní kombinace zatížení	: Y _M = 1,2
Třískové desky, základní kombinace zatížení	: Y _M = 1,3
Vláknité desky, základní kombinace zatížení	: Y _M = 1,3
Mimořádná kombinace zatížení	: Y _M = 1,0

1 1:DD

1.1 Vstupní data

Délka dílce: 1,000 m

Třída provozu: 2

Průřez

Úsek č.	Začátek [m]	Konec [m]	Průřez	Natočení [°]
1	0,000	1,000	obdélník 40x180	0,0

Materiál

Název: C24 - jehličnaté

Druh dřeva: rostlé

Při výpočtu je zohledněn součinitel k_h pro zvětšení pevnosti dřeva v tahu a ohybu.

Vnitřní síly

Celkový počet zatěžovacích případů: 3

Kombinace č.1 - Q3:G1+G2:

	N[kN]	V ₃ [kN]	M ₂ [kNm]	V ₂ [kN]	M ₃ [kNm]
Max. hodnota	39,538	-1,157	1,535	0,000	0,000
Min. hodnota	39,538	-1,766	0,074	0,000	0,000

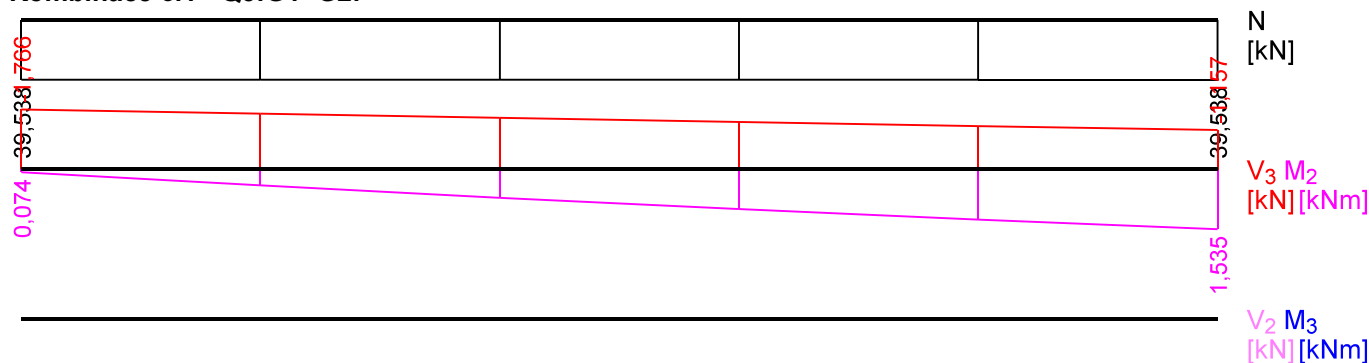
Kombinace č.2 - Q4:G1+G2:

	N[kN]	V ₃ [kN]	M ₂ [kNm]	V ₂ [kN]	M ₃ [kNm]
Max. hodnota	34,687	-0,955	1,335	0,000	0,000
Min. hodnota	34,687	-1,564	0,075	0,000	0,000

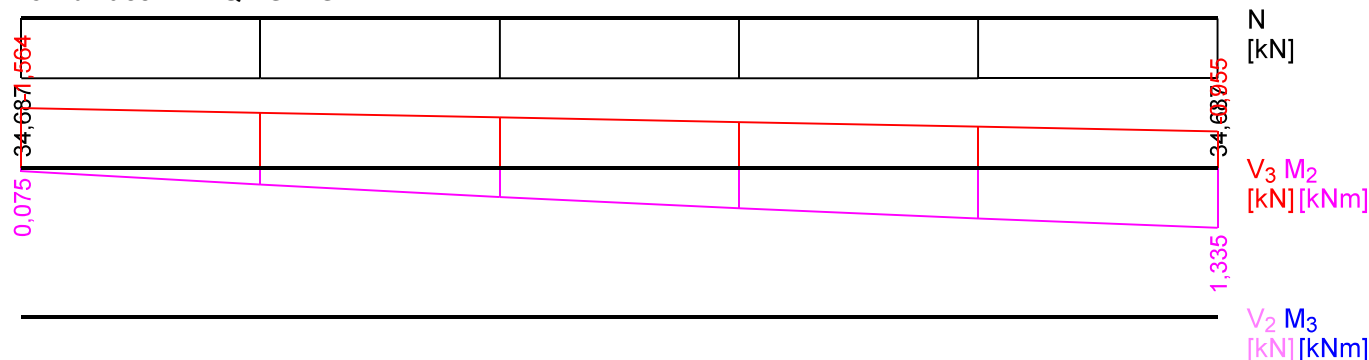
Kombinace č.3 - G1+G2:

	N[kN]	V ₃ [kN]	M ₂ [kNm]	V ₂ [kN]	M ₃ [kNm]
Max. hodnota	24,055	-0,557	0,911	0,000	0,000
Min. hodnota	24,055	-1,234	0,016	0,000	0,000

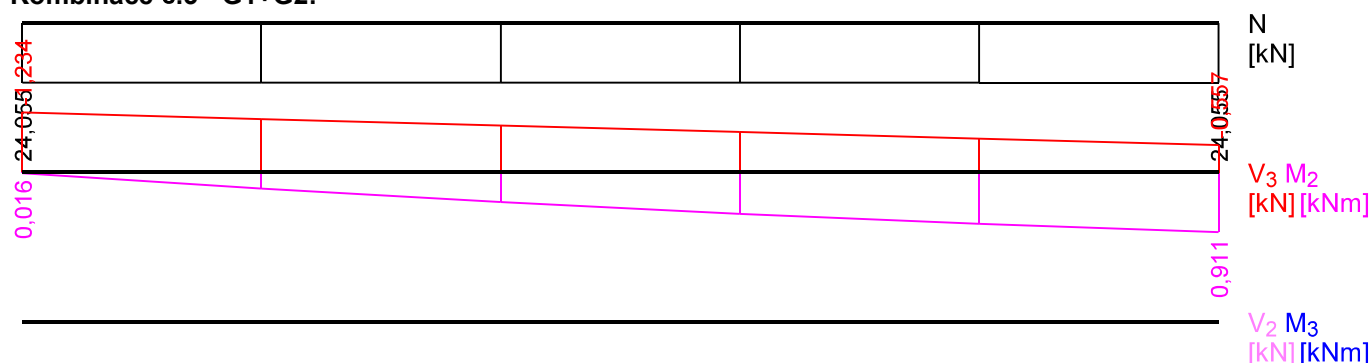
Kombinace č.1 - Q3:G1+G2:



Kombinace č.2 - Q4:G1+G2:



Kombinace č.3 - G1+G2:



1.2 Výsledky

Celkové posouzení

Rozhodující zatěžovací případ: Kombinace č.1 - Q3:G1+G2

Vnitřní síly: $N = 39,538 \text{ kN}$; $M_y = 1,535 \text{ kNm}$; $M_z = 0,000 \text{ kNm}$; $V_z = -1,157 \text{ kN}$; $V_y = 0,000 \text{ kN}$

Posudek kombinace tahu a ohybu:

Únosnosti: $N_R = 69,785 \text{ kN}$; $M_{y,R} = 3,589 \text{ kNm}$

$0,567 + 0,428 + 0,0 = 0,994 < 1$ **Vyhovuje**

Posudek smyku od posouvajících sil:

Únosnost: $V_R = 8,906 \text{ kN}$

$0,13 < 1$ **Vyhovuje**

Štíhlost dílce: 86,6

Průřez vyhovuje

2 2:DD

2.1 Vstupní data

Délka dílce: 1,000 m

Třída provozu: 2

Průřez

Úsek č.	Začátek [m]	Konec [m]	Průřez	Natočení [°]
1	0,000	1,000	obdélník 40x160	0,0

Materiál

Název: C24 - jehličnaté

Druh dřeva: rostlé

Při výpočtu je zohledněn součinitel k_h pro zvětšení pevnosti dřeva v tahu a ohybu.

Vnitřní síly

Celkový počet zatěžovacích případů: 3

Kombinace č.1 - Q3:G1+G2:

	N[kN]	V ₃ [kN]	M ₂ [kNm]	V ₂ [kN]	M ₃ [kNm]
Max. hodnota	42,250	-0,496	0,905	0,000	0,000
Min. hodnota	42,250	-1,106	0,104	0,000	0,000

Kombinace č.2 - Q4:G1+G2:

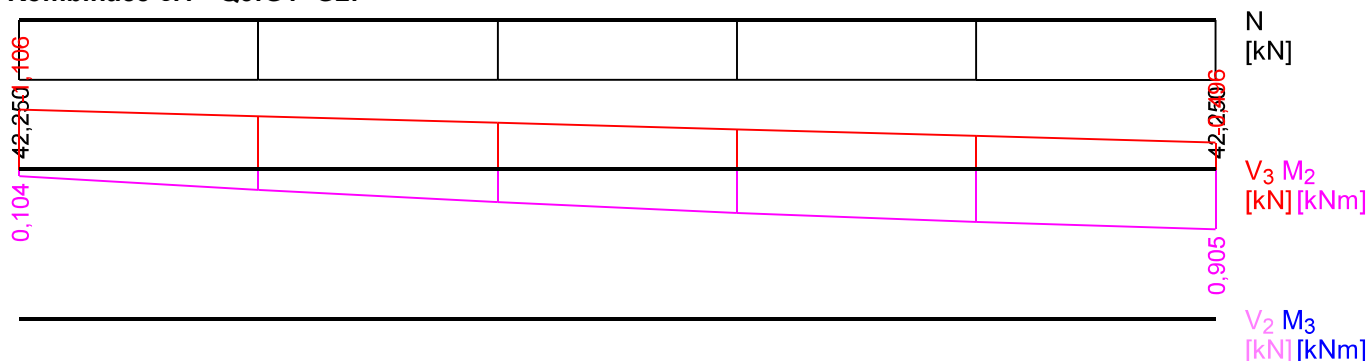
	N[kN]	V ₃ [kN]	M ₂ [kNm]	V ₂ [kN]	M ₃ [kNm]
Max. hodnota	36,923	-0,427	0,803	0,000	0,000

	N[kN]	V ₃ [kN]	M ₂ [kNm]	V ₂ [kN]	M ₃ [kNm]
Min. hodnota	36,923	-1,036	0,071	0,000	0,000

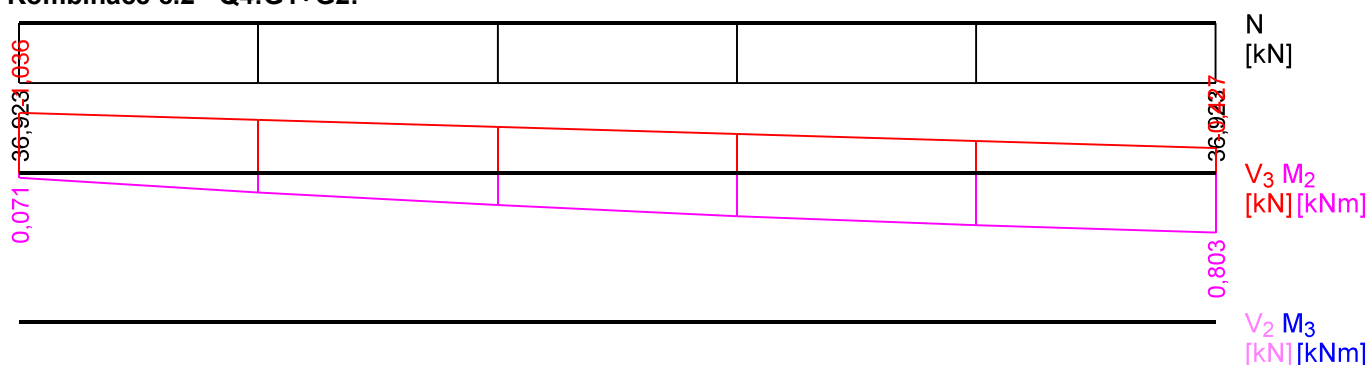
Kombinace č.3 - G1+G2:

	N[kN]	V ₃ [kN]	M ₂ [kNm]	V ₂ [kN]	M ₃ [kNm]
Max. hodnota	25,729	-0,148	0,525	0,000	0,000
Min. hodnota	25,729	-0,825	0,038	0,000	0,000

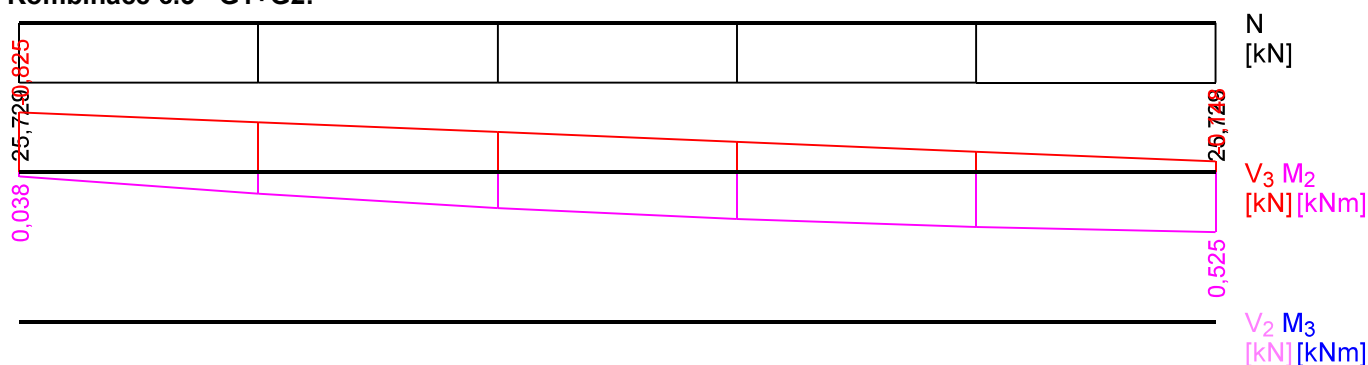
Kombinace č.1 - Q3:G1+G2:



Kombinace č.2 - Q4:G1+G2:



Kombinace č.3 - G1+G2:



2.2 Výsledky

Celkové posouzení

Rozhodující zatěžovací případ: Kombinace č.1 - Q3:G1+G2

Vnitřní síly: $N = 42,250$ kN; $M_y = 0,905$ kNm; $M_z = 0,000$ kNm; $V_z = -0,496$ kN; $V_y = 0,000$ kN

Posudek kombinace tahu a ohybu:

Únosnosti: $N_R = 62,031$ kN; $M_{y,R} = 2,836$ kNm

$0,681 + 0,319 + 0,0 = 1,0 > 1$ **Nevyhovuje**

Posudek smyku od posouvajících sil:

Únosnost: $V_R = 7,916 \text{ kN}$
 $0,063 < 1$ **Vyhovuje**

Štíhlost dílce: 86,6

Průřez vyhovuje

3 3:DD

3.1 Vstupní data

Délka dílce: 1,000 m

Třída provozu: 2

Průřez

Úsek č.	Začátek [m]	Konec [m]	Průřez	Natočení [°]
1	0,000	1,000	obdélník 40x160	0,0

Materiál

Název: C24 - jehličnaté

Druh dřeva: rostlé

Při výpočtu je zohledněn součinitel k_h pro zvětšení pevnosti dřeva v tahu a ohybu.

Vnitřní síly

Celkový počet zatěžovacích případů: 3

Kombinace č.1 - Q3:G1+G2:

	N[kN]	V ₃ [kN]	M ₂ [kNm]	V ₂ [kN]	M ₃ [kNm]
Max. hodnota	38,639	0,734	0,431	0,000	0,000
Min. hodnota	38,639	0,125	0,001	0,000	0,000

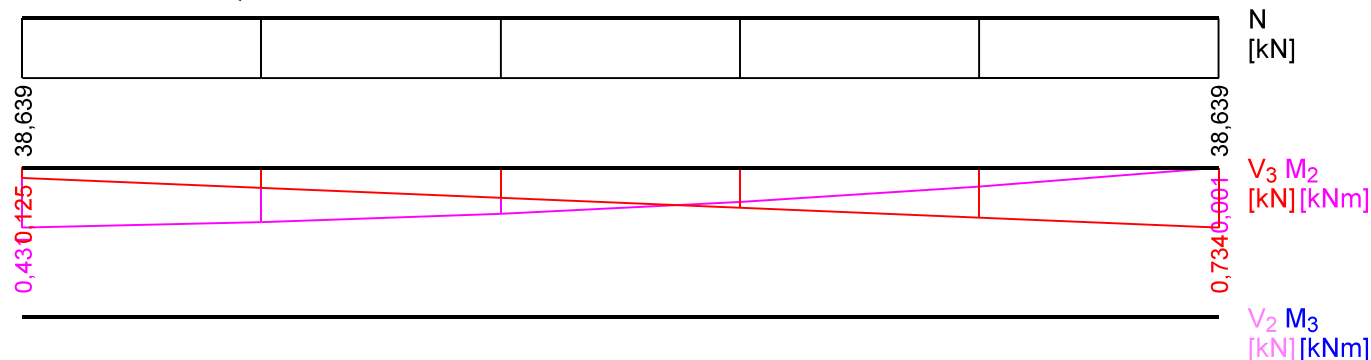
Kombinace č.2 - Q4:G1+G2:

	N[kN]	V ₃ [kN]	M ₂ [kNm]	V ₂ [kN]	M ₃ [kNm]
Max. hodnota	32,500	0,701	0,377	0,000	0,000
Min. hodnota	32,500	0,092	-0,020	0,000	0,000

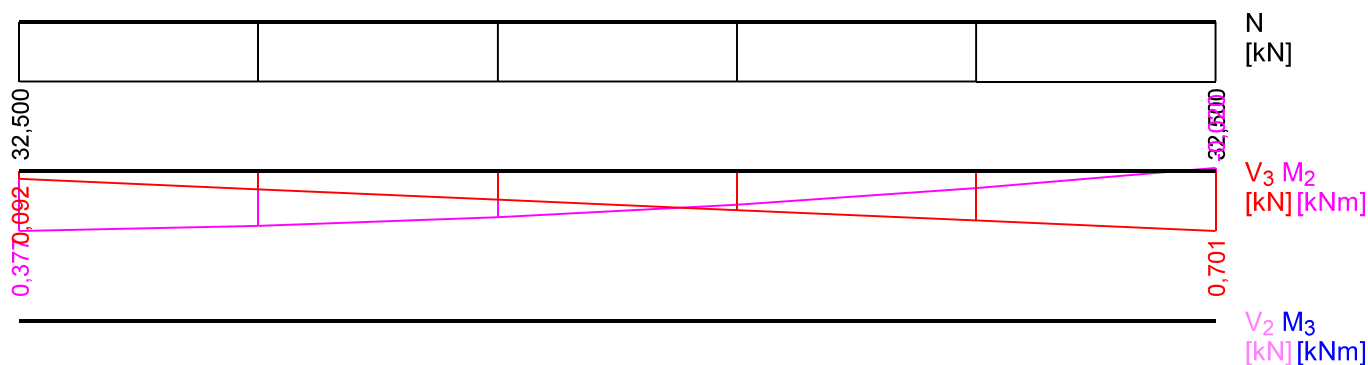
Kombinace č.3 - G1+G2:

	N[kN]	V ₃ [kN]	M ₂ [kNm]	V ₂ [kN]	M ₃ [kNm]
Max. hodnota	23,550	0,596	0,238	0,000	0,000
Min. hodnota	23,550	-0,081	-0,022	0,000	0,000

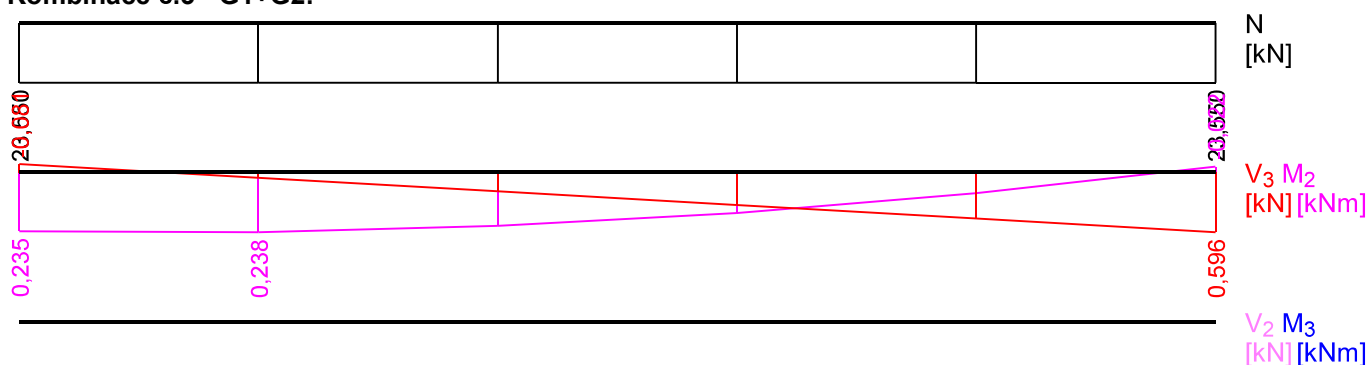
Kombinace č.1 - Q3:G1+G2:



Kombinace č.2 - Q4:G1+G2:



Kombinace č.3 - G1+G2:



3.2 Výsledky

Celkové posouzení

Rozhodující zatěžovací případ: Kombinace č.1 - Q3:G1+G2

Vnitřní síly: $N = 38,639 \text{ kN}$; $M_y = 0,431 \text{ kNm}$; $M_z = 0,000 \text{ kNm}$; $V_z = 0,125 \text{ kN}$; $V_y = 0,000 \text{ kN}$

Posudek kombinace tahu a ohybu:

Únosnosti: $N_R = 62,031 \text{ kN}$; $M_{y,R} = 2,836 \text{ kNm}$

$0,623 + 0,152 + 0,0 = 0,775 < 1$ **Vyhovuje**

Posudek smyku od posouvajících sil:

Únosnost: $V_R = 7,916 \text{ kN}$

$0,016 < 1$ **Vyhovuje**

Štíhlost dílce: 86,6

Průřez vyhovuje

4 4:DD

4.1 Vstupní data

Délka dílce: 1,000 m

Třída provozu: 2

Průřez

Úsek č.	Začátek [m]	Konec [m]	Průřez	Natočení [°]
1	0,000	1,000	obdélník 40x160	0,0

Materiál

Název: C24 - jehličnaté

Druh dřeva: rostlé

Při výpočtu je zohledněn součinitel k_h pro zvětšení pevnosti dřeva v tahu a ohybu.

Vnitřní síly

Celkový počet zatěžovacích případů: 3

Kombinace č.1 - Q3:G1+G2:

	N[kN]	V ₃ [kN]	M ₂ [kNm]	V ₂ [kN]	M ₃ [kNm]
Max. hodnota	38,157	0,132	0,216	0,000	0,000
Min. hodnota	38,157	-0,477	0,029	0,000	0,000

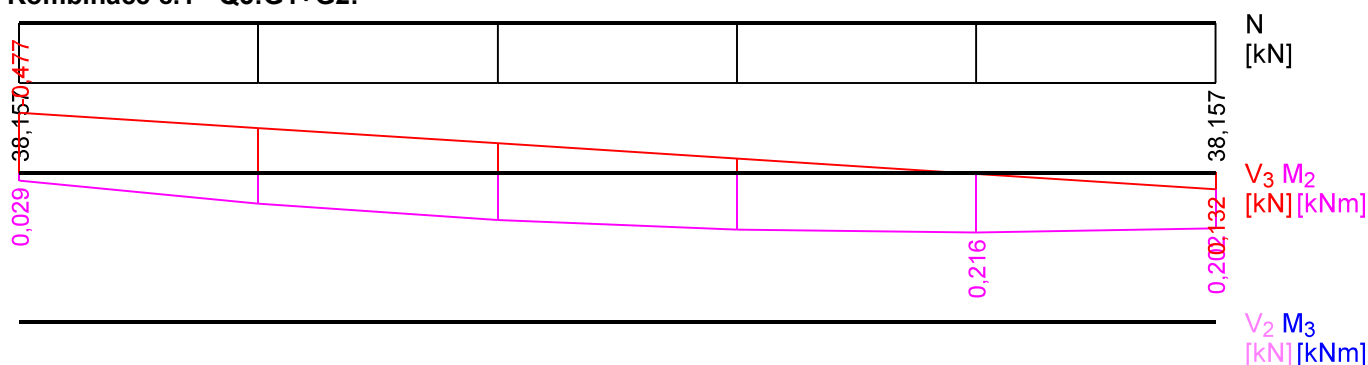
Kombinace č.2 - Q4:G1+G2:

	N[kN]	V ₃ [kN]	M ₂ [kNm]	V ₂ [kN]	M ₃ [kNm]
Max. hodnota	32,042	0,135	0,187	0,000	0,000
Min. hodnota	32,042	-0,474	0,003	0,000	0,000

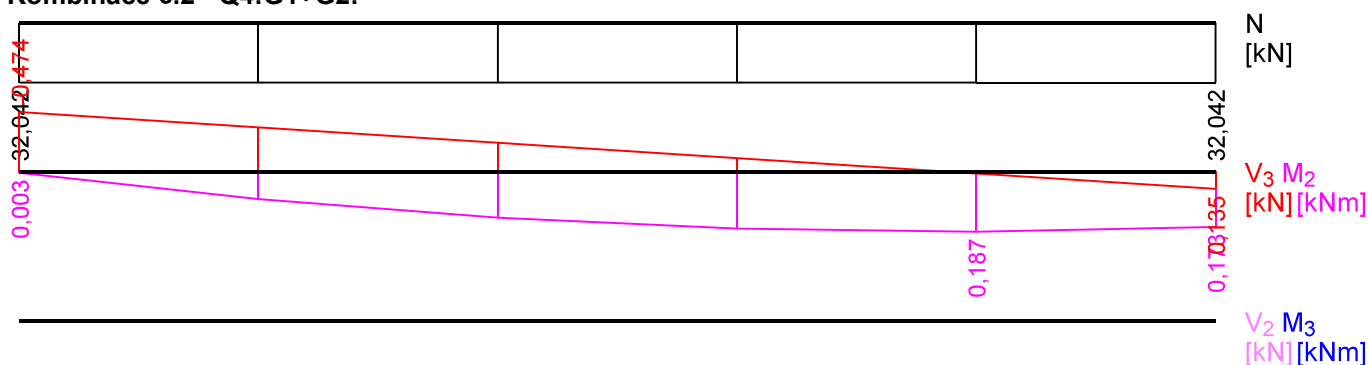
Kombinace č.3 - G1+G2:

	N[kN]	V ₃ [kN]	M ₂ [kNm]	V ₂ [kN]	M ₃ [kNm]
Max. hodnota	23,254	0,226	0,137	0,000	0,000
Min. hodnota	23,254	-0,451	-0,011	0,000	0,000

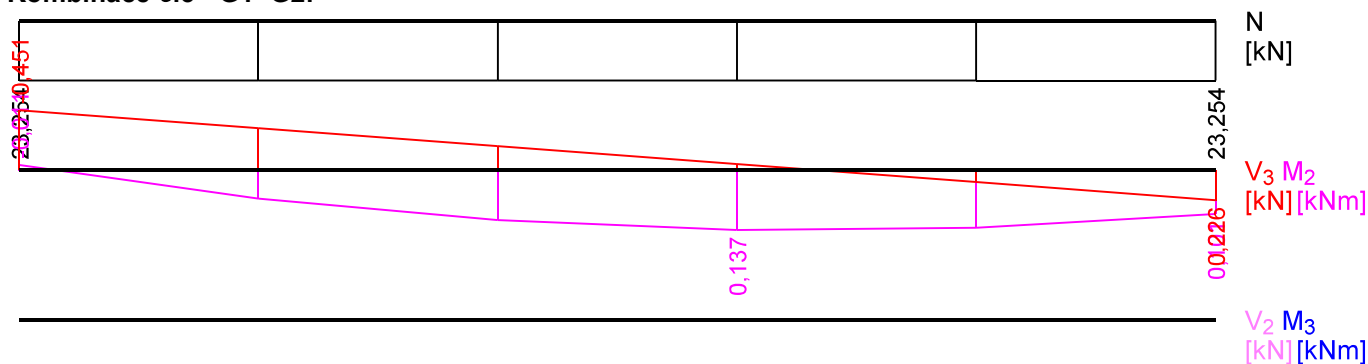
Kombinace č.1 - Q3:G1+G2:



Kombinace č.2 - Q4:G1+G2:



Kombinace č.3 - G1+G2:



4.2 Výsledky

Celkové posouzení

Rozhodující zatěžovací případ: Kombinace č.1 - Q3:G1+G2

Vnitřní síly: $N = 38,157 \text{ kN}$; $M_y = 0,216 \text{ kNm}$; $M_z = 0,000 \text{ kNm}$; $V_z = 0,010 \text{ kN}$; $V_y = 0,000 \text{ kN}$

Posudek kombinace tahu a ohybu:

Únosnosti: $N_R = 62,031 \text{ kN}$; $M_{y,R} = 2,836 \text{ kNm}$

$0,615 + 0,076 + 0,0 = 0,691 < 1$ **Vyhovuje**

Posudek smyku od posouvajících sil:

Únosnost: $V_R = 7,916 \text{ kN}$

$0,001 < 1$ **Vyhovuje**

Štíhlost dílce: 86,6

Průřez vyhovuje

5 5:DD

5.1 Vstupní data

Délka dílce: 1,000 m

Třída provozu: 2

Průřez

Úsek č.	Začátek [m]	Konec [m]	Průřez	Natočení [°]
1	0,000	1,000	obdélník 40x160	0,0

Materiál

Název: C24 - jehličnaté

Druh dřeva: rostlé

Při výpočtu je zohledněn součinitel k_h pro zvětšení pevnosti dřeva v tahu a ohybu.

Vnitřní síly

Celkový počet zatěžovacích případů: 3

Kombinace č.1 - Q3:G1+G2:

	$N[\text{kN}]$	$V_3[\text{kN}]$	$M_2[\text{kNm}]$	$V_2[\text{kN}]$	$M_3[\text{kNm}]$
Max. hodnota	27,785	0,767	0,269	0,000	0,000
Min. hodnota	27,785	0,157	-0,193	0,000	0,000

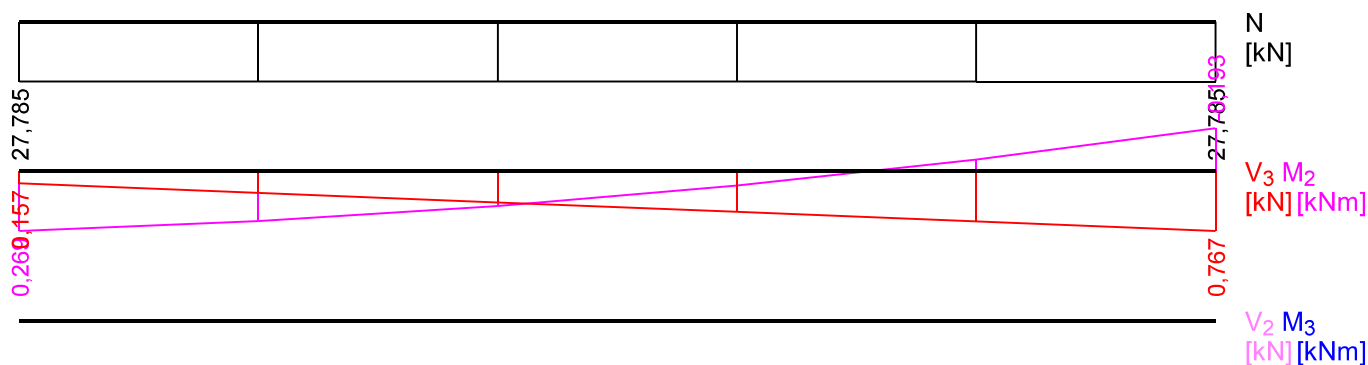
Kombinace č.2 - Q4:G1+G2:

	$N[\text{kN}]$	$V_3[\text{kN}]$	$M_2[\text{kNm}]$	$V_2[\text{kN}]$	$M_3[\text{kNm}]$
Max. hodnota	21,517	0,725	0,237	0,000	0,000
Min. hodnota	21,517	0,116	-0,183	0,000	0,000

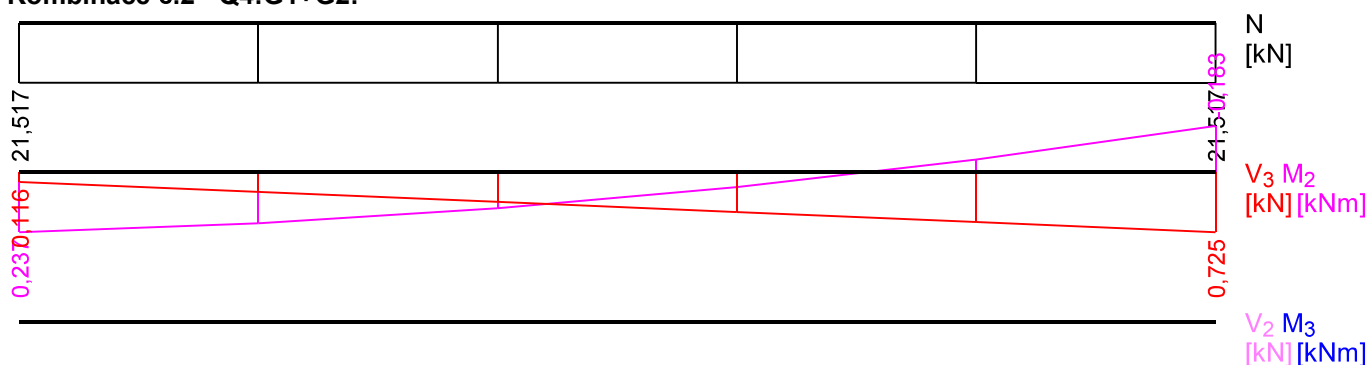
Kombinace č.3 - G1+G2:

	$N[\text{kN}]$	$V_3[\text{kN}]$	$M_2[\text{kNm}]$	$V_2[\text{kN}]$	$M_3[\text{kNm}]$
Max. hodnota	16,863	0,613	0,135	0,000	0,000
Min. hodnota	16,863	-0,064	-0,139	0,000	0,000

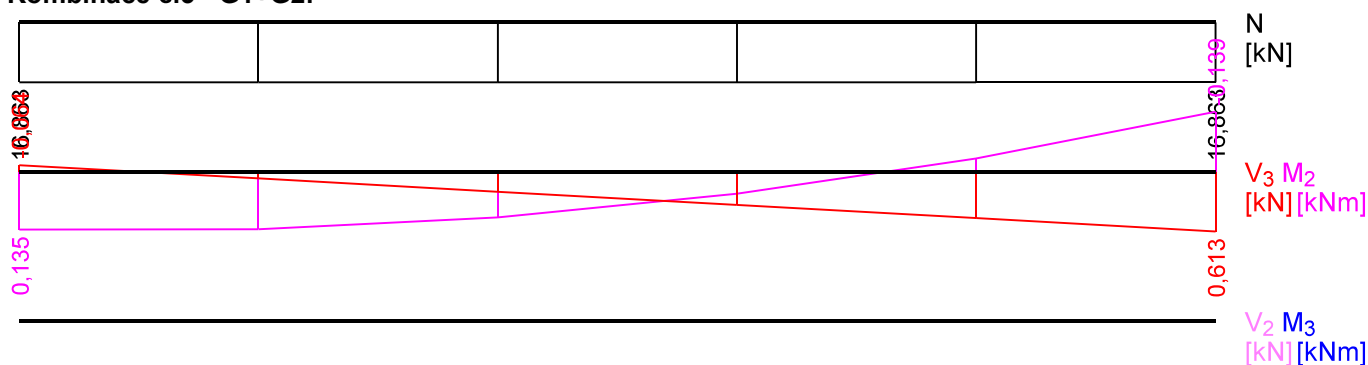
Kombinace č.1 - Q3:G1+G2:



Kombinace č.2 - Q4:G1+G2:



Kombinace č.3 - G1+G2:



5.2 Výsledky

Celkové posouzení

Rozhodující zatěžovací případ: Kombinace č.1 - Q3:G1+G2

Vnitřní síly: $N = 27,785 \text{ kN}$; $M_y = 0,269 \text{ kNm}$; $M_z = 0,000 \text{ kNm}$; $V_z = 0,157 \text{ kN}$; $V_y = 0,000 \text{ kN}$

Posudek kombinace tahu a ohybu:

Únosnosti: $N_R = 62,031 \text{ kN}$; $M_{y,R} = 2,836 \text{ kNm}$

$0,448 + 0,095 + 0,0 = 0,543 < 1$ **Vyhovuje**

Posudek smyku od posouvajících sil:

Únosnost: $V_R = 7,916 \text{ kN}$

$0,02 < 1$ **Vyhovuje**

Štíhlost dílce: 86,6

Průřez vyhovuje

6 6:DD

6.1 Vstupní data

Délka dílce: 1,000 m

Třída provozu: 2

Průřez

Úsek č.	Začátek [m]	Konec [m]	Průřez	Natočení [°]
1	0,000	1,000	obdélník 40x160	0,0

Materiál

Název: C24 - jehličnaté

Druh dřeva: rostlé

Při výpočtu je zohledněn součinitel k_h pro zvětšení pevnosti dřeva v tahu a ohybu.

Vnitřní síly

Celkový počet zatěžovacích případů: 3

Kombinace č.1 - Q3:G1+G2:

	N[kN]	V ₃ [kN]	M ₂ [kNm]	V ₂ [kN]	M ₃ [kNm]
Max. hodnota	27,778	0,754	0,261	0,000	0,000
Min. hodnota	27,778	0,145	-0,189	0,000	0,000

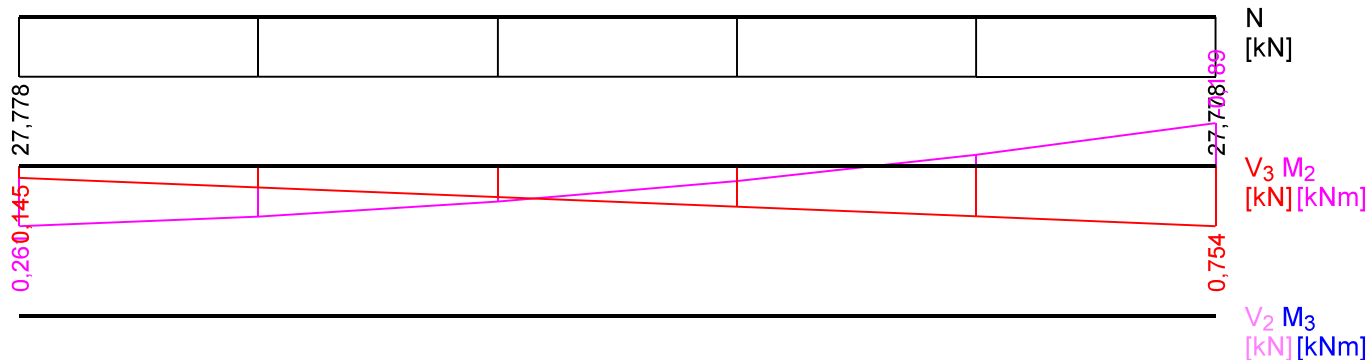
Kombinace č.2 - Q4:G1+G2:

	N[kN]	V ₃ [kN]	M ₂ [kNm]	V ₂ [kN]	M ₃ [kNm]
Max. hodnota	21,438	0,581	0,145	0,000	0,000
Min. hodnota	21,438	-0,028	-0,131	0,000	0,000

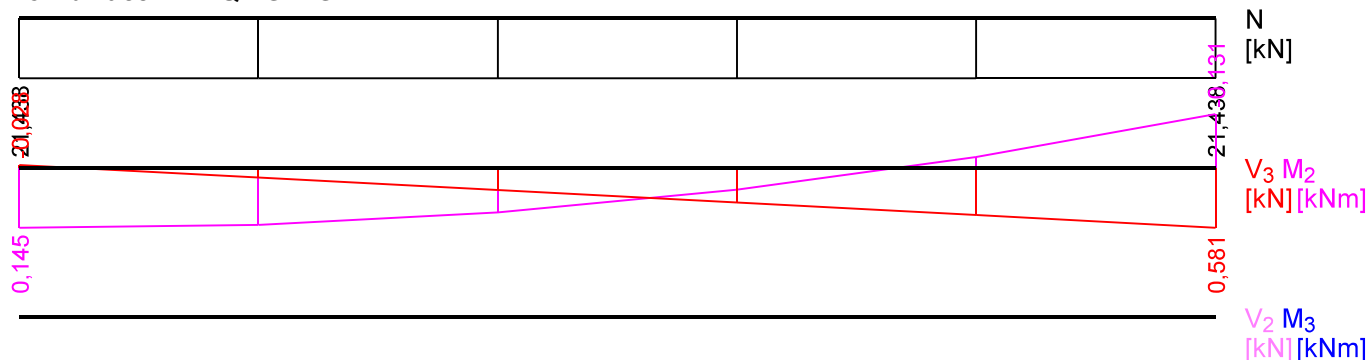
Kombinace č.3 - G1+G2:

	N[kN]	V ₃ [kN]	M ₂ [kNm]	V ₂ [kN]	M ₃ [kNm]
Max. hodnota	16,855	0,599	0,128	0,000	0,000
Min. hodnota	16,855	-0,078	-0,134	0,000	0,000

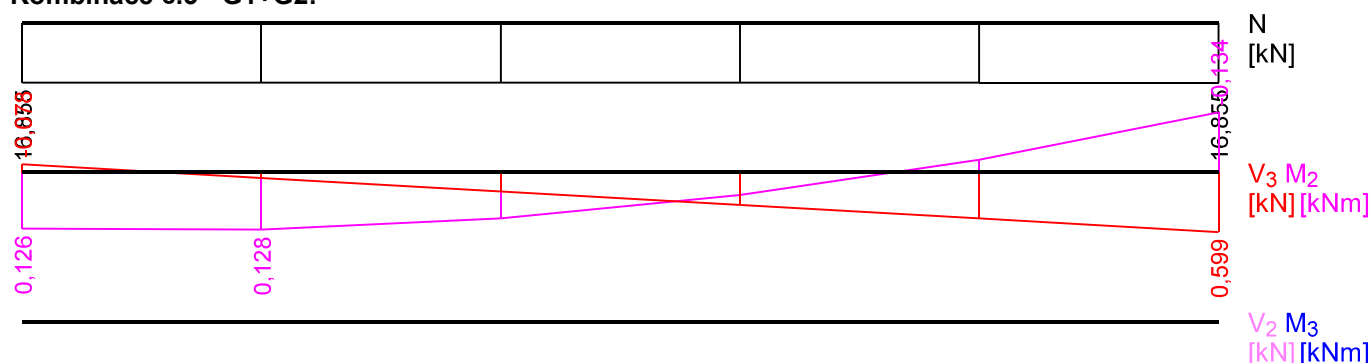
Kombinace č.1 - Q3:G1+G2:



Kombinace č.2 - Q4:G1+G2:



Kombinace č.3 - G1+G2:



6.2 Výsledky

Celkové posouzení

Rozhodující zatěžovací případ: Kombinace č.1 - Q3:G1+G2

Vnitřní síly: $N = 27,778$ kN; $M_y = 0,261$ kNm; $M_z = 0,000$ kNm; $V_z = 0,145$ kN; $V_y = 0,000$ kN

Posudek kombinace tahu a ohybu:

Únosnosti: $N_R = 62,031$ kN; $M_{y,R} = 2,836$ kNm

$0,448 + 0,092 + 0,0 = 0,54 < 1$ **Vyhovuje**

Posudek smyku od posouvajících sil:

Únosnost: $V_R = 7,916$ kN

$0,018 < 1$ **Vyhovuje**

Štíhlost dílce: 86,6

Průřez vyhovuje

7 7:DD

7.1 Vstupní data

Délka dílce: 1,000 m

Třída provozu: 2

Průřez

Úsek č.	Začátek [m]	Konec [m]	Průřez	Natočení [°]
1	0,000	1,000	obdélník 40x160	0,0

Materiál

Název: C24 - jehličnaté

Druh dřeva: rostlé

Při výpočtu je zohledněn součinitel k_h pro zvětšení pevnosti dřeva v tahu a ohybu.

Vnitřní síly

Celkový počet zatěžovacích případů: 3

Kombinace č.1 - Q3:G1+G2:

	N [kN]	V_3 [kN]	M_2 [kNm]	V_2 [kN]	M_3 [kNm]
Max. hodnota	37,684	0,139	0,212	0,000	0,000
Min. hodnota	37,684	-0,471	0,031	0,000	0,000

Kombinace č.2 - Q4:G1+G2:

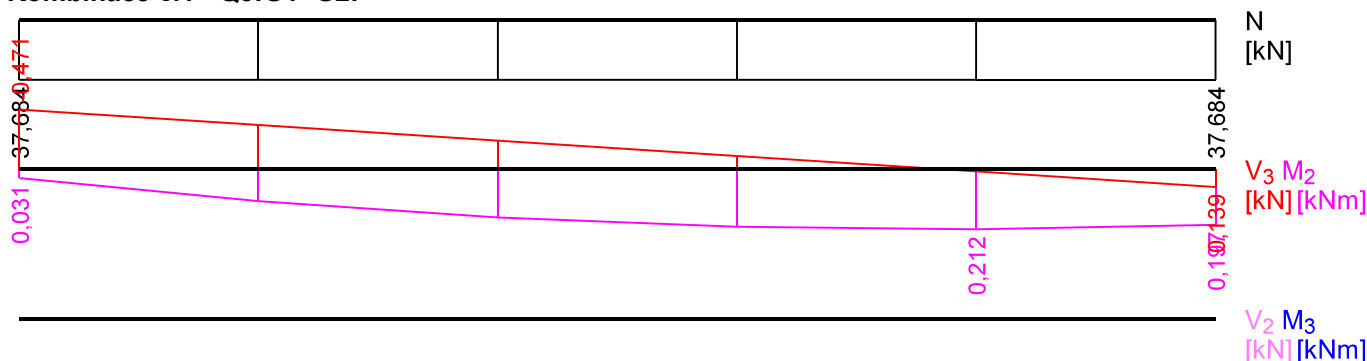
	N [kN]	V_3 [kN]	M_2 [kNm]	V_2 [kN]	M_3 [kNm]
Max. hodnota	26,571	0,207	0,149	0,000	0,000

	N[kN]	V ₃ [kN]	M ₂ [kNm]	V ₂ [kN]	M ₃ [kNm]
Min. hodnota	26,571	-0,402	0,018	0,000	0,000

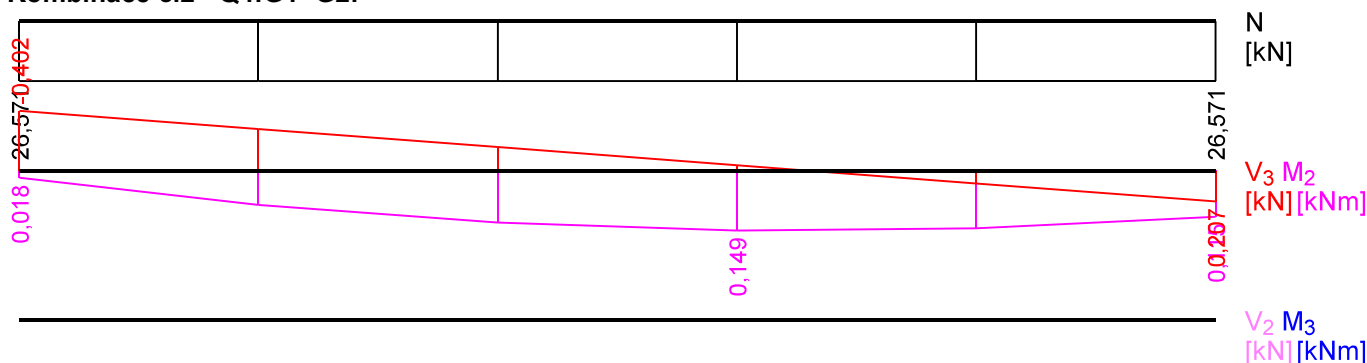
Kombinace č.3 - G1+G2:

	N[kN]	V ₃ [kN]	M ₂ [kNm]	V ₂ [kN]	M ₃ [kNm]
Max. hodnota	22,728	0,233	0,134	0,000	0,000
Min. hodnota	22,728	-0,444	-0,010	0,000	0,000

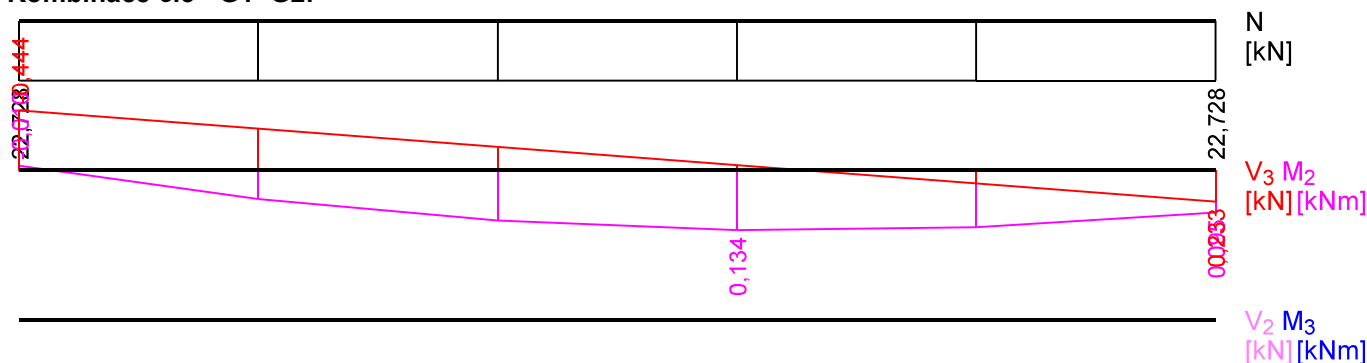
Kombinace č.1 - Q3:G1+G2:



Kombinace č.2 - Q4:G1+G2:



Kombinace č.3 - G1+G2:



7.2 Výsledky

Celkové posouzení

Rozhodující zatěžovací případ: Kombinace č.1 - Q3:G1+G2

Vnitřní síly: $N = 37,684$ kN; $M_y = 0,212$ kNm; $M_z = 0,000$ kNm; $V_z = 0,017$ kN; $V_y = 0,000$ kN

Posudek kombinace tahu a ohybu:

Únosnosti: $N_R = 62,031$ kN; $M_{y,R} = 2,836$ kNm

$0,608 + 0,075 + 0,0 = 0,682 < 1$ **Vyhovuje**

Posudek smyku od posouvajících sil:

Únosnost: $V_R = 7,916 \text{ kN}$
 $0,002 < 1$ **Vyhovuje**

Štíhlost dílce: 86,6

Průřez vyhovuje

8 8:DD

8.1 Vstupní data

Délka dílce: 1,000 m

Třída provozu: 2

Průřez

Úsek č.	Začátek [m]	Konec [m]	Průřez	Natočení [°]
1	0,000	1,000	obdélník 40x160	0,0

Materiál

Název: C24 - jehličnaté

Druh dřeva: rostlé

Při výpočtu je zohledněn součinitel k_h pro zvětšení pevnosti dřeva v tahu a ohybu.

Vnitřní síly

Celkový počet zatěžovacích případů: 3

Kombinace č.1 - Q3:G1+G2:

	N[kN]	V ₃ [kN]	M ₂ [kNm]	V ₂ [kN]	M ₃ [kNm]
Max. hodnota	38,149	0,722	0,420	0,000	0,000
Min. hodnota	38,149	0,112	0,003	0,000	0,000

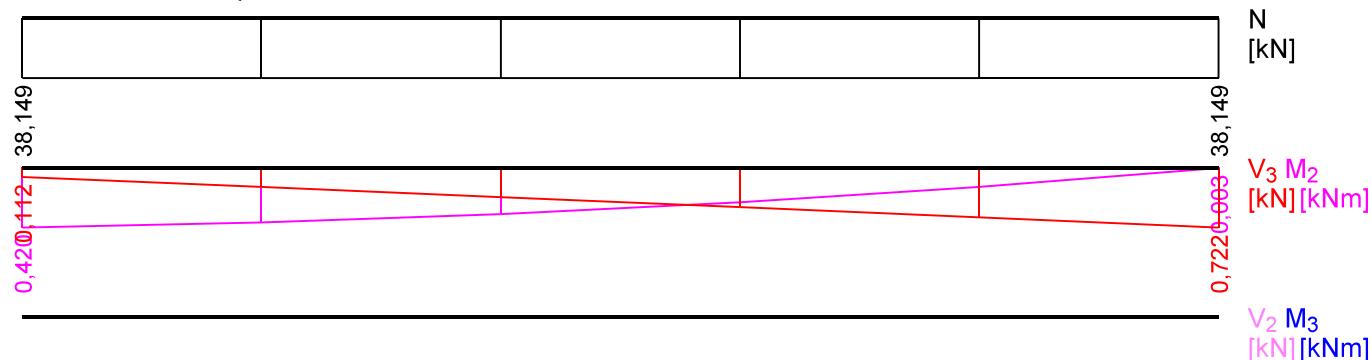
Kombinace č.2 - Q4:G1+G2:

	N[kN]	V ₃ [kN]	M ₂ [kNm]	V ₂ [kN]	M ₃ [kNm]
Max. hodnota	26,844	0,557	0,255	0,000	0,000
Min. hodnota	26,844	-0,052	0,003	0,000	0,000

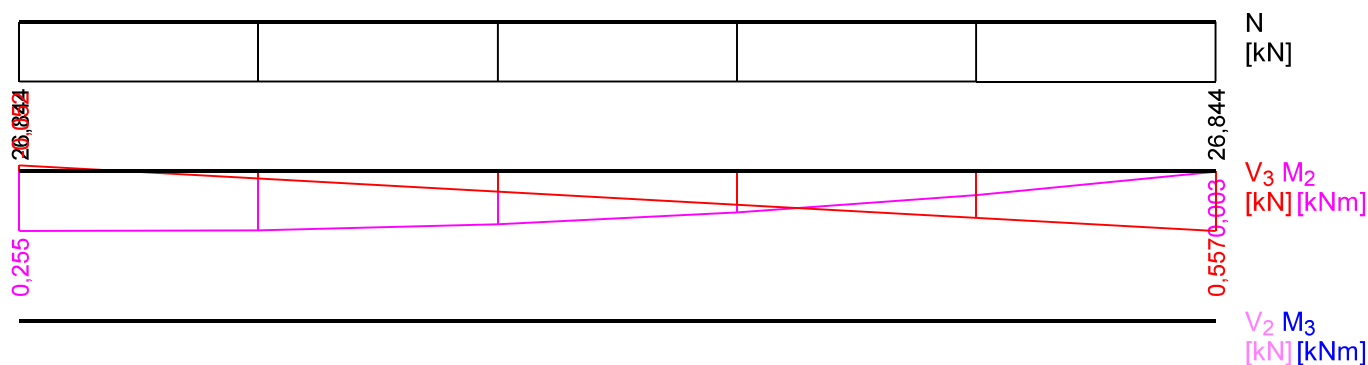
Kombinace č.3 - G1+G2:

	N[kN]	V ₃ [kN]	M ₂ [kNm]	V ₂ [kN]	M ₃ [kNm]
Max. hodnota	23,006	0,582	0,229	0,000	0,000
Min. hodnota	23,006	-0,095	-0,020	0,000	0,000

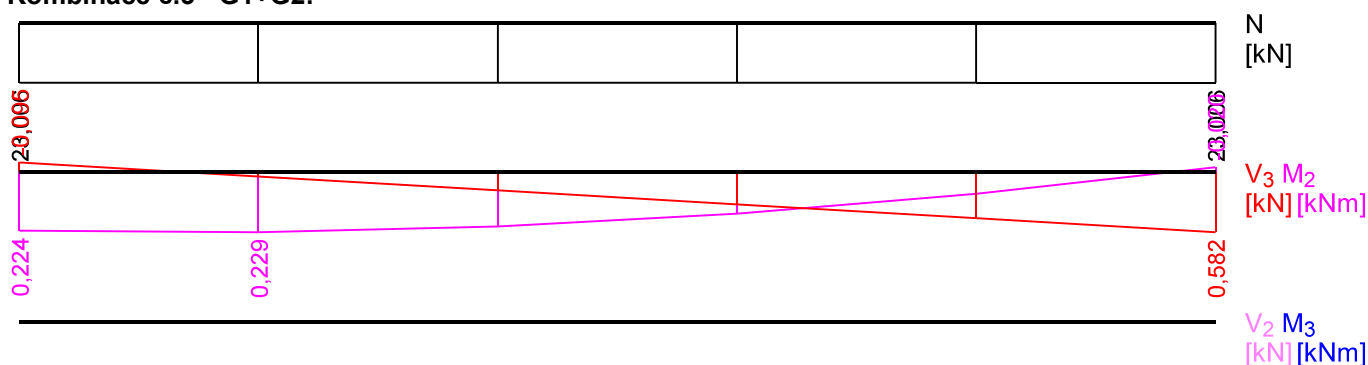
Kombinace č.1 - Q3:G1+G2:



Kombinace č.2 - Q4:G1+G2:



Kombinace č.3 - G1+G2:



8.2 Výsledky

Celkové posouzení

Rozhodující zatěžovací případ: Kombinace č.1 - Q3:G1+G2

Vnitřní síly: $N = 38,149 \text{ kN}$; $M_y = 0,420 \text{ kNm}$; $M_z = 0,000 \text{ kNm}$; $V_z = 0,112 \text{ kN}$; $V_y = 0,000 \text{ kN}$

Posudek kombinace tahu a ohybu:

Únosnosti: $N_R = 62,031 \text{ kN}$; $M_{y,R} = 2,836 \text{ kNm}$

$0,615 + 0,148 + 0,0 = 0,763 < 1$ **Vyhovuje**

Posudek smyku od posouvajících sil:

Únosnost: $V_R = 7,916 \text{ kN}$

$0,014 < 1$ **Vyhovuje**

Štíhlost dílce: 86,6

Průřez vyhovuje

9 9:DD

9.1 Vstupní data

Délka dílce: 1,000 m

Třída provozu: 2

Průřez

Úsek č.	Začátek [m]	Konec [m]	Průřez	Natočení [°]
1	0,000	1,000	obdélník 40x160	0,0

Materiál

Název: C24 - jehličnaté

Druh dřeva: rostlé

Při výpočtu je zohledněn součinitel k_h pro zvětšení pevnosti dřeva v tahu a ohybu.

Vnitřní síly

Celkový počet zatěžovacích případů: 3

Kombinace č.1 - Q3:G1+G2:

	N[kN]	V ₃ [kN]	M ₂ [kNm]	V ₂ [kN]	M ₃ [kNm]
Max. hodnota	41,451	-0,475	0,884	0,000	0,000
Min. hodnota	41,451	-1,084	0,104	0,000	0,000

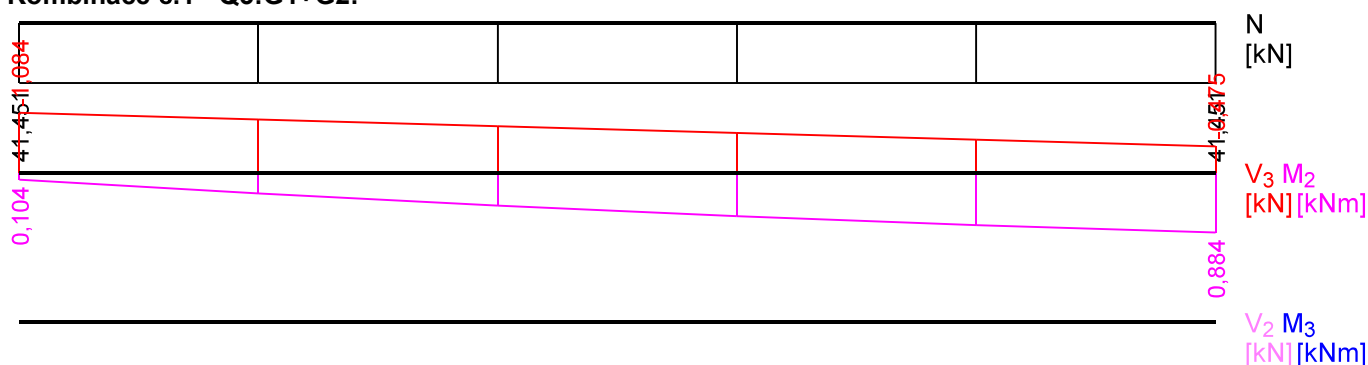
Kombinace č.2 - Q4:G1+G2:

	N[kN]	V ₃ [kN]	M ₂ [kNm]	V ₂ [kN]	M ₃ [kNm]
Max. hodnota	27,684	-0,182	0,554	0,000	0,000
Min. hodnota	27,684	-0,791	0,067	0,000	0,000

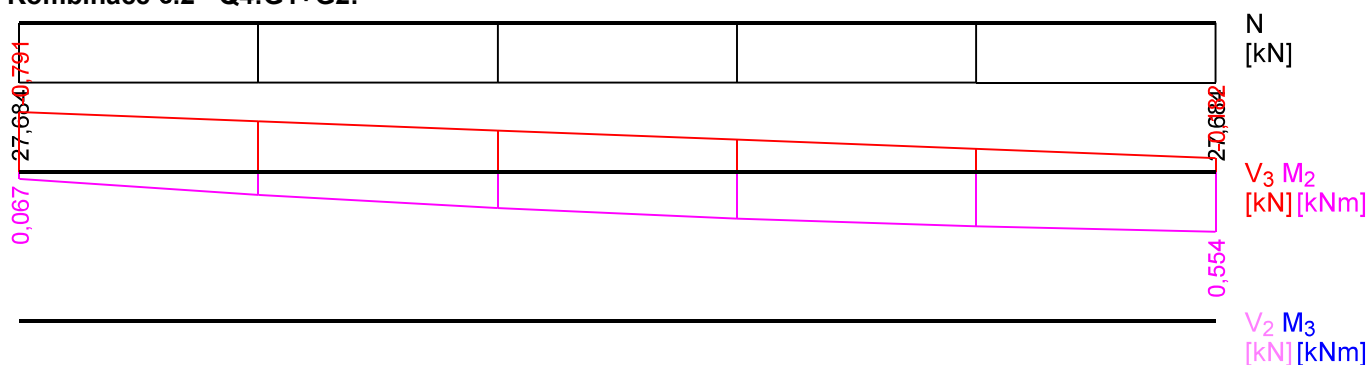
Kombinace č.3 - G1+G2:

	N[kN]	V ₃ [kN]	M ₂ [kNm]	V ₂ [kN]	M ₃ [kNm]
Max. hodnota	24,841	-0,125	0,501	0,000	0,000
Min. hodnota	24,841	-0,802	0,038	0,000	0,000

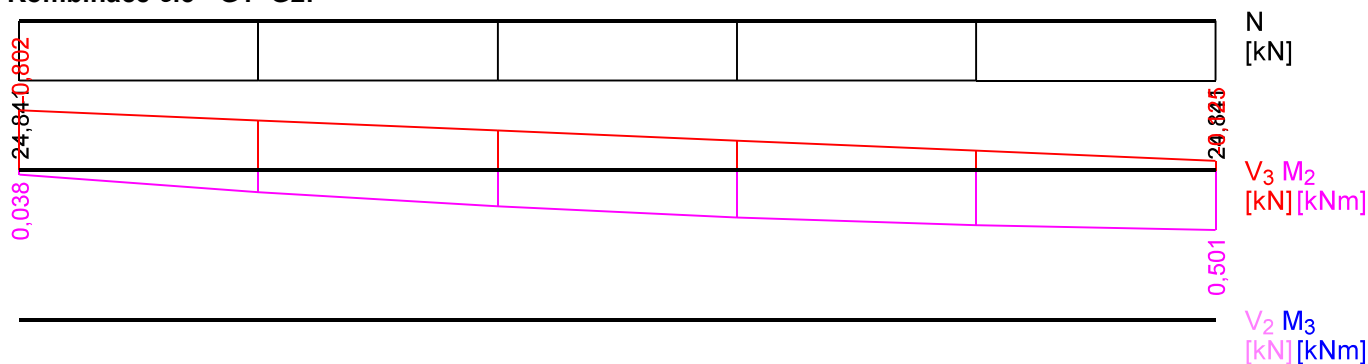
Kombinace č.1 - Q3:G1+G2:



Kombinace č.2 - Q4:G1+G2:



Kombinace č.3 - G1+G2:



9.2 Výsledky

Celkové posouzení

Rozhodující zatěžovací případ: Kombinace č.1 - Q3:G1+G2

Vnitřní síly: $N = 41,451 \text{ kN}$; $M_y = 0,884 \text{ kNm}$; $M_z = 0,000 \text{ kNm}$; $V_z = -0,475 \text{ kN}$; $V_y = 0,000 \text{ kN}$

Posudek kombinace tahu a ohybu:

Únosnosti: $N_R = 62,031 \text{ kN}$; $M_{y,R} = 2,836 \text{ kNm}$

$0,668 + 0,312 + 0,0 = 0,98 < 1$ **Vyhovuje**

Posudek smyku od posouvajících sil:

Únosnost: $V_R = 7,916 \text{ kN}$

$0,06 < 1$ **Vyhovuje**

Štíhlost dílce: 86,6

Průřez vyhovuje

10 10:DD

10.1 Vstupní data

Délka dílce: 1,000 m

Třída provozu: 2

Průřez

Úsek č.	Začátek [m]	Konec [m]	Průřez	Natočení [°]
1	0,000	1,000	obdélník 40x180	0,0

Materiál

Název: C24 - jehličnaté

Druh dřeva: rostlé

Při výpočtu je zohledněn součinitel k_h pro zvětšení pevnosti dřeva v tahu a ohybu.

Vnitřní síly

Celkový počet zatěžovacích případů: 3

Kombinace č.1 - Q3:G1+G2:

	$N[\text{kN}]$	$V_3[\text{kN}]$	$M_2[\text{kNm}]$	$V_2[\text{kN}]$	$M_3[\text{kNm}]$
Max. hodnota	38,762	-1,133	1,506	0,000	0,000
Min. hodnota	38,762	-1,742	0,068	0,000	0,000

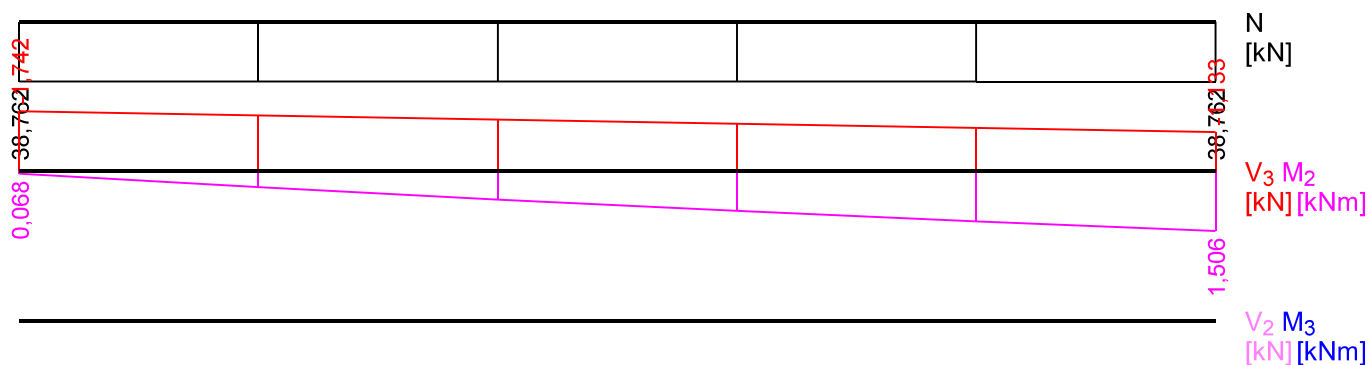
Kombinace č.2 - Q4:G1+G2:

	$N[\text{kN}]$	$V_3[\text{kN}]$	$M_2[\text{kNm}]$	$V_2[\text{kN}]$	$M_3[\text{kNm}]$
Max. hodnota	25,725	-0,679	0,990	0,000	0,000
Min. hodnota	25,725	-1,288	0,007	0,000	0,000

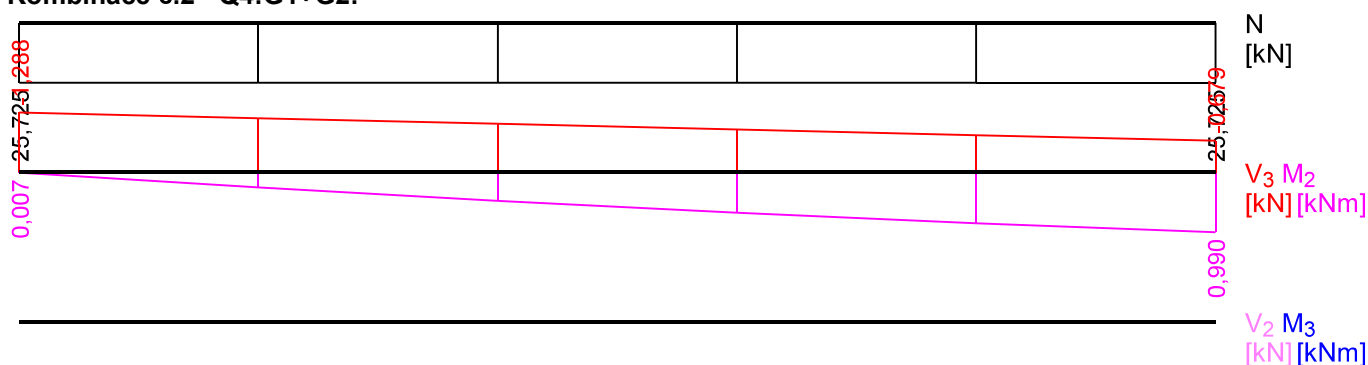
Kombinace č.3 - G1+G2:

	$N[\text{kN}]$	$V_3[\text{kN}]$	$M_2[\text{kNm}]$	$V_2[\text{kN}]$	$M_3[\text{kNm}]$
Max. hodnota	23,193	-0,530	0,878	0,000	0,000
Min. hodnota	23,193	-1,207	0,009	0,000	0,000

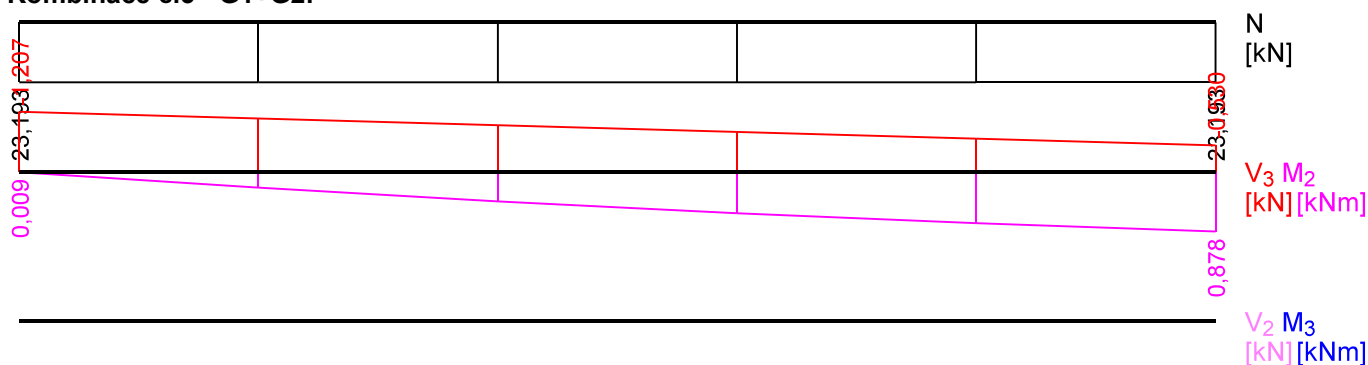
Kombinace č.1 - Q3:G1+G2:



Kombinace č.2 - Q4:G1+G2:



Kombinace č.3 - G1+G2:



10.2 Výsledky

Celkové posouzení

Rozhodující zatěžovací případ: Kombinace č.1 - Q3:G1+G2

Vnitřní síly: $N = 38,762 \text{ kN}$; $M_y = 1,506 \text{ kNm}$; $M_z = 0,000 \text{ kNm}$; $V_z = -1,133 \text{ kN}$; $V_y = 0,000 \text{ kN}$

Posudek kombinace tahu a ohybu:

Únosnosti: $N_R = 69,785 \text{ kN}$; $M_{y,R} = 3,589 \text{ kNm}$

$0,555 + 0,42 + 0,0 = 0,975 < 1$ **Vyhovuje**

Posudek smyku od posouvajících sil:

Únosnost: $V_R = 8,906 \text{ kN}$

$0,127 < 1$ **Vyhovuje**

Štíhlost dílce: 86,6

Průřez vyhovuje

11 11:DD

11.1 Vstupní data

Délka dílce: 1,044 m

Třída provozu: 2

Průřez

Úsek č.	Začátek [m]	Konec [m]	Průřez	Natočení [°]
1	0,000	1,044	obdélník 40x160	0,0

Materiál

Název: C24 - jehličnaté

Druh dřeva: rostlé

Při výpočtu je zohledněn součinitel k_h pro zvětšení pevnosti dřeva v tahu a ohybu.

Vnitřní síly

Celkový počet zatěžovacích případů: 3

Kombinace č.1 - Q3:G1+G2:

	N[kN]	V ₃ [kN]	M ₂ [kNm]	V ₂ [kN]	M ₃ [kNm]
Max. hodnota	-41,341	-0,208	1,417	0,000	0,000
Min. hodnota	-42,073	-2,647	-0,074	0,000	0,000

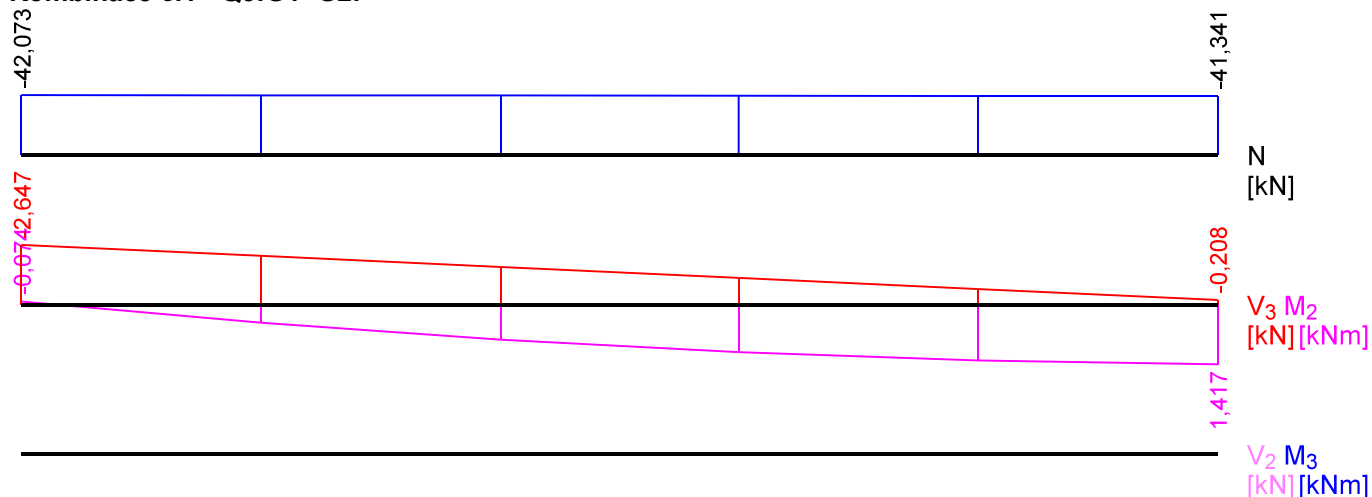
Kombinace č.2 - Q4:G1+G2:

	N[kN]	V ₃ [kN]	M ₂ [kNm]	V ₂ [kN]	M ₃ [kNm]
Max. hodnota	-36,218	-0,014	1,212	0,000	0,000
Min. hodnota	-36,950	-2,453	-0,075	0,000	0,000

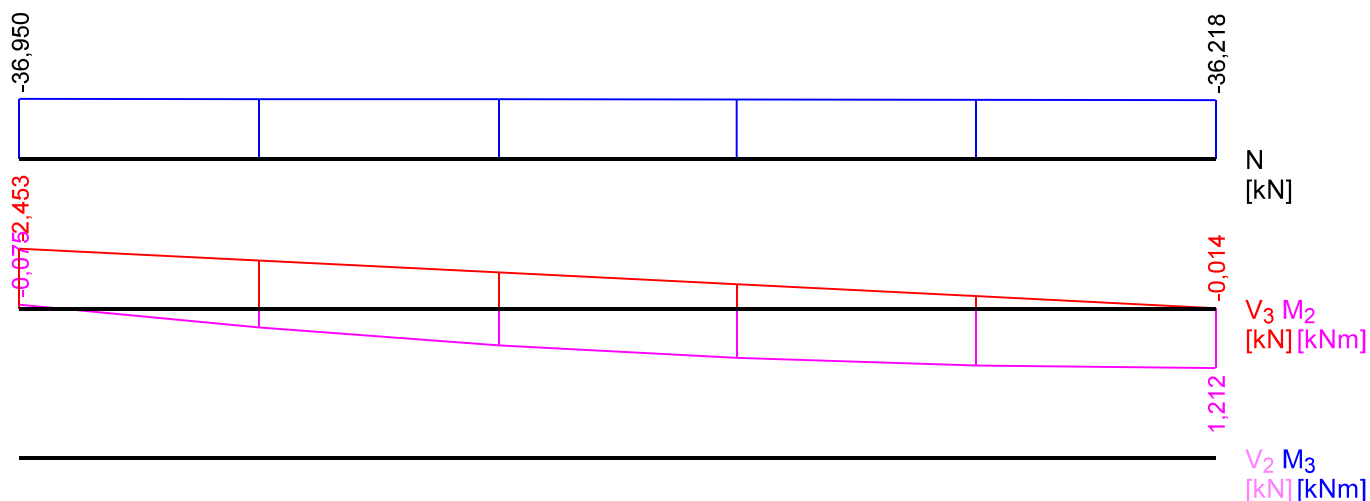
Kombinace č.3 - G1+G2:

	N[kN]	V ₃ [kN]	M ₂ [kNm]	V ₂ [kN]	M ₃ [kNm]
Max. hodnota	-25,206	-0,307	0,893	0,000	0,000
Min. hodnota	-25,544	-1,434	-0,016	0,000	0,000

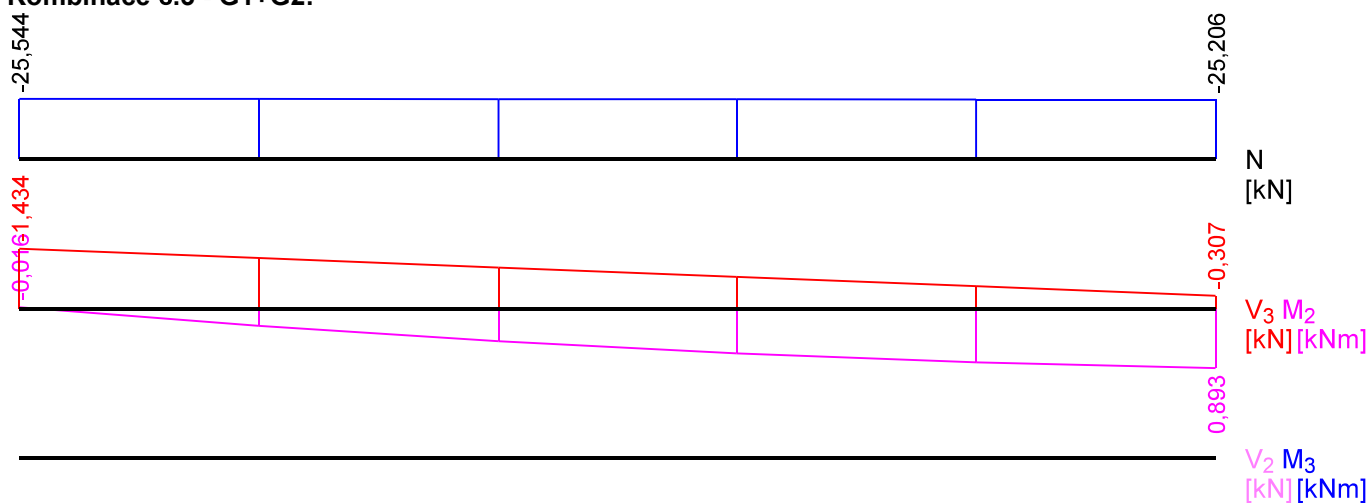
Kombinace č.1 - Q3:G1+G2:



Kombinace č.2 - Q4:G1+G2:



Kombinace č.3 - G1+G2:



11.2 Výsledky

Celkové posouzení

Rozhodující zatěžovací případ: Kombinace č.1 - Q3:G1+G2

Vnitřní síly: $N = -41,341$ kN; $M_y = 1,417$ kNm; $M_z = 0,000$ kNm; $V_z = -0,208$ kN; $V_y = 0,000$ kN

Posudek kombinace tlaku a ohybu:

Únosnosti: $N_R = 209,420$ kN; $M_{y,R} = -2,836$ kNm

$|-0,197 + -0,5 + 0,0| = |-0,697| < 1$ **Vyhovuje**

Posudek smyku od posouvajících sil:

Únosnost: $V_R = 7,916$ kN

$0,026 < 1$ **Vyhovuje**

Štíhlost dílce: 90,4

Průřez vyhovuje

12 12:DD

12.1 Vstupní data

Délka dílce: 1,044 m

Třída provozu: 2

Průřez

Úsek č.	Začátek [m]	Konec [m]	Průřez	Natočení [°]
1	0,000	1,044	obdélník 40x160	0,0

Materiál

Název: C24 - jehličnaté

Druh dřeva: rostlé

Při výpočtu je zohledněn součinitel k_h pro zvětšení pevnosti dřeva v tahu a ohybu.

Vnitřní síly

Celkový počet zatěžovacích případů: 3

Kombinace č.1 - Q3:G1+G2:

	N[kN]	V ₃ [kN]	M ₂ [kNm]	V ₂ [kN]	M ₃ [kNm]
Max. hodnota	-44,792	0,693	0,657	0,000	0,000
Min. hodnota	-45,564	-1,881	-0,054	0,000	0,000

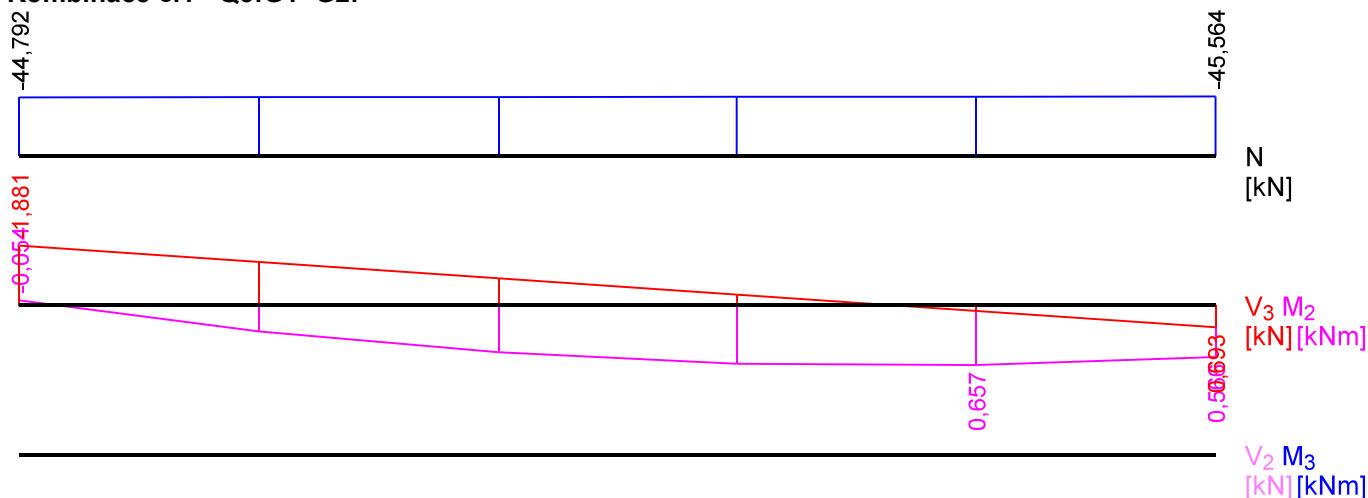
Kombinace č.2 - Q4:G1+G2:

	N[kN]	V ₃ [kN]	M ₂ [kNm]	V ₂ [kN]	M ₃ [kNm]
Max. hodnota	-38,524	0,745	0,581	0,000	0,000
Min. hodnota	-39,297	-1,829	-0,087	0,000	0,000

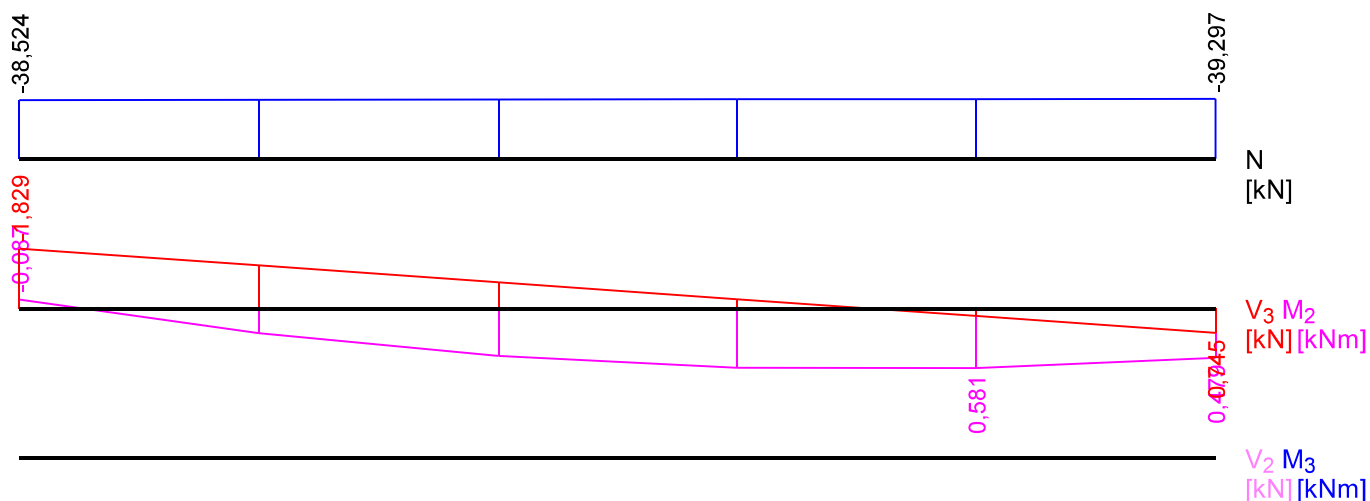
Kombinace č.3 - G1+G2:

	N[kN]	V ₃ [kN]	M ₂ [kNm]	V ₂ [kN]	M ₃ [kNm]
Max. hodnota	-27,360	0,275	0,402	0,000	0,000
Min. hodnota	-27,743	-1,002	-0,008	0,000	0,000

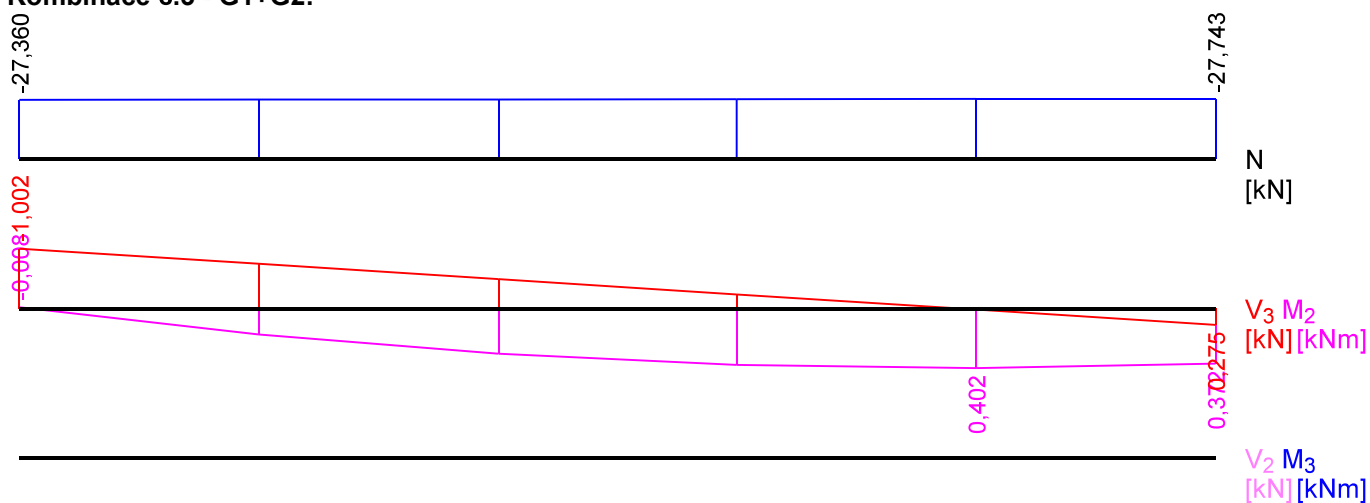
Kombinace č.1 - Q3:G1+G2:



Kombinace č.2 - Q4:G1+G2:



Kombinace č.3 - G1+G2:



12.2 Výsledky

Celkové posouzení

Rozhodující zatěžovací případ: Kombinace č.1 - Q3:G1+G2

Vnitřní síly: $N = -45,410$ kN; $M_y = 0,657$ kNm; $M_z = 0,000$ kNm; $V_z = 0,178$ kN; $V_y = 0,000$ kN

Posudek kombinace tlaku a ohybu:

Únosnosti: $N_R = 190,655$ kN; $M_{y,R} = -2,836$ kNm

$|-0,238 + -0,232 + 0,0| = |-0,47| < 1$ **Vyhovuje**

Posudek smyku od posouvajících sil:

Únosnost: $V_R = 7,916$ kN

$0,022 < 1$ **Vyhovuje**

Štíhlost dílce: 90,4

Průřez vyhovuje

13 13:DD

13.1 Vstupní data

Délka dílce: 1,044 m

Třída provozu: 2

Průřez

Úsek č.	Začátek [m]	Konec [m]	Průřez	Natočení [°]
1	0,000	1,044	obdélník 40x160	0,0

Materiál

Název: C24 - jehličnaté

Druh dřeva: rostlé

Při výpočtu je zohledněn součinitel k_h pro zvětšení pevnosti dřeva v tahu a ohybu.

Vnitřní síly

Celkový počet zatěžovacích případů: 3

Kombinace č.1 - Q3:G1+G2:

	N[kN]	V ₃ [kN]	M ₂ [kNm]	V ₂ [kN]	M ₃ [kNm]
Max. hodnota	-43,459	1,892	0,438	0,000	0,000
Min. hodnota	-44,231	-0,683	-0,282	0,000	0,000

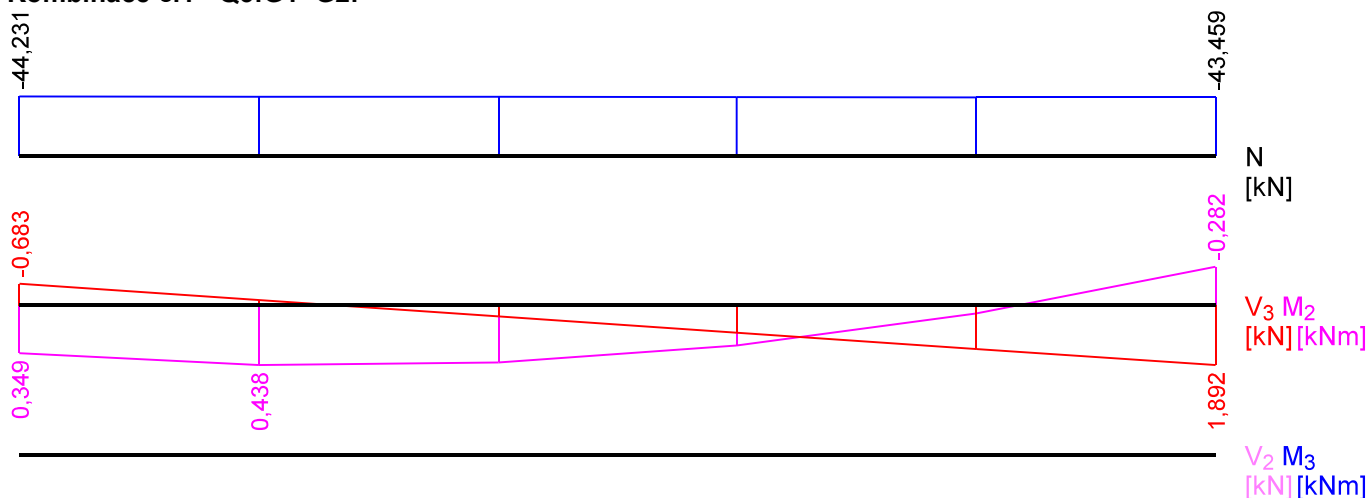
Kombinace č.2 - Q4:G1+G2:

	N[kN]	V ₃ [kN]	M ₂ [kNm]	V ₂ [kN]	M ₃ [kNm]
Max. hodnota	-37,265	1,846	0,388	0,000	0,000
Min. hodnota	-38,038	-0,728	-0,294	0,000	0,000

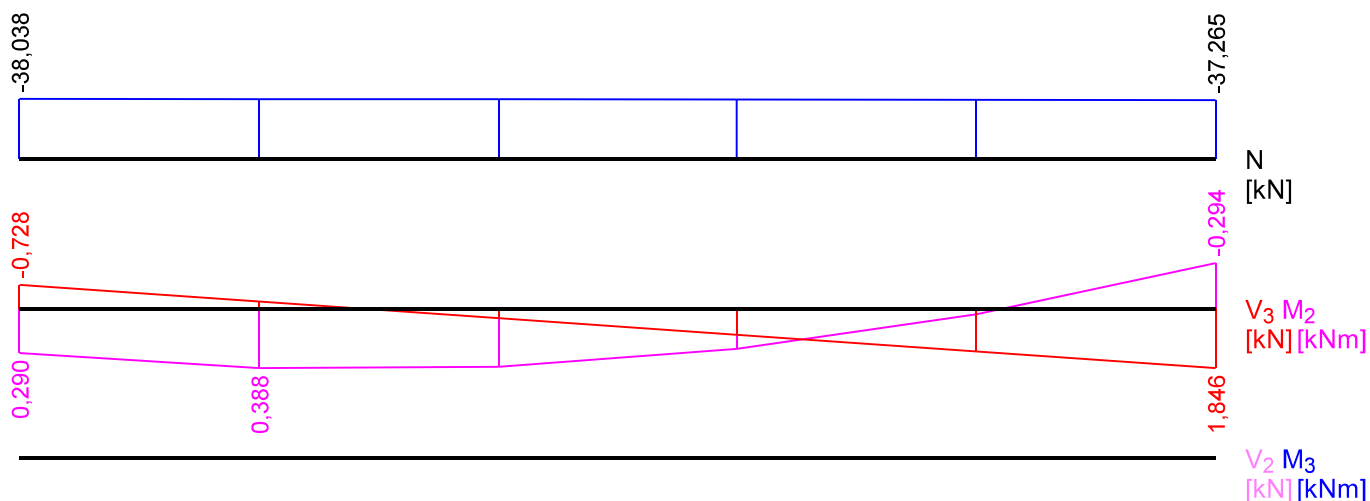
Kombinace č.3 - G1+G2:

	N[kN]	V ₃ [kN]	M ₂ [kNm]	V ₂ [kN]	M ₃ [kNm]
Max. hodnota	-26,555	1,003	0,267	0,000	0,000
Min. hodnota	-26,938	-0,274	-0,144	0,000	0,000

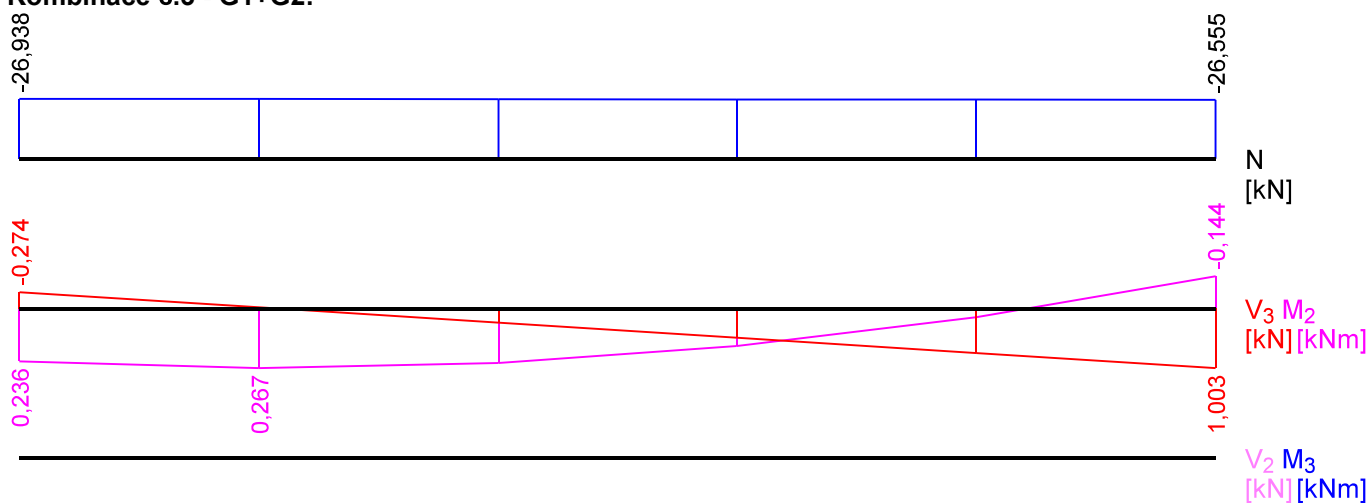
Kombinace č.1 - Q3:G1+G2:



Kombinace č.2 - Q4:G1+G2:



Kombinace č.3 - G1+G2:



13.2 Výsledky

Celkové posouzení

Rozhodující zatěžovací případ: Kombinace č.1 - Q3:G1+G2

Vnitřní síly: $N = -44,076$ kN; $M_y = 0,438$ kNm; $M_z = 0,000$ kNm; $V_z = -0,168$ kN; $V_y = 0,000$ kN

Posudek kombinace tlaku a ohybu:

Únosnosti: $N_R = 196,422$ kN; $M_{y,R} = -2,836$ kNm

$|-0,224 + -0,154 + 0,0| = |-0,379| < 1$ **Vyhovuje**

Posudek smyku od posouvajících sil:

Únosnost: $V_R = 7,916$ kN

$0,021 < 1$ **Vyhovuje**

Štíhlost dílce: 90,4

Průřez vyhovuje

14 14:DD

14.1 Vstupní data

Délka dílce: 1,044 m

Třída provozu: 2

Průřez

Úsek č.	Začátek [m]	Konec [m]	Průřez	Natočení [°]
1	0,000	1,044	obdélník 40x160	0,0

Materiál

Název: C24 - jehličnaté

Druh dřeva: rostlé

Při výpočtu je zohledněn součinitel k_h pro zvětšení pevnosti dřeva v tahu a ohybu.

Vnitřní síly

Celkový počet zatěžovacích případů: 3

Kombinace č.1 - Q3:G1+G2:

	N[kN]	V ₃ [kN]	M ₂ [kNm]	V ₂ [kN]	M ₃ [kNm]
Max. hodnota	-33,868	1,208	0,281	0,000	0,000
Min. hodnota	-34,640	-1,366	-0,092	0,000	0,000

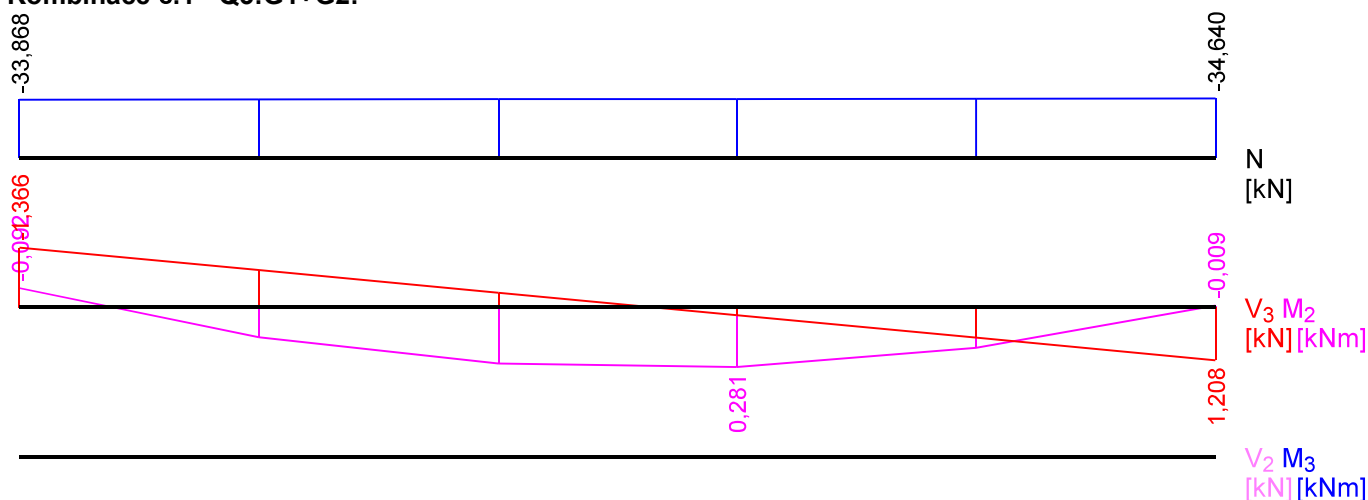
Kombinace č.2 - Q4:G1+G2:

	N[kN]	V ₃ [kN]	M ₂ [kNm]	V ₂ [kN]	M ₃ [kNm]
Max. hodnota	-27,465	1,212	0,250	0,000	0,000
Min. hodnota	-28,237	-1,362	-0,119	0,000	0,000

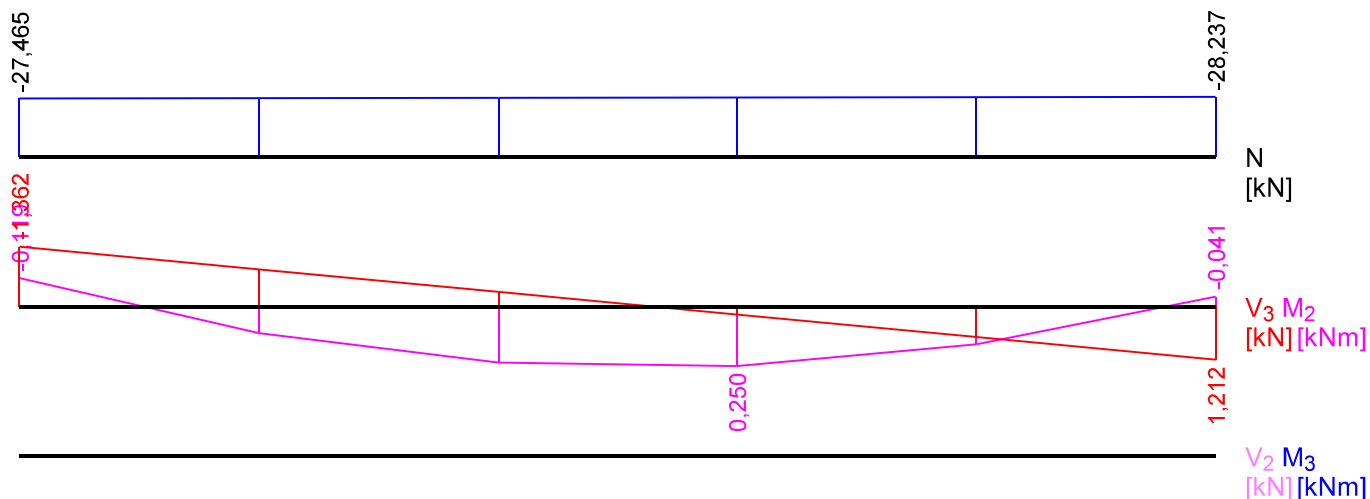
Kombinace č.3 - G1+G2:

	N[kN]	V ₃ [kN]	M ₂ [kNm]	V ₂ [kN]	M ₃ [kNm]
Max. hodnota	-20,665	0,584	0,160	0,000	0,000
Min. hodnota	-21,048	-0,693	-0,034	0,000	0,000

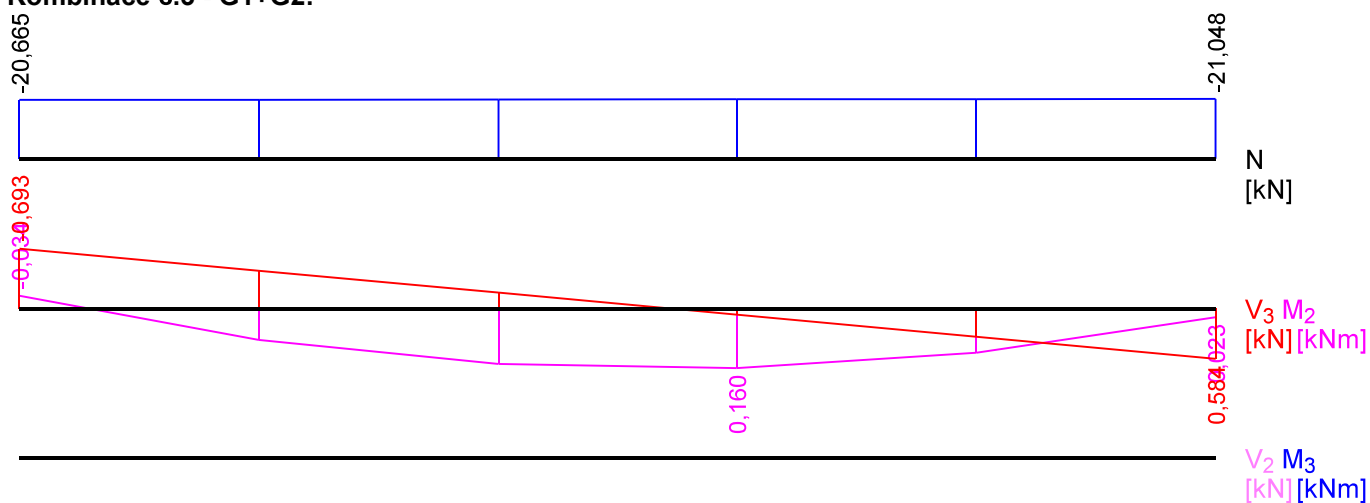
Kombinace č.1 - Q3:G1+G2:



Kombinace č.2 - Q4:G1+G2:



Kombinace č.3 - G1+G2:



14.2 Výsledky

Celkové posouzení

Rozhodující zatěžovací případ: Kombinace č.1 - Q3:G1+G2

Vnitřní síly: $N = -34,331$ kN; $M_y = 0,281$ kNm; $M_z = 0,000$ kNm; $V_z = 0,178$ kN; $V_y = 0,000$ kN

Posudek kombinace tlaku a ohybu:

Únosnosti: $N_R = 252,176$ kN; $M_{y,R} = -2,836$ kNm

$|-0,136 + -0,099 + 0,0| = |-0,235| < 1$ **Vyhovuje**

Posudek smyku od posouvajících sil:

Únosnost: $V_R = 7,916$ kN

$0,023 < 1$ **Vyhovuje**

Štíhlost dílce: 90,4

Průřez vyhovuje

15 15:DD

15.1 Vstupní data

Délka dílce: 1,044 m

Třída provozu: 2

Průřez

Úsek č.	Začátek [m]	Konec [m]	Průřez	Natočení [°]
1	0,000	1,044	obdélník 40x160	0,0

Materiál

Název: C24 - jehličnaté

Druh dřeva: rostlé

Při výpočtu je zohledněn součinitel k_h pro zvětšení pevnosti dřeva v tahu a ohybu.

Vnitřní síly

Celkový počet zatěžovacích případů: 3

Kombinace č.1 - Q3:G1+G2:

	N[kN]	V ₃ [kN]	M ₂ [kNm]	V ₂ [kN]	M ₃ [kNm]
Max. hodnota	-33,335	1,892	0,238	0,000	0,000
Min. hodnota	-34,108	-0,683	-0,482	0,000	0,000

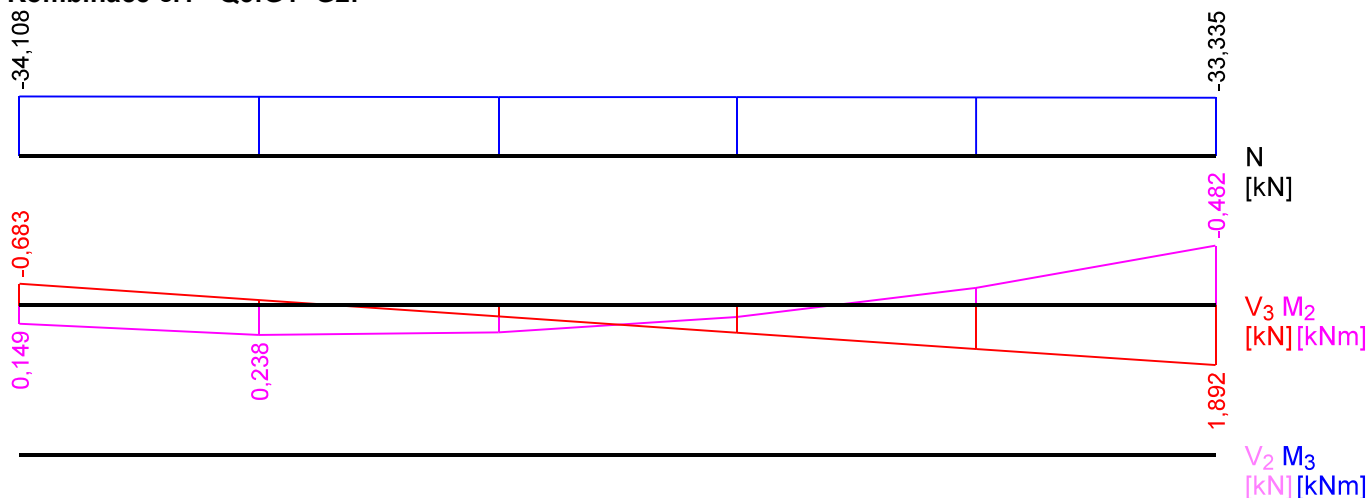
Kombinace č.2 - Q4:G1+G2:

	N[kN]	V ₃ [kN]	M ₂ [kNm]	V ₂ [kN]	M ₃ [kNm]
Max. hodnota	-26,998	1,783	0,212	0,000	0,000
Min. hodnota	-27,771	-0,791	-0,421	0,000	0,000

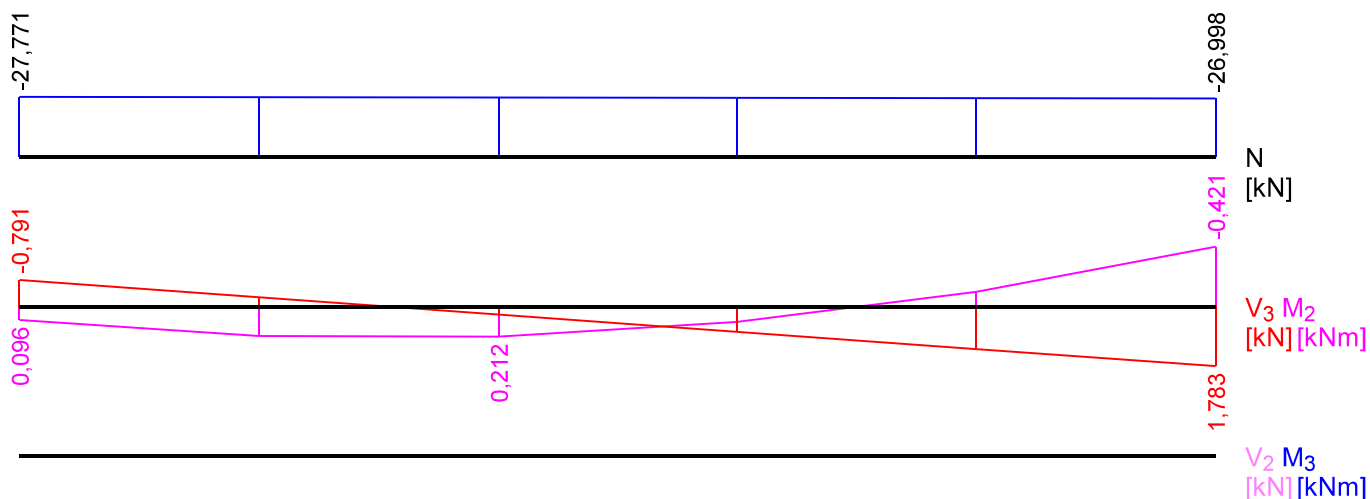
Kombinace č.3 - G1+G2:

	N[kN]	V ₃ [kN]	M ₂ [kNm]	V ₂ [kN]	M ₃ [kNm]
Max. hodnota	-20,345	0,999	0,144	0,000	0,000
Min. hodnota	-20,728	-0,278	-0,264	0,000	0,000

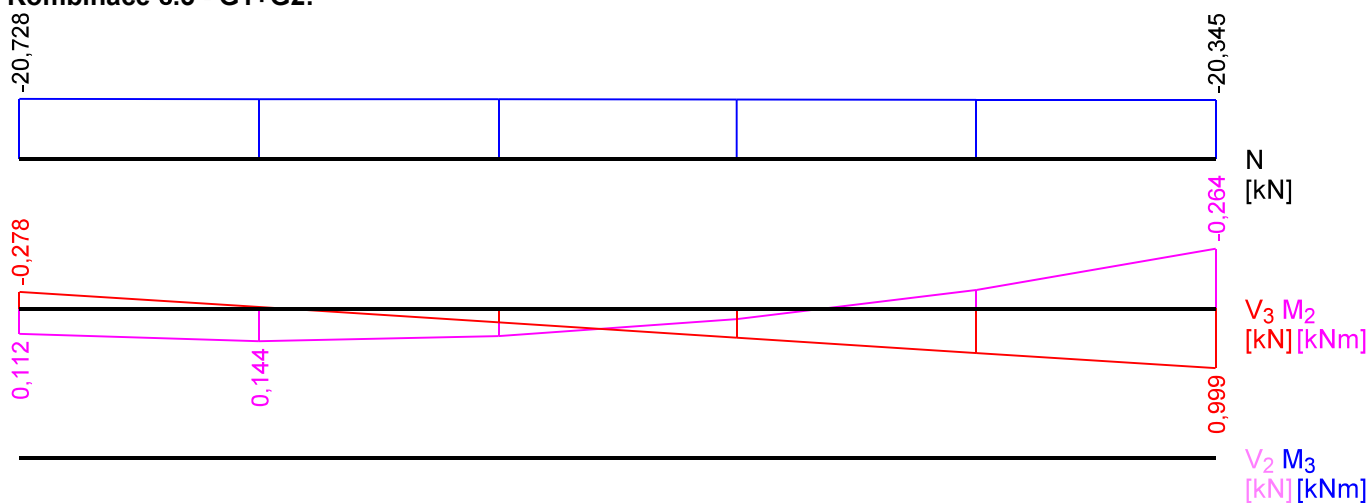
Kombinace č.1 - Q3:G1+G2:



Kombinace č.2 - Q4:G1+G2:



Kombinace č.3 - G1+G2:



15.2 Výsledky

Celkové posouzení

Rozhodující zatěžovací případ: Kombinace č.1 - Q3:G1+G2

Vnitřní síly: $N = -33,335$ kN; $M_y = -0,482$ kNm; $M_z = 0,000$ kNm; $V_z = 1,892$ kN; $V_y = 0,000$ kN

Posudek kombinace tlaku a ohybu:

Únosnosti: $N_R = 259,712$ kN; $M_{y,R} = 2,836$ kNm

$|-0,128 + -0,17 + 0,0| = |-0,298| < 1$ **Vyhovuje**

Posudek smyku od posouvajících sil:

Únosnost: $V_R = 7,916$ kN

$0,239 < 1$ **Vyhovuje**

Štíhlost dílce: 90,4

Průřez vyhovuje

16 16:DD

16.1 Vstupní data

Délka dílce: 1,044 m

Třída provozu: 2

Průřez

Úsek č.	Začátek [m]	Konec [m]	Průřez	Natočení [°]
1	0,000	1,044	obdélník 40x160	0,0

Materiál

Název: C24 - jehličnaté

Druh dřeva: rostlé

Při výpočtu je zohledněn součinitel k_h pro zvětšení pevnosti dřeva v tahu a ohybu.

Vnitřní síly

Celkový počet zatěžovacích případů: 3

Kombinace č.1 - Q3:G1+G2:

	N[kN]	V ₃ [kN]	M ₂ [kNm]	V ₂ [kN]	M ₃ [kNm]
Max. hodnota	-33,113	1,818	0,233	0,000	0,000
Min. hodnota	-33,844	-0,621	-0,471	0,000	0,000

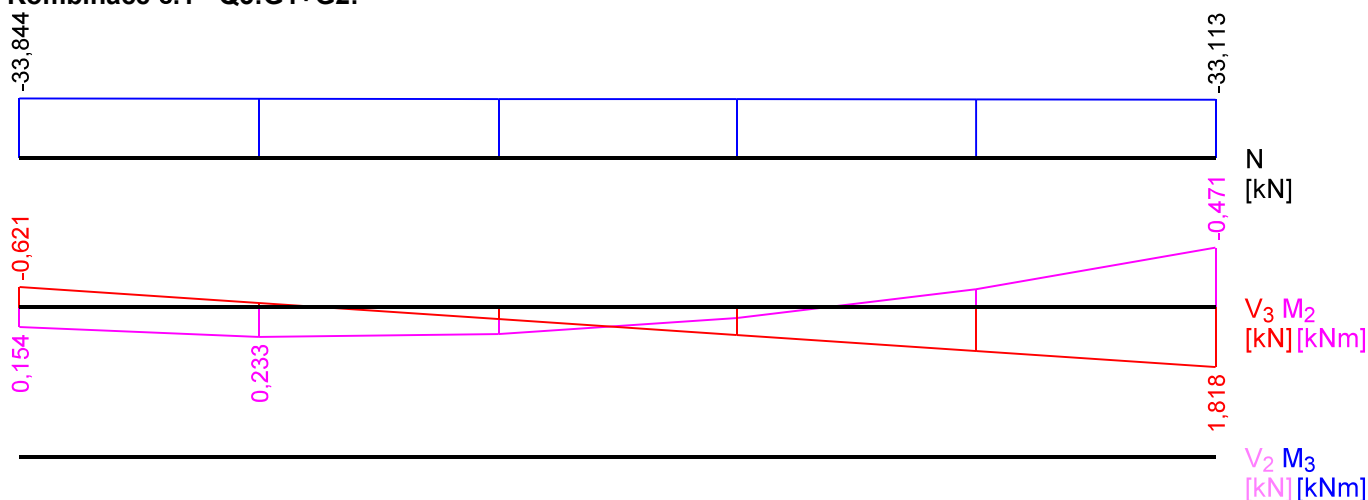
Kombinace č.2 - Q4:G1+G2:

	N[kN]	V ₃ [kN]	M ₂ [kNm]	V ₂ [kN]	M ₃ [kNm]
Max. hodnota	-24,425	0,934	0,159	0,000	0,000
Min. hodnota	-24,729	-0,080	-0,287	0,000	0,000

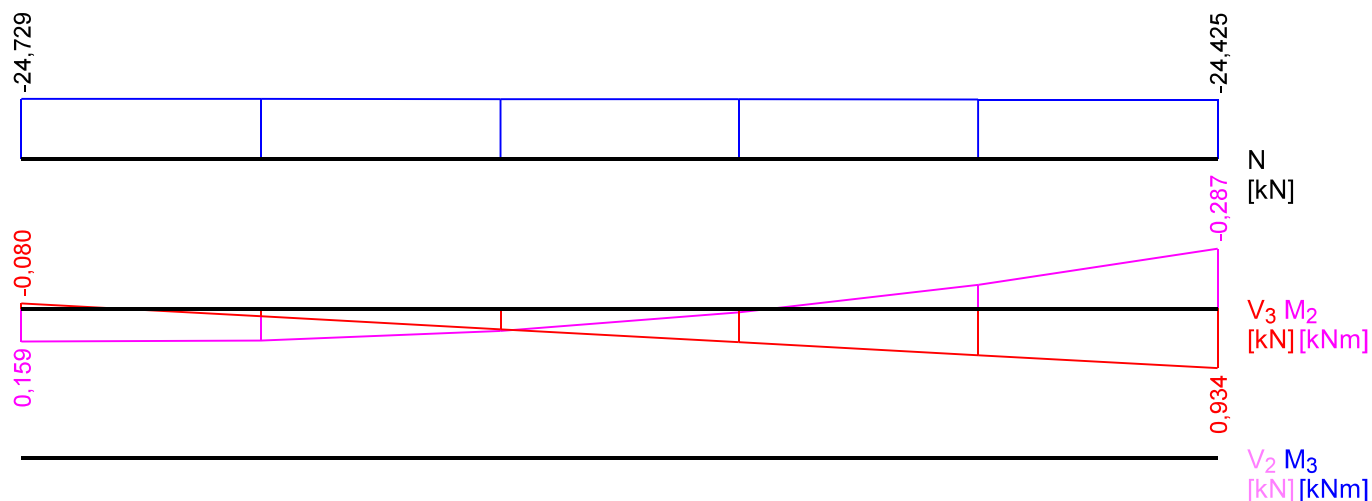
Kombinace č.3 - G1+G2:

	N[kN]	V ₃ [kN]	M ₂ [kNm]	V ₂ [kN]	M ₃ [kNm]
Max. hodnota	-20,098	0,917	0,139	0,000	0,000
Min. hodnota	-20,436	-0,210	-0,251	0,000	0,000

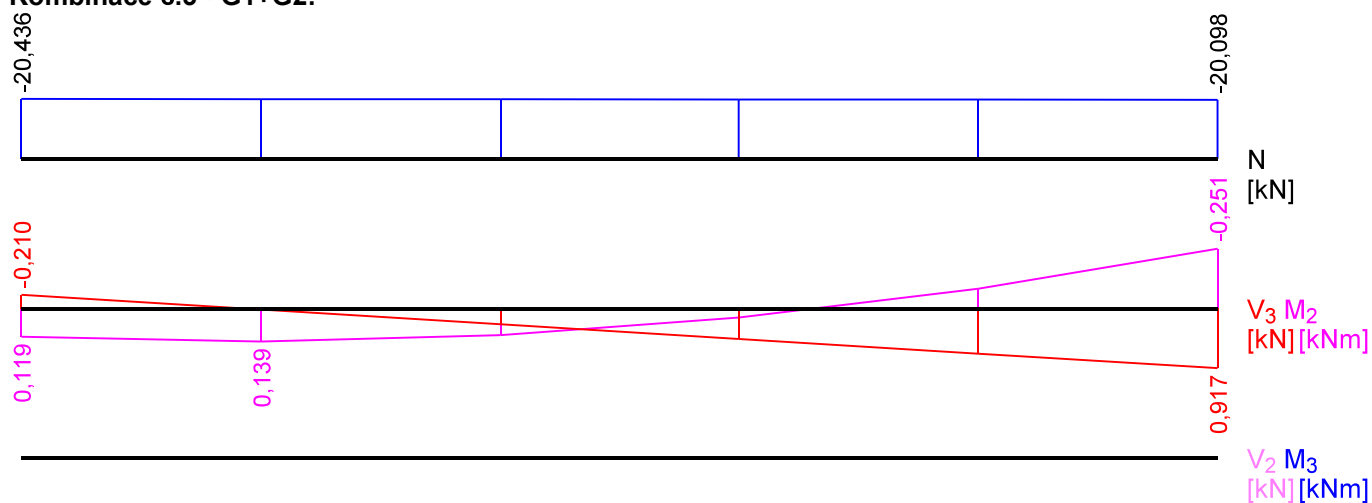
Kombinace č.1 - Q3:G1+G2:



Kombinace č.2 - Q4:G1+G2:



Kombinace č.3 - G1+G2:



16.2 Výsledky

Celkové posouzení

Rozhodující zatěžovací případ: Kombinace č.1 - Q3:G1+G2

Vnitřní síly: $N = -33,113$ kN; $M_y = -0,471$ kNm; $M_z = 0,000$ kNm; $V_z = 1,818$ kN; $V_y = 0,000$ kN

Posudek kombinace tlaku a ohybu:

Únosnosti: $N_R = 261,459$ kN; $M_{y,R} = 2,836$ kNm

$|-0,127 + -0,166 + 0,0| = |-0,293| < 1$ **Vyhovuje**

Posudek smyku od posouvajících sil:

Únosnost: $V_R = 7,916$ kN

$0,23 < 1$ **Vyhovuje**

Štíhlost dílce: 90,4

Průřez vyhovuje

17 17:DD

17.1 Vstupní data

Délka dílce: 1,044 m

Třída provozu: 2

Průřez

Úsek č.	Začátek [m]	Konec [m]	Průřez	Natočení [°]
1	0,000	1,044	obdélník 40x160	0,0

Materiál

Název: C24 - jehličnaté

Druh dřeva: rostlé

Při výpočtu je zohledněn součinitel k_h pro zvětšení pevnosti dřeva v tahu a ohybu.

Vnitřní síly

Celkový počet zatěžovacích případů: 3

Kombinace č.1 - Q3:G1+G2:

	N[kN]	V ₃ [kN]	M ₂ [kNm]	V ₂ [kN]	M ₃ [kNm]
Max. hodnota	-33,635	1,142	0,273	0,000	0,000
Min. hodnota	-34,367	-1,297	-0,081	0,000	0,000

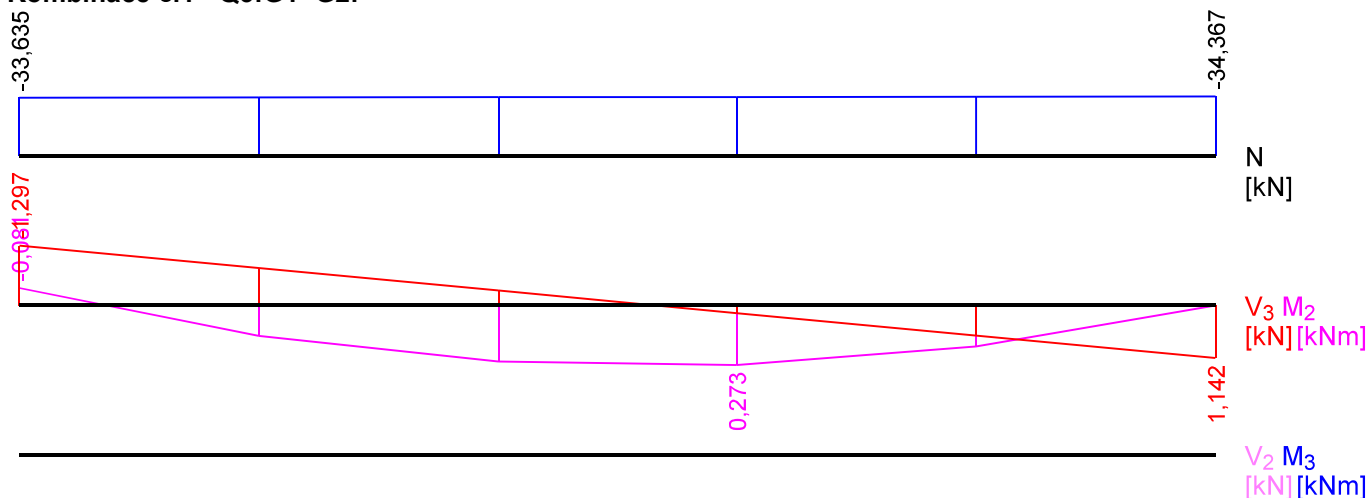
Kombinace č.2 - Q4:G1+G2:

	N[kN]	V ₃ [kN]	M ₂ [kNm]	V ₂ [kN]	M ₃ [kNm]
Max. hodnota	-24,768	0,455	0,167	0,000	0,000
Min. hodnota	-25,072	-0,559	0,008	0,000	0,000

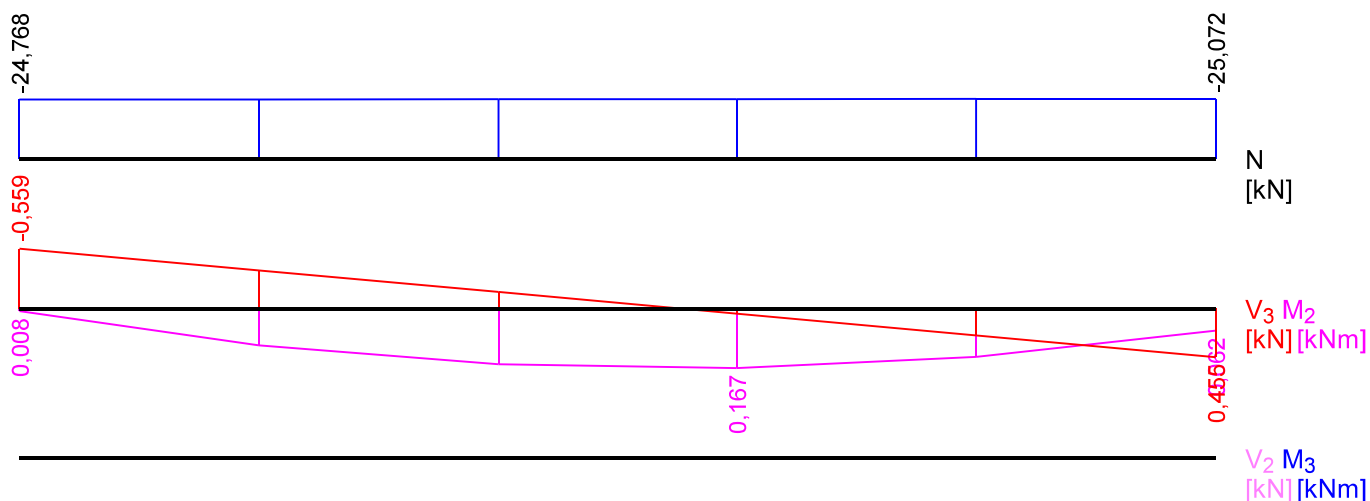
Kombinace č.3 - G1+G2:

	N[kN]	V ₃ [kN]	M ₂ [kNm]	V ₂ [kN]	M ₃ [kNm]
Max. hodnota	-20,405	0,511	0,153	0,000	0,000
Min. hodnota	-20,743	-0,616	-0,022	0,000	0,000

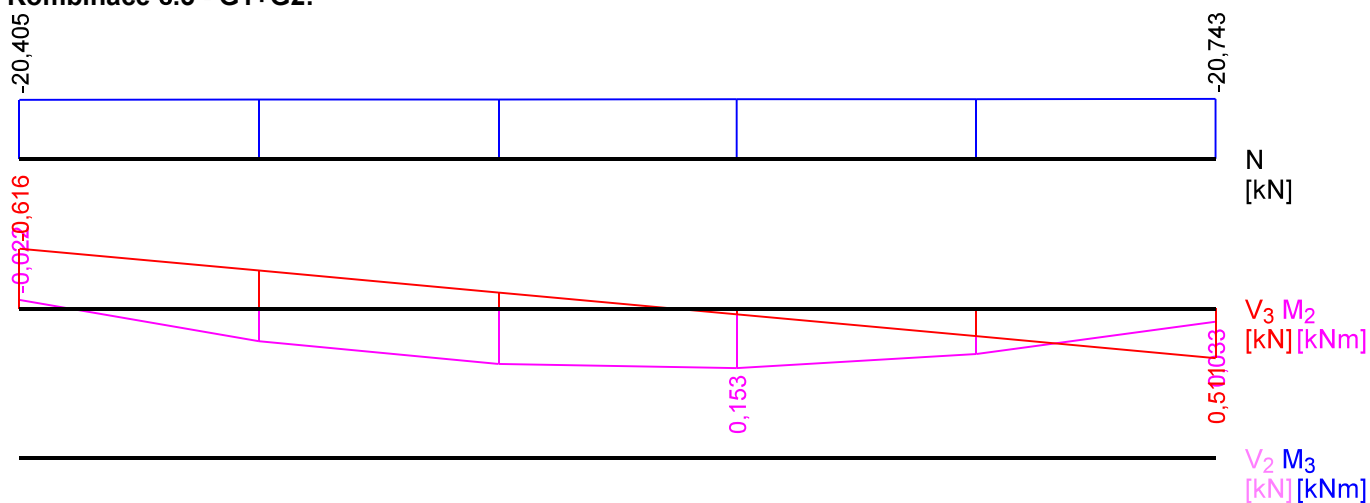
Kombinace č.1 - Q3:G1+G2:



Kombinace č.2 - Q4:G1+G2:



Kombinace č.3 - G1+G2:



17.2 Výsledky

Celkové posouzení

Rozhodující zatěžovací případ: Kombinace č.1 - Q3:G1+G2

Vnitřní síly: $N = -34,367$ kN; $M_y = 0,000$ kNm; $M_z = 0,000$ kNm; $V_z = 1,142$ kN; $V_y = 0,000$ kN

Posudek prostého tlaku:

Únosnost: $N_R = 93,046$ kN

$|-0,369| < 1$ **Vyhovuje**

Posudek smyku od posouvajících sil:

Únosnost: $V_R = 7,916$ kN

$0,144 < 1$ **Vyhovuje**

Štíhlost dílce: 90,4

Průřez vyhovuje

18 18:DD

18.1 Vstupní data

Délka dílce: 1,044 m

Třída provozu: 2

Průřez

Úsek č.	Začátek [m]	Konec [m]	Průřez	Natočení [°]
1	0,000	1,044	obdélník 40x160	0,0

Materiál

Název: C24 - jehličnaté

Druh dřeva: rostlé

Při výpočtu je zohledněn součinitel k_h pro zvětšení pevnosti dřeva v tahu a ohybu.

Vnitřní síly

Celkový počet zatěžovacích případů: 3

Kombinace č.1 - Q3:G1+G2:

	N[kN]	V ₃ [kN]	M ₂ [kNm]	V ₂ [kN]	M ₃ [kNm]
Max. hodnota	-42,779	1,806	0,428	0,000	0,000
Min. hodnota	-43,511	-0,633	-0,265	0,000	0,000

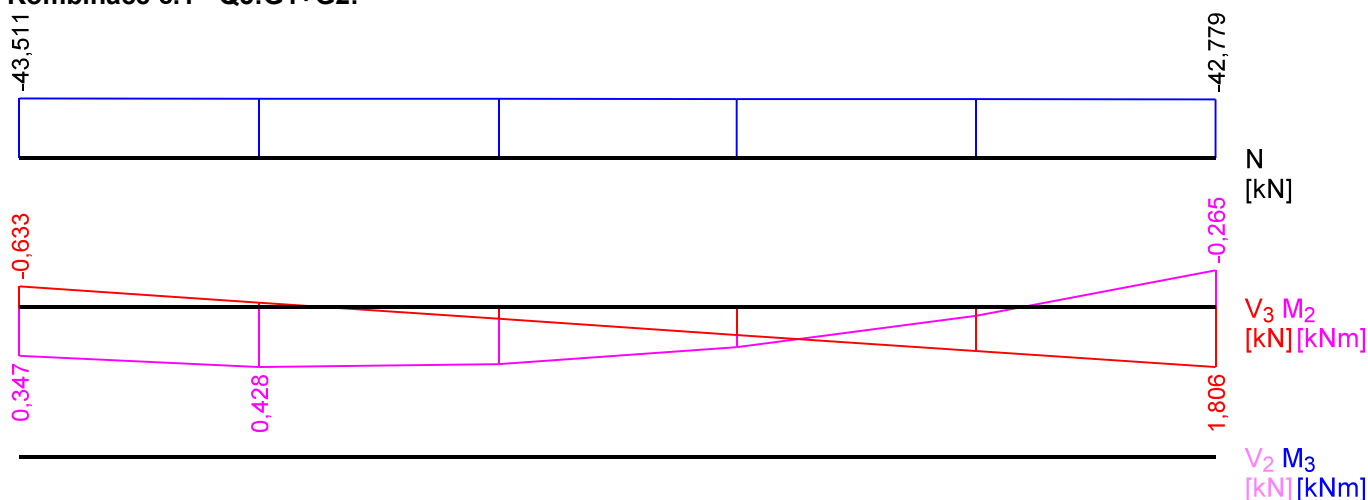
Kombinace č.2 - Q4:G1+G2:

	N[kN]	V ₃ [kN]	M ₂ [kNm]	V ₂ [kN]	M ₃ [kNm]
Max. hodnota	-29,413	0,863	0,281	0,000	0,000
Min. hodnota	-29,717	-0,151	-0,101	0,000	0,000

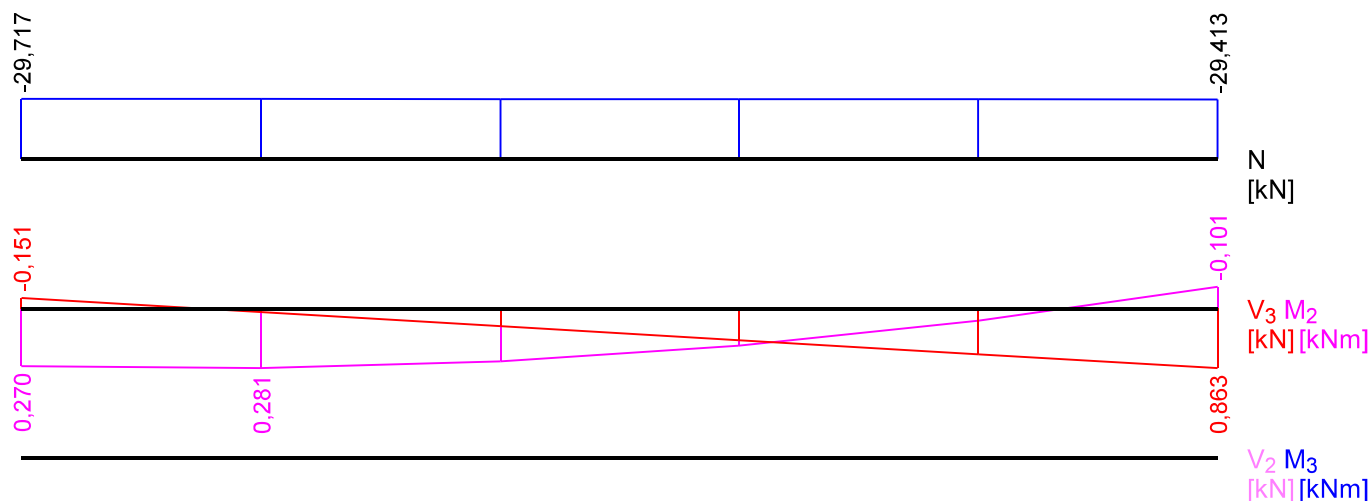
Kombinace č.3 - G1+G2:

	N[kN]	V ₃ [kN]	M ₂ [kNm]	V ₂ [kN]	M ₃ [kNm]
Max. hodnota	-25,800	0,909	0,257	0,000	0,000
Min. hodnota	-26,138	-0,218	-0,126	0,000	0,000

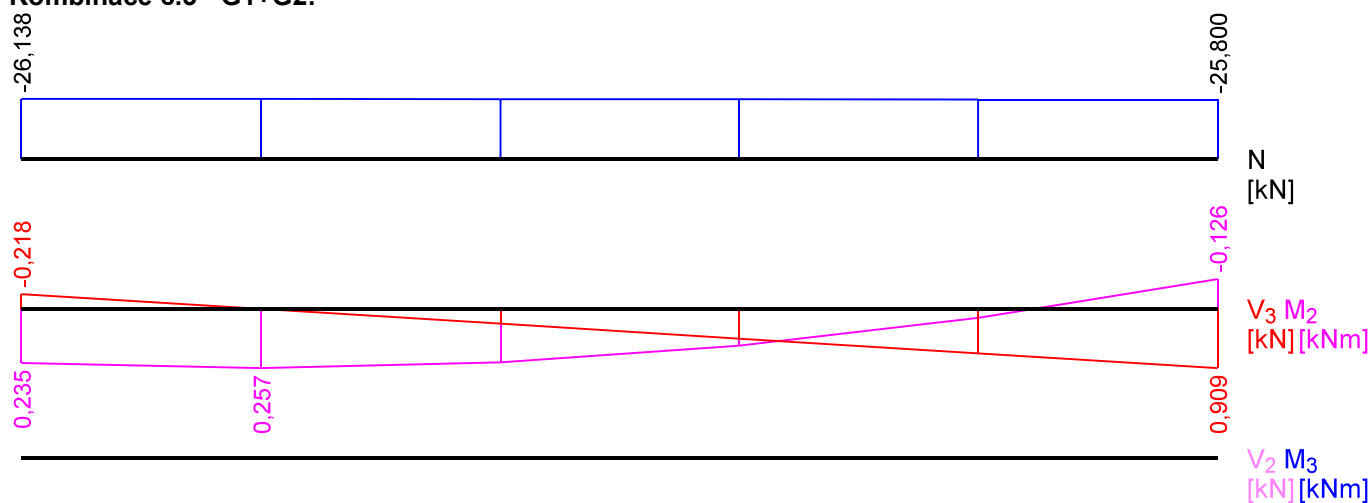
Kombinace č.1 - Q3:G1+G2:



Kombinace č.2 - Q4:G1+G2:



Kombinace č.3 - G1+G2:



18.2 Výsledky

Celkové posouzení

Rozhodující zatěžovací případ: Kombinace č.1 - Q3:G1+G2

Vnitřní síly: $N = -43,364$ kN; $M_y = 0,428$ kNm; $M_z = 0,000$ kNm; $V_z = -0,145$ kN; $V_y = 0,000$ kN

Posudek kombinace tlaku a ohybu:

Únosnosti: $N_R = 199,647$ kN; $M_{y,R} = -2,836$ kNm

$|-0,217 + -0,151 + 0,0| = |-0,368| < 1$ **Vyhovuje**

Posudek smyku od posouvajících sil:

Únosnost: $V_R = 7,916$ kN

$0,018 < 1$ **Vyhovuje**

Štíhlost dílce: 90,4

Průřez vyhovuje

19 19:DD

19.1 Vstupní data

Délka dílce: 1,044 m

Třída provozu: 2

Průřez

Úsek č.	Začátek [m]	Konec [m]	Průřez	Natočení [°]
1	0,000	1,044	obdélník 40x160	0,0

Materiál

Název: C24 - jehličnaté

Druh dřeva: rostlé

Při výpočtu je zohledněn součinitel k_h pro zvětšení pevnosti dřeva v tahu a ohybu.

Vnitřní síly

Celkový počet zatěžovacích případů: 3

Kombinace č.1 - Q3:G1+G2:

	N[kN]	V ₃ [kN]	M ₂ [kNm]	V ₂ [kN]	M ₃ [kNm]
Max. hodnota	-44,069	0,641	0,644	0,000	0,000
Min. hodnota	-44,800	-1,798	-0,044	0,000	0,000

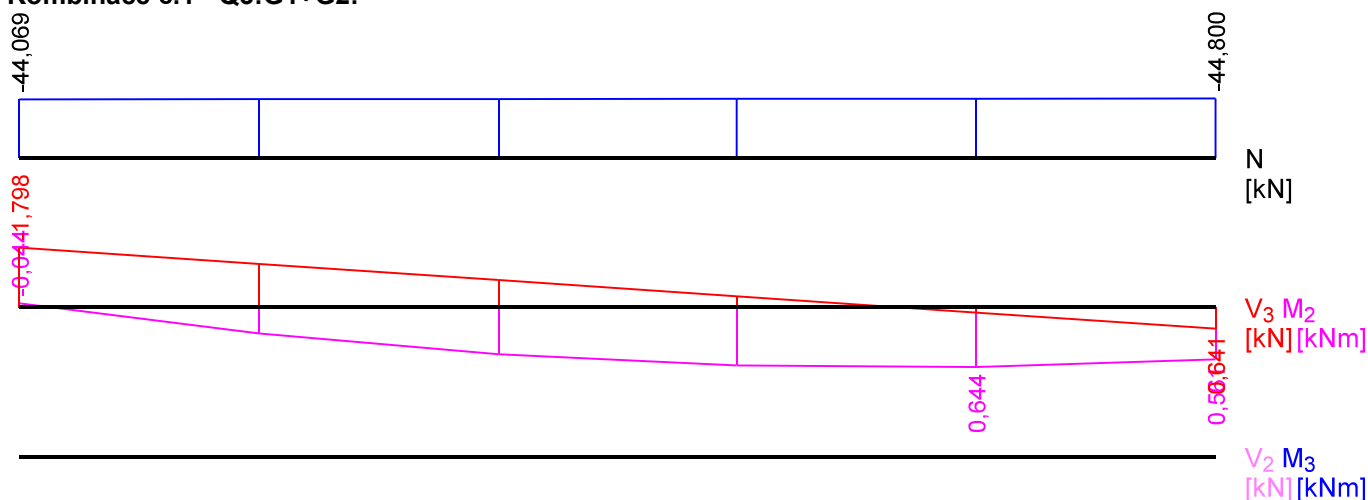
Kombinace č.2 - Q4:G1+G2:

	N[kN]	V ₃ [kN]	M ₂ [kNm]	V ₂ [kN]	M ₃ [kNm]
Max. hodnota	-30,168	0,143	0,425	0,000	0,000
Min. hodnota	-30,473	-0,871	0,036	0,000	0,000

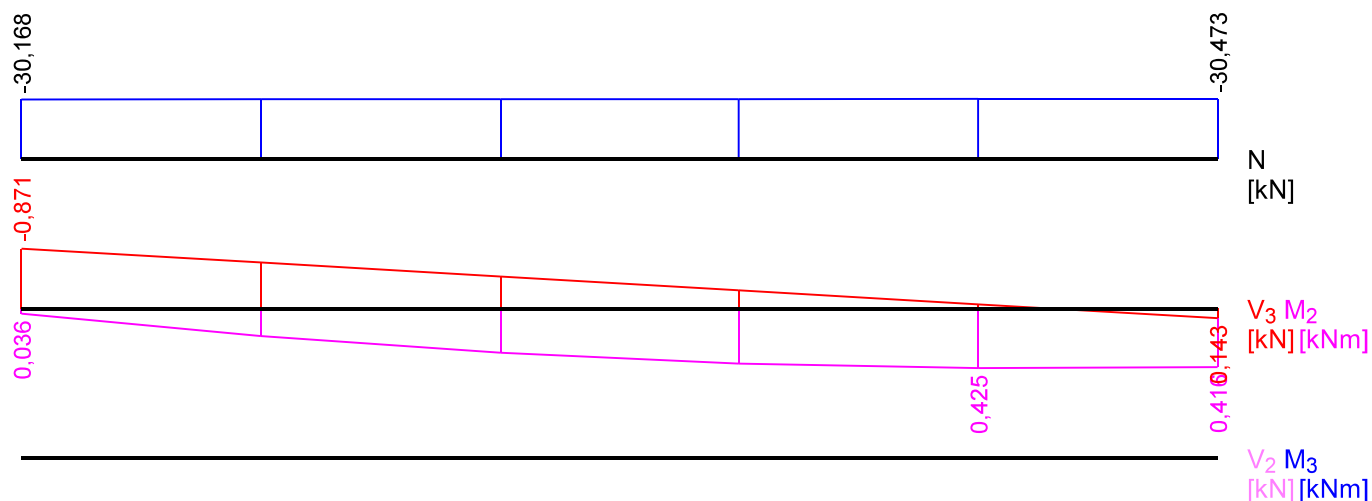
Kombinace č.3 - G1+G2:

	N[kN]	V ₃ [kN]	M ₂ [kNm]	V ₂ [kN]	M ₃ [kNm]
Max. hodnota	-26,557	0,217	0,387	0,000	0,000
Min. hodnota	-26,895	-0,910	0,004	0,000	0,000

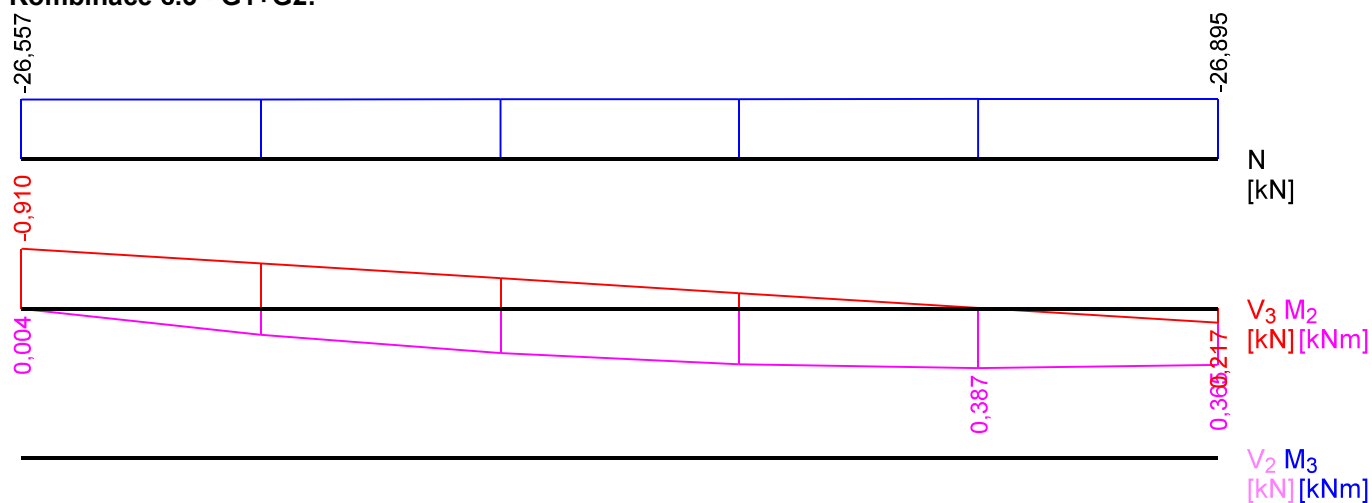
Kombinace č.1 - Q3:G1+G2:



Kombinace č.2 - Q4:G1+G2:



Kombinace č.3 - G1+G2:



19.2 Výsledky

Celkové posouzení

Rozhodující zatěžovací případ: Kombinace č.1 - Q3:G1+G2

Vnitřní síly: $N = -44,654$ kN; $M_y = 0,644$ kNm; $M_z = 0,000$ kNm; $V_z = 0,153$ kN; $V_y = 0,000$ kN

Posudek kombinace tlaku a ohybu:

Únosnosti: $N_R = 193,881$ kN; $M_{y,R} = -2,836$ kNm

$|-0,23 + -0,227 + 0,0| = |-0,457| < 1$ **Vyhovuje**

Posudek smyku od posouvajících sil:

Únosnost: $V_R = 7,916$ kN

$0,019 < 1$ **Vyhovuje**

Štíhlost dílce: 90,4

Průřez vyhovuje

20 20:DD

20.1 Vstupní data

Délka dílce: 1,044 m

Třída provozu: 2

Průřez

Úsek č.	Začátek [m]	Konec [m]	Průřez	Natočení [°]
1	0,000	1,044	obdélník 40x160	0,0

Materiál

Název: C24 - jehličnaté

Druh dřeva: rostlé

Při výpočtu je zohledněn součinitel k_h pro zvětšení pevnosti dřeva v tahu a ohybu.

Vnitřní síly

Celkový počet zatěžovacích případů: 3

Kombinace č.1 - Q3:G1+G2:

	N[kN]	V ₃ [kN]	M ₂ [kNm]	V ₂ [kN]	M ₃ [kNm]
Max. hodnota	-40,544	-0,251	1,397	0,000	0,000
Min. hodnota	-41,235	-2,555	-0,068	0,000	0,000

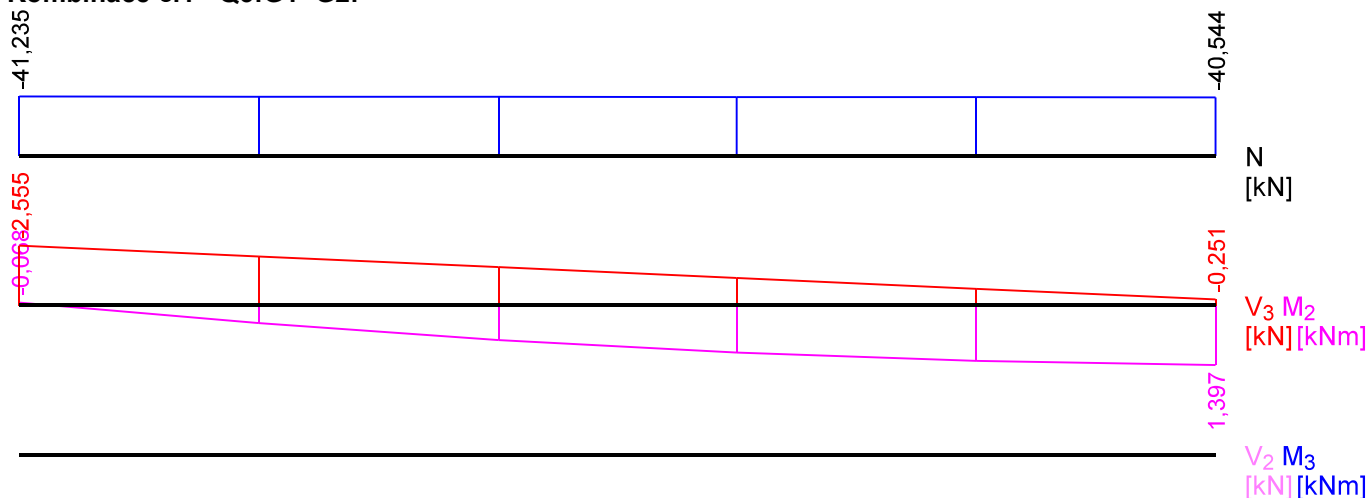
Kombinace č.2 - Q4:G1+G2:

	N[kN]	V ₃ [kN]	M ₂ [kNm]	V ₂ [kN]	M ₃ [kNm]
Max. hodnota	-27,012	-0,514	0,988	0,000	0,000
Min. hodnota	-27,276	-1,393	-0,007	0,000	0,000

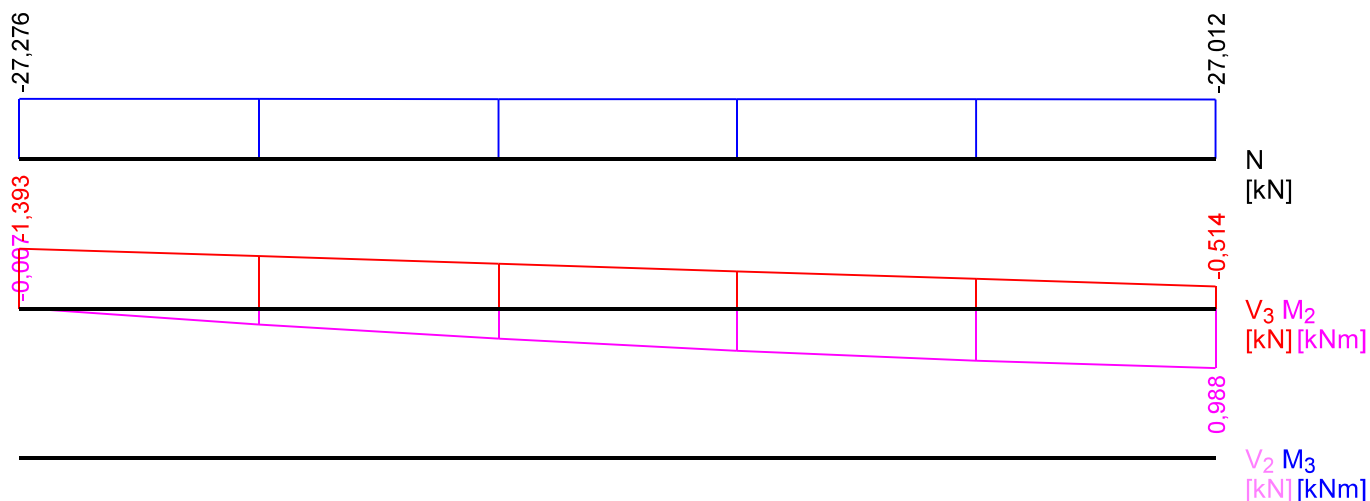
Kombinace č.3 - G1+G2:

	N[kN]	V ₃ [kN]	M ₂ [kNm]	V ₂ [kN]	M ₃ [kNm]
Max. hodnota	-24,321	-0,355	0,871	0,000	0,000
Min. hodnota	-24,614	-1,332	-0,009	0,000	0,000

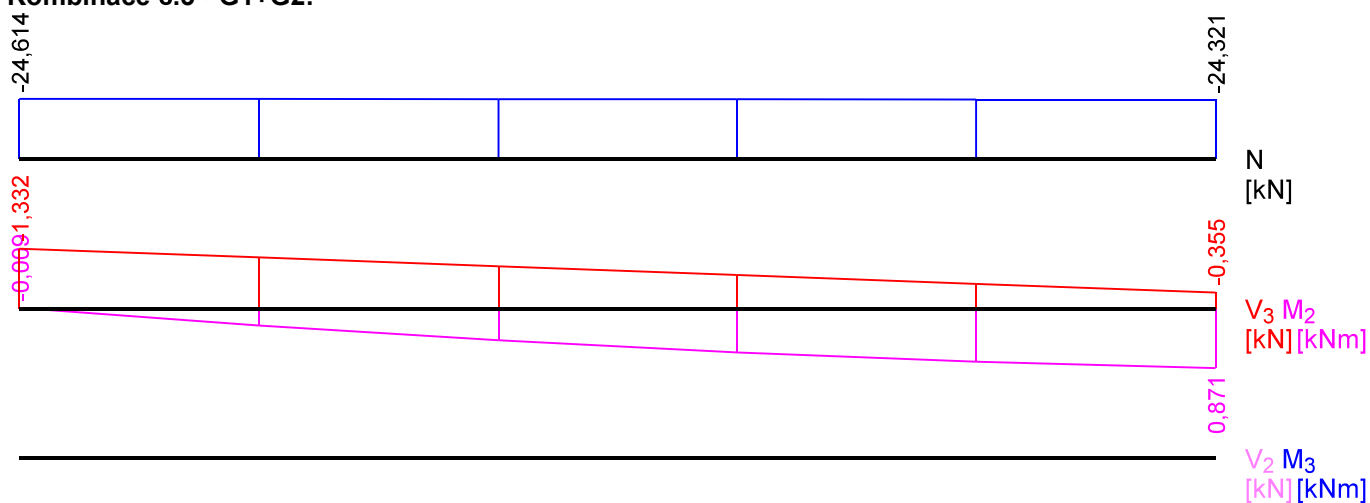
Kombinace č.1 - Q3:G1+G2:



Kombinace č.2 - Q4:G1+G2:



Kombinace č.3 - G1+G2:



20.2 Výsledky

Celkové posouzení

Rozhodující zatěžovací případ: Kombinace č.1 - Q3:G1+G2

Vnitřní síly: $N = -40,544$ kN; $M_y = 1,397$ kNm; $M_z = 0,000$ kNm; $V_z = -0,251$ kN; $V_y = 0,000$ kN

Posudek kombinace tlaku a ohybu:

Únosnosti: $N_R = 213,535$ kN; $M_{y,R} = -2,836$ kNm

$|-0,19 + -0,493 + 0,0| = |-0,683| < 1$ **Vyhovuje**

Posudek smyku od posouvajících sil:

Únosnost: $V_R = 7,916$ kN

$0,032 < 1$ **Vyhovuje**

Štíhlost dílce: 90,4

Průřez vyhovuje

21 21:DD

21.1 Vstupní data

Délka dílce: 0,300 m

Třída provozu: 2

Průřez

Úsek č.	Začátek [m]	Konec [m]	Průřez	Natočení [°]
1	0,000	0,300	obdélník 40x160	0,0

Materiál

Název: C24 - jehličnaté

Druh dřeva: rostlé

Při výpočtu je zohledněn součinitel k_h pro zvětšení pevnosti dřeva v tahu a ohybu.

Vnitřní síly

Celkový počet zatěžovacích případů: 3

Kombinace č.1 - Q3:G1+G2:

	N[kN]	V ₃ [kN]	M ₂ [kNm]	V ₂ [kN]	M ₃ [kNm]
Max. hodnota	-1,646	-2,712	0,183	0,000	0,000
Min. hodnota	-1,653	-2,712	-0,630	0,000	0,000

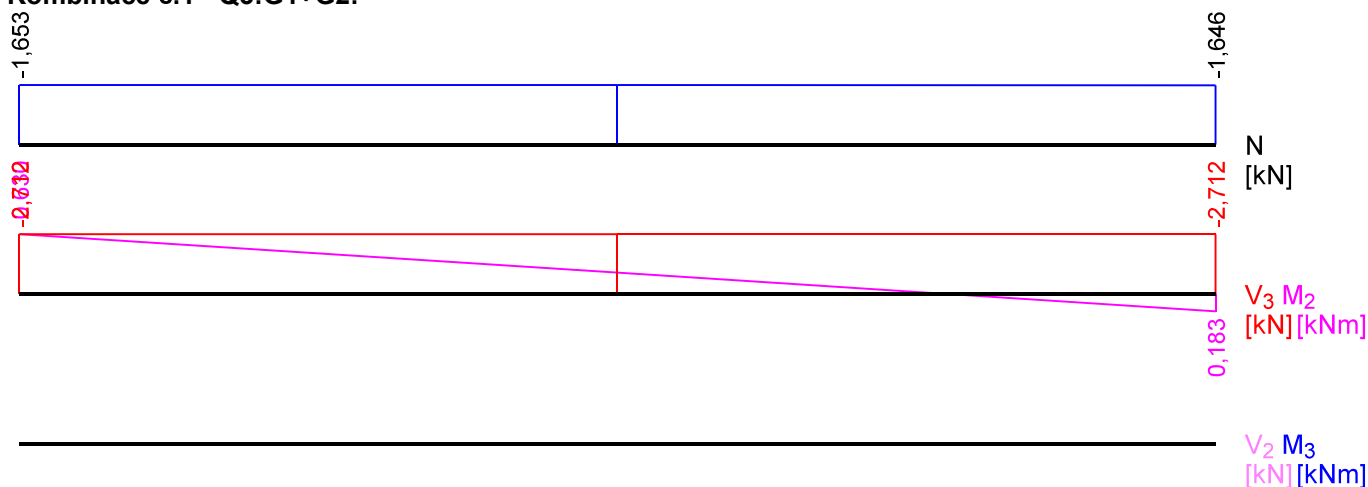
Kombinace č.2 - Q4:G1+G2:

	N[kN]	V ₃ [kN]	M ₂ [kNm]	V ₂ [kN]	M ₃ [kNm]
Max. hodnota	-1,375	-2,236	0,138	0,000	0,000
Min. hodnota	-1,382	-2,236	-0,533	0,000	0,000

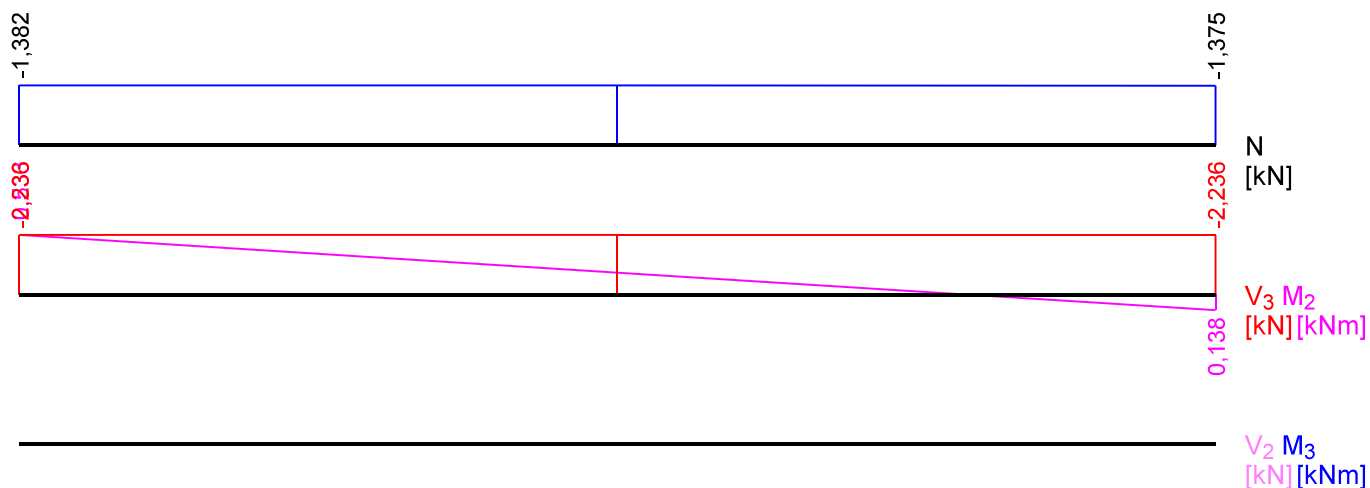
Kombinace č.3 - G1+G2:

	N[kN]	V ₃ [kN]	M ₂ [kNm]	V ₂ [kN]	M ₃ [kNm]
Max. hodnota	-0,697	-1,674	0,116	0,000	0,000
Min. hodnota	-0,705	-1,674	-0,386	0,000	0,000

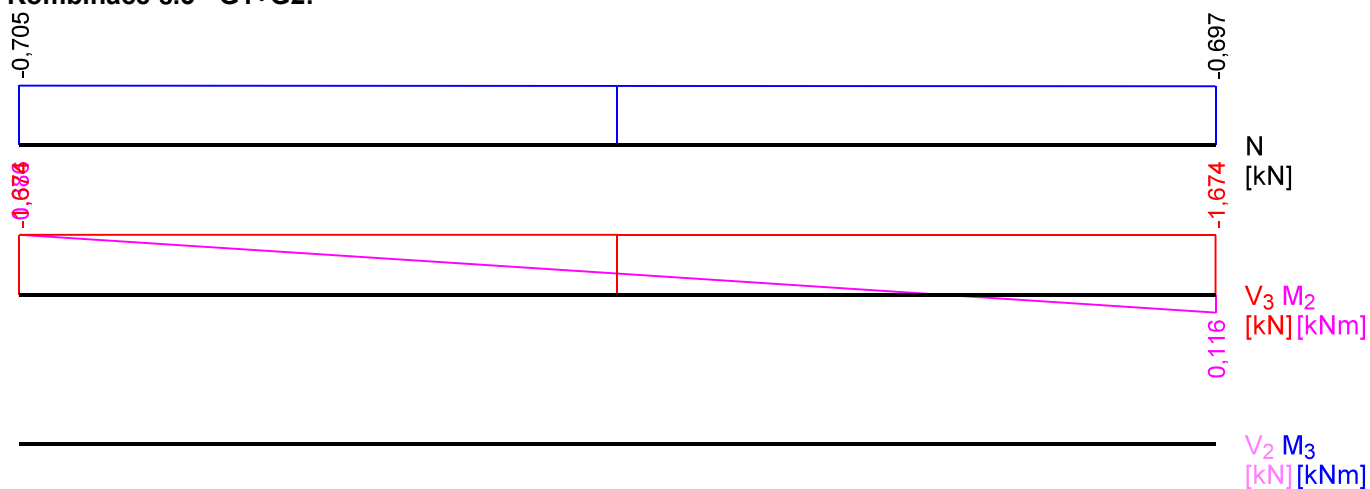
Kombinace č.1 - Q3:G1+G2:



Kombinace č.2 - Q4:G1+G2:



Kombinace č.3 - G1+G2:



21.2 Výsledky

Celkové posouzení

Rozhodující zatěžovací případ: Kombinace č.1 - Q3:G1+G2

Vnitřní síly: $N = -1,653 \text{ kN}$; $M_y = -0,630 \text{ kNm}$; $M_z = 0,000 \text{ kNm}$; $V_z = -2,712 \text{ kN}$; $V_y = 0,000 \text{ kN}$

Posudek kombinace tlaku a ohybu:

Únosnost: $N_R = 5236,284 \text{ kN}$; $M_{y,R} = 2,836 \text{ kNm}$

$|0,0 + -0,222 + 0,0| = |-0,223| < 1$ **Vyhovuje**

Posudek smyku od posouvajících sil:

Únosnost: $V_R = 7,916 \text{ kN}$

$0,343 < 1$ **Vyhovuje**

Štíhlost dílce: 26,0

Průřez vyhovuje

22 22:DD

22.1 Vstupní data

Délka dílce: 1,044 m

Třída provozu: 2

Průřez

Úsek č.	Začátek [m]	Konec [m]	Průřez	Natočení [°]
1	0,000	1,044	obdélník 40x160	0,0

Materiál

Název: C24 - jehličnaté

Druh dřeva: rostlé

Při výpočtu je zohledněn součinitel k_h pro zvětšení pevnosti dřeva v tahu a ohybu.

Vnitřní síly

Celkový počet zatěžovacích případů: 3

Kombinace č.1 - Q3:G1+G2:

	N[kN]	V ₃ [kN]	M ₂ [kNm]	V ₂ [kN]	M ₃ [kNm]
Max. hodnota	1,134	-0,373	0,667	0,000	0,000
Min. hodnota	1,127	-0,398	0,264	0,000	0,000

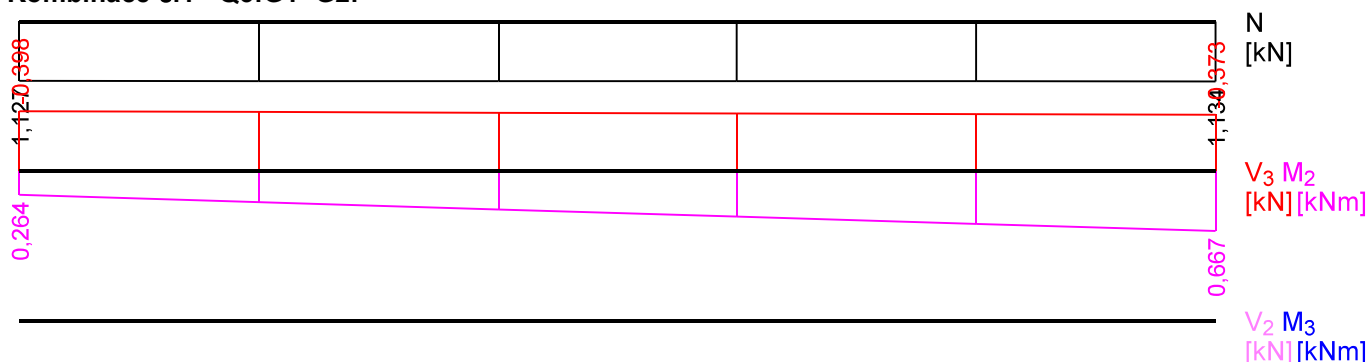
Kombinace č.2 - Q4:G1+G2:

	N[kN]	V ₃ [kN]	M ₂ [kNm]	V ₂ [kN]	M ₃ [kNm]
Max. hodnota	0,421	-0,346	0,595	0,000	0,000
Min. hodnota	0,414	-0,370	0,222	0,000	0,000

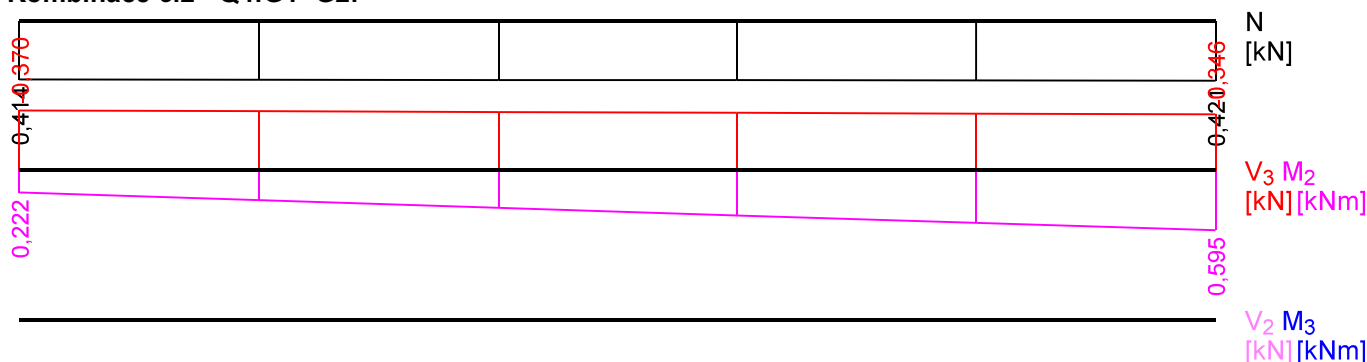
Kombinace č.3 - G1+G2:

	N[kN]	V ₃ [kN]	M ₂ [kNm]	V ₂ [kN]	M ₃ [kNm]
Max. hodnota	0,732	-0,221	0,405	0,000	0,000
Min. hodnota	0,724	-0,248	0,161	0,000	0,000

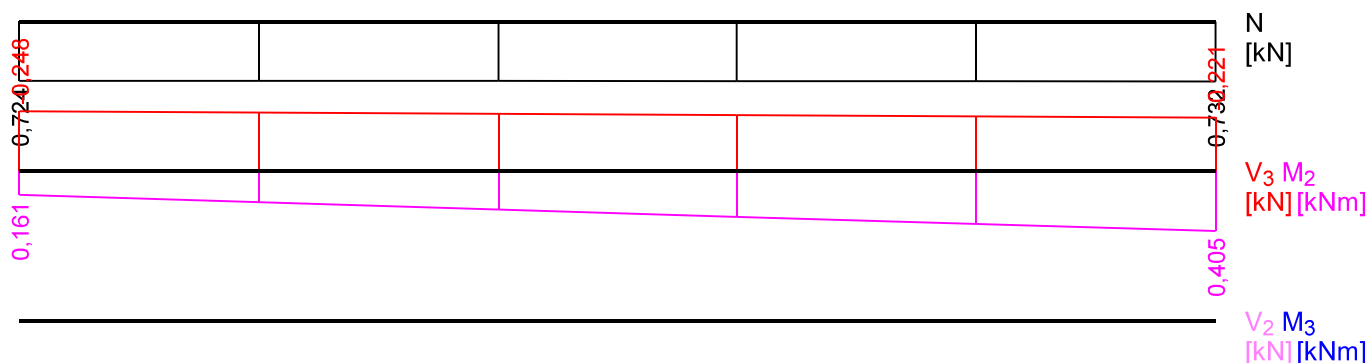
Kombinace č.1 - Q3:G1+G2:



Kombinace č.2 - Q4:G1+G2:



Kombinace č.3 - G1+G2:



22.2 Výsledky

Celkové posouzení

Rozhodující zatěžovací případ: Kombinace č.1 - Q3:G1+G2

Vnitřní síly: $N = 1,134$ kN; $M_y = 0,667$ kNm; $M_z = 0,000$ kNm; $V_z = -0,373$ kN; $V_y = 0,000$ kN

Posudek kombinace tahu a ohybu:

Únosnosti: $N_R = 62,031$ kN; $M_{y,R} = 2,836$ kNm

$0,018 + 0,235 + 0,0 = 0,253 < 1$ **Vyhovuje**

Posudek smyku od posouvajících sil:

Únosnost: $V_R = 7,916$ kN

$0,047 < 1$ **Vyhovuje**

Štíhlost dílce: 90,4

Průřez vyhovuje

23 23:DD

23.1 Vstupní data

Délka dílce: 0,600 m

Třída provozu: 2

Průřez

Úsek č.	Začátek [m]	Konec [m]	Průřez	Natočení [°]
1	0,000	0,600	obdélník 40x160	0,0

Materiál

Název: C24 - jehličnaté

Druh dřeva: rostlé

Při výpočtu je zohledněn součinitel k_h pro zvětšení pevnosti dřeva v tahu a ohybu.

Vnitřní síly

Celkový počet zatěžovacích případů: 3

Kombinace č.1 - Q3:G1+G2:

	N [kN]	V_3 [kN]	M_2 [kNm]	V_2 [kN]	M_3 [kNm]
Max. hodnota	-2,295	1,274	0,361	0,000	0,000
Min. hodnota	-2,309	1,274	-0,403	0,000	0,000

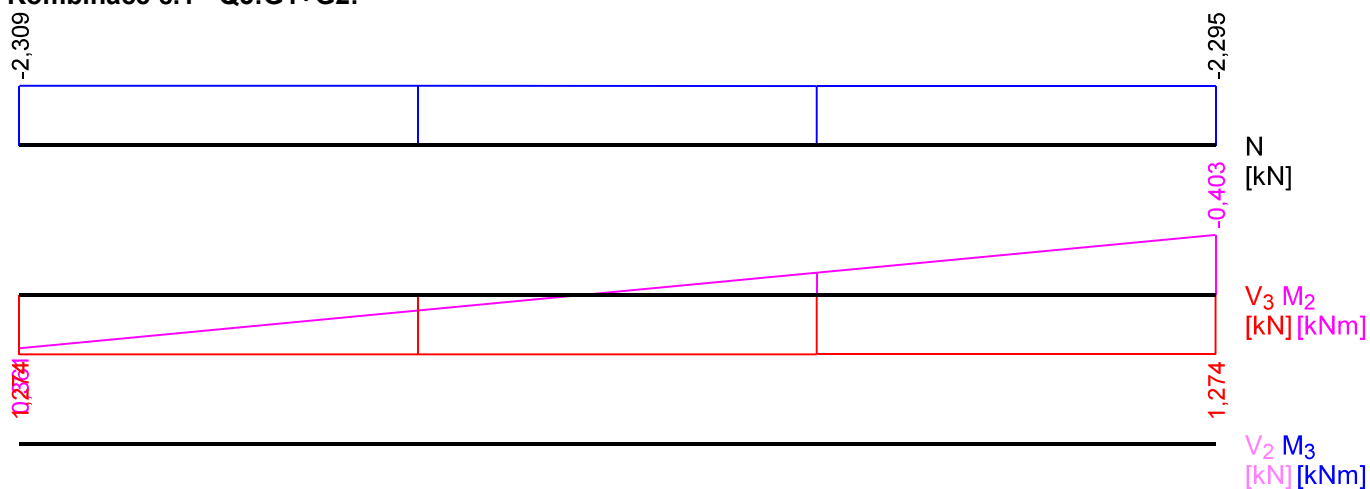
Kombinace č.2 - Q4:G1+G2:

	N [kN]	V_3 [kN]	M_2 [kNm]	V_2 [kN]	M_3 [kNm]
Max. hodnota	-2,310	1,201	0,344	0,000	0,000
Min. hodnota	-2,324	1,201	-0,377	0,000	0,000

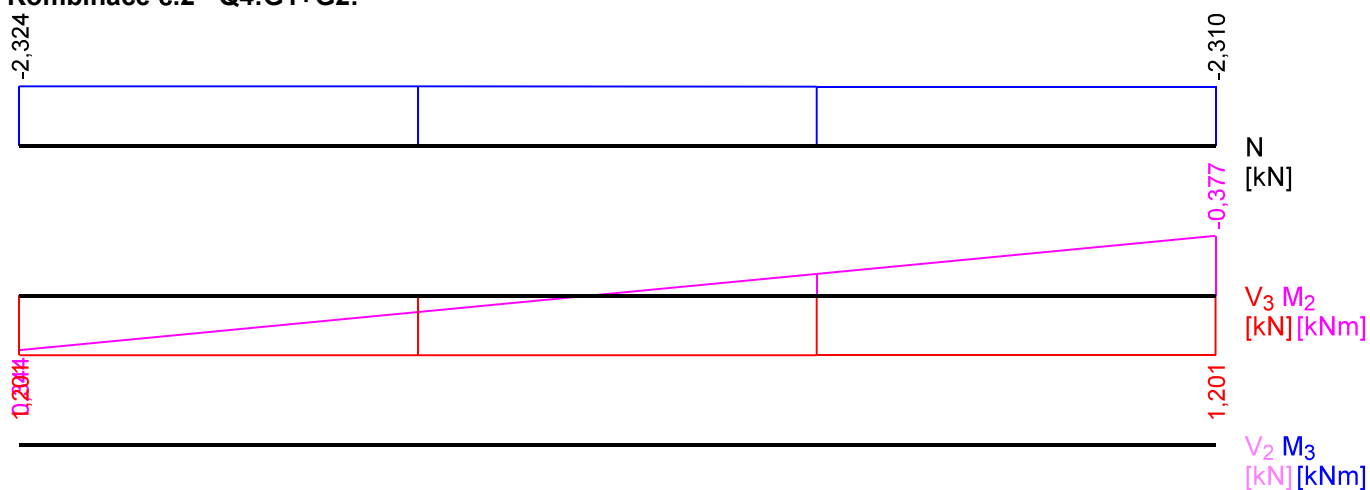
Kombinace č.3 - G1+G2:

	N[kN]	V ₃ [kN]	M ₂ [kNm]	V ₂ [kN]	M ₃ [kNm]
Max. hodnota	-1,101	0,771	0,218	0,000	0,000
Min. hodnota	-1,117	0,771	-0,245	0,000	0,000

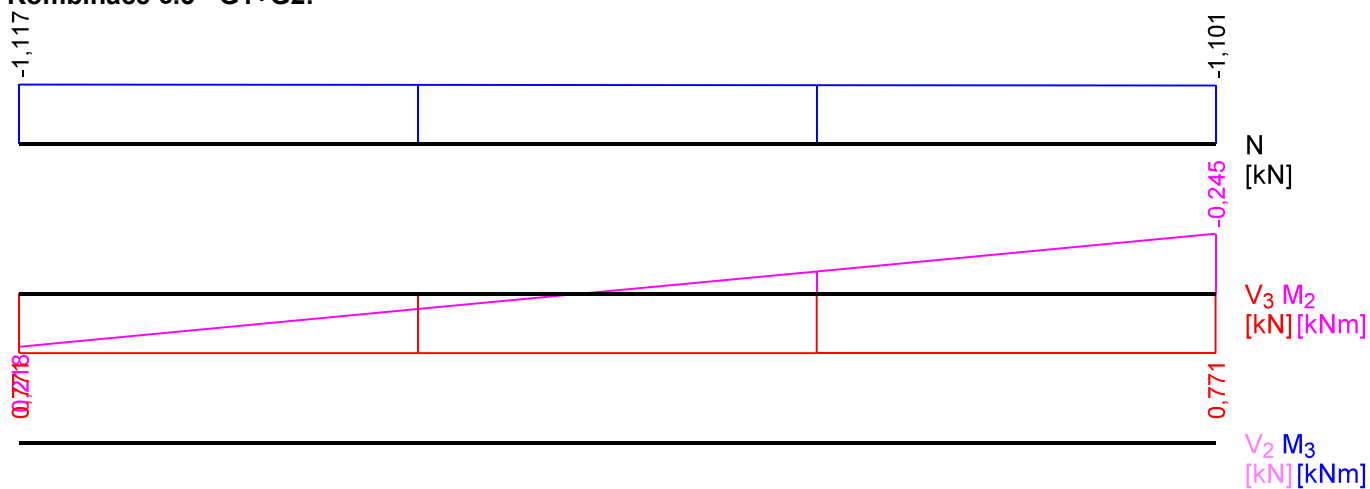
Kombinace č.1 - Q3:G1+G2:



Kombinace č.2 - Q4:G1+G2:



Kombinace č.3 - G1+G2:



23.2 Výsledky

Celkové posouzení

Rozhodující zatěžovací případ: Kombinace č.1 - Q3:G1+G2

Vnitřní síly: $N = -2,309 \text{ kN}$; $M_y = 0,361 \text{ kNm}$; $M_z = 0,000 \text{ kNm}$; $V_z = 1,274 \text{ kN}$; $V_y = 0,000 \text{ kN}$

Posudek kombinace tlaku a ohybu:

Únosnosti: $N_R = 3749,295 \text{ kN}$; $M_{y,R} = -2,836 \text{ kNm}$

$|-0,001 + -0,127 + 0,0| = |-0,128| < 1$ **Vyhovuje**

Posudek smyku od posouvajících sil:

Únosnost: $V_R = 7,916 \text{ kN}$

$0,161 < 1$ **Vyhovuje**

Štíhlost dílce: 52,0

Průřez vyhovuje

24 24:DD

24.1 Vstupní data

Délka dílce: 1,345 m

Třída provozu: 2

Průřez

Úsek č.	Začátek [m]	Konec [m]	Průřez	Natočení [°]
1	0,000	1,345	obdélník 40x160	0,0

Materiál

Název: C24 - jehličnaté

Druh dřeva: rostlé

Při výpočtu je zohledněn součinitel k_h pro zvětšení pevnosti dřeva v tahu a ohybu.

Vnitřní síly

Celkový počet zatěžovacích případů: 3

Kombinace č.1 - Q3:G1+G2:

	$N[\text{kN}]$	$V_3[\text{kN}]$	$M_2[\text{kNm}]$	$V_2[\text{kN}]$	$M_3[\text{kNm}]$
Max. hodnota	4,885	0,150	0,299	0,000	0,000
Min. hodnota	4,863	0,126	0,113	0,000	0,000

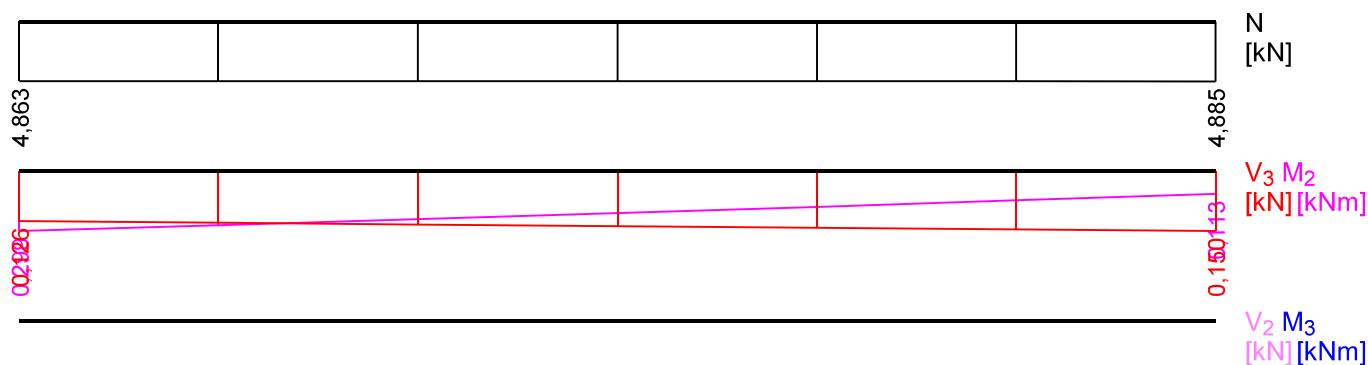
Kombinace č.2 - Q4:G1+G2:

	$N[\text{kN}]$	$V_3[\text{kN}]$	$M_2[\text{kNm}]$	$V_2[\text{kN}]$	$M_3[\text{kNm}]$
Max. hodnota	5,134	0,137	0,260	0,000	0,000
Min. hodnota	5,112	0,112	0,093	0,000	0,000

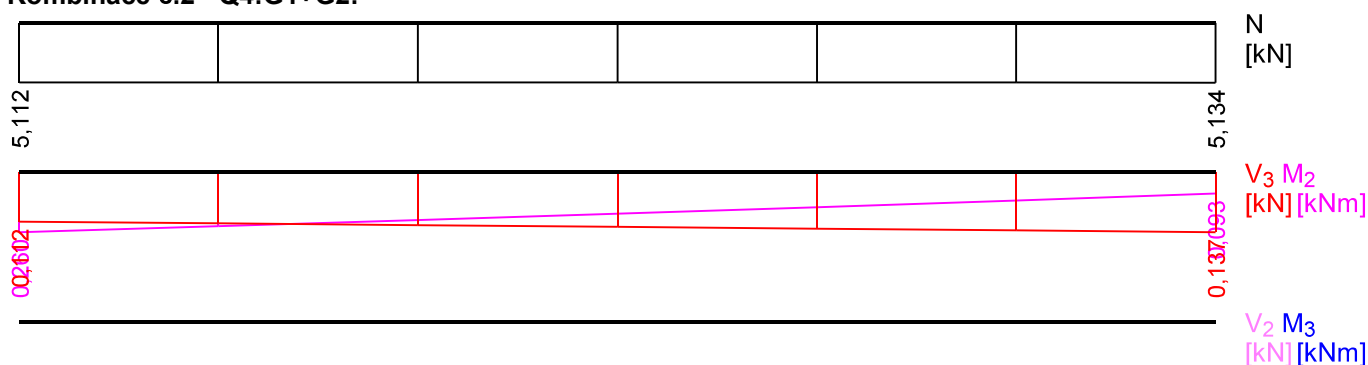
Kombinace č.3 - G1+G2:

	$N[\text{kN}]$	$V_3[\text{kN}]$	$M_2[\text{kNm}]$	$V_2[\text{kN}]$	$M_3[\text{kNm}]$
Max. hodnota	3,013	0,098	0,182	0,000	0,000
Min. hodnota	2,988	0,071	0,068	0,000	0,000

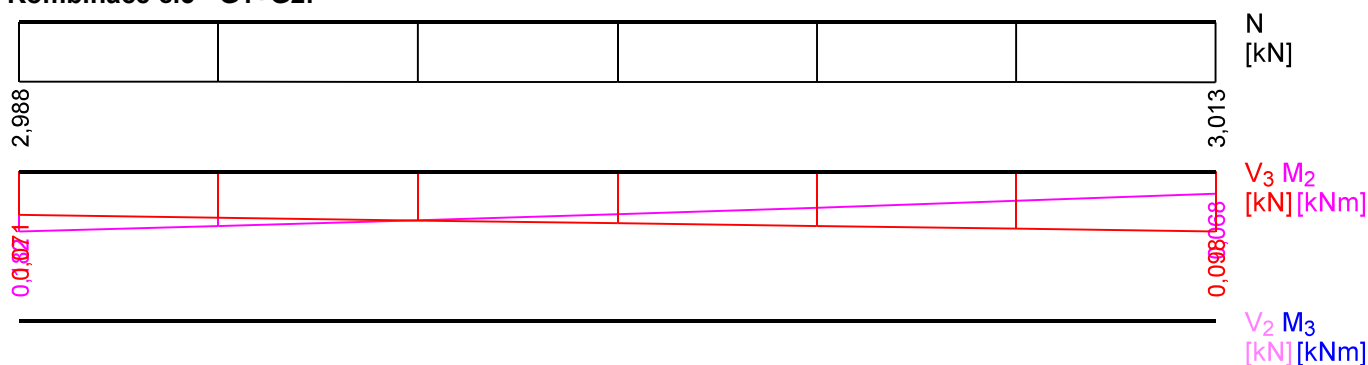
Kombinace č.1 - Q3:G1+G2:



Kombinace č.2 - Q4:G1+G2:



Kombinace č.3 - G1+G2:



24.2 Výsledky

Celkové posouzení

Rozhodující zatěžovací případ: Kombinace č.1 - Q3:G1+G2

Vnitřní síly: $N = 4,863$ kN; $M_y = 0,299$ kNm; $M_z = 0,000$ kNm; $V_z = 0,126$ kN; $V_y = 0,000$ kN

Posudek kombinace tahu a ohybu:

Únosnosti: $N_R = 62,031$ kN; $M_{y,R} = 2,836$ kNm

$0,078 + 0,106 + 0,0 = 0,184 < 1$ **Vyhovuje**

Posudek smyku od posouvajících sil:

Únosnost: $V_R = 7,916$ kN

$0,016 < 1$ **Vyhovuje**

Štíhlost dílce: 116,5

Průřez vyhovuje

25 25:DD

25.1 Vstupní data

Délka dílce: 0,900 m

Třída provozu: 2

Průřez

Úsek č.	Začátek [m]	Konec [m]	Průřez	Natočení [°]
1	0,000	0,900	obdélník 40x160	0,0

Materiál

Název: C24 - jehličnaté

Druh dřeva: rostlé

Při výpočtu je zohledněn součinitel k_h pro zvětšení pevnosti dřeva v tahu a ohybu.

Vnitřní síly

Celkový počet zatěžovacích případů: 3

Kombinace č.1 - Q3:G1+G2:

	N[kN]	V ₃ [kN]	M ₂ [kNm]	V ₂ [kN]	M ₃ [kNm]
Max. hodnota	0,888	0,481	0,200	0,000	0,000
Min. hodnota	0,866	0,481	-0,233	0,000	0,000

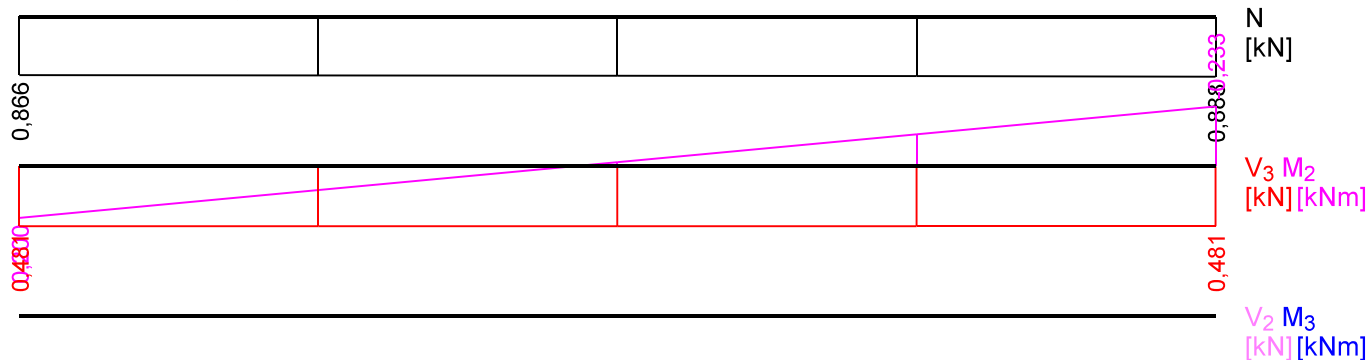
Kombinace č.2 - Q4:G1+G2:

	N[kN]	V ₃ [kN]	M ₂ [kNm]	V ₂ [kN]	M ₃ [kNm]
Max. hodnota	0,858	0,458	0,193	0,000	0,000
Min. hodnota	0,836	0,458	-0,219	0,000	0,000

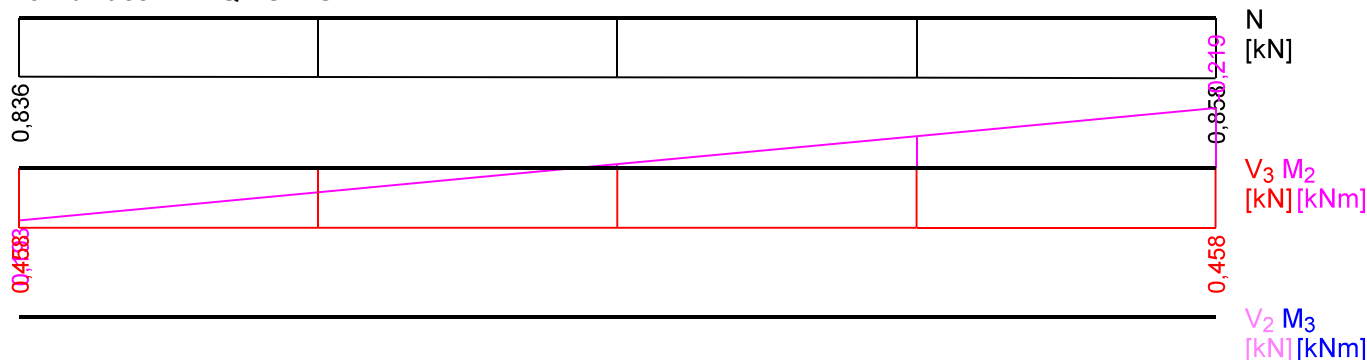
Kombinace č.3 - G1+G2:

	N[kN]	V ₃ [kN]	M ₂ [kNm]	V ₂ [kN]	M ₃ [kNm]
Max. hodnota	0,846	0,296	0,123	0,000	0,000
Min. hodnota	0,822	0,296	-0,143	0,000	0,000

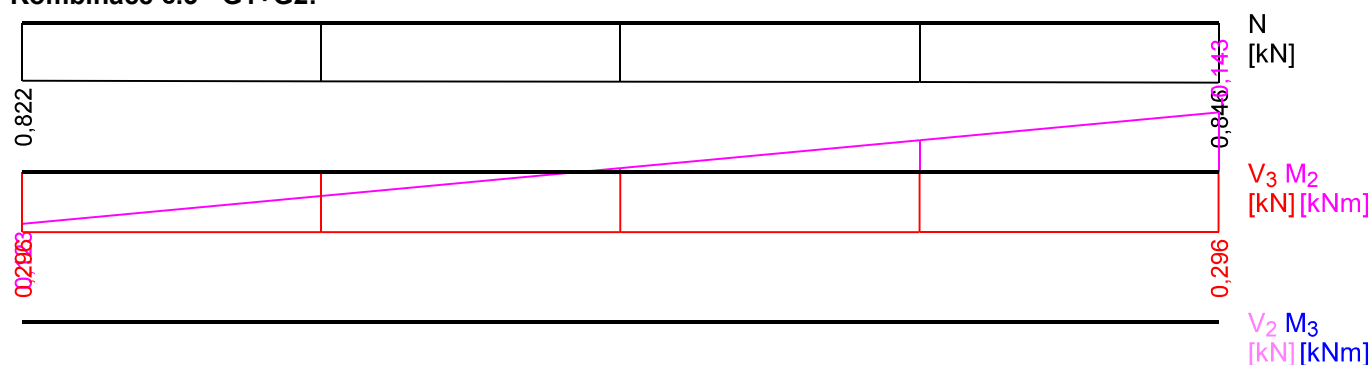
Kombinace č.1 - Q3:G1+G2:



Kombinace č.2 - Q4:G1+G2:



Kombinace č.3 - G1+G2:



25.2 Výsledky

Celkové posouzení

Rozhodující zatěžovací případ: Kombinace č.1 - Q3:G1+G2

Vnitřní síly: $N = 0,888$ kN; $M_y = -0,233$ kNm; $M_z = 0,000$ kNm; $V_z = 0,481$ kN; $V_y = 0,000$ kN

Posudek kombinace tahu a ohybu:

Únosnosti: $N_R = 62,031$ kN; $M_{y,R} = -2,836$ kNm

$0,014 + 0,082 + 0,0 = 0,096 < 1$ **Vyhovuje**

Posudek smyku od posouvajících sil:

Únosnost: $V_R = 7,916$ kN

$0,061 < 1$ **Vyhovuje**

Štíhlost dílce: 77,9

Průřez vyhovuje

26 26:DD

26.1 Vstupní data

Délka dílce: 1,345 m

Třída provozu: 2

Průřez

Úsek č.	Začátek [m]	Konec [m]	Průřez	Natočení [°]
1	0,000	1,345	obdélník 40x160	0,0

Materiál

Název: C24 - jehličnaté

Druh dřeva: rostlé

Při výpočtu je zohledněn součinitel k_h pro zvětšení pevnosti dřeva v tahu a ohybu.

Vnitřní síly

Celkový počet zatěžovacích případů: 3

Kombinace č.1 - Q3:G1+G2:

	N [kN]	V_3 [kN]	M_2 [kNm]	V_2 [kN]	M_3 [kNm]
Max. hodnota	-7,104	0,067	0,147	0,000	0,000
Min. hodnota	-7,126	0,043	0,073	0,000	0,000

Kombinace č.2 - Q4:G1+G2:

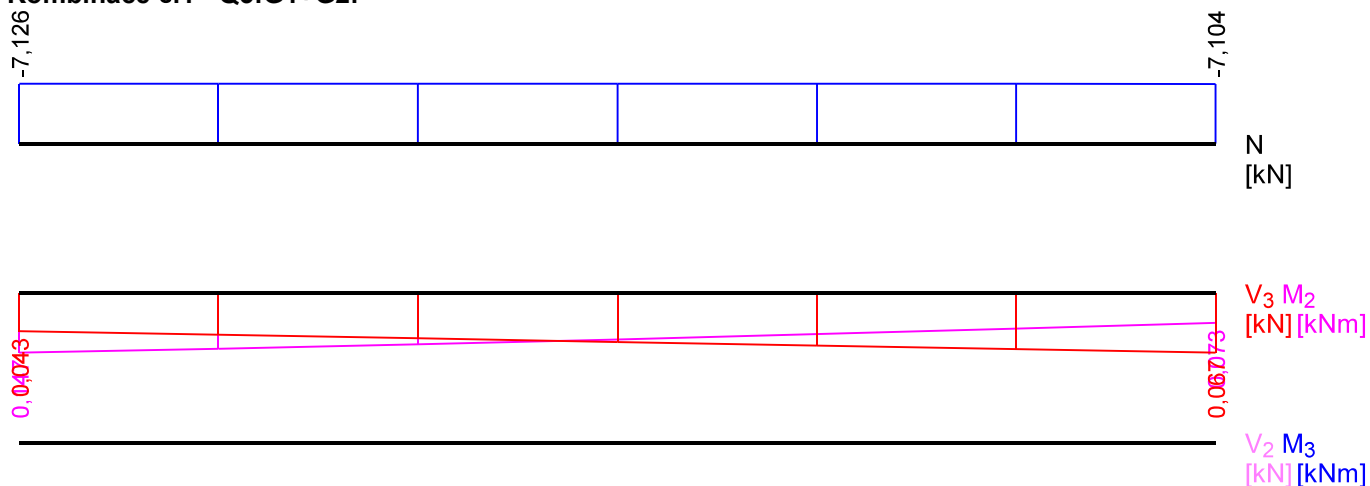
	N [kN]	V_3 [kN]	M_2 [kNm]	V_2 [kN]	M_3 [kNm]
Max. hodnota	-7,136	0,060	0,123	0,000	0,000

	N[kN]	V ₃ [kN]	M ₂ [kNm]	V ₂ [kN]	M ₃ [kNm]
Min. hodnota	-7,157	0,036	0,059	0,000	0,000

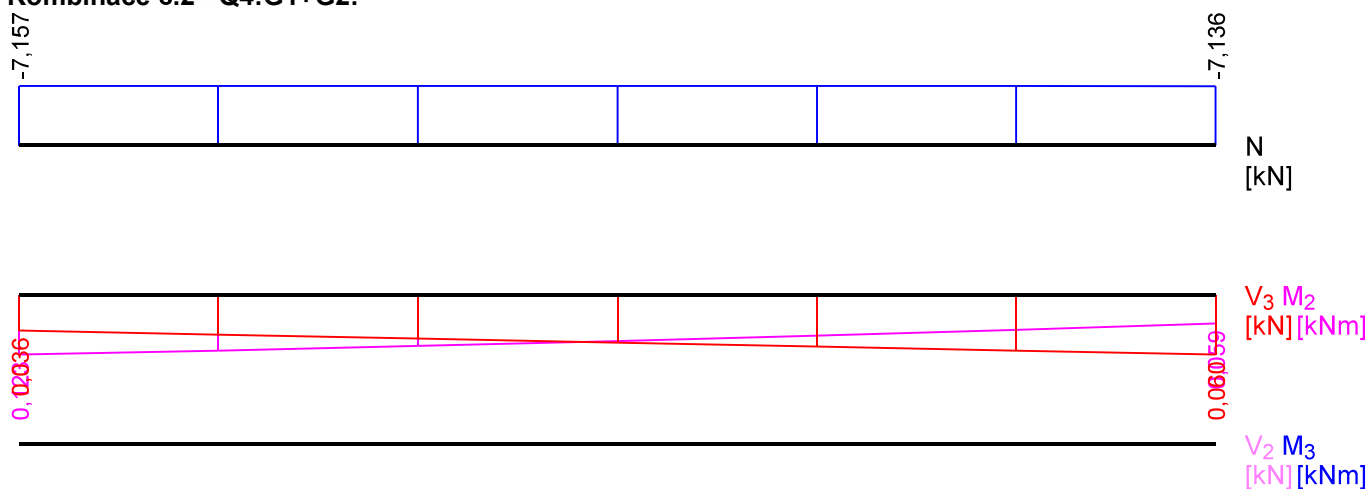
Kombinace č.3 - G1+G2:

	N[kN]	V ₃ [kN]	M ₂ [kNm]	V ₂ [kN]	M ₃ [kNm]
Max. hodnota	-4,345	0,047	0,088	0,000	0,000
Min. hodnota	-4,370	0,020	0,043	0,000	0,000

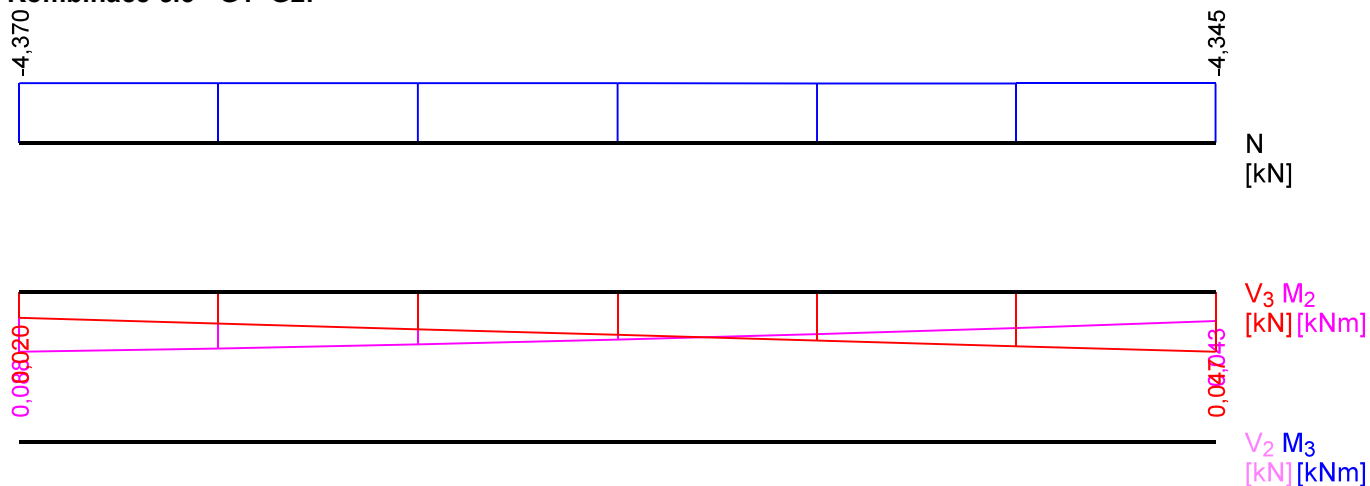
Kombinace č.1 - Q3:G1+G2:



Kombinace č.2 - Q4:G1+G2:



Kombinace č.3 - G1+G2:



26.2 Výsledky

Celkové posouzení

Rozhodující zatěžovací případ: Kombinace č.1 - Q3:G1+G2

Vnitřní síly: $N = -7,126 \text{ kN}$; $M_y = 0,147 \text{ kNm}$; $M_z = 0,000 \text{ kNm}$; $V_z = 0,043 \text{ kN}$; $V_y = 0,000 \text{ kN}$

Posudek kombinace tlaku a ohybu:

Únosnosti: $N_R = 1214,982 \text{ kN}$; $M_{y,R} = -2,836 \text{ kNm}$

$|-0,006 + -0,052 + 0,0| = |-0,058| < 1$ **Vyhovuje**

Posudek smyku od posouvajících sil:

Únosnost: $V_R = 7,916 \text{ kN}$

$0,005 < 1$ **Vyhovuje**

Štíhlost dílce: 116,5

Průřez vyhovuje

27 27:DD

27.1 Vstupní data

Délka dílce: 1,200 m

Třída provozu: 2

Průřez

Úsek č.	Začátek [m]	Konec [m]	Průřez	Natočení [°]
1	0,000	1,200	obdélník 40x160	0,0

Materiál

Název: C24 - jehličnaté

Druh dřeva: rostlé

Při výpočtu je zohledněn součinitel k_h pro zvětšení pevnosti dřeva v tahu a ohybu.

Vnitřní síly

Celkový počet zatěžovacích případů: 3

Kombinace č.1 - Q3:G1+G2:

	$N[\text{kN}]$	$V_3[\text{kN}]$	$M_2[\text{kNm}]$	$V_2[\text{kN}]$	$M_3[\text{kNm}]$
Max. hodnota	-2,031	0,359	0,191	0,000	0,000
Min. hodnota	-2,060	0,359	-0,240	0,000	0,000

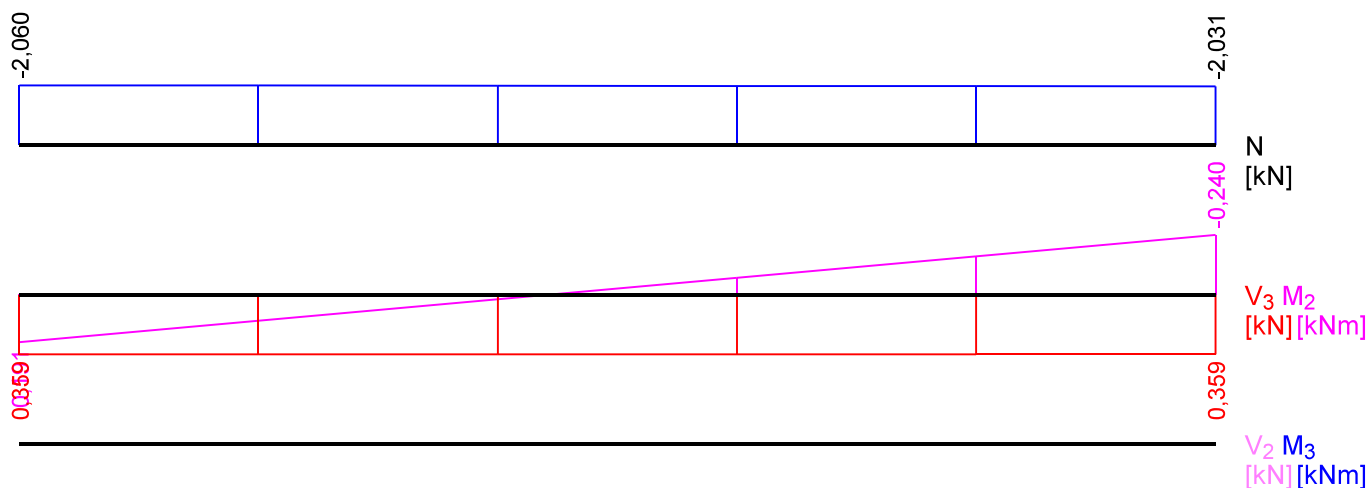
Kombinace č.2 - Q4:G1+G2:

	$N[\text{kN}]$	$V_3[\text{kN}]$	$M_2[\text{kNm}]$	$V_2[\text{kN}]$	$M_3[\text{kNm}]$
Max. hodnota	-2,150	0,326	0,176	0,000	0,000
Min. hodnota	-2,179	0,326	-0,215	0,000	0,000

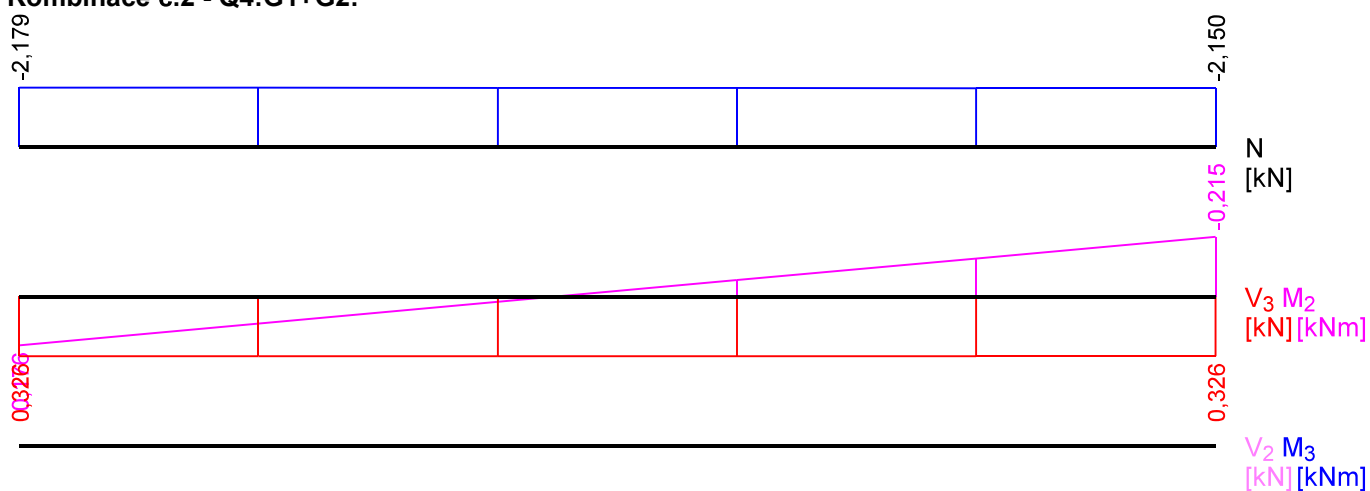
Kombinace č.3 - G1+G2:

	$N[\text{kN}]$	$V_3[\text{kN}]$	$M_2[\text{kNm}]$	$V_2[\text{kN}]$	$M_3[\text{kNm}]$
Max. hodnota	-0,949	0,218	0,116	0,000	0,000
Min. hodnota	-0,981	0,218	-0,146	0,000	0,000

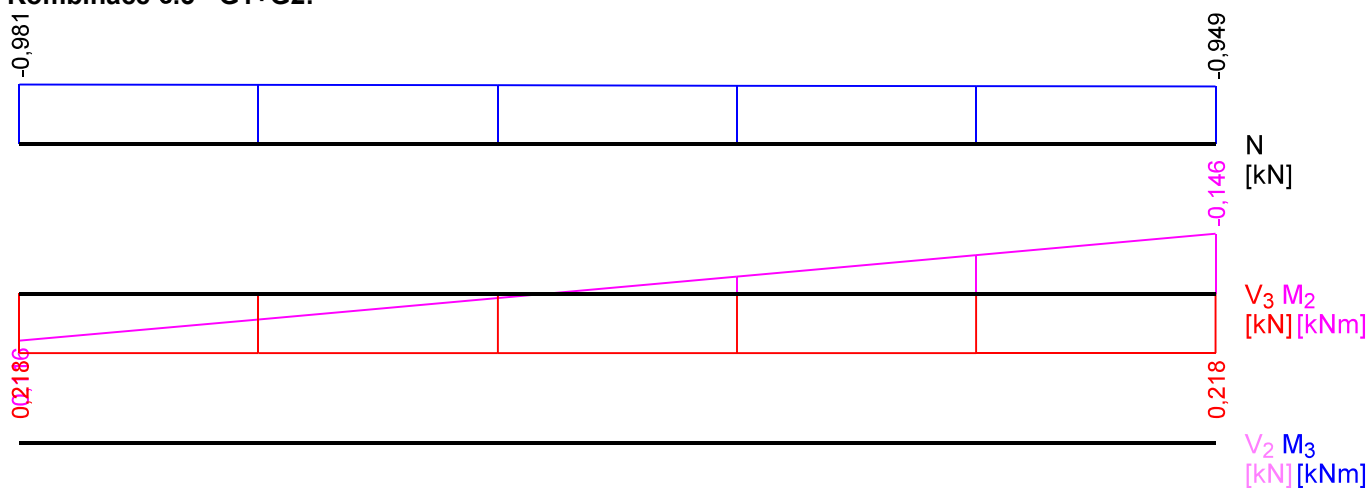
Kombinace č.1 - Q3:G1+G2:



Kombinace č.2 - Q4:G1+G2:



Kombinace č.3 - G1+G2:



27.2 Výsledky

Celkové posouzení

Rozhodující zatěžovací případ: Kombinace č.1 - Q3:G1+G2

Vnitřní síly: $N = -2,031$ kN; $M_y = -0,240$ kNm; $M_z = 0,000$ kNm; $V_z = 0,359$ kN; $V_y = 0,000$ kN

Posudek kombinace tlaku a ohybu:

Únosnosti: $N_R = 4262,225$ kN; $M_{y,R} = 2,836$ kNm

$|0,0 + -0,085 + 0,0| = |-0,085| < 1$ **Vyhovuje**

Posudek smyku od posouvajících sil:

Únosnost: $V_R = 7,916$ kN

$0,045 < 1$ **Vyhovuje**

Štíhlost dílce: 103,9

Průřez vyhovuje

28 28:DD

28.1 Vstupní data

Délka dílce: 1,803 m

Třída provozu: 2

Průřez

Úsek č.	Začátek [m]	Konec [m]	Průřez	Natočení [°]
1	0,000	1,803	obdélník 40x160	0,0

Materiál

Název: C24 - jehličnaté

Druh dřeva: rostlé

Při výpočtu je zohledněn součinitel k_h pro zvětšení pevnosti dřeva v tahu a ohybu.

Vnitřní síly

Celkový počet zatěžovacích případů: 3

Kombinace č.1 - Q3:G1+G2:

	N[kN]	V ₃ [kN]	M ₂ [kNm]	V ₂ [kN]	M ₃ [kNm]
Max. hodnota	8,557	0,070	0,098	0,000	0,000
Min. hodnota	8,520	0,046	-0,006	0,000	0,000

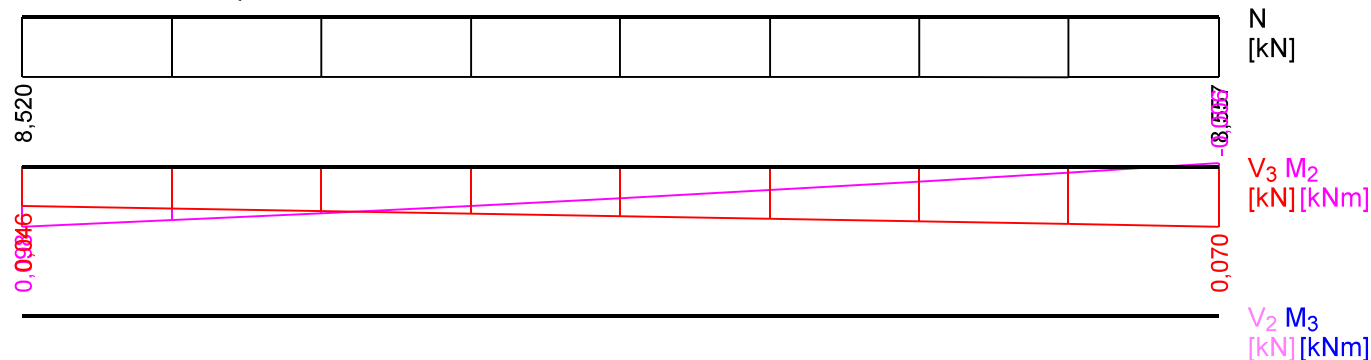
Kombinace č.2 - Q4:G1+G2:

	N[kN]	V ₃ [kN]	M ₂ [kNm]	V ₂ [kN]	M ₃ [kNm]
Max. hodnota	8,803	0,034	0,065	0,000	0,000
Min. hodnota	8,767	0,009	0,026	0,000	0,000

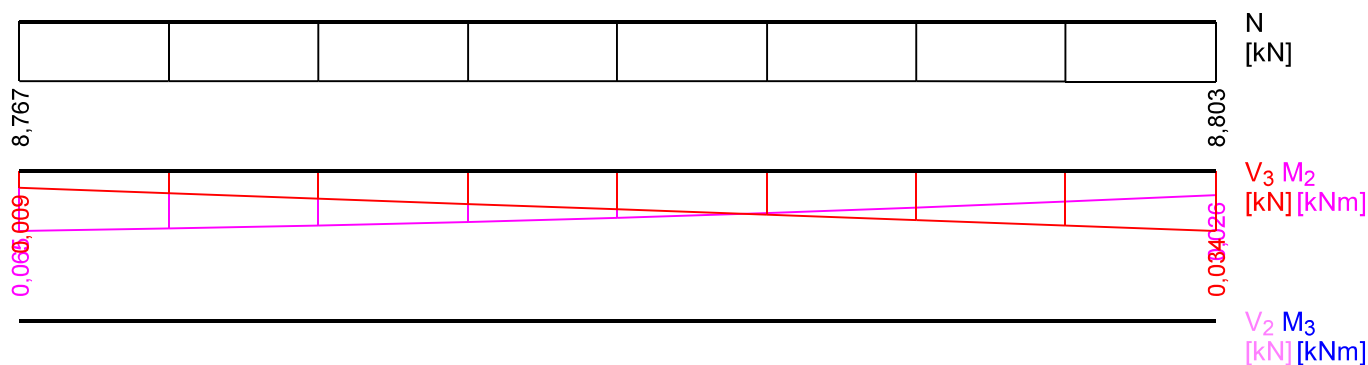
Kombinace č.3 - G1+G2:

	N[kN]	V ₃ [kN]	M ₂ [kNm]	V ₂ [kN]	M ₃ [kNm]
Max. hodnota	5,319	0,048	0,058	0,000	0,000
Min. hodnota	5,279	0,021	-0,004	0,000	0,000

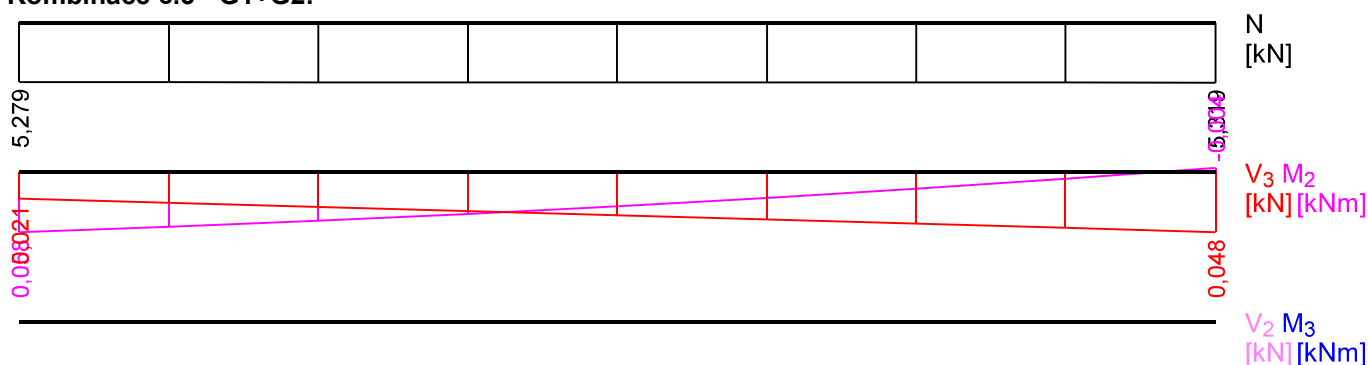
Kombinace č.1 - Q3:G1+G2:



Kombinace č.2 - Q4:G1+G2:



Kombinace č.3 - G1+G2:



28.2 Výsledky

Celkové posouzení

Rozhodující zatěžovací případ: Kombinace č.1 - Q3:G1+G2

Vnitřní síly: $N = 8,520 \text{ kN}$; $M_y = 0,098 \text{ kNm}$; $M_z = 0,000 \text{ kNm}$; $V_z = 0,046 \text{ kN}$; $V_y = 0,000 \text{ kN}$

Posudek kombinace tahu a ohybu:

Únosnosti: $N_R = 62,031 \text{ kN}$; $M_{y,R} = 2,836 \text{ kNm}$

$0,137 + 0,035 + 0,0 = 0,172 < 1$ **Vyhovuje**

Posudek smyku od posouvajících sil:

Únosnost: $V_R = 7,916 \text{ kN}$

$0,006 < 1$ **Vyhovuje**

Štíhlost dílce: 156,1

Průřez vyhovuje

29 29:DD

29.1 Vstupní data

Délka dílce: 1,500 m

Třída provozu: 2

Průřez

Úsek č.	Začátek [m]	Konec [m]	Průřez	Natočení [°]
1	0,000	1,500	obdélník 40x160	0,0

Materiál

Název: C24 - jehličnaté

Druh dřeva: rostlé

Při výpočtu je zohledněn součinitel k_h pro zvětšení pevnosti dřeva v tahu a ohybu.

Vnitřní síly

Celkový počet zatěžovacích případů: 3

Kombinace č.1 - Q3:G1+G2:

	N[kN]	V ₃ [kN]	M ₂ [kNm]	V ₂ [kN]	M ₃ [kNm]
Max. hodnota	1,557	0,007	0,005	0,000	0,000
Min. hodnota	1,521	0,007	-0,006	0,000	0,000

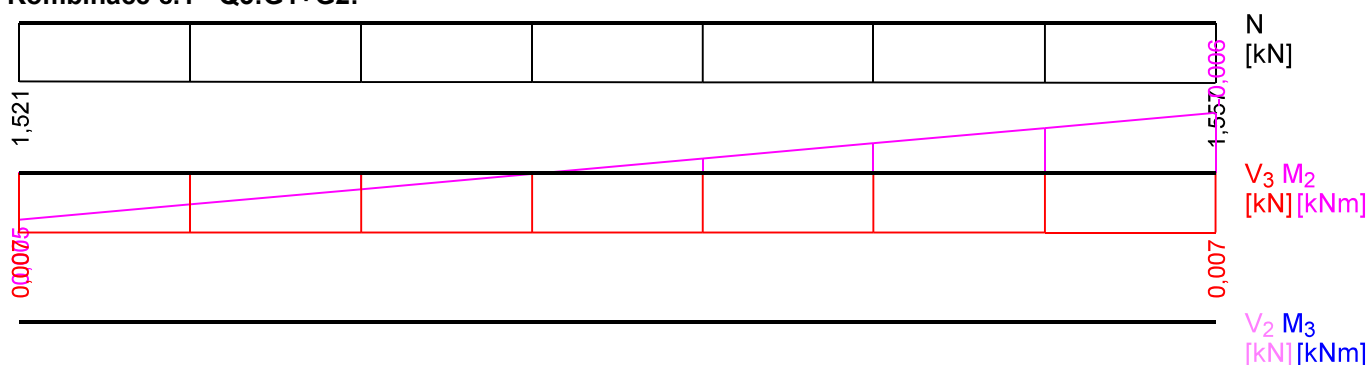
Kombinace č.2 - Q4:G1+G2:

	N[kN]	V ₃ [kN]	M ₂ [kNm]	V ₂ [kN]	M ₃ [kNm]
Max. hodnota	1,342	0,079	0,053	0,000	0,000
Min. hodnota	1,305	0,079	-0,067	0,000	0,000

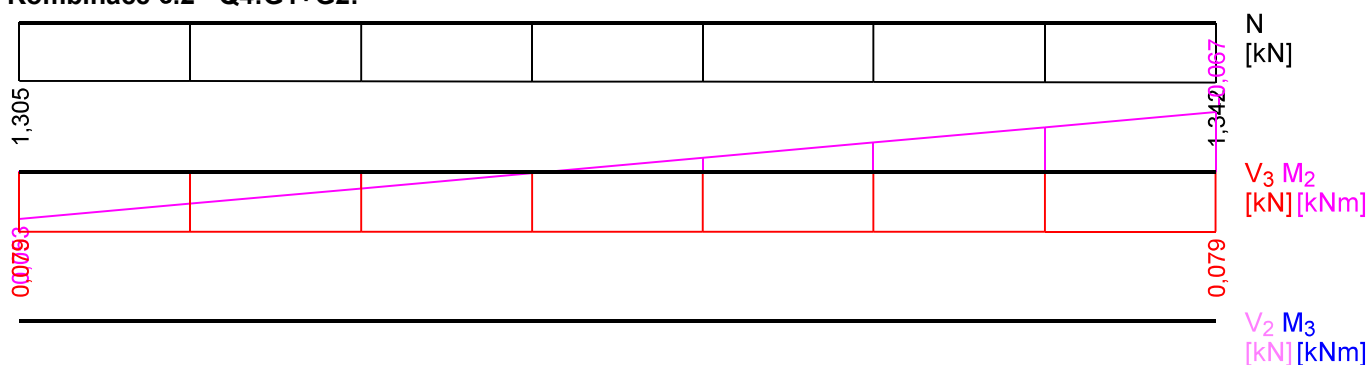
Kombinace č.3 - G1+G2:

	N[kN]	V ₃ [kN]	M ₂ [kNm]	V ₂ [kN]	M ₃ [kNm]
Max. hodnota	1,252	0,008	0,005	0,000	0,000
Min. hodnota	1,211	0,008	-0,006	0,000	0,000

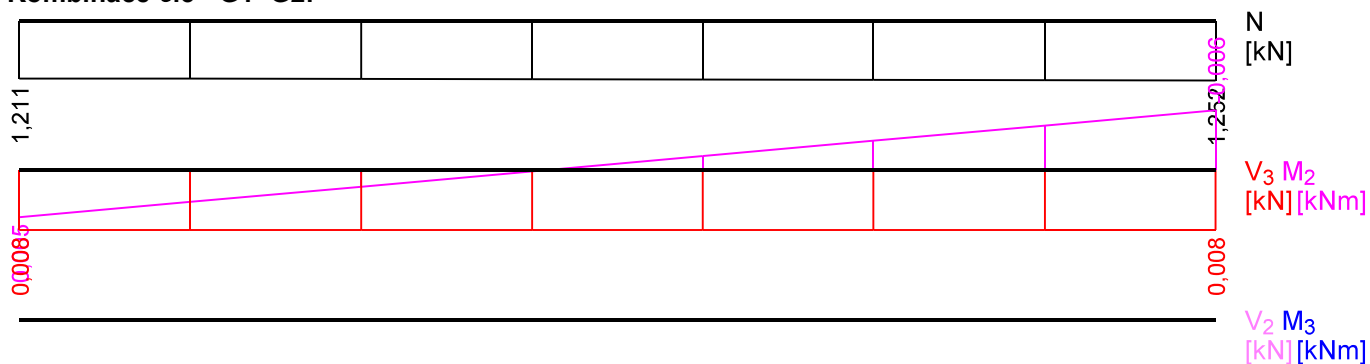
Kombinace č.1 - Q3:G1+G2:



Kombinace č.2 - Q4:G1+G2:



Kombinace č.3 - G1+G2:



29.2 Výsledky

Celkové posouzení

Rozhodující zatěžovací případ: Kombinace č.2 - Q4:G1+G2

Vnitřní síly: $N = 1,342 \text{ kN}$; $M_y = -0,067 \text{ kNm}$; $M_z = 0,000 \text{ kNm}$; $V_z = 0,079 \text{ kN}$; $V_y = 0,000 \text{ kN}$

Posudek kombinace tahu a ohybu:

Únosnosti: $N_R = 62,031 \text{ kN}$; $M_{y,R} = -2,836 \text{ kNm}$

$0,022 + 0,024 + 0,0 = 0,045 < 1$ **Vyhovuje**

Posudek smyku od posouvajících sil:

Únosnost: $V_R = 7,916 \text{ kN}$

$0,01 < 1$ **Vyhovuje**

Štíhlost dílce: 129,9

Průřez vyhovuje

30 30:DD

30.1 Vstupní data

Délka dílce: 1,803 m

Třída provozu: 2

Průřez

Úsek č.	Začátek [m]	Konec [m]	Průřez	Natočení [°]
1	0,000	1,803	obdélník 40x160	0,0

Materiál

Název: C24 - jehličnaté

Druh dřeva: rostlé

Při výpočtu je zohledněn součinitel k_h pro zvětšení pevnosti dřeva v tahu a ohybu.

Vnitřní síly

Celkový počet zatěžovacích případů: 3

Kombinace č.1 - Q3:G1+G2:

	$N[\text{kN}]$	$V_3[\text{kN}]$	$M_2[\text{kNm}]$	$V_2[\text{kN}]$	$M_3[\text{kNm}]$
Max. hodnota	8,153	0,074	0,100	0,000	0,000
Min. hodnota	8,117	0,050	-0,012	0,000	0,000

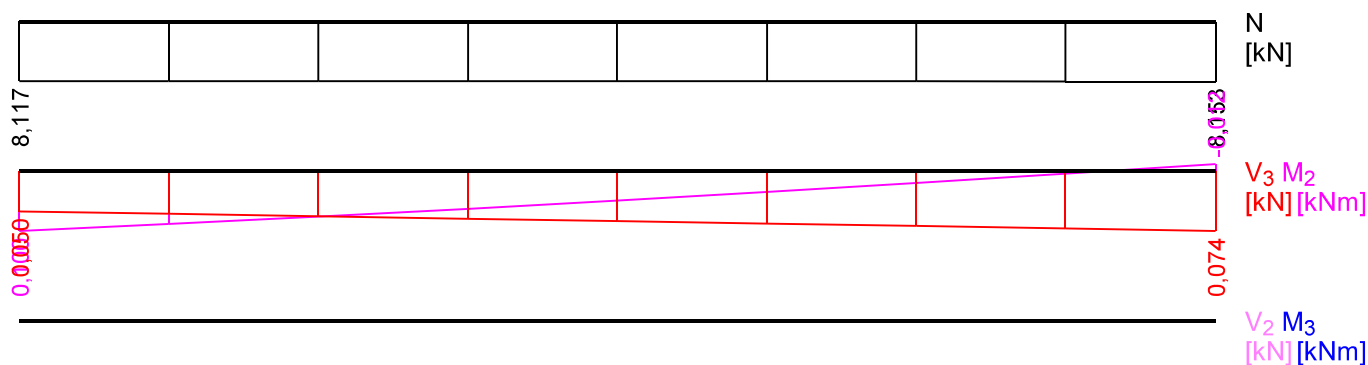
Kombinace č.2 - Q4:G1+G2:

	$N[\text{kN}]$	$V_3[\text{kN}]$	$M_2[\text{kNm}]$	$V_2[\text{kN}]$	$M_3[\text{kNm}]$
Max. hodnota	4,137	0,084	0,087	0,000	0,000
Min. hodnota	4,101	0,059	-0,042	0,000	0,000

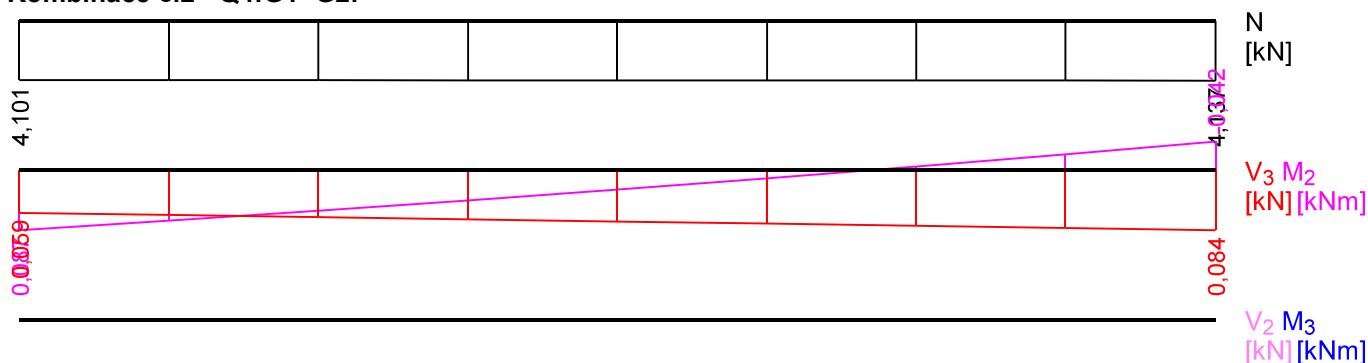
Kombinace č.3 - G1+G2:

	$N[\text{kN}]$	$V_3[\text{kN}]$	$M_2[\text{kNm}]$	$V_2[\text{kN}]$	$M_3[\text{kNm}]$
Max. hodnota	4,871	0,053	0,060	0,000	0,000
Min. hodnota	4,831	0,026	-0,011	0,000	0,000

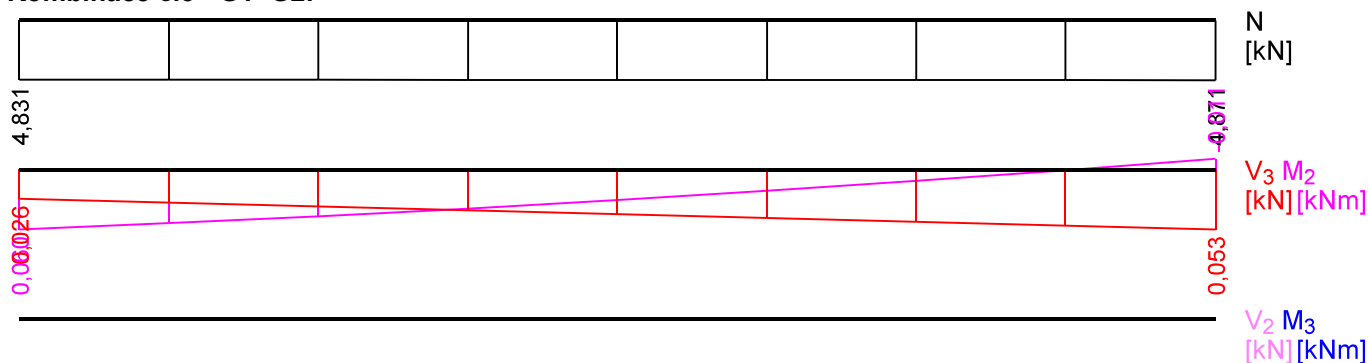
Kombinace č.1 - Q3:G1+G2:



Kombinace č.2 - Q4:G1+G2:



Kombinace č.3 - G1+G2:



30.2 Výsledky

Celkové posouzení

Rozhodující zatěžovací případ: Kombinace č.1 - Q3:G1+G2

Vnitřní síly: N = 8,117 kN; M_y = 0,100 kNm; M_z = 0,000 kNm; V_z = 0,050 kN; V_y = 0,000 kN

Posudek kombinace tahu a ohybu:

Únosnosti: N_R = 62,031 kN; M_{y,R} = 2,836 kNm

0,131 + 0,035 + 0,0 = 0,166 < 1 **Vyhovuje**

Posudek smyku od posouvajících sil:

Únosnost: V_R = 7,916 kN

0,006 < 1 **Vyhovuje**

Štíhlost dílce: 156,1

Průřez vyhovuje

31 31:DD

31.1 Vstupní data

Délka dílce: 1,200 m

Třída provozu: 2

Průřez

Úsek č.	Začátek [m]	Konec [m]	Průřez	Natočení [°]
1	0,000	1,200	obdélník 40x160	0,0

Materiál

Název: C24 - jehličnaté

Druh dřeva: rostlé

Při výpočtu je zohledněn součinitel k_h pro zvětšení pevnosti dřeva v tahu a ohybu.

Vnitřní síly

Celkový počet zatěžovacích případů: 3

Kombinace č.1 - Q3:G1+G2:

	N[kN]	V ₃ [kN]	M ₂ [kNm]	V ₂ [kN]	M ₃ [kNm]
Max. hodnota	-1,897	-0,350	0,235	0,000	0,000
Min. hodnota	-1,926	-0,350	-0,186	0,000	0,000

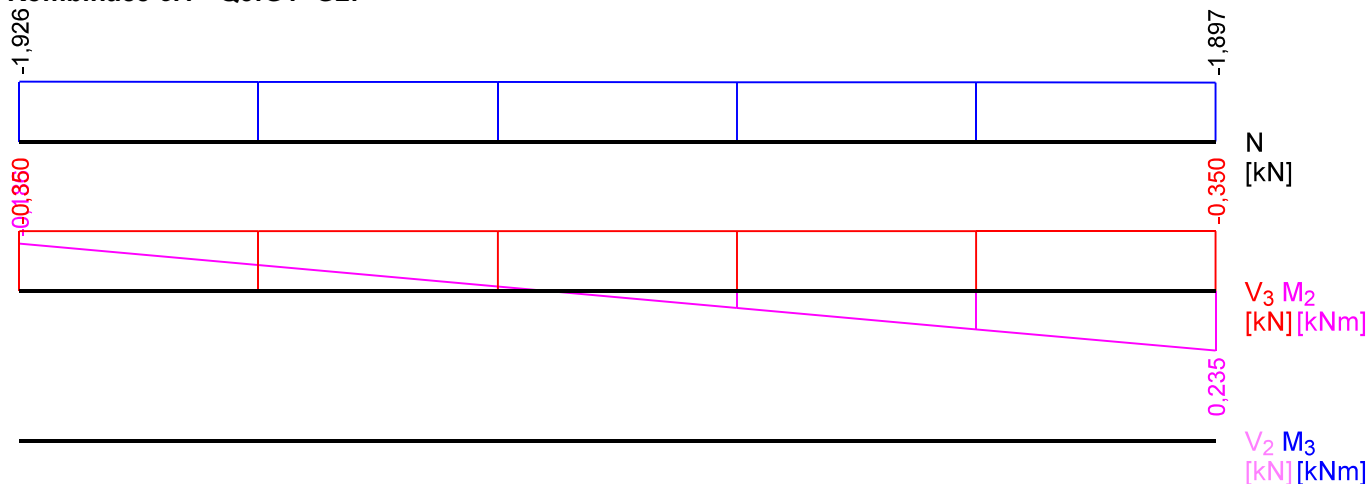
Kombinace č.2 - Q4:G1+G2:

	N[kN]	V ₃ [kN]	M ₂ [kNm]	V ₂ [kN]	M ₃ [kNm]
Max. hodnota	-0,601	-0,221	0,151	0,000	0,000
Min. hodnota	-0,630	-0,221	-0,114	0,000	0,000

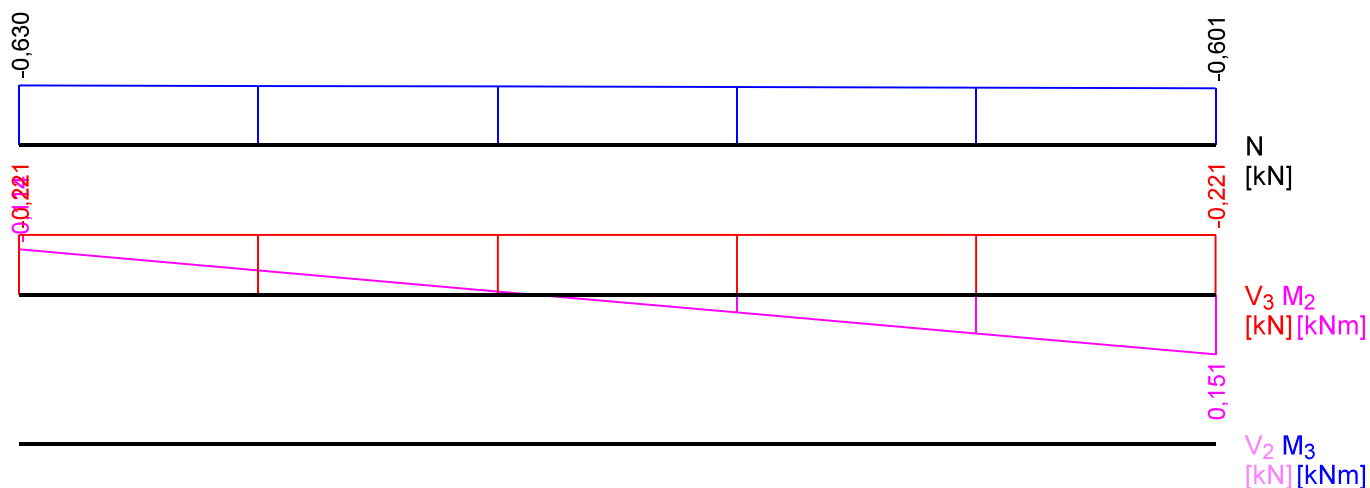
Kombinace č.3 - G1+G2:

	N[kN]	V ₃ [kN]	M ₂ [kNm]	V ₂ [kN]	M ₃ [kNm]
Max. hodnota	-0,800	-0,208	0,140	0,000	0,000
Min. hodnota	-0,832	-0,208	-0,110	0,000	0,000

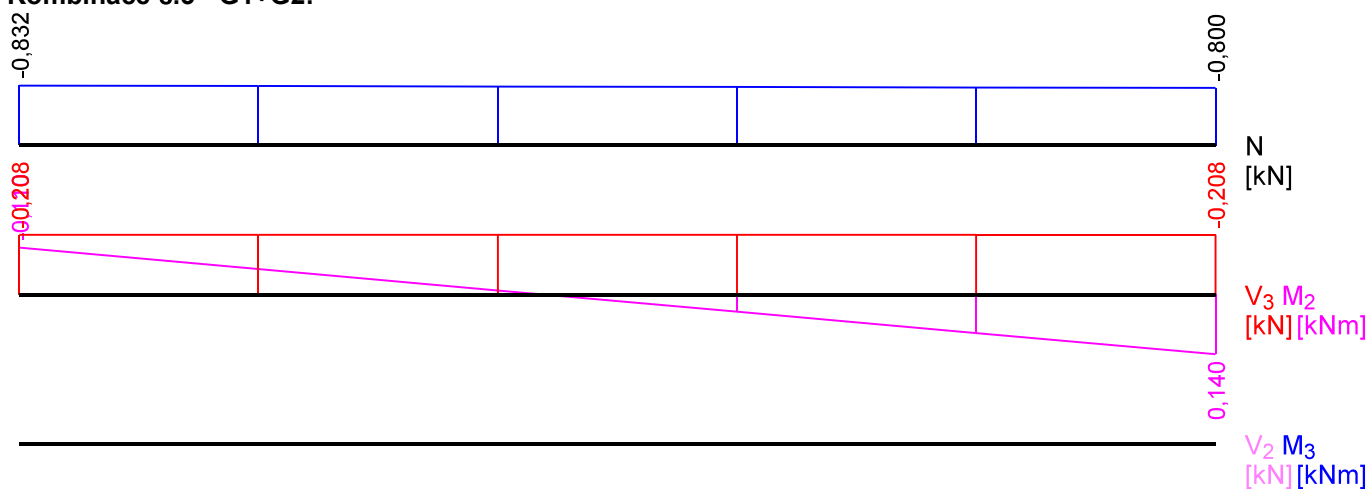
Kombinace č.1 - Q3:G1+G2:



Kombinace č.2 - Q4:G1+G2:



Kombinace č.3 - G1+G2:



31.2 Výsledky

Celkové posouzení

Rozhodující zatěžovací případ: Kombinace č.1 - Q3:G1+G2

Vnitřní síly: $N = -1,897$ kN; $M_y = 0,235$ kNm; $M_z = 0,000$ kNm; $V_z = -0,350$ kN; $V_y = 0,000$ kN

Posudek kombinace tlaku a ohybu:

Únosnost: $N_R = 4563,481$ kN; $M_{y,R} = -2,836$ kNm

$|0,0 + -0,083 + 0,0| = |-0,083| < 1$ **Vyhovuje**

Posudek smyku od posouvajících sil:

Únosnost: $V_R = 7,916$ kN

$0,044 < 1$ **Vyhovuje**

Štíhlost dílce: 103,9

Průřez vyhovuje

32 32:DD

32.1 Vstupní data

Délka dílce: 1,345 m

Třída provozu: 2

Průřez

Úsek č.	Začátek [m]	Konec [m]	Průřez	Natočení [°]
1	0,000	1,345	obdélník 40x160	0,0

Materiál

Název: C24 - jehličnaté

Druh dřeva: rostlé

Při výpočtu je zohledněn součinitel k_h pro zvětšení pevnosti dřeva v tahu a ohybu.

Vnitřní síly

Celkový počet zatěžovacích případů: 3

Kombinace č.1 - Q3:G1+G2:

	N[kN]	V ₃ [kN]	M ₂ [kNm]	V ₂ [kN]	M ₃ [kNm]
Max. hodnota	-6,795	0,066	0,145	0,000	0,000
Min. hodnota	-6,817	0,042	0,072	0,000	0,000

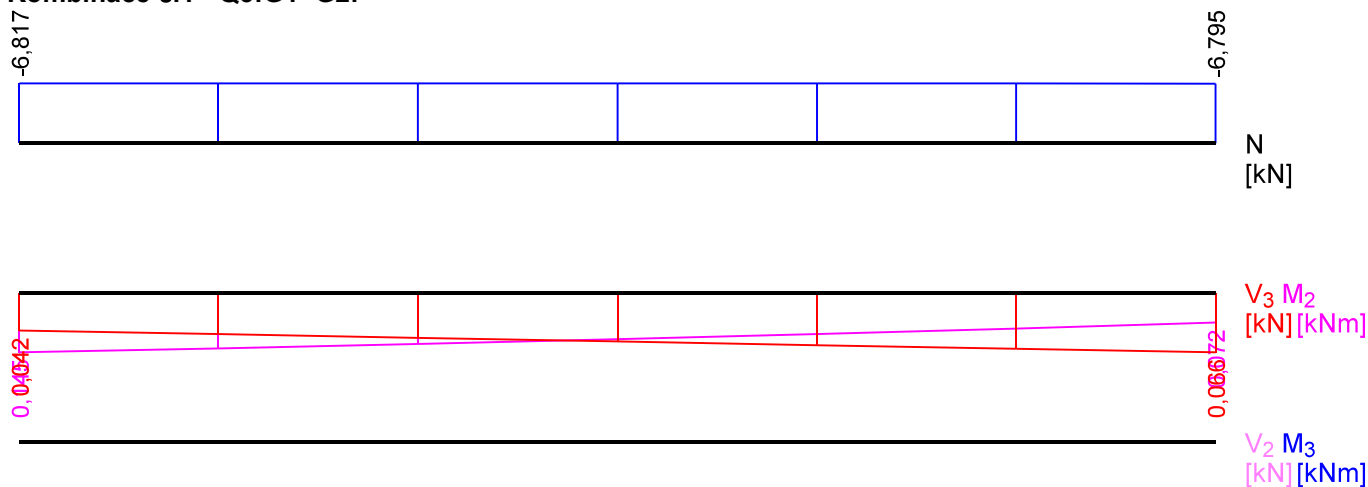
Kombinace č.2 - Q4:G1+G2:

	N[kN]	V ₃ [kN]	M ₂ [kNm]	V ₂ [kN]	M ₃ [kNm]
Max. hodnota	-3,571	0,048	0,101	0,000	0,000
Min. hodnota	-3,592	0,024	0,052	0,000	0,000

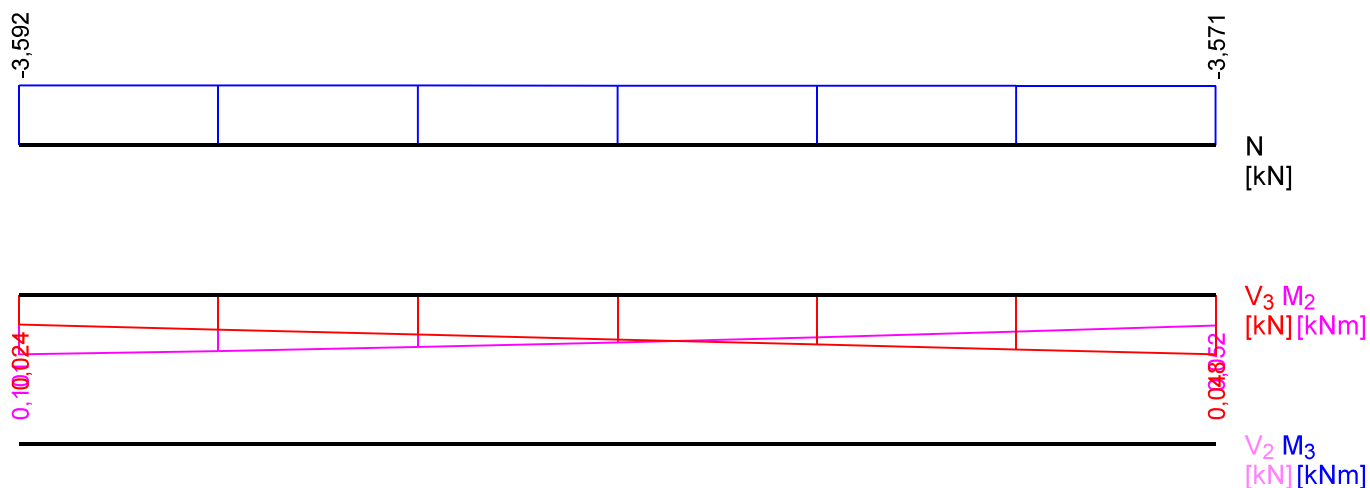
Kombinace č.3 - G1+G2:

	N[kN]	V ₃ [kN]	M ₂ [kNm]	V ₂ [kN]	M ₃ [kNm]
Max. hodnota	-4,003	0,046	0,086	0,000	0,000
Min. hodnota	-4,027	0,019	0,042	0,000	0,000

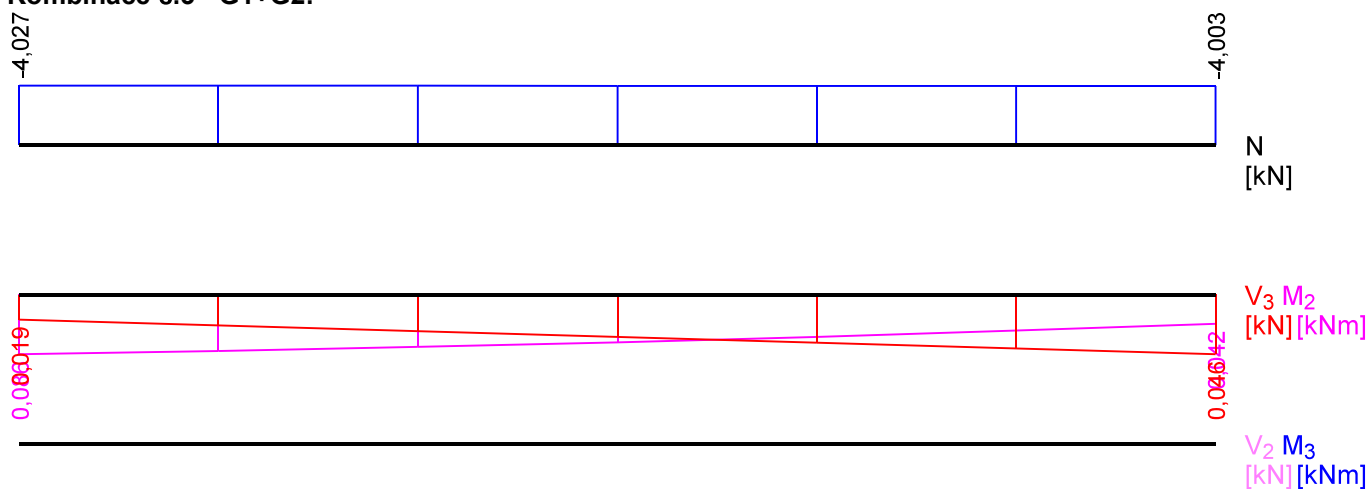
Kombinace č.1 - Q3:G1+G2:



Kombinace č.2 - Q4:G1+G2:



Kombinace č.3 - G1+G2:



32.2 Výsledky

Celkové posouzení

Rozhodující zatěžovací případ: Kombinace č.1 - Q3:G1+G2

Vnitřní síly: N = -6,817 kN; M_y = 0,145 kNm; M_z = 0,000 kNm; V_z = 0,042 kN; V_y = 0,000 kN

Posudek kombinace tlaku a ohybu:

Únosnosti: N_R = 1269,967 kN; M_{y,R} = -2,836 kNm

$|-0,005 + -0,051 + 0,0| = |-0,056| < 1$ **Vyhovuje**

Posudek smyku od posouvajících sil:

Únosnost: V_R = 7,916 kN

$0,005 < 1$ **Vyhovuje**

Štíhlost dílce: 116,5

Průřez vyhovuje

33 33:DD

33.1 Vstupní data

Délka dílce: 0,900 m

Třída provozu: 2

Průřez

Úsek č.	Začátek [m]	Konec [m]	Průřez	Natočení [°]
1	0,000	0,900	obdélník 40x160	0,0

Materiál

Název: C24 - jehličnaté

Druh dřeva: rostlé

Při výpočtu je zohledněn součinitel k_h pro zvětšení pevnosti dřeva v tahu a ohybu.

Vnitřní síly

Celkový počet zatěžovacích případů: 3

Kombinace č.1 - Q3:G1+G2:

	N[kN]	V ₃ [kN]	M ₂ [kNm]	V ₂ [kN]	M ₃ [kNm]
Max. hodnota	0,882	-0,465	0,225	0,000	0,000
Min. hodnota	0,860	-0,465	-0,193	0,000	0,000

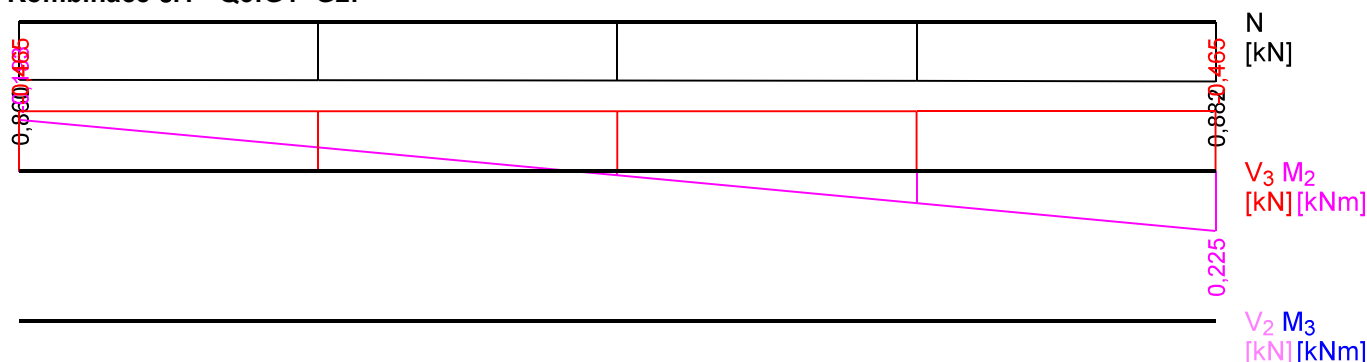
Kombinace č.2 - Q4:G1+G2:

	N[kN]	V ₃ [kN]	M ₂ [kNm]	V ₂ [kN]	M ₃ [kNm]
Max. hodnota	0,786	-0,274	0,135	0,000	0,000
Min. hodnota	0,764	-0,274	-0,112	0,000	0,000

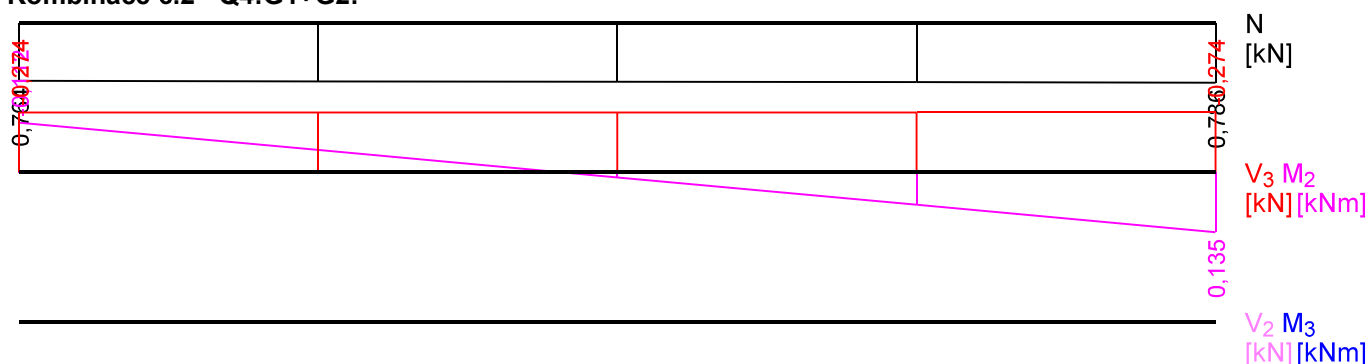
Kombinace č.3 - G1+G2:

	N[kN]	V ₃ [kN]	M ₂ [kNm]	V ₂ [kN]	M ₃ [kNm]
Max. hodnota	0,839	-0,278	0,135	0,000	0,000
Min. hodnota	0,815	-0,278	-0,115	0,000	0,000

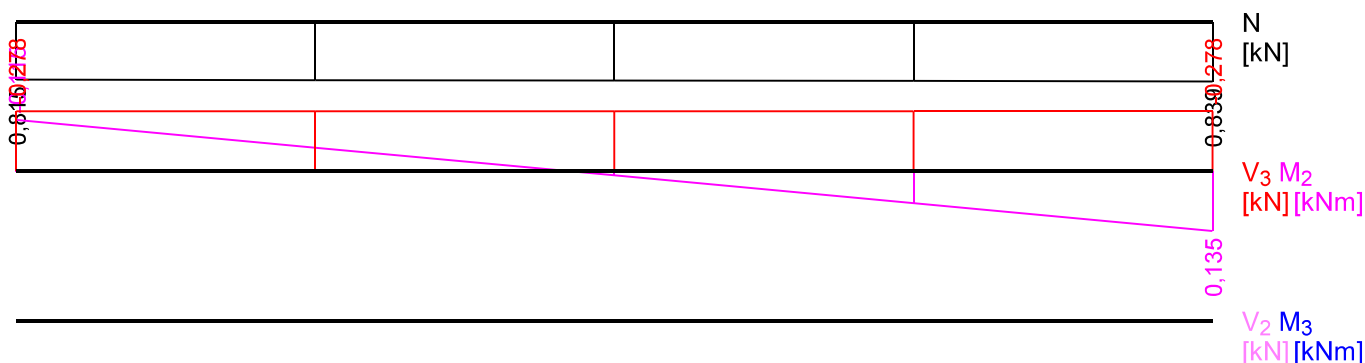
Kombinace č.1 - Q3:G1+G2:



Kombinace č.2 - Q4:G1+G2:



Kombinace č.3 - G1+G2:



33.2 Výsledky

Celkové posouzení

Rozhodující zatěžovací případ: Kombinace č.1 - Q3:G1+G2

Vnitřní síly: $N = 0,882 \text{ kN}$; $M_y = 0,225 \text{ kNm}$; $M_z = 0,000 \text{ kNm}$; $V_z = -0,465 \text{ kN}$; $V_y = 0,000 \text{ kN}$

Posudek kombinace tahu a ohybu:

Únosnosti: $N_R = 62,031 \text{ kN}$; $M_{y,R} = 2,836 \text{ kNm}$

$0,014 + 0,08 + 0,0 = 0,094 < 1$ **Vyhovuje**

Posudek smyku od posouvajících sil:

Únosnost: $V_R = 7,916 \text{ kN}$

$0,059 < 1$ **Vyhovuje**

Štíhlost dílce: 77,9

Průřez vyhovuje

34 34:DD

34.1 Vstupní data

Délka dílce: 1,345 m

Třída provozu: 2

Průřez

Úsek č.	Začátek [m]	Konec [m]	Průřez	Natočení [°]
1	0,000	1,345	obdélník 40x160	0,0

Materiál

Název: C24 - jehličnaté

Druh dřeva: rostlé

Při výpočtu je zohledněn součinitel k_h pro zvětšení pevnosti dřeva v tahu a ohybu.

Vnitřní síly

Celkový počet zatěžovacích případů: 3

Kombinace č.1 - Q3:G1+G2:

	$N[\text{kN}]$	$V_3[\text{kN}]$	$M_2[\text{kNm}]$	$V_2[\text{kN}]$	$M_3[\text{kNm}]$
Max. hodnota	4,632	0,147	0,294	0,000	0,000
Min. hodnota	4,610	0,123	0,112	0,000	0,000

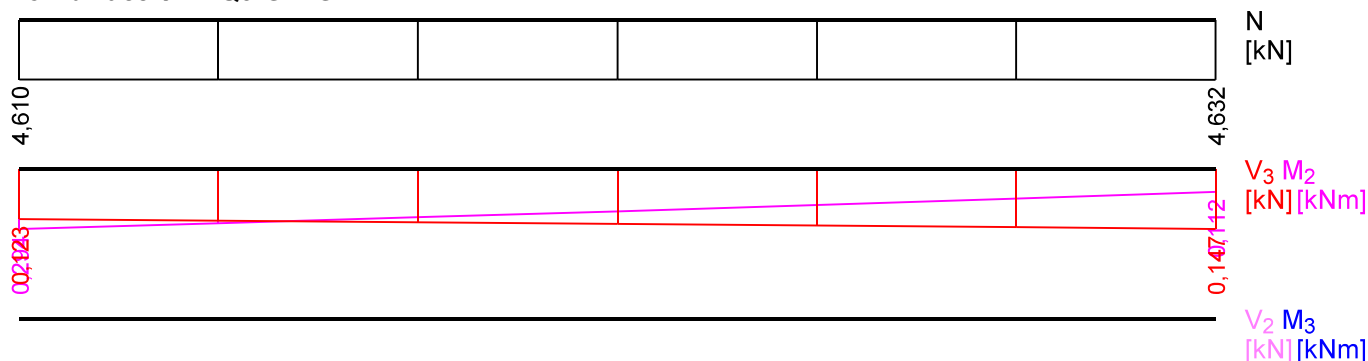
Kombinace č.2 - Q4:G1+G2:

	$N[\text{kN}]$	$V_3[\text{kN}]$	$M_2[\text{kNm}]$	$V_2[\text{kN}]$	$M_3[\text{kNm}]$
Max. hodnota	2,209	0,099	0,197	0,000	0,000
Min. hodnota	2,187	0,075	0,081	0,000	0,000

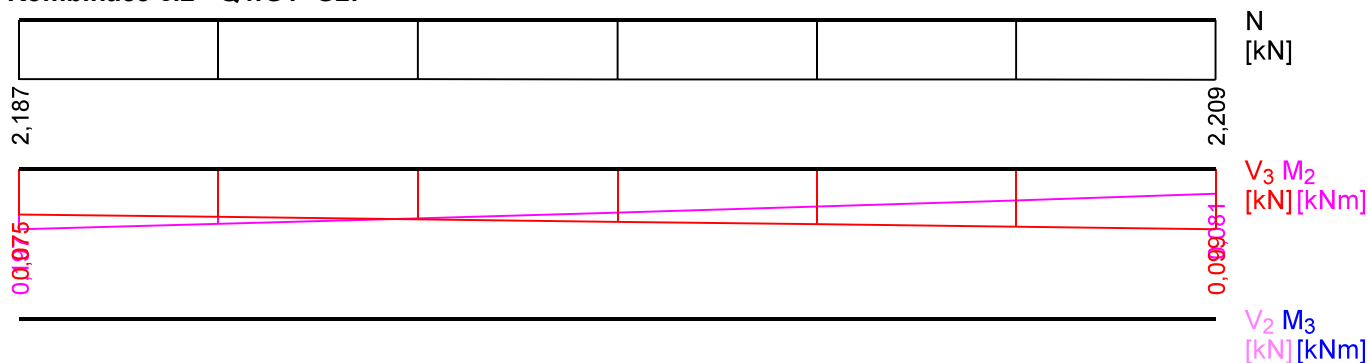
Kombinace č.3 - G1+G2:

	N[kN]	V ₃ [kN]	M ₂ [kNm]	V ₂ [kN]	M ₃ [kNm]
Max. hodnota	2,731	0,095	0,176	0,000	0,000
Min. hodnota	2,707	0,068	0,066	0,000	0,000

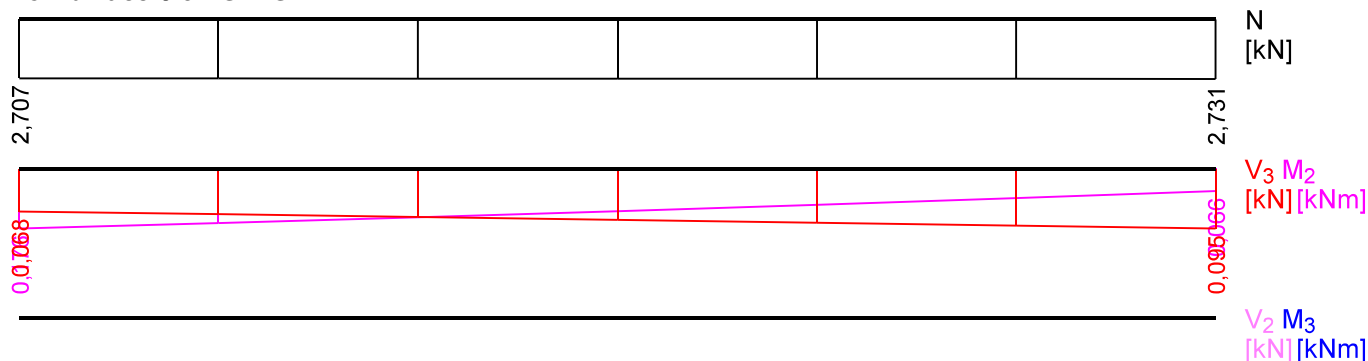
Kombinace č.1 - Q3:G1+G2:



Kombinace č.2 - Q4:G1+G2:



Kombinace č.3 - G1+G2:



34.2 Výsledky

Celkové posouzení

Rozhodující zatěžovací případ: Kombinace č.1 - Q3:G1+G2

Vnitřní síly: N = 4,610 kN; M_y = 0,294 kNm; M_z = 0,000 kNm; V_z = 0,123 kN; V_y = 0,000 kN

Posudek kombinace tahu a ohybu:

Únosnosti: N_R = 62,031 kN; M_{y,R} = 2,836 kNm

0,074 + 0,104 + 0,0 = 0,178 < 1 **Vyhovuje**

Posudek smyku od posouvajících sil:

Únosnost: V_R = 7,916 kN

0,016 < 1 **Vyhovuje**

Štíhlost dílce: 116,5

Průřez vyhovuje

35 35:DD

35.1 Vstupní data

Délka dílce: 0,600 m

Třída provozu: 2

Průřez

Úsek č.	Začátek [m]	Konec [m]	Průřez	Natočení [°]
1	0,000	0,600	obdélník 40x160	0,0

Materiál

Název: C24 - jehličnaté

Druh dřeva: rostlé

Při výpočtu je zohledněn součinitel k_h pro zvětšení pevnosti dřeva v tahu a ohybu.

Vnitřní síly

Celkový počet zatěžovacích případů: 3

Kombinace č.1 - Q3:G1+G2:

	N[kN]	V ₃ [kN]	M ₂ [kNm]	V ₂ [kN]	M ₃ [kNm]
Max. hodnota	-2,168	-1,233	0,391	0,000	0,000
Min. hodnota	-2,183	-1,233	-0,349	0,000	0,000

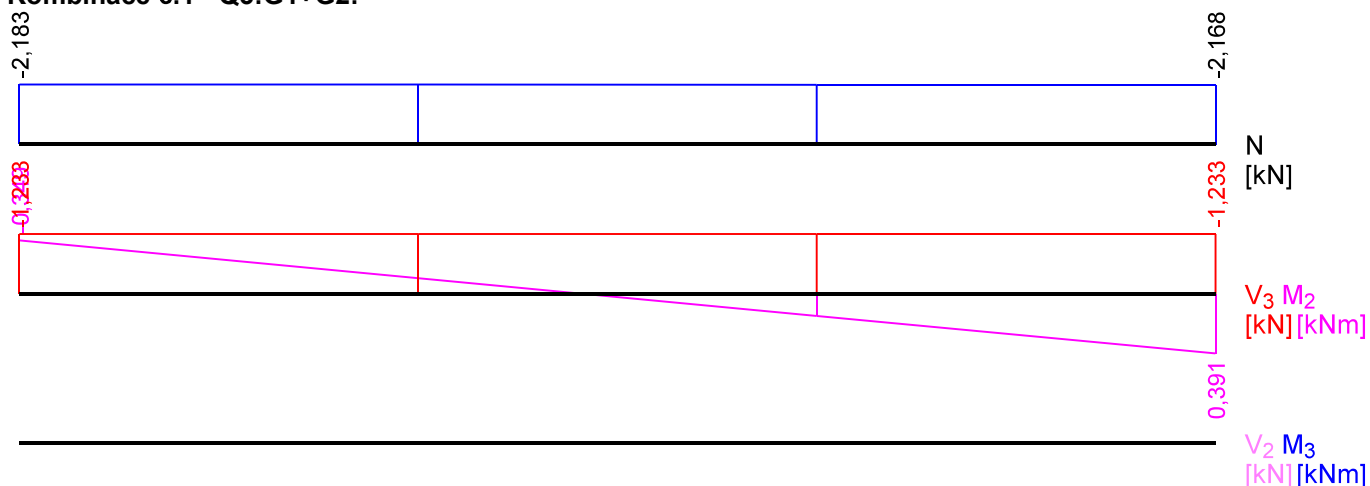
Kombinace č.2 - Q4:G1+G2:

	N[kN]	V ₃ [kN]	M ₂ [kNm]	V ₂ [kN]	M ₃ [kNm]
Max. hodnota	-0,849	-0,726	0,234	0,000	0,000
Min. hodnota	-0,864	-0,726	-0,201	0,000	0,000

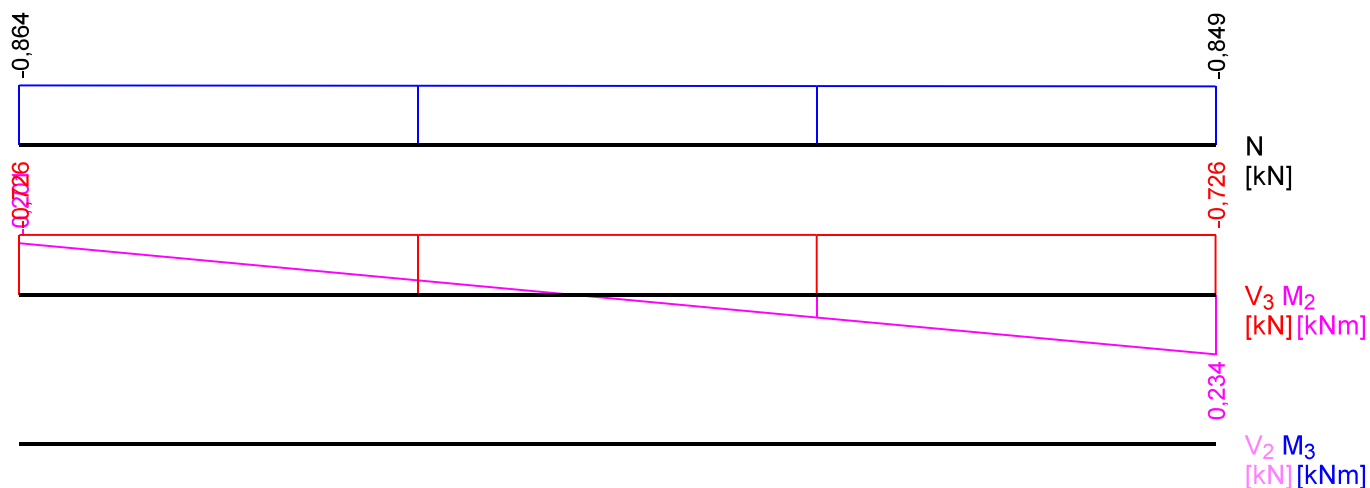
Kombinace č.3 - G1+G2:

	N[kN]	V ₃ [kN]	M ₂ [kNm]	V ₂ [kN]	M ₃ [kNm]
Max. hodnota	-0,960	-0,725	0,231	0,000	0,000
Min. hodnota	-0,976	-0,725	-0,204	0,000	0,000

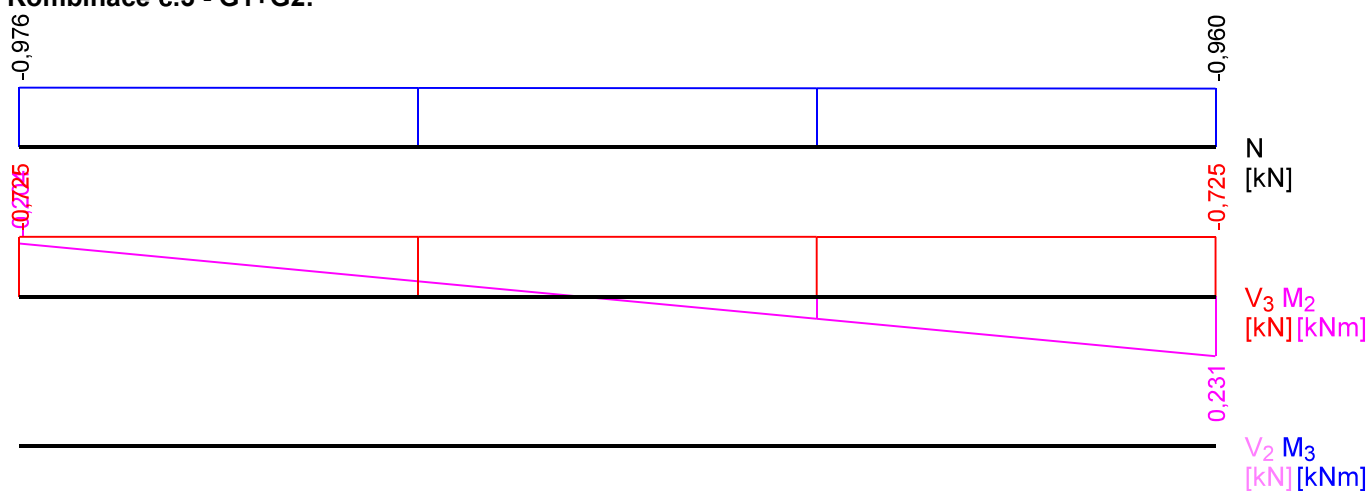
Kombinace č.1 - Q3:G1+G2:



Kombinace č.2 - Q4:G1+G2:



Kombinace č.3 - G1+G2:



35.2 Výsledky

Celkové posouzení

Rozhodující zatěžovací případ: Kombinace č.1 - Q3:G1+G2

Vnitřní síly: $N = -2,183 \text{ kN}$; $M_y = -0,349 \text{ kNm}$; $M_z = 0,000 \text{ kNm}$; $V_z = -1,233 \text{ kN}$; $V_y = 0,000 \text{ kN}$

Posudek kombinace tlaku a ohybu:

Únosnost: $N_R = 3966,393 \text{ kN}$; $M_{y,R} = 2,836 \text{ kNm}$

$|-0,001 + -0,123 + 0,0| = |-0,124| < 1$ **Vyhovuje**

Posudek smyku od posouvajících sil:

Únosnost: $V_R = 7,916 \text{ kN}$

$0,156 < 1$ **Vyhovuje**

Štíhlost dílce: 52,0

Průřez vyhovuje

36 36:DD

36.1 Vstupní data

Délka dílce: 1,044 m

Třída provozu: 2

Průřez

Úsek č.	Začátek [m]	Konec [m]	Průřez	Natočení [°]
1	0,000	1,044	obdélník 40x160	0,0

Materiál

Název: C24 - jehličnaté

Druh dřeva: rostlé

Při výpočtu je zohledněn součinitel k_h pro zvětšení pevnosti dřeva v tahu a ohybu.

Vnitřní síly

Celkový počet zatěžovacích případů: 3

Kombinace č.1 - Q3:G1+G2:

	N[kN]	V ₃ [kN]	M ₂ [kNm]	V ₂ [kN]	M ₃ [kNm]
Max. hodnota	1,224	-0,362	0,652	0,000	0,000
Min. hodnota	1,217	-0,386	0,261	0,000	0,000

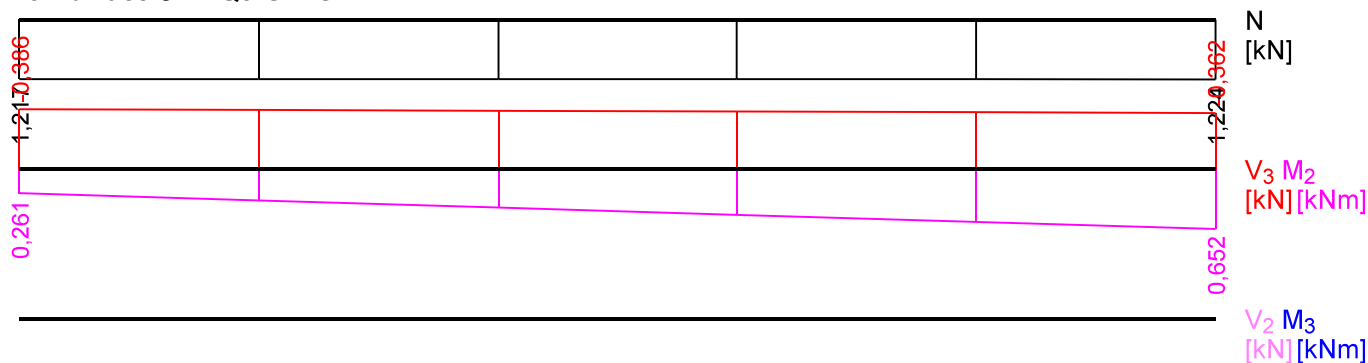
Kombinace č.2 - Q4:G1+G2:

	N[kN]	V ₃ [kN]	M ₂ [kNm]	V ₂ [kN]	M ₃ [kNm]
Max. hodnota	1,462	-0,215	0,421	0,000	0,000
Min. hodnota	1,455	-0,239	0,184	0,000	0,000

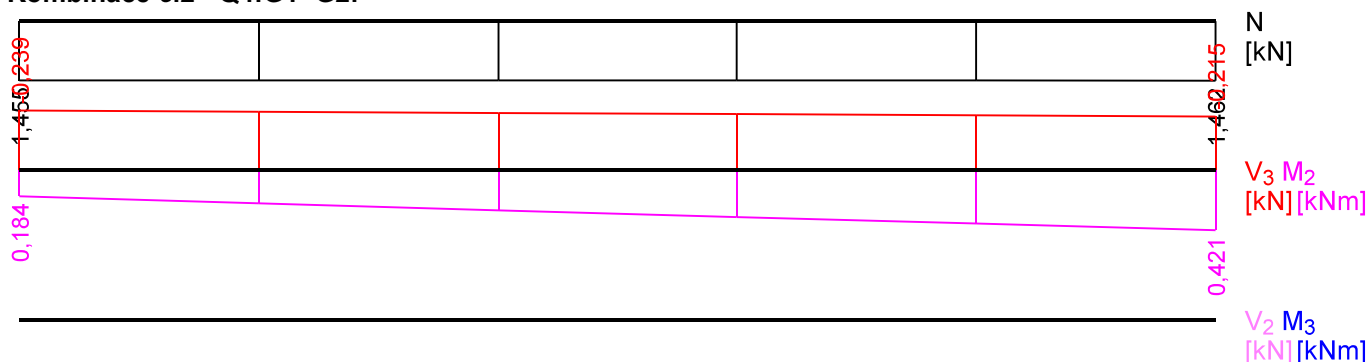
Kombinace č.3 - G1+G2:

	N[kN]	V ₃ [kN]	M ₂ [kNm]	V ₂ [kN]	M ₃ [kNm]
Max. hodnota	0,833	-0,208	0,388	0,000	0,000
Min. hodnota	0,825	-0,235	0,157	0,000	0,000

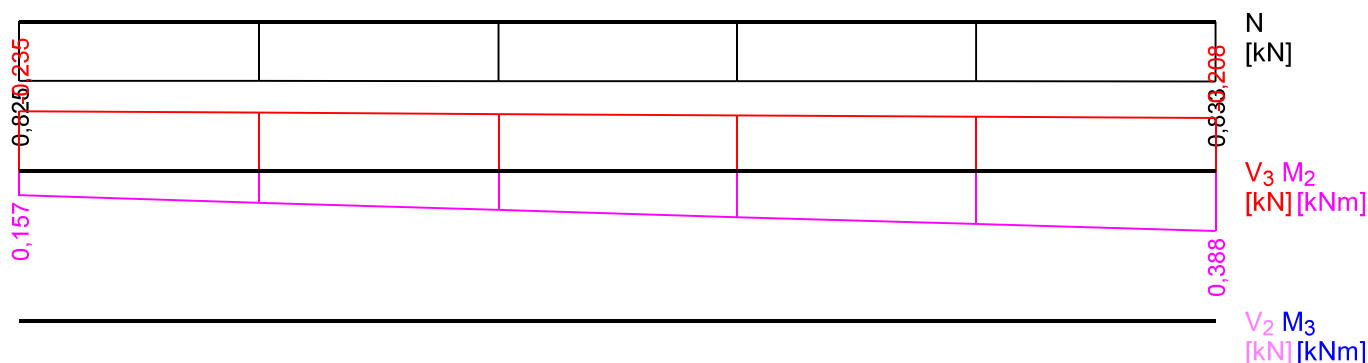
Kombinace č.1 - Q3:G1+G2:



Kombinace č.2 - Q4:G1+G2:



Kombinace č.3 - G1+G2:



36.2 Výsledky

Celkové posouzení

Rozhodující zatěžovací případ: Kombinace č.1 - Q3:G1+G2

Vnitřní síly: $N = 1,224 \text{ kN}$; $M_y = 0,652 \text{ kNm}$; $M_z = 0,000 \text{ kNm}$; $V_z = -0,362 \text{ kN}$; $V_y = 0,000 \text{ kN}$

Posudek kombinace tahu a ohybu:

Únosnosti: $N_R = 62,031 \text{ kN}$; $M_{y,R} = 2,836 \text{ kNm}$

$0,02 + 0,23 + 0,0 = 0,25 < 1$ **Vyhovuje**

Posudek smyku od posouvajících sil:

Únosnost: $V_R = 7,916 \text{ kN}$

$0,046 < 1$ **Vyhovuje**

Štíhlost dílce: 90,4

Průřez vyhovuje

37 37:DD

37.1 Vstupní data

Délka dílce: 0,300 m

Třída provozu: 2

Průřez

Úsek č.	Začátek [m]	Konec [m]	Průřez	Natočení [°]
1	0,000	0,300	obdélník 40x160	0,0

Materiál

Název: C24 - jehličnaté

Druh dřeva: rostlé

Při výpočtu je zohledněn součinitel k_h pro zvětšení pevnosti dřeva v tahu a ohybu.

Vnitřní síly

Celkový počet zatěžovacích případů: 3

Kombinace č.1 - Q3:G1+G2:

	$N[\text{kN}]$	$V_3[\text{kN}]$	$M_2[\text{kNm}]$	$V_2[\text{kN}]$	$M_3[\text{kNm}]$
Max. hodnota	-1,601	2,688	0,622	0,000	0,000
Min. hodnota	-1,608	2,688	-0,185	0,000	0,000

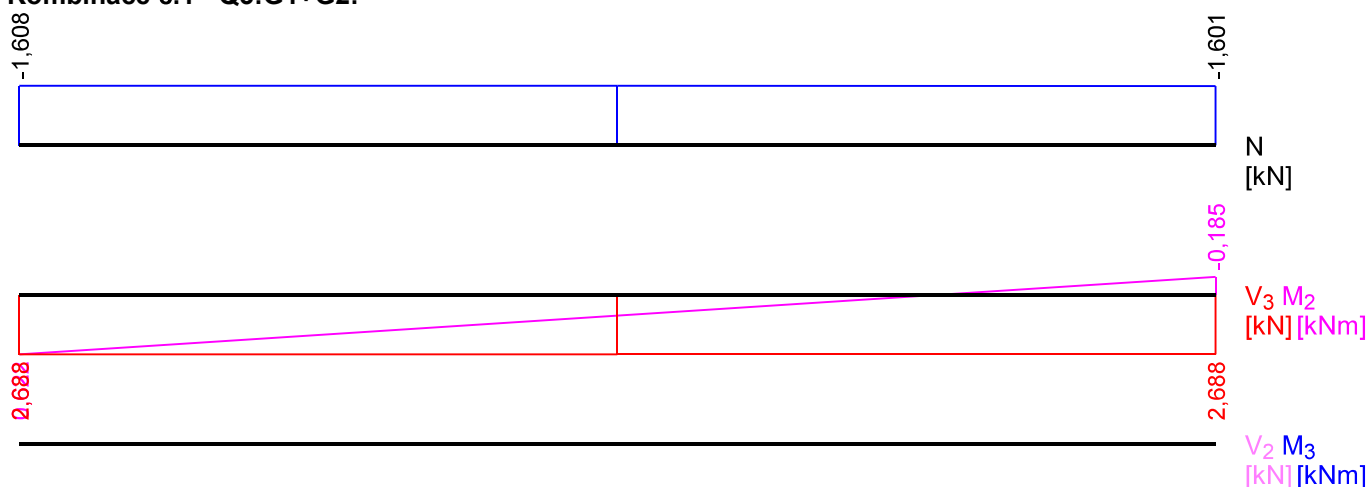
Kombinace č.2 - Q4:G1+G2:

	$N[\text{kN}]$	$V_3[\text{kN}]$	$M_2[\text{kNm}]$	$V_2[\text{kN}]$	$M_3[\text{kNm}]$
Max. hodnota	-0,854	1,959	0,437	0,000	0,000
Min. hodnota	-0,861	1,959	-0,151	0,000	0,000

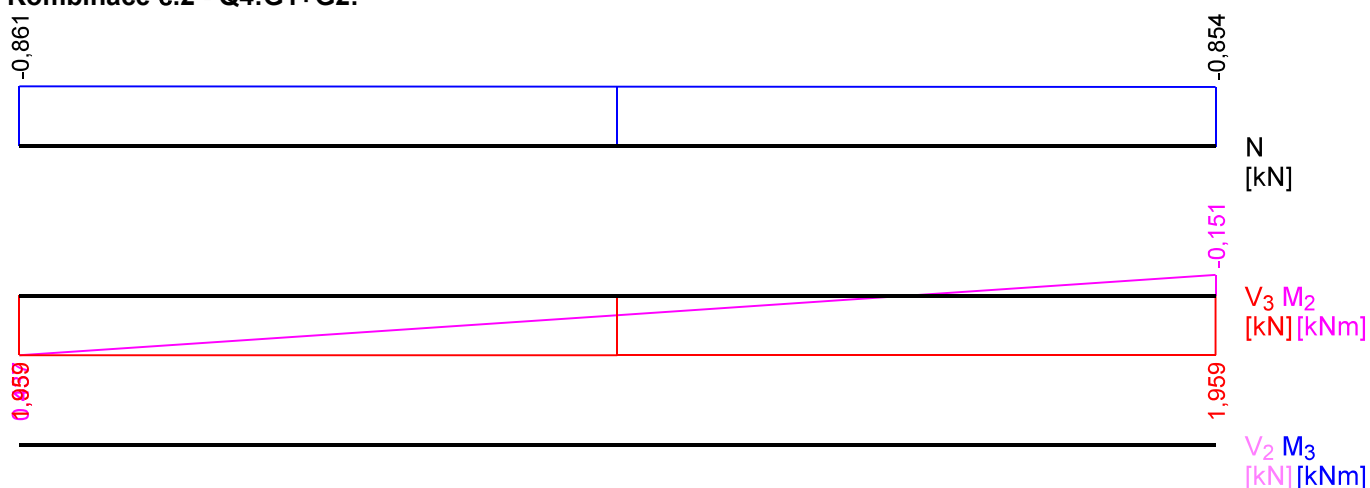
Kombinace č.3 - G1+G2:

	N[kN]	V ₃ [kN]	M ₂ [kNm]	V ₂ [kN]	M ₃ [kNm]
Max. hodnota	-0,647	1,647	0,377	0,000	0,000
Min. hodnota	-0,655	1,647	-0,118	0,000	0,000

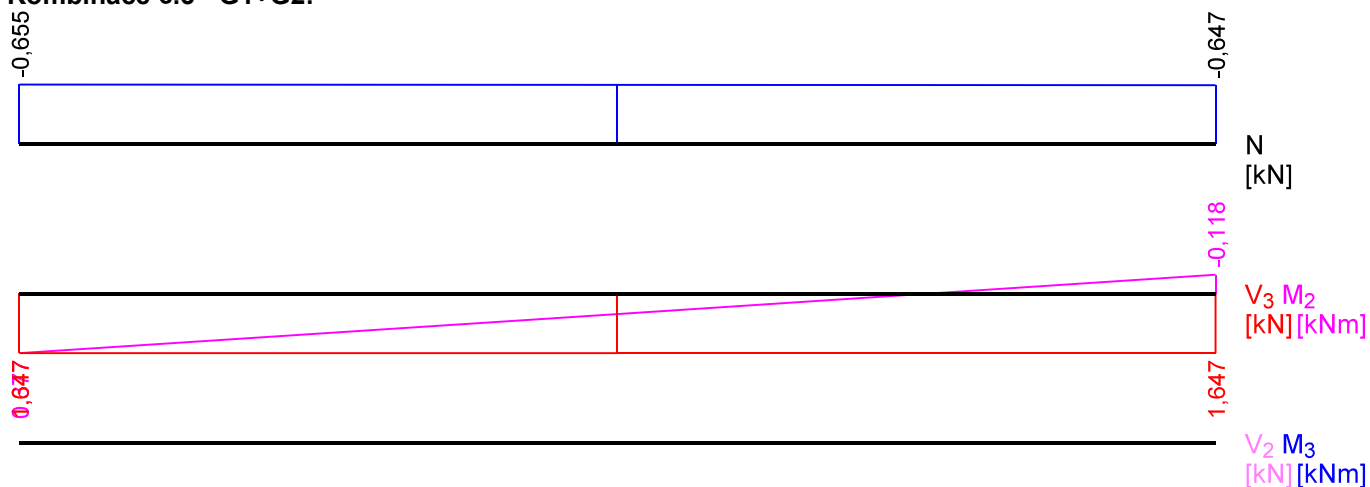
Kombinace č.1 - Q3:G1+G2:



Kombinace č.2 - Q4:G1+G2:



Kombinace č.3 - G1+G2:



37.2 Výsledky

Celkové posouzení

Rozhodující zatěžovací případ: Kombinace č.1 - Q3:G1+G2

Vnitřní síly: $N = -1,608 \text{ kN}$; $M_y = 0,622 \text{ kNm}$; $M_z = 0,000 \text{ kNm}$; $V_z = 2,688 \text{ kN}$; $V_y = 0,000 \text{ kN}$

Posudek kombinace tlaku a ohybu:

Únosnosti: $N_R = 5382,918 \text{ kN}$; $M_{y,R} = -2,836 \text{ kNm}$

$|0,0 + -0,219 + 0,0| = |-0,22| < 1$ **Vyhovuje**

Posudek smyku od posouvajících sil:

Únosnost: $V_R = 7,916 \text{ kN}$

$0,34 < 1$ **Vyhovuje**

Štíhlost dílce: 26,0

Průřez vyhovuje

Projekt

Akce : Typický sbíjený vazník z prvků 40_160

Datum : 24.02.2024

Norma

Norma **EN 1995-1-2/Česko**.

Spolehlivost dřeva při požáru : $Y_{M,fi} = 1,0$

1 1:DD

1.1 Vstupní data

Délka dílce: 1,000 m

Průřez

Úsek č.	Začátek [m]	Konec [m]	Průřez	Natočení [°]
1	0,000	1,000	obdélník 40x180	0,0

Materiál

Název: C24 - jehličnaté

Při výpočtu je zohledněn součinitel k_h pro zvětšení pevnosti dřeva v tahu a ohybu.

Požární detail

Chráněný průřez, shora a zdola bráněno žáru

Požární ochrana:

Sádrokarton (typ A,H,E,D,R,I)

Celková tloušťka $h_p = 20,0 \text{ mm}$

Spáry tenčí než 2 mm nebo vyplněné

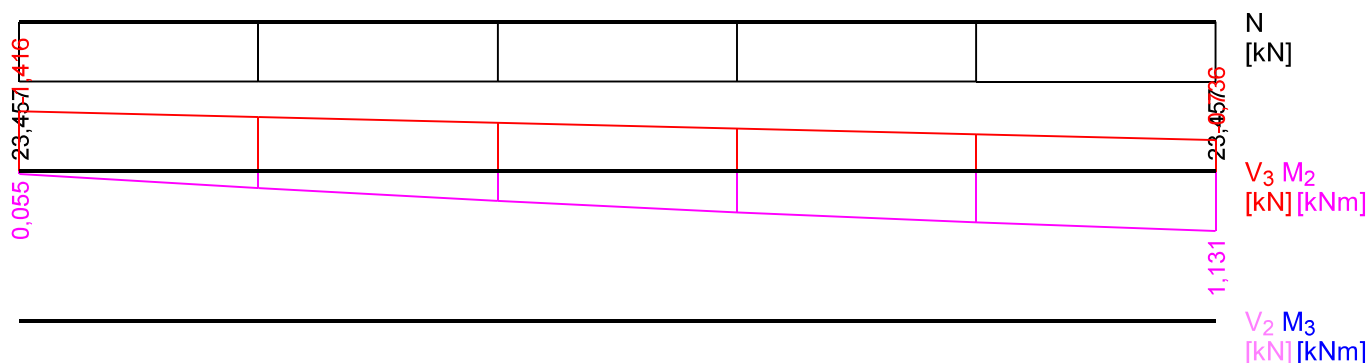
Vnitřní síly

Celkový počet zatěžovacích případů: 1

Kombinace č.3 - G1+G2:

	$N[\text{kN}]$	$V_3[\text{kN}]$	$M_2[\text{kNm}]$	$V_2[\text{kN}]$	$M_3[\text{kNm}]$
Max. hodnota	23,457	-0,736	1,131	0,000	0,000
Min. hodnota	23,457	-1,416	0,055	0,000	0,000

Kombinace č.3 - G1+G2:



1.2 Výsledky

Celkové posouzení

Posouzení v čase požadované požární odolnosti $t = 15,0$ min:

Metoda redukovaného průřezu

Hloubka zuhelnatění $d_{char,n} = 0,0$ mm

Rozhodující zatěžovací případ: Kombinace č.3 - G1+G2

Vnitřní síly: $N = 23,457$ kN; $M_y = 1,131$ kNm; $M_z = 0,000$ kNm; $V_z = -0,736$ kN; $V_y = 0,000$ kN

Posudek kombinace tahu a ohybu:

Únosnosti: $N_{R,t,fi} = 110,250$ kN; $M_{y,R,t,fi} = 5,670$ kNm

$0,213 + 0,2 + 0,0 = 0,412 < 1$ **Vyhovuje**

Posudek smyku od posouvajících sil:

Únosnost: $V_{R,t,fi} = 14,070$ kN

$0,052 < 1$ **Vyhovuje**

Průřez vyhovuje

2 2:DD

2.1 Vstupní data

Délka dílce: 1,000 m

Průřez

Úsek č.	Začátek [m]	Konec [m]	Průřez	Natočení [°]
1	0,000	1,000	obdélník 40x160	0,0

Materiál

Název: C24 - jehličnaté

Při výpočtu je zohledněn součinitel k_h pro zvětšení pevnosti dřeva v tahu a ohybu.

Požární detail

Chráněný průřez, shora a zdola bráněno žárů

Požární ochrana:

Sádrokarton (typ A,H,E,D,R,I)

Celková tloušťka $h_p = 20,0$ mm

Spáry tenčí než 2 mm nebo vyplněné

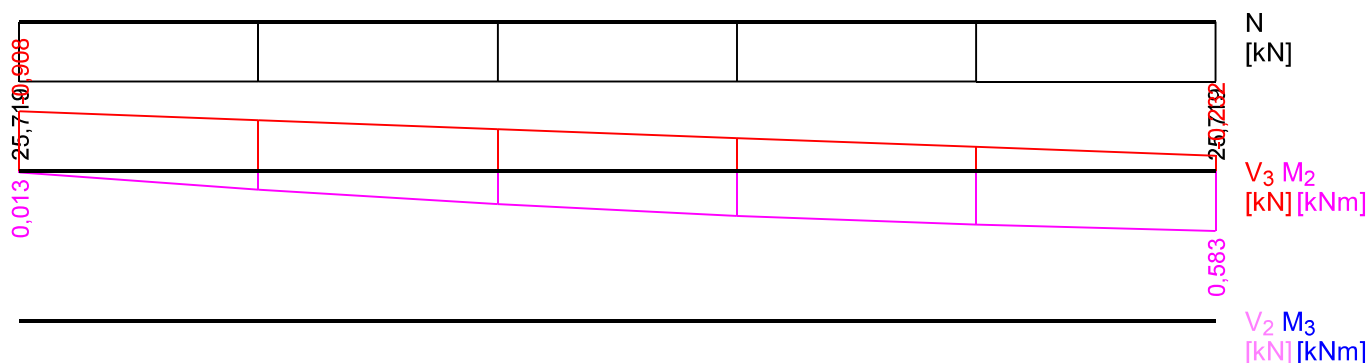
Vnitřní síly

Celkový počet zatěžovacích případů: 1

Kombinace č.3 - G1+G2:

	N[kN]	V ₃ [kN]	M ₂ [kNm]	V ₂ [kN]	M ₃ [kNm]
Max. hodnota	25,719	-0,232	0,583	0,000	0,000
Min. hodnota	25,719	-0,908	0,013	0,000	0,000

Kombinace č.3 - G1+G2:



2.2 Výsledky

Celkové posouzení

Posouzení v čase požadované požární odolnosti $t = 15,0$ min:

Metoda redukovaného průřezu

Hloubka zuhelnatění $d_{char,n} = 0,0$ mm

Rozhodující zatěžovací případ: Kombinace č.3 - G1+G2

Vnitřní síly: $N = 25,719$ kN; $M_y = 0,583$ kNm; $M_z = 0,000$ kNm; $V_z = -0,232$ kN; $V_y = 0,000$ kN

Posudek kombinace tahu a ohybu:

Únosnosti: $N_{R,t,fi} = 98,000$ kN; $M_{y,R,t,fi} = 4,480$ kNm

$0,262 + 0,13 + 0,0 = 0,393 < 1$ **Vyhovuje**

Posudek smyku od posouvajících sil:

Únosnost: $V_{R,t,fi} = 12,507$ kN

$0,019 < 1$ **Vyhovuje**

Průřez vyhovuje

3 3:DD

3.1 Vstupní data

Délka dílce: 1,000 m

Průřez

Úsek č.	Začátek [m]	Konec [m]	Průřez	Natočení [°]
1	0,000	1,000	obdélník 40x160	0,0

Materiál

Název: C24 - jehličnaté

Při výpočtu je zohledněn součinitel k_h pro zvětšení pevnosti dřeva v tahu a ohybu.

Požární detail

Chráněný průřez, shora a zdola bráněno žárů

Požární ochrana:

Sádrokarton (typ A,H,E,D,R,I)

Celková tloušťka $h_p = 20,0$ mm

Spáry tenčí než 2 mm nebo vyplněné

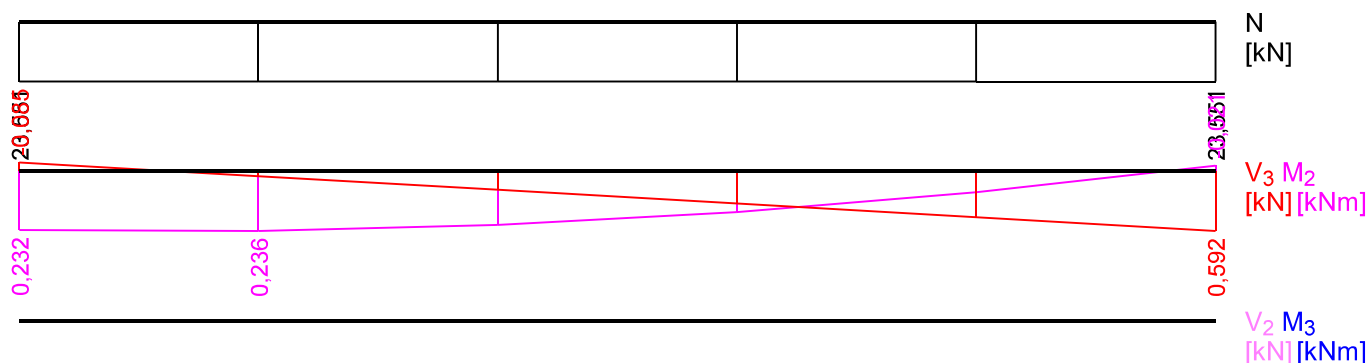
Vnitřní síly

Celkový počet zatěžovacích případů: 1

Kombinace č.3 - G1+G2:

	N[kN]	V ₃ [kN]	M ₂ [kNm]	V ₂ [kN]	M ₃ [kNm]
Max. hodnota	23,551	0,592	0,236	0,000	0,000
Min. hodnota	23,551	-0,085	-0,021	0,000	0,000

Kombinace č.3 - G1+G2:



3.2 Výsledky

Celkové posouzení

Posouzení v čase požadované požární odolnosti $t = 15,0$ min:

Metoda redukovaného průřezu

Hloubka zuhelnatění $d_{char,n} = 0,0$ mm

Rozhodující zatěžovací případ: Kombinace č.3 - G1+G2

Vnitřní síly: $N = 23,551$ kN; $M_y = 0,236$ kNm; $M_z = 0,000$ kNm; $V_z = 0,050$ kN; $V_y = 0,000$ kN

Posudek kombinace tahu a ohybu:

Únosnosti: $N_{R,t,fi} = 98,000$ kN; $M_{y,R,t,fi} = 4,480$ kNm

$0,24 + 0,053 + 0,0 = 0,293 < 1$ **Vyhovuje**

Posudek smyku od posouvajících sil:

Únosnost: $V_{R,t,fi} = 12,507$ kN

$0,004 < 1$ **Vyhovuje**

Průřez vyhovuje

4 4:DD

4.1 Vstupní data

Délka dílce: 1,000 m

Průřez

Úsek č.	Začátek [m]	Konec [m]	Průřez	Natočení [°]
1	0,000	1,000	obdélník 40x160	0,0

Materiál

Název: C24 - jehličnaté

Při výpočtu je zohledněn součinitel k_h pro zvětšení pevnosti dřeva v tahu a ohybu.

Požární detail

Chráněný průřez, shora a zdola bráněno žárů

Požární ochrana:

Sádrokarton (typ A,H,E,D,R,I)

Celková tloušťka $h_p = 20,0$ mm

Spáry tenčí než 2 mm nebo vyplněné

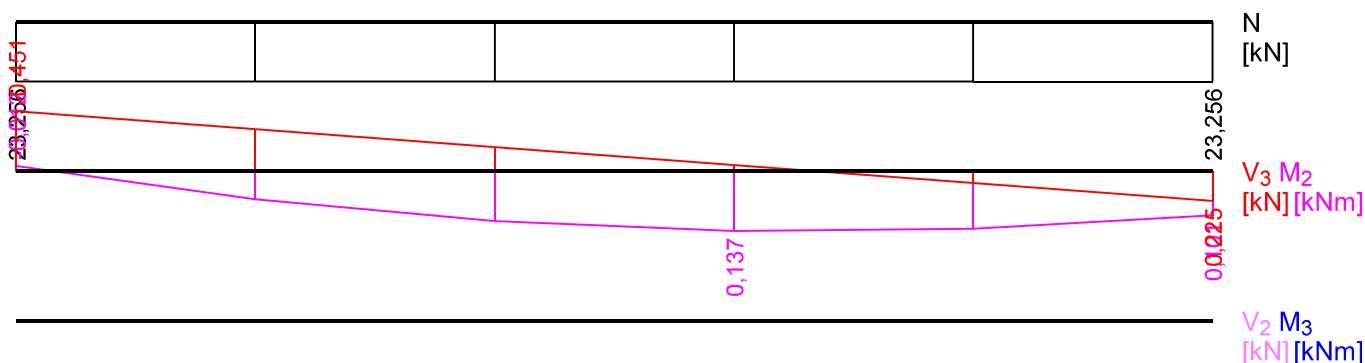
Vnitřní síly

Celkový počet zatěžovacích případů: 1

Kombinace č.3 - G1+G2:

	N[kN]	V ₃ [kN]	M ₂ [kNm]	V ₂ [kN]	M ₃ [kNm]
Max. hodnota	23,256	0,225	0,137	0,000	0,000
Min. hodnota	23,256	-0,451	-0,012	0,000	0,000

Kombinace č.3 - G1+G2:



4.2 Výsledky

Celkové posouzení

Posouzení v čase požadované požární odolnosti $t = 15,0$ min:

Metoda redukovaného průřezu

Hloubka zuhelnatění $d_{char,n} = 0,0$ mm

Rozhodující zatěžovací případ: Kombinace č.3 - G1+G2

Vnitřní síly: $N = 23,256$ kN; $M_y = 0,137$ kNm; $M_z = 0,000$ kNm; $V_z = -0,045$ kN; $V_y = 0,000$ kN

Posudek kombinace tahu a ohybu:

Únosnosti: $N_{R,t,fi} = 98,000$ kN; $M_{y,R,t,fi} = 4,480$ kNm

$0,237 + 0,031 + 0,0 = 0,268 < 1$ **Vyhovuje**

Posudek smyku od posouvajících sil:

Únosnost: $V_{R,t,fi} = 12,507$ kN

$0,004 < 1$ **Vyhovuje**

Průřez vyhovuje

5 5:DD

5.1 Vstupní data

Délka dílce: 1,000 m

Průřez

Úsek č.	Začátek [m]	Konec [m]	Průřez	Natočení [°]
1	0,000	1,000	obdélník 40x160	0,0

Materiál

Název: C24 - jehličnaté

Při výpočtu je zohledněn součinitel k_h pro zvětšení pevnosti dřeva v tahu a ohybu.

Požární detail

Chráněný průřez, shora a zdola bráněno žárů

Požární ochrana:

Sádrokarton (typ A,H,E,D,R,I)

Celková tloušťka $h_p = 20,0$ mm

Spáry tenčí než 2 mm nebo vyplněné

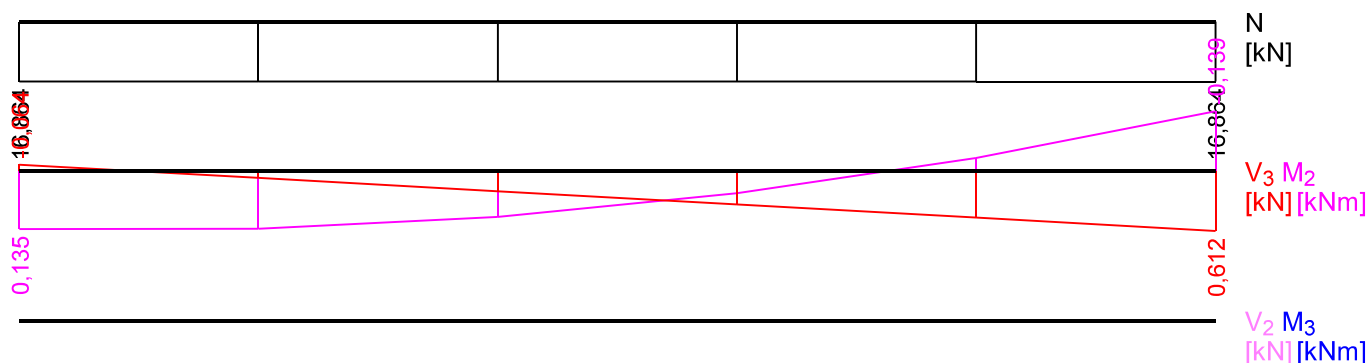
Vnitřní síly

Celkový počet zatěžovacích případů: 1

Kombinace č.3 - G1+G2:

	N[kN]	V_3 [kN]	M_2 [kNm]	V_2 [kN]	M_3 [kNm]
Max. hodnota	16,864	0,612	0,135	0,000	0,000
Min. hodnota	16,864	-0,064	-0,139	0,000	0,000

Kombinace č.3 - G1+G2:



5.2 Výsledky

Celkové posouzení

Posouzení v čase požadované požární odolnosti $t = 15,0$ min:

Metoda redukovaného průřezu

Hloubka zuhelnatění $d_{char,n} = 0,0$ mm

Rozhodující zatěžovací případ: Kombinace č.3 - G1+G2

Vnitřní síly: $N = 16,864$ kN; $M_y = -0,139$ kNm; $M_z = 0,000$ kNm; $V_z = 0,612$ kN; $V_y = 0,000$ kN

Posudek kombinace tahu a ohybu:

Únosnosti: $N_{R,t,fi} = 98,000$ kN; $M_{y,R,t,fi} = -4,480$ kNm

$0,172 + 0,031 + 0,0 = 0,203 < 1$ **Vyhovuje**

Posudek smyku od posouvajících sil:

Únosnost: $V_{R,t,fi} = 12,507$ kN

$0,049 < 1$ **Vyhovuje**

Průřez vyhovuje

6 6:DD

6.1 Vstupní data

Délka dílce: 1,000 m

Průřez

Úsek č.	Začátek [m]	Konec [m]	Průřez	Natočení [°]
1	0,000	1,000	obdélník 40x160	0,0

Materiál

Název: C24 - jehličnaté

Při výpočtu je zohledněn součinitel k_h pro zvětšení pevnosti dřeva v tahu a ohybu.

Požární detail

Chráněný průřez, shora a zdola bráněno žárů

Požární ochrana:

Sádrokarton (typ A,H,E,D,R,I)

Celková tloušťka $h_p = 20,0$ mm

Spáry tenčí než 2 mm nebo vyplněné

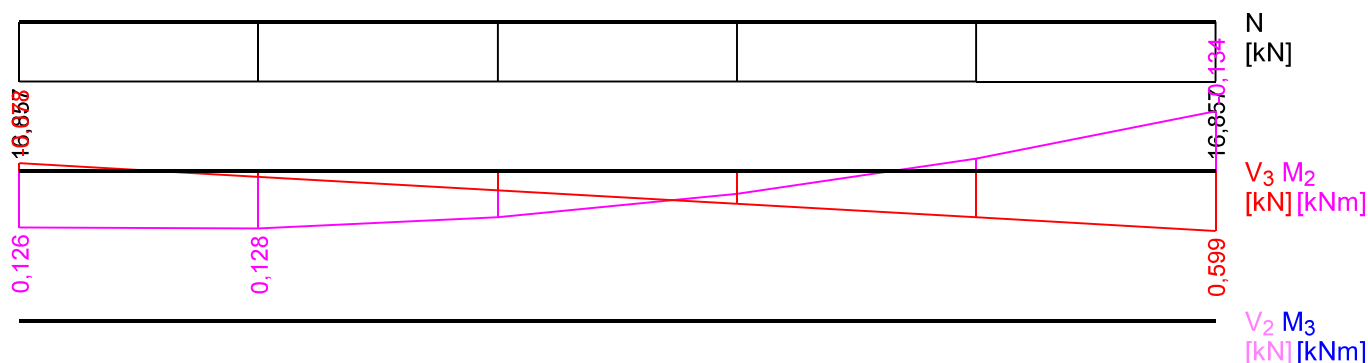
Vnitřní síly

Celkový počet zatěžovacích případů: 1

Kombinace č.3 - G1+G2:

	N[kN]	V ₃ [kN]	M ₂ [kNm]	V ₂ [kN]	M ₃ [kNm]
Max. hodnota	16,857	0,599	0,128	0,000	0,000
Min. hodnota	16,857	-0,078	-0,134	0,000	0,000

Kombinace č.3 - G1+G2:



6.2 Výsledky

Celkové posouzení

Posouzení v čase požadované požární odolnosti $t = 15,0$ min:

Metoda redukovaného průřezu

Hloubka zuhelnatění $d_{char,n} = 0,0$ mm

Rozhodující zatěžovací případ: Kombinace č.3 - G1+G2

Vnitřní síly: $N = 16,857$ kN; $M_y = -0,134$ kNm; $M_z = 0,000$ kNm; $V_z = 0,599$ kN; $V_y = 0,000$ kN

Posudek kombinace tahu a ohybu:

Únosnosti: $N_{R,t,fi} = 98,000$ kN; $M_{y,R,t,fi} = -4,480$ kNm

$0,172 + 0,03 + 0,0 = 0,202 < 1$ **Vyhovuje**

Posudek smyku od posouvajících sil:

Únosnost: $V_{R,t,fi} = 12,507$ kN

$0,048 < 1$ **Vyhovuje**

Průřez vyhovuje

7 7:DD

7.1 Vstupní data

Délka dílce: 1,000 m

Průřez

Úsek č.	Začátek [m]	Konec [m]	Průřez	Natočení [°]
1	0,000	1,000	obdélník 40x160	0,0

Materiál

Název: C24 - jehličnaté

Při výpočtu je zohledněn součinitel k_h pro zvětšení pevnosti dřeva v tahu a ohybu.

Požární detail

Chráněný průřez, shora a zdola bráněno žáru

Požární ochrana:

Sádrokarton (typ A,H,E,D,R,I)

Celková tloušťka $h_p = 20,0$ mm

Spáry tenčí než 2 mm nebo vyplněné

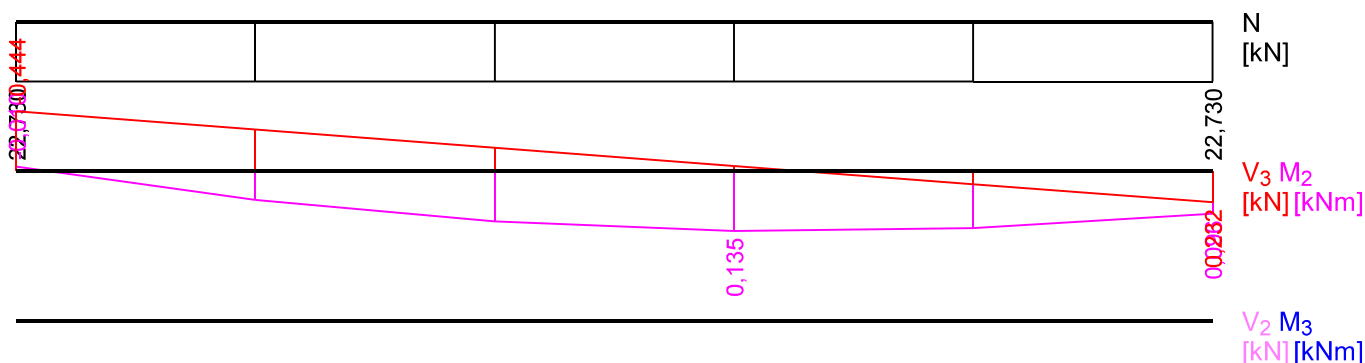
Vnitřní síly

Celkový počet zatěžovacích případů: 1

Kombinace č.3 - G1+G2:

	N [kN]	V_3 [kN]	M_2 [kNm]	V_2 [kN]	M_3 [kNm]
Max. hodnota	22,730	0,232	0,135	0,000	0,000
Min. hodnota	22,730	-0,444	-0,010	0,000	0,000

Kombinace č.3 - G1+G2:



7.2 Výsledky

Celkové posouzení

Posouzení v čase požadované požární odolnosti $t = 15,0$ min:

Metoda redukovaného průřezu

Hloubka zuhelnatění $d_{char,n} = 0,0$ mm

Rozhodující zatěžovací případ: Kombinace č.3 - G1+G2

Vnitřní síly: $N = 22,730$ kN; $M_y = 0,135$ kNm; $M_z = 0,000$ kNm; $V_z = -0,038$ kN; $V_y = 0,000$ kN

Posudek kombinace tahu a ohybu:

Únosnosti: $N_{R,t,fi} = 98,000$ kN; $M_{y,R,t,fi} = 4,480$ kNm

$0,232 + 0,03 + 0,0 = 0,262 < 1$ **Vyhovuje**

Posudek smyku od posouvajících sil:

Únosnost: $V_{R,t,fi} = 12,507$ kN

$0,003 < 1$ **Vyhovuje**

Průřez vyhovuje

8 8:DD

8.1 Vstupní data

Délka dílce: 1,000 m

Průřez

Úsek č.	Začátek [m]	Konec [m]	Průřez	Natočení [°]
1	0,000	1,000	obdélník 40x160	0,0

Materiál

Název: C24 - jehličnaté

Při výpočtu je zohledněn součinitel k_h pro zvětšení pevnosti dřeva v tahu a ohybu.

Požární detail

Chráněný průřez, shora a zdola bráněno žárů

Požární ochrana:

Sádrokarton (typ A,H,E,D,R,I)

Celková tloušťka $h_p = 20,0$ mm

Spáry tenčí než 2 mm nebo vyplněné

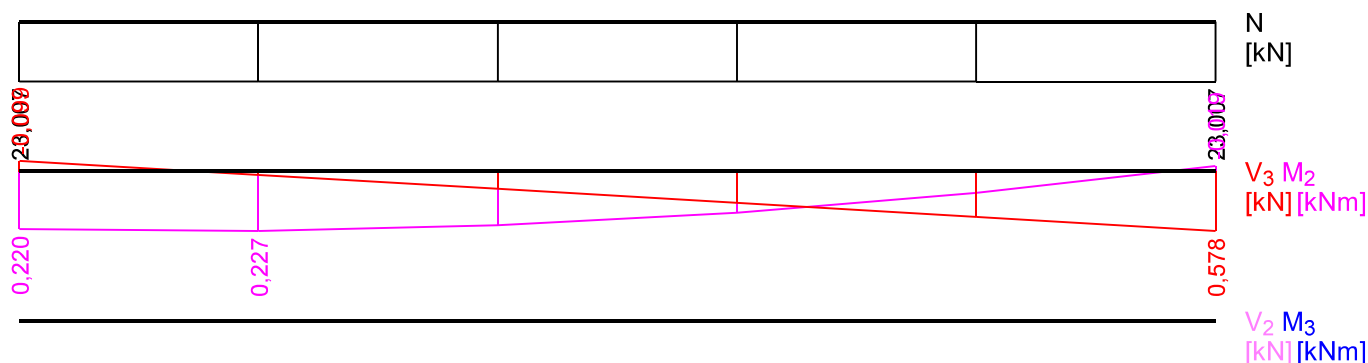
Vnitřní síly

Celkový počet zatěžovacích případů: 1

Kombinace č.3 - G1+G2:

	N[kN]	V ₃ [kN]	M ₂ [kNm]	V ₂ [kN]	M ₃ [kNm]
Max. hodnota	23,007	0,578	0,227	0,000	0,000
Min. hodnota	23,007	-0,099	-0,019	0,000	0,000

Kombinace č.3 - G1+G2:



8.2 Výsledky

Celkové posouzení

Posouzení v čase požadované požární odolnosti $t = 15,0$ min:

Metoda redukovaného průřezu

Hloubka zuhelnatění $d_{char,n} = 0,0$ mm

Rozhodující zatěžovací případ: Kombinace č.3 - G1+G2

Vnitřní síly: $N = 23,007$ kN; $M_y = 0,227$ kNm; $M_z = 0,000$ kNm; $V_z = 0,036$ kN; $V_y = 0,000$ kN

Posudek kombinace tahu a ohybu:

Únosnosti: $N_{R,t,fi} = 98,000$ kN; $M_{y,R,t,fi} = 4,480$ kNm

$0,235 + 0,051 + 0,0 = 0,285 < 1$ **Vyhovuje**

Posudek smyku od posouvajících sil:

Únosnost: $V_{R,t,fi} = 12,507$ kN

$0,003 < 1$ **Vyhovuje**

Průřez vyhovuje

9 9:DD

9.1 Vstupní data

Délka dílce: 1,000 m

Průřez

Úsek č.	Začátek [m]	Konec [m]	Průřez	Natočení [°]
1	0,000	1,000	obdélník 40x160	0,0

Materiál

Název: C24 - jehličnaté

Při výpočtu je zohledněn součinitel k_h pro zvětšení pevnosti dřeva v tahu a ohybu.

Požární detail

Chráněný průřez, shora a zdola bráněno žáru

Požární ochrana:

Sádrokarton (typ A,H,E,D,R,I)

Celková tloušťka $h_p = 20,0$ mm

Spáry tenčí než 2 mm nebo vyplněné

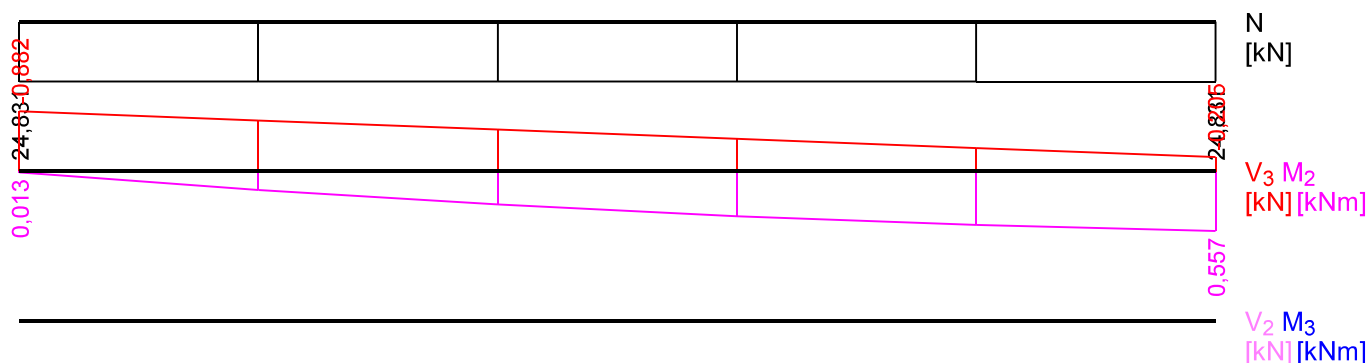
Vnitřní síly

Celkový počet zatěžovacích případů: 1

Kombinace č.3 - G1+G2:

	N[kN]	V ₃ [kN]	M ₂ [kNm]	V ₂ [kN]	M ₃ [kNm]
Max. hodnota	24,831	-0,205	0,557	0,000	0,000
Min. hodnota	24,831	-0,882	0,013	0,000	0,000

Kombinace č.3 - G1+G2:



9.2 Výsledky

Celkové posouzení

Posouzení v čase požadované požární odolnosti $t = 15,0$ min:

Metoda redukovaného průřezu

Hloubka zuhelnatění $d_{char,n} = 0,0$ mm

Rozhodující zatěžovací případ: Kombinace č.3 - G1+G2

Vnitřní síly: $N = 24,831$ kN; $M_y = 0,557$ kNm; $M_z = 0,000$ kNm; $V_z = -0,205$ kN; $V_y = 0,000$ kN

Posudek kombinace tahu a ohybu:

Únosnosti: $N_{R,t,fi} = 98,000$ kN; $M_{y,R,t,fi} = 4,480$ kNm

$0,253 + 0,124 + 0,0 = 0,378 < 1$ **Vyhovuje**

Posudek smyku od posouvajících sil:

Únosnost: $V_{R,t,fi} = 12,507$ kN

$0,016 < 1$ **Vyhovuje**

Průřez vyhovuje

10 10:DD

10.1 Vstupní data

Délka dílce: 1,000 m

Průřez

Úsek č.	Začátek [m]	Konec [m]	Průřez	Natočení [°]
1	0,000	1,000	obdélník 40x180	0,0

Materiál

Název: C24 - jehličnaté

Při výpočtu je zohledněn součinitel k_h pro zvětšení pevnosti dřeva v tahu a ohybu.

Požární detail

Chráněný průřez, shora a zdola bráněno žáru

Požární ochrana:

Sádrokarton (typ A,H,E,D,R,I)

Celková tloušťka $h_p = 20,0$ mm

Spáry tenčí než 2 mm nebo vyplněné

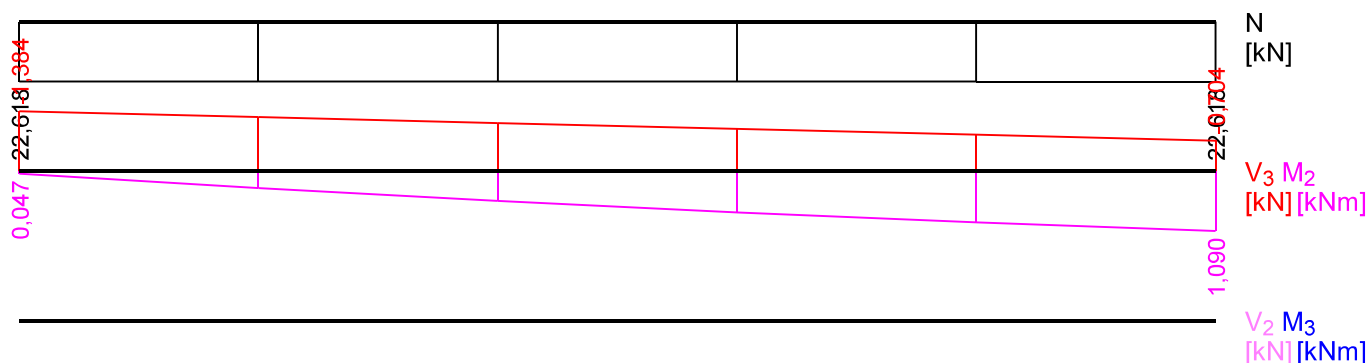
Vnitřní síly

Celkový počet zatěžovacích případů: 1

Kombinace č.3 - G1+G2:

	N[kN]	V ₃ [kN]	M ₂ [kNm]	V ₂ [kN]	M ₃ [kNm]
Max. hodnota	22,618	-0,704	1,090	0,000	0,000
Min. hodnota	22,618	-1,384	0,047	0,000	0,000

Kombinace č.3 - G1+G2:



10.2 Výsledky

Celkové posouzení

Posouzení v čase požadované požární odolnosti $t = 15,0$ min:

Metoda redukovaného průřezu

Hloubka zuhelnatění $d_{char,n} = 0,0$ mm

Rozhodující zatěžovací případ: Kombinace č.3 - G1+G2

Vnitřní síly: $N = 22,618$ kN; $M_y = 1,090$ kNm; $M_z = 0,000$ kNm; $V_z = -0,704$ kN; $V_y = 0,000$ kN

Posudek kombinace tahu a ohybu:

Únosnosti: $N_{R,t,fi} = 110,250$ kN; $M_{y,R,t,fi} = 5,670$ kNm

$0,205 + 0,192 + 0,0 = 0,397 < 1$ **Vyhovuje**

Posudek smyku od posouvajících sil:

Únosnost: $V_{R,t,fi} = 14,070$ kN

$0,05 < 1$ **Vyhovuje**

Průřez vyhovuje

11 11:DD

11.1 Vstupní data

Délka dílce: 1,044 m

Průřez

Úsek č.	Začátek [m]	Konec [m]	Průřez	Natočení [°]
1	0,000	1,044	obdélník 40x160	0,0

Materiál

Název: C24 - jehličnaté

Při výpočtu je zohledněn součinitel k_h pro zvětšení pevnosti dřeva v tahu a ohybu.

Požární detail

Chráněný průřez, shora a zdola bráněno žáru

Požární ochrana:

Sádrokarton (typ A,H,E,D,R,I)

Celková tloušťka $h_p = 20,0$ mm

Spáry tenčí než 2 mm nebo vyplněné

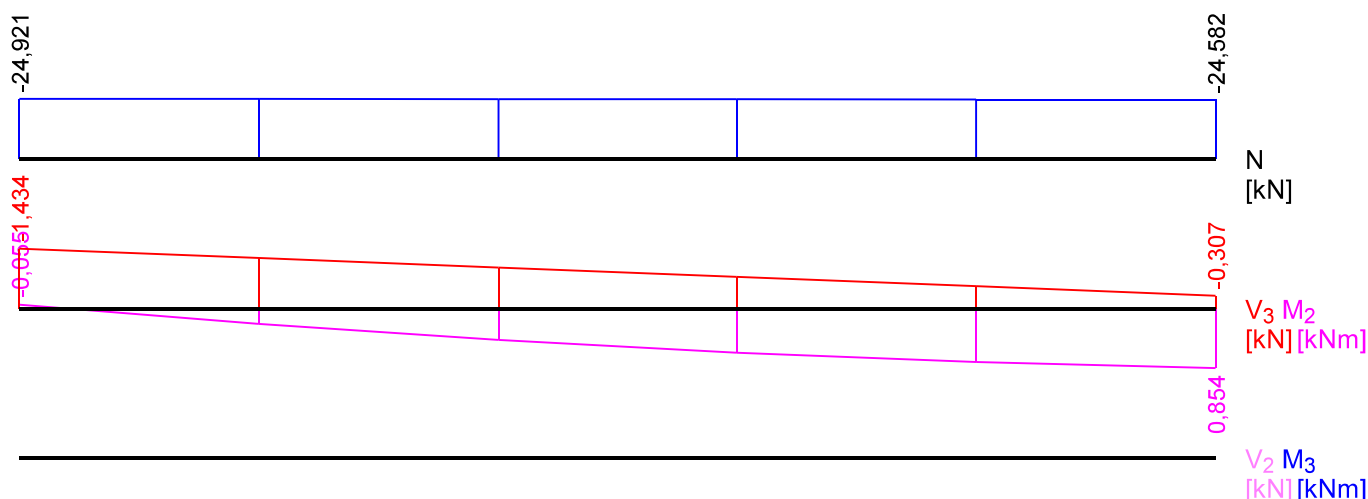
Vnitřní síly

Celkový počet zatěžovacích případů: 1

Kombinace č.3 - G1+G2:

	N [kN]	V_3 [kN]	M_2 [kNm]	V_2 [kN]	M_3 [kNm]
Max. hodnota	-24,582	-0,307	0,854	0,000	0,000
Min. hodnota	-24,921	-1,434	-0,055	0,000	0,000

Kombinace č.3 - G1+G2:



11.2 Výsledky

Celkové posouzení

Posouzení v čase požadované požární odolnosti $t = 15,0$ min:

Metoda redukovaného průřezu

Hloubka zuhelnatění $d_{char,n} = 0,0$ mm

Rozhodující zatěžovací případ: Kombinace č.3 - G1+G2

Vnitřní síly: $N = -24,582$ kN; $M_y = 0,854$ kNm; $M_z = 0,000$ kNm; $V_z = -0,307$ kN; $V_y = 0,000$ kN

Posudek kombinace tlaku a ohybu:

Únosnosti: $N_{R,t,fi} = 879,040$ kN; $M_{y,R,t,fi} = -4,480$ kNm

$|-0,028 + -0,191 + 0,0| = |-0,219| < 1$ **Vyhovuje**

Posudek smyku od posouvajících sil:

Únosnost: $V_{R,t,fi} = 12,507$ kN

$0,025 < 1$ **Vyhovuje**

Průřez vyhovuje

12 12:DD

12.1 Vstupní data

Délka dílce: 1,044 m

Průřez

Úsek č.	Začátek [m]	Konec [m]	Průřez	Natočení [°]
1	0,000	1,044	obdélník 40x160	0,0

Materiál

Název: C24 - jehličnaté

Při výpočtu je zohledněn součinitel k_h pro zvětšení pevnosti dřeva v tahu a ohybu.

Požární detail

Chráněný průřez, shora a zdola bráněno žáru

Požární ochrana:

Sádrokarton (typ A,H,E,D,R,I)

Celková tloušťka $h_p = 20,0$ mm

Spáry tenčí než 2 mm nebo vyplněné

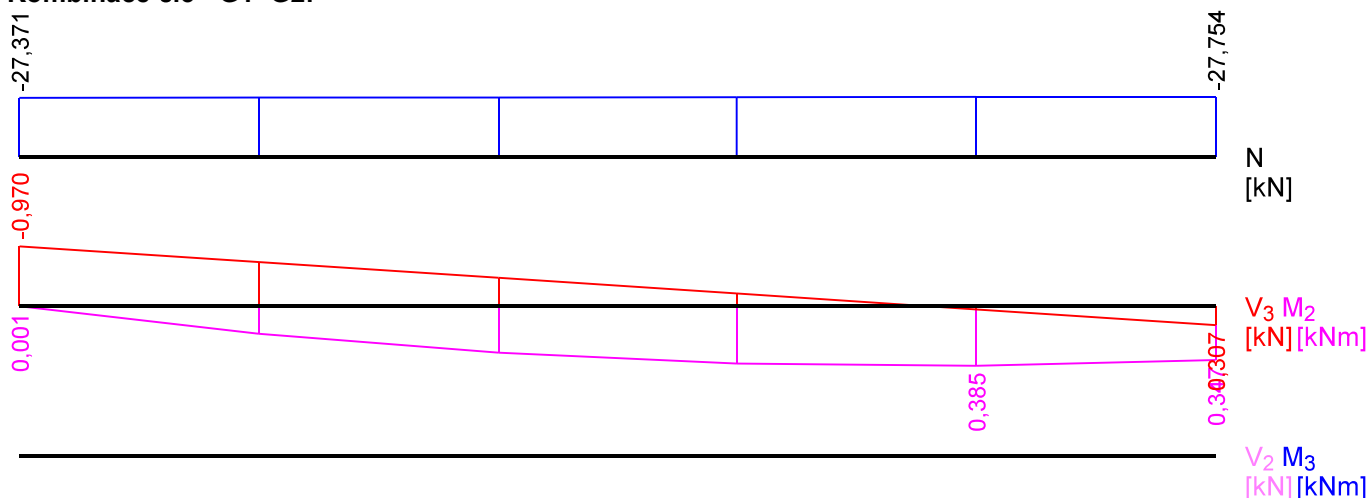
Vnitřní síly

Celkový počet zatěžovacích případů: 1

Kombinace č.3 - G1+G2:

	N[kN]	V ₃ [kN]	M ₂ [kNm]	V ₂ [kN]	M ₃ [kNm]
Max. hodnota	-27,371	0,307	0,385	0,000	0,000
Min. hodnota	-27,754	-0,970	0,001	0,000	0,000

Kombinace č.3 - G1+G2:



12.2 Výsledky

Celkové posouzení

Posouzení v čase požadované požární odolnosti $t = 15,0$ min:

Metoda redukovaného průřezu

Hloubka zuhelnatění $d_{char,n} = 0,0$ mm

Rozhodující zatěžovací případ: Kombinace č.3 - G1+G2

Vnitřní síly: $N = -27,677$ kN; $M_y = 0,385$ kNm; $M_z = 0,000$ kNm; $V_z = 0,051$ kN; $V_y = 0,000$ kN

Posudek kombinace tlaku a ohybu:

Únosnosti: $N_{R,t,fi} = 780,754$ kN; $M_{y,R,t,fi} = -4,480$ kNm

$|-0,035 + -0,086 + 0,0| = |-0,121| < 1$ **Vyhovuje**

Posudek smyku od posouvajících sil:

Únosnost: $V_{R,t,fi} = 12,507$ kN

$0,004 < 1$ **Vyhovuje**

Průřez vyhovuje

13 13:DD

13.1 Vstupní data

Délka dílce: 1,044 m

Průřez

Úsek č.	Začátek [m]	Konec [m]	Průřez	Natočení [°]
1	0,000	1,044	obdélník 40x160	0,0

Materiál

Název: C24 - jehličnaté

Při výpočtu je zohledněn součinitel k_h pro zvětšení pevnosti dřeva v tahu a ohybu.

Požární detail

Chráněný průřez, shora a zdola bráněno žáru

Požární ochrana:

Sádkartón (typ A,H,E,D,R,I)

Celková tloušťka $h_p = 20,0$ mm

Spáry tenčí než 2 mm nebo vyplněné

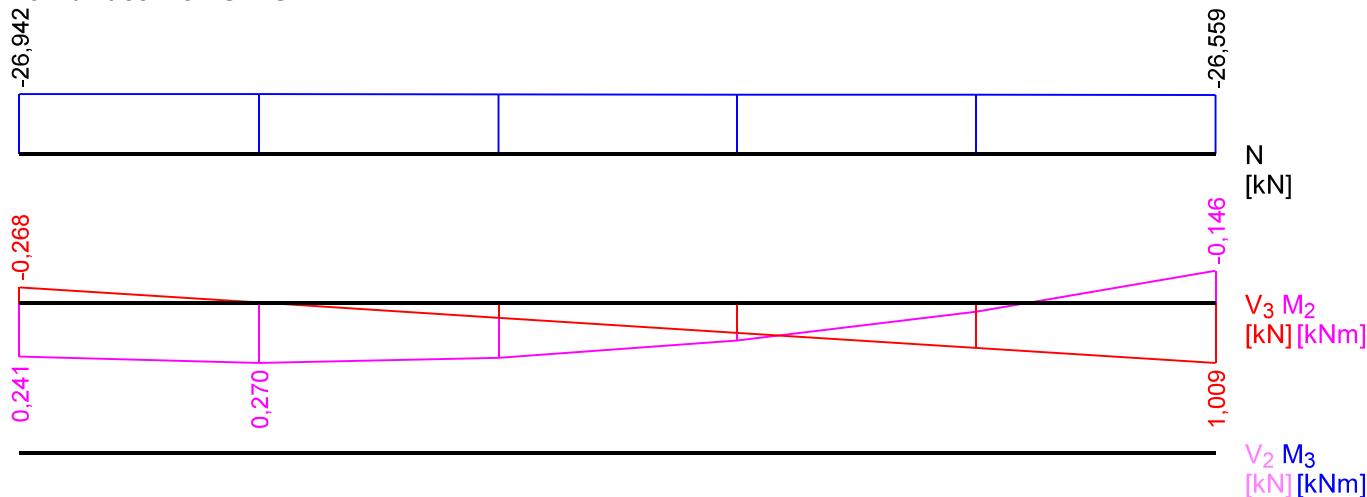
Vnitřní síly

Celkový počet zatěžovacích případů: 1

Kombinace č.3 - G1+G2:

	N[kN]	V ₃ [kN]	M ₂ [kNm]	V ₂ [kN]	M ₃ [kNm]
Max. hodnota	-26,559	1,009	0,270	0,000	0,000
Min. hodnota	-26,942	-0,268	-0,146	0,000	0,000

Kombinace č.3 - G1+G2:



13.2 Výsledky

Celkové posouzení

Posouzení v čase požadované požární odolnosti $t = 15,0$ min:

Metoda redukovaného průřezu

Hloubka zuhelnatění $d_{char,n} = 0,0$ mm

Rozhodující zatěžovací případ: Kombinace č.3 - G1+G2

Vnitřní síly: $N = -26,865$ kN; $M_y = 0,270$ kNm; $M_z = 0,000$ kNm; $V_z = -0,013$ kN; $V_y = 0,000$ kN

Posudek kombinace tlaku a ohybu:

Únosnosti: $N_{R,t,fi} = 804,346$ kN; $M_{y,R,t,fi} = -4,480$ kNm

$|-0,033 + -0,06 + 0,0| = |-0,094| < 1$ **Vyhovuje**

Posudek smyku od posouvajících sil:

Únosnost: $V_{R,t,fi} = 12,507$ kN

$0,001 < 1$ **Vyhovuje**

Průřez vyhovuje

14 14:DD

14.1 Vstupní data

Délka dílce: 1,044 m

Průřez

Úsek č.	Začátek [m]	Konec [m]	Průřez	Natočení [°]
1	0,000	1,044	obdélník 40x160	0,0

Materiál

Název: C24 - jehličnaté

Při výpočtu je zohledněn součinitel k_h pro zvětšení pevnosti dřeva v tahu a ohybu.

Požární detail

Chráněný průřez, shora a zdola bráněno žáru

Požární ochrana:

Sádkarton (typ A,H,E,D,R,I)

Celková tloušťka $h_p = 20,0$ mm

Spáry tenčí než 2 mm nebo vyplněné

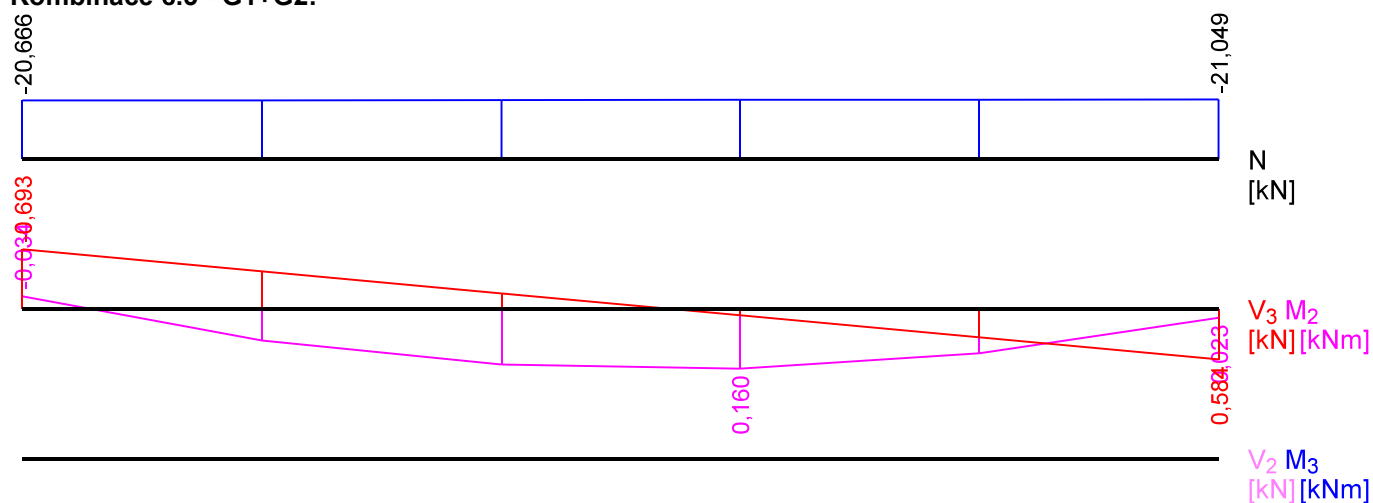
Vnitřní síly

Celkový počet zatěžovacích případů: 1

Kombinace č.3 - G1+G2:

	N[kN]	V ₃ [kN]	M ₂ [kNm]	V ₂ [kN]	M ₃ [kNm]
Max. hodnota	-20,666	0,584	0,160	0,000	0,000
Min. hodnota	-21,049	-0,693	-0,034	0,000	0,000

Kombinace č.3 - G1+G2:



14.2 Výsledky

Celkové posouzení

Posouzení v čase požadované požární odolnosti $t = 15,0$ min:

Metoda redukovaného průřezu

Hloubka zuhelnatění $d_{char,n} = 0,0$ mm

Rozhodující zatěžovací případ: Kombinace č.3 - G1+G2

Vnitřní síly: $N = -20,896$ kN; $M_y = 0,160$ kNm; $M_z = 0,000$ kNm; $V_z = 0,073$ kN; $V_y = 0,000$ kN

Posudek kombinace tlaku a ohybu:

Únosnosti: $N_{R,t,fi} = 1034,117$ kN; $M_{y,R,t,fi} = -4,480$ kNm

$|-0,02 + -0,036 + 0,0| = |-0,056| < 1$ **Vyhovuje**

Posudek smyku od posouvajících sil:

Únosnost: $V_{R,t,fi} = 12,507$ kN

$0,006 < 1$ **Vyhovuje**

Průřez vyhovuje

15 15:DD

15.1 Vstupní data

Délka dílce: 1,044 m

Průřez

Úsek č.	Začátek [m]	Konec [m]	Průřez	Natočení [°]
1	0,000	1,044	obdélník 40x160	0,0

Materiál

Název: C24 - jehličnaté

Při výpočtu je zohledněn součinitel k_h pro zvětšení pevnosti dřeva v tahu a ohybu.

Požární detail

Chráněný průřez, shora a zdola bráněno žáru

Požární ochrana:

Sádkarton (typ A,H,E,D,R,I)

Celková tloušťka $h_p = 20,0$ mm

Spáry tenčí než 2 mm nebo vyplněné

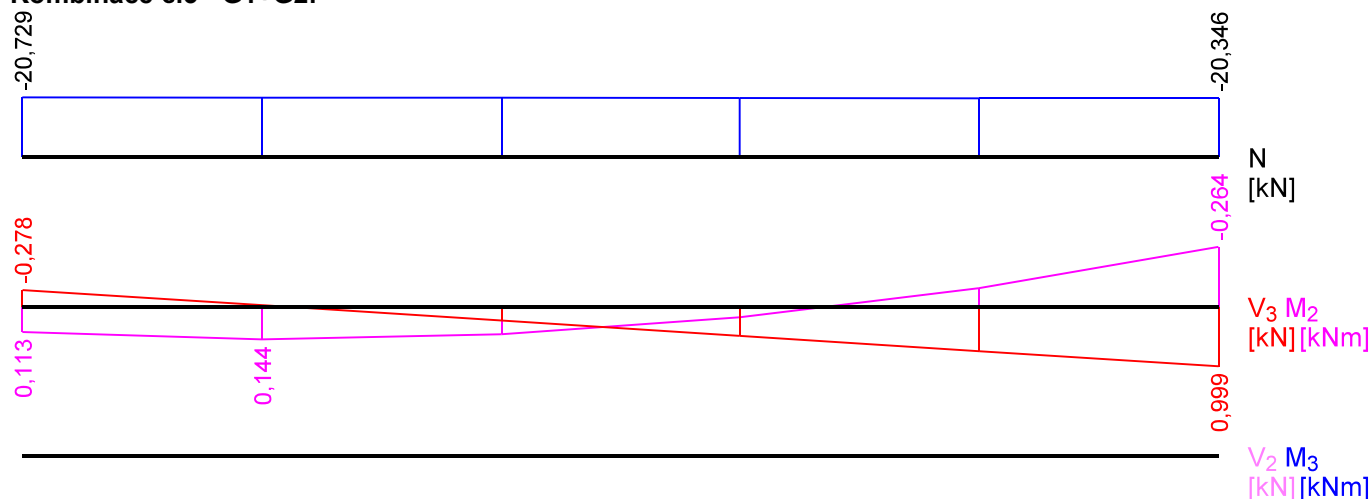
Vnitřní síly

Celkový počet zatěžovacích případů: 1

Kombinace č.3 - G1+G2:

	N[kN]	V ₃ [kN]	M ₂ [kNm]	V ₂ [kN]	M ₃ [kNm]
Max. hodnota	-20,346	0,999	0,144	0,000	0,000
Min. hodnota	-20,729	-0,278	-0,264	0,000	0,000

Kombinace č.3 - G1+G2:



15.2 Výsledky

Celkové posouzení

Posouzení v čase požadované požární odolnosti $t = 15,0$ min:

Metoda redukovaného průřezu

Hloubka zuhelnatění $d_{char,n} = 0,0$ mm

Rozhodující zatěžovací případ: Kombinace č.3 - G1+G2

Vnitřní síly: $N = -20,346$ kN; $M_y = -0,264$ kNm; $M_z = 0,000$ kNm; $V_z = 0,999$ kN; $V_y = 0,000$ kN

Posudek kombinace tlaku a ohybu:

Únosnosti: $N_{R,t,fi} = 1062,054$ kN; $M_{y,R,t,fi} = 4,480$ kNm

$|-0,019 + -0,059 + 0,0| = |-0,078| < 1$ **Vyhovuje**

Posudek smyku od posouvajících sil:

Únosnost: $V_{R,t,fi} = 12,507$ kN

$0,08 < 1$ **Vyhovuje**

Průřez vyhovuje

16 16:DD

16.1 Vstupní data

Délka dílce: 1,044 m

Průřez

Úsek č.	Začátek [m]	Konec [m]	Průřez	Natočení [°]
1	0,000	1,044	obdélník 40x160	0,0

Materiál

Název: C24 - jehličnaté

Při výpočtu je zohledněn součinitel k_h pro zvětšení pevnosti dřeva v tahu a ohybu.

Požární detail

Chráněný průřez, shora a zdola bráněno žáru

Požární ochrana:

Sádkarton (typ A,H,E,D,R,I)

Celková tloušťka $h_p = 20,0$ mm

Spáry tenčí než 2 mm nebo vyplněné

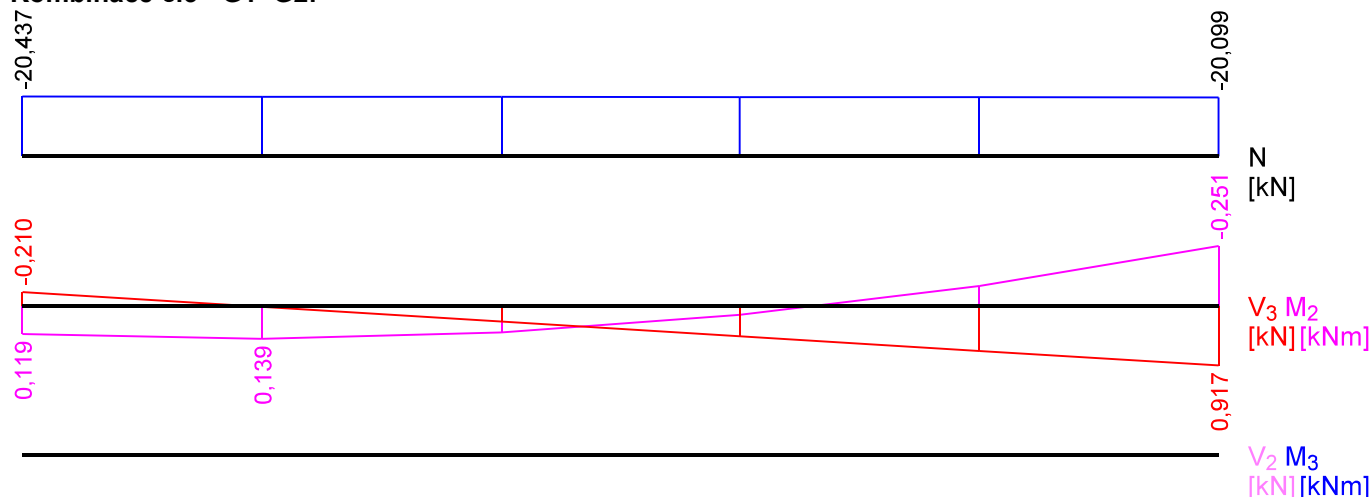
Vnitřní síly

Celkový počet zatěžovacích případů: 1

Kombinace č.3 - G1+G2:

	N[kN]	V ₃ [kN]	M ₂ [kNm]	V ₂ [kN]	M ₃ [kNm]
Max. hodnota	-20,099	0,917	0,139	0,000	0,000
Min. hodnota	-20,437	-0,210	-0,251	0,000	0,000

Kombinace č.3 - G1+G2:



16.2 Výsledky

Celkové posouzení

Posouzení v čase požadované požární odolnosti $t = 15,0$ min:

Metoda redukovaného průřezu

Hloubka zuhelnatění $d_{char,n} = 0,0$ mm

Rozhodující zatěžovací případ: Kombinace č.3 - G1+G2

Vnitřní síly: $N = -20,099$ kN; $M_y = -0,251$ kNm; $M_z = 0,000$ kNm; $V_z = 0,917$ kN; $V_y = 0,000$ kN

Posudek kombinace tlaku a ohybu:

Únosnosti: $N_{R,t,fi} = 1075,131$ kN; $M_{y,R,t,fi} = 4,480$ kNm

$|-0,019 + -0,056 + 0,0| = |-0,075| < 1$ **Vyhovuje**

Posudek smyku od posouvajících sil:

Únosnost: $V_{R,t,fi} = 12,507$ kN

$0,073 < 1$ **Vyhovuje**

Průřez vyhovuje

17 17:DD

17.1 Vstupní data

Délka dílce: 1,044 m

Průřez

Úsek č.	Začátek [m]	Konec [m]	Průřez	Natočení [°]
1	0,000	1,044	obdélník 40x160	0,0

Materiál

Název: C24 - jehličnaté

Při výpočtu je zohledněn součinitel k_h pro zvětšení pevnosti dřeva v tahu a ohybu.

Požární detail

Chráněný průřez, shora a zdola bráněno žáru

Požární ochrana:

Sádkarton (typ A,H,E,D,R,I)

Celková tloušťka $h_p = 20,0$ mm

Spáry tenčí než 2 mm nebo vyplněné

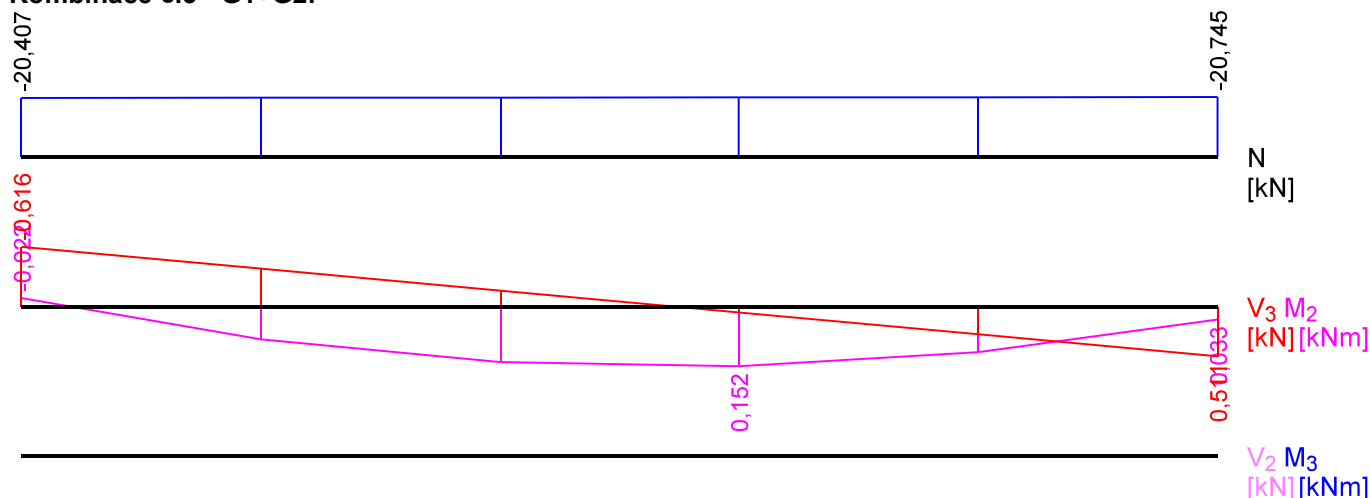
Vnitřní síly

Celkový počet zatěžovacích případů: 1

Kombinace č.3 - G1+G2:

	N[kN]	V ₃ [kN]	M ₂ [kNm]	V ₂ [kN]	M ₃ [kNm]
Max. hodnota	-20,407	0,511	0,152	0,000	0,000
Min. hodnota	-20,745	-0,616	-0,022	0,000	0,000

Kombinace č.3 - G1+G2:



17.2 Výsledky

Celkové posouzení

Posouzení v čase požadované požární odolnosti $t = 15,0$ min:

Metoda redukovaného průřezu

Hloubka zuhelnatění $d_{char,n} = 0,0$ mm

Rozhodující zatěžovací případ: Kombinace č.3 - G1+G2

Vnitřní síly: $N = -20,610$ kN; $M_y = 0,152$ kNm; $M_z = 0,000$ kNm; $V_z = 0,060$ kN; $V_y = 0,000$ kN

Posudek kombinace tlaku a ohybu:

Únosnosti: $N_{R,t,fi} = 1048,482$ kN; $M_{y,R,t,fi} = -4,480$ kNm

$|-0,02 + -0,034 + 0,0| = |-0,054| < 1$ **Vyhovuje**

Posudek smyku od posouvajících sil:

Únosnost: $V_{R,t,fi} = 12,507 \text{ kN}$
 $0,005 < 1$ **Vyhovuje**

Průřez vyhovuje

18 18:DD

18.1 Vstupní data

Délka dílce: 1,044 m

Průřez

Úsek č.	Začátek [m]	Konec [m]	Průřez	Natočení [°]
1	0,000	1,044	obdélník 40x160	0,0

Materiál

Název: C24 - jehličnaté

Při výpočtu je zohledněn součinitel k_h pro zvětšení pevnosti dřeva v tahu a ohybu.

Požární detail

Chráněný průřez, shora a zdola bráněno žáru

Požární ochrana:

Sádrokarton (typ A,H,E,D,R,I)

Celková tloušťka $h_p = 20,0 \text{ mm}$

Spáry tenčí než 2 mm nebo vyplněné

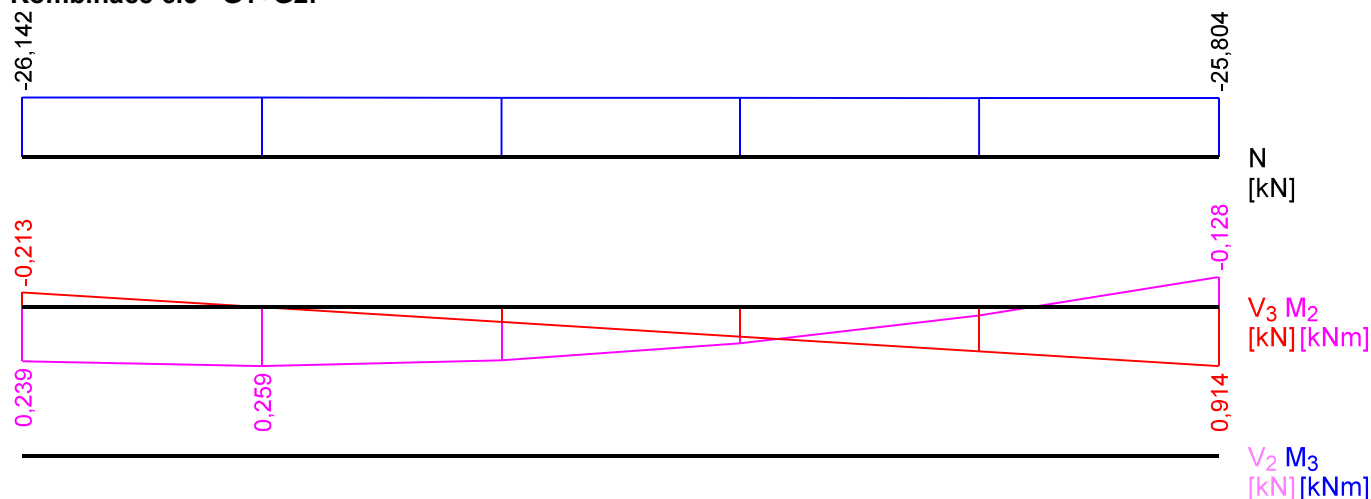
Vnitřní síly

Celkový počet zatěžovacích případů: 1

Kombinace č.3 - G1+G2:

	N[kN]	V ₃ [kN]	M ₂ [kNm]	V ₂ [kN]	M ₃ [kNm]
Max. hodnota	-25,804	0,914	0,259	0,000	0,000
Min. hodnota	-26,142	-0,213	-0,128	0,000	0,000

Kombinace č.3 - G1+G2:



18.2 Výsledky

Celkové posouzení

Posouzení v čase požadované požární odolnosti $t = 15,0 \text{ min}$:

Metoda redukovaného průřezu

Hloubka zuhelnatění $d_{char,n} = 0,0 \text{ mm}$

Rozhodující zatěžovací případ: Kombinace č.3 - G1+G2

Vnitřní síly: $N = -26,074 \text{ kN}$; $M_y = 0,259 \text{ kNm}$; $M_z = 0,000 \text{ kNm}$; $V_z = 0,013 \text{ kN}$; $V_y = 0,000 \text{ kN}$

Posudek kombinace tlaku a ohybu:

Únosnosti: $N_{R,t,fi} = 828,750 \text{ kN}$; $M_{y,R,t,fi} = -4,480 \text{ kNm}$
 $|-0,031 + -0,058 + 0,0| = |-0,089| < 1$ **Vyhovuje**

Posudek smyku od posouvajících sil:

Únosnost: $V_{R,t,fi} = 12,507 \text{ kN}$

$0,001 < 1$ **Vyhovuje**

Průřez vyhovuje

19 19:DD

19.1 Vstupní data

Délka dílce: 1,044 m

Průřez

Úsek č.	Začátek [m]	Konec [m]	Průřez	Natočení [°]
1	0,000	1,044	obdélník 40x160	0,0

Materiál

Název: C24 - jehličnaté

Při výpočtu je zohledněn součinitel k_h pro zvětšení pevnosti dřeva v tahu a ohybu.

Požární detail

Chráněný průřez, shora a zdola bráněno žáru

Požární ochrana:

Sádkarton (typ A,H,E,D,R,I)

Celková tloušťka $h_p = 20,0 \text{ mm}$

Spáry tenčí než 2 mm nebo vyplněné

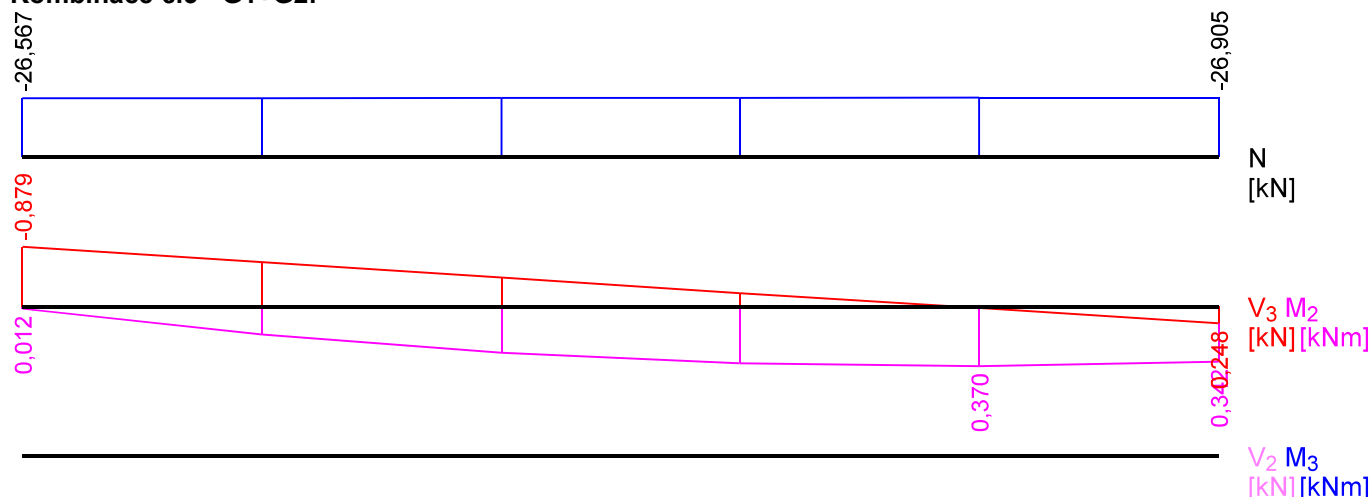
Vnitřní síly

Celkový počet zatěžovacích případů: 1

Kombinace č.3 - G1+G2:

	$N[\text{kN}]$	$V_3[\text{kN}]$	$M_2[\text{kNm}]$	$V_2[\text{kN}]$	$M_3[\text{kNm}]$
Max. hodnota	-26,567	0,248	0,370	0,000	0,000
Min. hodnota	-26,905	-0,879	0,012	0,000	0,000

Kombinace č.3 - G1+G2:



19.2 Výsledky

Celkové posouzení

Posouzení v čase požadované požární odolnosti $t = 15,0 \text{ min}$:

Metoda redukovaného průřezu

Hloubka zuhelnatění $d_{char,n} = 0,0$ mm

Rozhodující zatěžovací případ: Kombinace č.3 - G1+G2

Vnitřní síly: $N = -26,837$ kN; $M_y = 0,370$ kNm; $M_z = 0,000$ kNm; $V_z = 0,023$ kN; $V_y = 0,000$ kN

Posudek kombinace tlaku a ohybu:

Únosnosti: $N_{R,t,fi} = 805,184$ kN; $M_{y,R,t,fi} = -4,480$ kNm

$|-0,033 + -0,083 + 0,0| = |-0,116| < 1$ **Vyhovuje**

Posudek smyku od posouvajících sil:

Únosnost: $V_{R,t,fi} = 12,507$ kN

$0,002 < 1$ **Vyhovuje**

Průřez vyhovuje

20 20:DD

20.1 Vstupní data

Délka dílce: 1,044 m

Průřez

Úsek č.	Začátek [m]	Konec [m]	Průřez	Natočení [°]
1	0,000	1,044	obdélník 40x160	0,0

Materiál

Název: C24 - jehličnaté

Při výpočtu je zohledněn součinitel k_h pro zvětšení pevnosti dřeva v tahu a ohybu.

Požární detail

Chráněný průřez, shora a zdola bráněno žáru

Požární ochrana:

Sádrokarton (typ A,H,E,D,R,I)

Celková tloušťka $h_p = 20,0$ mm

Spáry tenčí než 2 mm nebo vyplněné

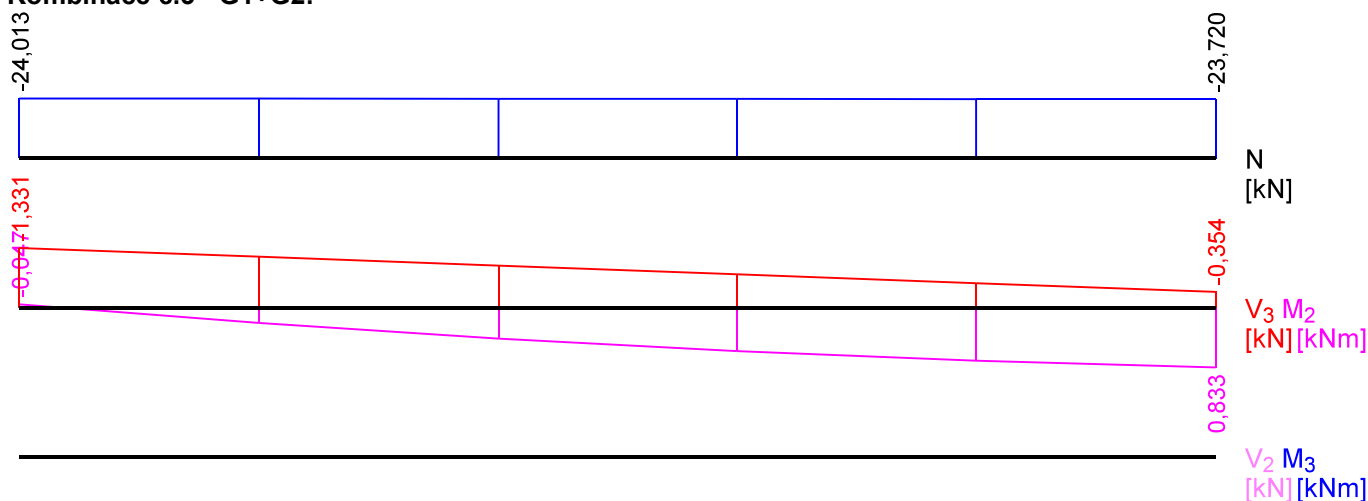
Vnitřní síly

Celkový počet zatěžovacích případů: 1

Kombinace č.3 - G1+G2:

	N [kN]	V_3 [kN]	M_2 [kNm]	V_2 [kN]	M_3 [kNm]
Max. hodnota	-23,720	-0,354	0,833	0,000	0,000
Min. hodnota	-24,013	-1,331	-0,047	0,000	0,000

Kombinace č.3 - G1+G2:



20.2 Výsledky

Celkové posouzení

Posouzení v čase požadované požární odolnosti $t = 15,0$ min:

Metoda redukovaného průřezu

Hloubka zuhelnatění $d_{char,n} = 0,0$ mm

Rozhodující zatěžovací případ: Kombinace č.3 - G1+G2

Vnitřní síly: $N = -23,720$ kN; $M_y = 0,833$ kNm; $M_z = 0,000$ kNm; $V_z = -0,354$ kN; $V_y = 0,000$ kN

Posudek kombinace tlaku a ohybu:

Únosnosti: $N_{R,t,fi} = 910,998$ kN; $M_{y,R,t,fi} = -4,480$ kNm

$|-0,026 + -0,186 + 0,0| = |-0,212| < 1$ **Vyhovuje**

Posudek smyku od posouvajících sil:

Únosnost: $V_{R,t,fi} = 12,507$ kN

$0,028 < 1$ **Vyhovuje**

Průřez vyhovuje

21 21:DD

21.1 Vstupní data

Délka dílce: 0,300 m

Průřez

Úsek č.	Začátek [m]	Konec [m]	Průřez	Natočení [°]
1	0,000	0,300	obdélník 40x160	0,0

Materiál

Název: C24 - jehličnaté

Při výpočtu je zohledněn součinitel k_h pro zvětšení pevnosti dřeva v tahu a ohybu.

Požární detail

Chráněný průřez, shora a zdola bráněno žáru

Požární ochrana:

Sádkarton (typ A,H,E,D,R,I)

Celková tloušťka $h_p = 20,0$ mm

Spáry tenčí než 2 mm nebo vyplněné

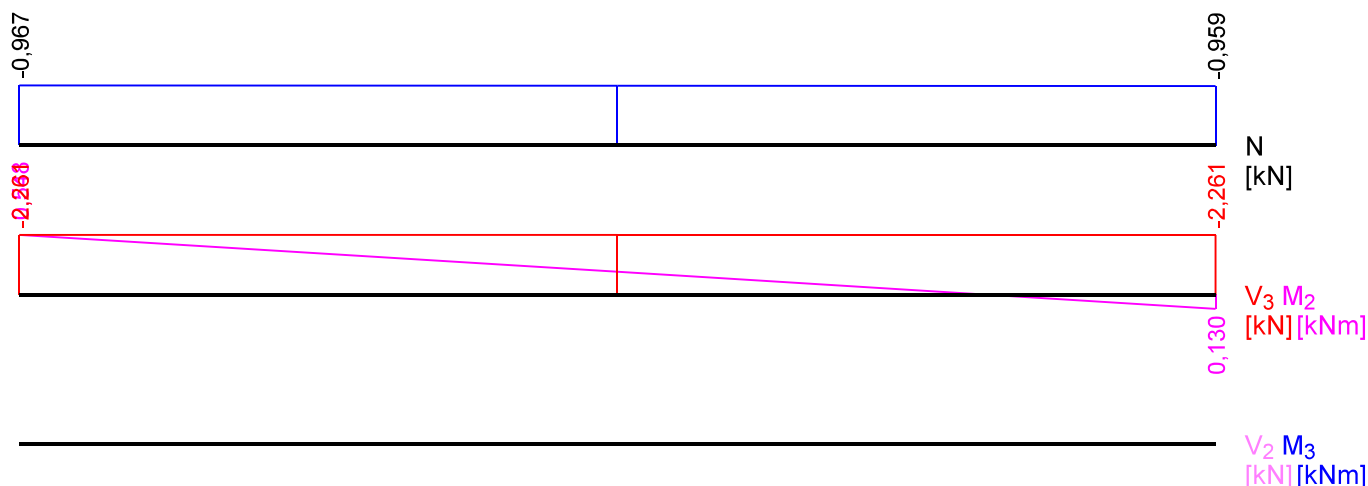
Vnitřní síly

Celkový počet zatěžovacích případů: 1

Kombinace č.3 - G1+G2:

	N [kN]	V_3 [kN]	M_2 [kNm]	V_2 [kN]	M_3 [kNm]
Max. hodnota	-0,959	-2,261	0,130	0,000	0,000
Min. hodnota	-0,967	-2,261	-0,548	0,000	0,000

Kombinace č.3 - G1+G2:



21.2 Výsledky

Celkové posouzení

Posouzení v čase požadované požární odolnosti $t = 15,0$ min:

Metoda redukovaného průřezu

Hloubka zuhelnatění $d_{char,n} = 0,0$ mm

Rozhodující zatěžovací případ: Kombinace č.3 - G1+G2

Vnitřní síly: $N = -0,967$ kN; $M_y = -0,548$ kNm; $M_z = 0,000$ kNm; $V_z = -2,261$ kN; $V_y = 0,000$ kN

Posudek kombinace tlaku a ohybu:

Únosnosti: $N_{R,t,fi} = 22337,413$ kN; $M_{y,R,t,fi} = 4,480$ kNm

$|0,0 + -0,122 + 0,0| = |-0,122| < 1$ **Vyhovuje**

Posudek smyku od posouvajících sil:

Únosnost: $V_{R,t,fi} = 12,507$ kN

$0,181 < 1$ **Vyhovuje**

Průřez vyhovuje

22 22:DD

22.1 Vstupní data

Délka dílce: 1,044 m

Průřez

Úsek č.	Začátek [m]	Konec [m]	Průřez	Natočení [°]
1	0,000	1,044	obdélník 40x160	0,0

Materiál

Název: C24 - jehličnaté

Při výpočtu je zohledněn součinitel k_h pro zvětšení pevnosti dřeva v tahu a ohybu.

Požární detail

Chráněný průřez, shora a zdola bráněno žáru

Požární ochrana:

Sádrokarton (typ A,H,E,D,R,I)

Celková tloušťka $h_p = 20,0$ mm

Spáry tenčí než 2 mm nebo vyplněné

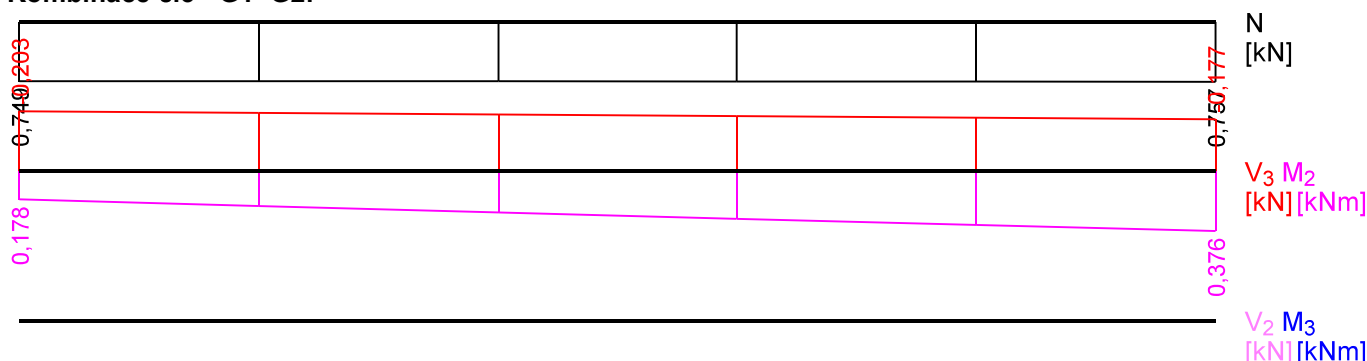
Vnitřní síly

Celkový počet zatěžovacích případů: 1

Kombinace č.3 - G1+G2:

	N[kN]	V ₃ [kN]	M ₂ [kNm]	V ₂ [kN]	M ₃ [kNm]
Max. hodnota	0,757	-0,177	0,376	0,000	0,000
Min. hodnota	0,749	-0,203	0,178	0,000	0,000

Kombinace č.3 - G1+G2:



22.2 Výsledky

Celkové posouzení

Posouzení v čase požadované požární odolnosti $t = 15,0$ min:

Metoda redukovaného průřezu

Hloubka zuhelnatění $d_{char,n} = 0,0$ mm

Rozhodující zatěžovací případ: Kombinace č.3 - G1+G2

Vnitřní síly: $N = 0,757$ kN; $M_y = 0,376$ kNm; $M_z = 0,000$ kNm; $V_z = -0,177$ kN; $V_y = 0,000$ kN

Posudek kombinace tahu a ohybu:

Únosnosti: $N_{R,t,fi} = 98,000$ kN; $M_{y,R,t,fi} = 4,480$ kNm

$0,008 + 0,084 + 0,0 = 0,092 < 1$ **Vyhovuje**

Posudek smyku od posouvajících sil:

Únosnost: $V_{R,t,fi} = 12,507$ kN

$0,014 < 1$ **Vyhovuje**

Průřez vyhovuje

23 23:DD

23.1 Vstupní data

Délka dílce: 0,600 m

Průřez

Úsek č.	Začátek [m]	Konec [m]	Průřez	Natočení [°]
1	0,000	0,600	obdélník 40x160	0,0

Materiál

Název: C24 - jehličnaté

Při výpočtu je zohledněn součinitel k_h pro zvětšení pevnosti dřeva v tahu a ohybu.

Požární detail

Chráněný průřez, shora a zdola bráněno žáru

Požární ochrana:

Sádrokarton (typ A,H,E,D,R,I)

Celková tloušťka $h_p = 20,0$ mm

Spáry tenčí než 2 mm nebo vyplněné

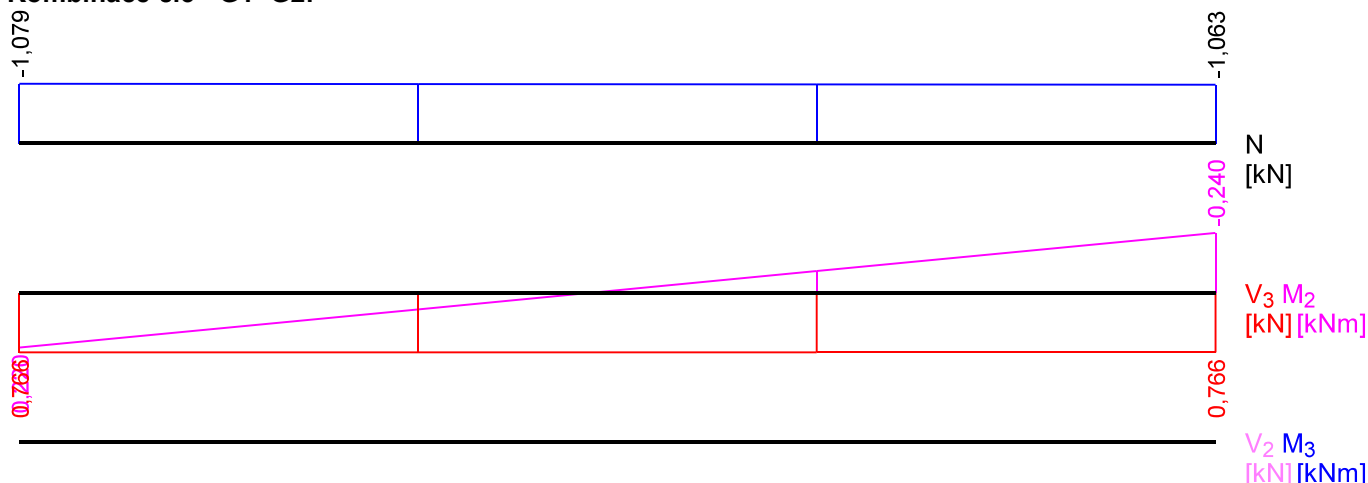
Vnitřní síly

Celkový počet zatěžovacích případů: 1

Kombinace č.3 - G1+G2:

	N[kN]	V ₃ [kN]	M ₂ [kNm]	V ₂ [kN]	M ₃ [kNm]
Max. hodnota	-1,063	0,766	0,220	0,000	0,000
Min. hodnota	-1,079	0,766	-0,240	0,000	0,000

Kombinace č.3 - G1+G2:



23.2 Výsledky

Celkové posouzení

Posouzení v čase požadované požární odolnosti $t = 15,0$ min:

Metoda redukovaného průřezu

Hloubka zuhelnatění $d_{char,n} = 0,0$ mm

Rozhodující zatěžovací případ: Kombinace č.3 - G1+G2

Vnitřní síly: $N = -1,079$ kN; $M_y = 0,220$ kNm; $M_z = 0,000$ kNm; $V_z = 0,766$ kN; $V_y = 0,000$ kN

Posudek kombinace tlaku a ohybu:

Únosnosti: $N_{R,t,fi} = 20032,706$ kN; $M_{y,R,t,fi} = -4,480$ kNm

$|0,0 + -0,049 + 0,0| = |-0,049| < 1$ **Vyhovuje**

Posudek smyku od posouvajících sil:

Únosnost: $V_{R,t,fi} = 12,507$ kN

$0,061 < 1$ **Vyhovuje**

Průřez vyhovuje

24 24:DD

24.1 Vstupní data

Délka dílce: 1,345 m

Průřez

Úsek č.	Začátek [m]	Konec [m]	Průřez	Natočení [°]
1	0,000	1,345	obdélník 40x160	0,0

Materiál

Název: C24 - jehličnaté

Při výpočtu je zohledněn součinitel k_h pro zvětšení pevnosti dřeva v tahu a ohybu.

Požární detail

Chráněný průřez, shora a zdola bráněno žáru

Požární ochrana:

Sádrokarton (typ A,H,E,D,R,I)

Celková tloušťka $h_p = 20,0$ mm

Spáry tenčí než 2 mm nebo vyplněné

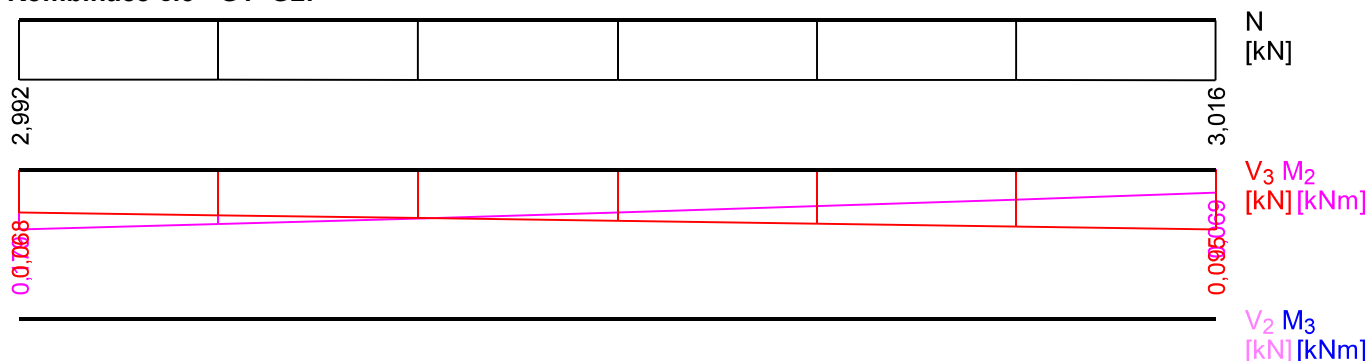
Vnitřní síly

Celkový počet zatěžovacích případů: 1

Kombinace č.3 - G1+G2:

	N[kN]	V ₃ [kN]	M ₂ [kNm]	V ₂ [kN]	M ₃ [kNm]
Max. hodnota	3,016	0,095	0,179	0,000	0,000
Min. hodnota	2,992	0,068	0,069	0,000	0,000

Kombinace č.3 - G1+G2:



24.2 Výsledky

Celkové posouzení

Posouzení v čase požadované požární odolnosti $t = 15,0$ min:

Metoda redukovaného průřezu

Hloubka zuhelnatění $d_{char,n} = 0,0$ mm

Rozhodující zatěžovací případ: Kombinace č.3 - G1+G2

Vnitřní síly: $N = 2,992$ kN; $M_y = 0,179$ kNm; $M_z = 0,000$ kNm; $V_z = 0,068$ kN; $V_y = 0,000$ kN

Posudek kombinace tahu a ohybu:

Únosnosti: $N_{R,t,fi} = 98,000$ kN; $M_{y,R,t,fi} = 4,480$ kNm

$0,031 + 0,04 + 0,0 = 0,071 < 1$ **Vyhovuje**

Posudek smyku od posouvajících sil:

Únosnost: $V_{R,t,fi} = 12,507$ kN

$0,005 < 1$ **Vyhovuje**

Průřez vyhovuje

25 25:DD

25.1 Vstupní data

Délka dílce: 0,900 m

Průřez

Úsek č.	Začátek [m]	Konec [m]	Průřez	Natočení [°]
1	0,000	0,900	obdélník 40x160	0,0

Materiál

Název: C24 - jehličnaté

Při výpočtu je zohledněn součinitel k_h pro zvětšení pevnosti dřeva v tahu a ohybu.

Požární detail

Chráněný průřez, shora a zdola bráněno žaru

Požární ochrana:

Sádrokarton (typ A,H,E,D,R,I)

Celková tloušťka $h_p = 20,0$ mm

Spáry tenčí než 2 mm nebo vyplněné

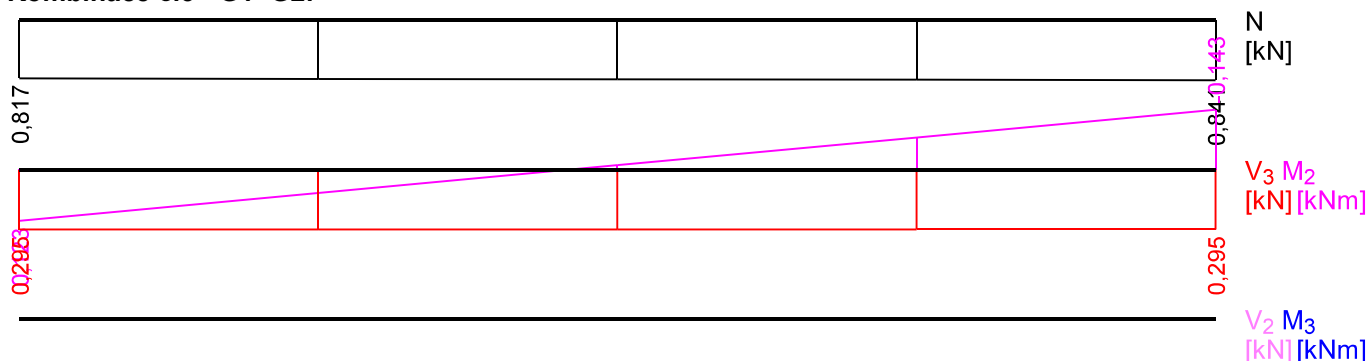
Vnitřní síly

Celkový počet zatěžovacích případů: 1

Kombinace č.3 - G1+G2:

	N[kN]	V ₃ [kN]	M ₂ [kNm]	V ₂ [kN]	M ₃ [kNm]
Max. hodnota	0,841	0,295	0,123	0,000	0,000
Min. hodnota	0,817	0,295	-0,143	0,000	0,000

Kombinace č.3 - G1+G2:



25.2 Výsledky

Celkové posouzení

Posouzení v čase požadované požární odolnosti $t = 15,0$ min:

Metoda redukovaného průřezu

Hloubka zuhelnatění $d_{char,n} = 0,0$ mm

Rozhodující zatěžovací případ: Kombinace č.3 - G1+G2

Vnitřní síly: $N = 0,841$ kN; $M_y = -0,143$ kNm; $M_z = 0,000$ kNm; $V_z = 0,295$ kN; $V_y = 0,000$ kN

Posudek kombinace tahu a ohybu:

Únosnosti: $N_{R,t,fi} = 98,000$ kN; $M_{y,R,t,fi} = -4,480$ kNm

$0,009 + 0,032 + 0,0 = 0,04 < 1$ **Vyhovuje**

Posudek smyku od posouvajících sil:

Únosnost: $V_{R,t,fi} = 12,507$ kN

$0,024 < 1$ **Vyhovuje**

Průřez vyhovuje

26 26:DD

26.1 Vstupní data

Délka dílce: 1,345 m

Průřez

Úsek č.	Začátek [m]	Konec [m]	Průřez	Natočení [°]
1	0,000	1,345	obdélník 40x160	0,0

Materiál

Název: C24 - jehličnaté

Při výpočtu je zohledněn součinitel k_h pro zvětšení pevnosti dřeva v tahu a ohybu.

Požární detail

Chráněný průřez, shora a zdola bráněno žaru

Požární ochrana:

Sádrokarton (typ A,H,E,D,R,I)

Celková tloušťka $h_p = 20,0$ mm

Spáry tenčí než 2 mm nebo vyplněné

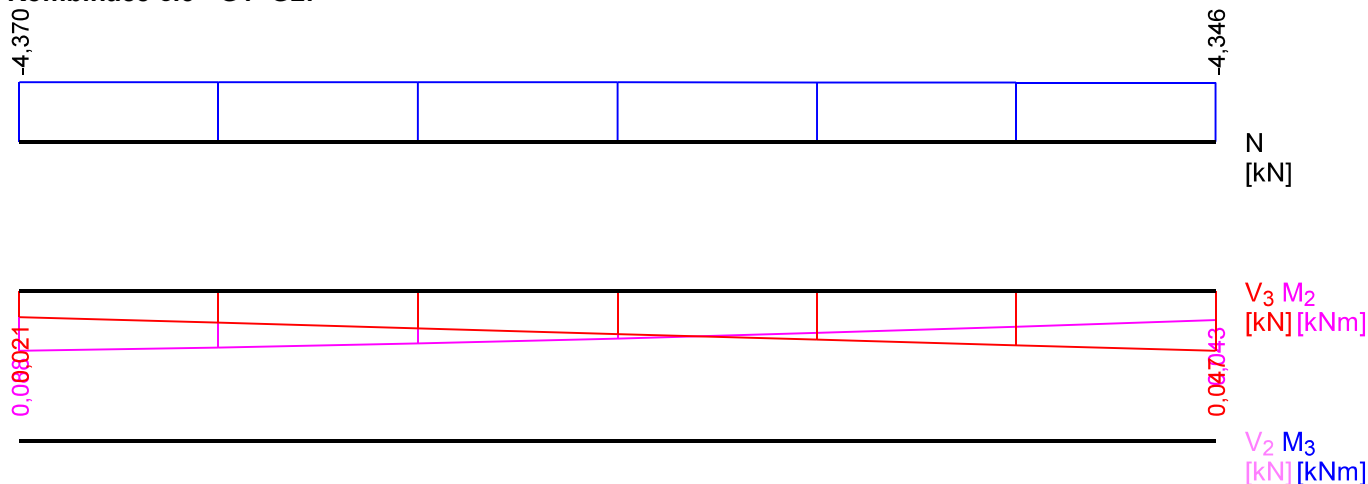
Vnitřní síly

Celkový počet zatěžovacích případů: 1

Kombinace č.3 - G1+G2:

	N[kN]	V ₃ [kN]	M ₂ [kNm]	V ₂ [kN]	M ₃ [kNm]
Max. hodnota	-4,346	0,047	0,088	0,000	0,000
Min. hodnota	-4,370	0,021	0,043	0,000	0,000

Kombinace č.3 - G1+G2:



26.2 Výsledky

Celkové posouzení

Posouzení v čase požadované požární odolnosti $t = 15,0$ min:

Metoda redukovaného průřezu

Hloubka zuhelnatění $d_{char,n} = 0,0$ mm

Rozhodující zatěžovací případ: Kombinace č.3 - G1+G2

Vnitřní síly: $N = -4,370$ kN; $M_y = 0,088$ kNm; $M_z = 0,000$ kNm; $V_z = 0,021$ kN; $V_y = 0,000$ kN

Posudek kombinace tlaku a ohybu:

Únosnosti: $N_{R,t,fi} = 4945,010$ kN; $M_{y,R,t,fi} = -4,480$ kNm

$|-0,001 + -0,02 + 0,0| = |-0,021| < 1$ **Vyhovuje**

Posudek smyku od posouvajících sil:

Únosnost: $V_{R,t,fi} = 12,507$ kN

$0,002 < 1$ **Vyhovuje**

Průřez vyhovuje

27 27:DD

27.1 Vstupní data

Délka dílce: 1,200 m

Průřez

Úsek č.	Začátek [m]	Konec [m]	Průřez	Natočení [°]
1	0,000	1,200	obdélník 40x160	0,0

Materiál

Název: C24 - jehličnaté

Při výpočtu je zohledněn součinitel k_h pro zvětšení pevnosti dřeva v tahu a ohybu.

Požární detail

Chráněný průřez, shora a zdola bráněno žáru

Požární ochrana:

Sádrokarton (typ A,H,E,D,R,I)
Celková tloušťka $h_p = 20,0$ mm
Spáry tenčí než 2 mm nebo vyplněné

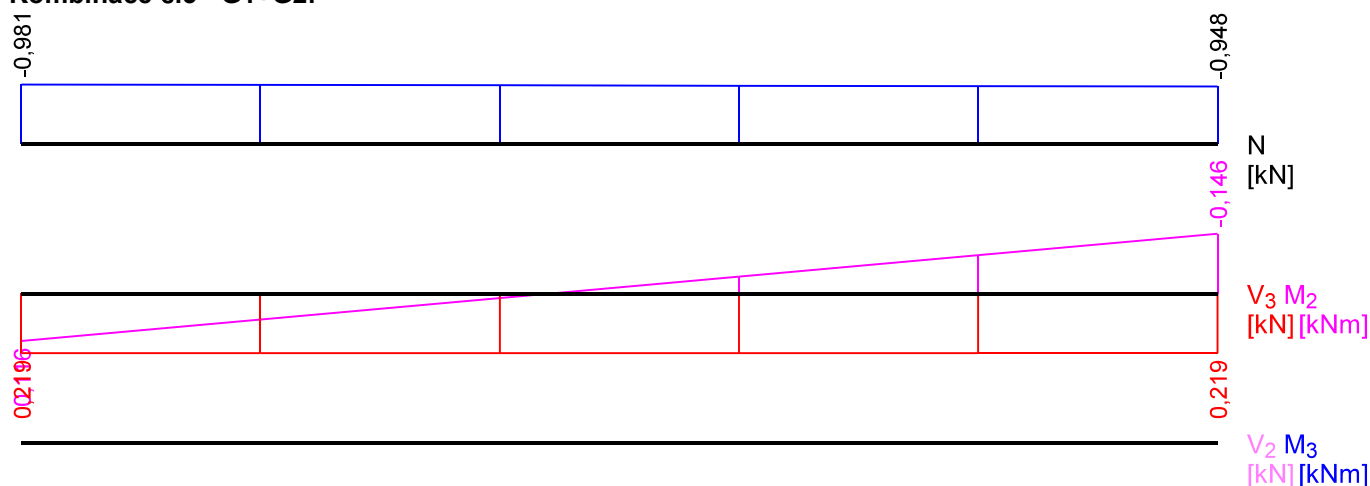
Vnitřní síly

Celkový počet zatěžovacích případů: 1

Kombinace č.3 - G1+G2:

	N[kN]	V ₃ [kN]	M ₂ [kNm]	V ₂ [kN]	M ₃ [kNm]
Max. hodnota	-0,948	0,219	0,116	0,000	0,000
Min. hodnota	-0,981	0,219	-0,146	0,000	0,000

Kombinace č.3 - G1+G2:



27.2 Výsledky

Celkové posouzení

Posouzení v čase požadované požární odolnosti $t = 15,0$ min:

Metoda redukovaného průřezu

Hloubka zuhelnatění $d_{char,n} = 0,0$ mm

Rozhodující zatěžovací případ: Kombinace č.3 - G1+G2

Vnitřní síly: $N = -0,948$ kN; $M_y = -0,146$ kNm; $M_z = 0,000$ kNm; $V_z = 0,219$ kN; $V_y = 0,000$ kN

Posudek kombinace tlaku a ohybu:

Únosnosti: $N_{R,t,fi} = 22784,531$ kN; $M_{y,R,t,fi} = 4,480$ kNm

$|0,0 + -0,033 + 0,0| = |-0,033| < 1$ **Vyhovuje**

Posudek smyku od posouvajících sil:

Únosnost: $V_{R,t,fi} = 12,507$ kN

$0,017 < 1$ **Vyhovuje**

Průřez vyhovuje

28 28:DD

28.1 Vstupní data

Délka dílce: 1,803 m

Průřez

Úsek č.	Začátek [m]	Konec [m]	Průřez	Natočení [°]
1	0,000	1,803	obdélník 40x160	0,0

Materiál

Název: C24 - jehličnaté

Při výpočtu je zohledněn součinitel k_h pro zvětšení pevnosti dřeva v tahu a ohybu.

Požární detail

Chráněný průřez, shora a zdola bráněno žáru

Požární ochrana:

Sádkarton (typ A,H,E,D,R,I)

Celková tloušťka $h_p = 20,0$ mm

Spáry tenčí než 2 mm nebo vyplněné

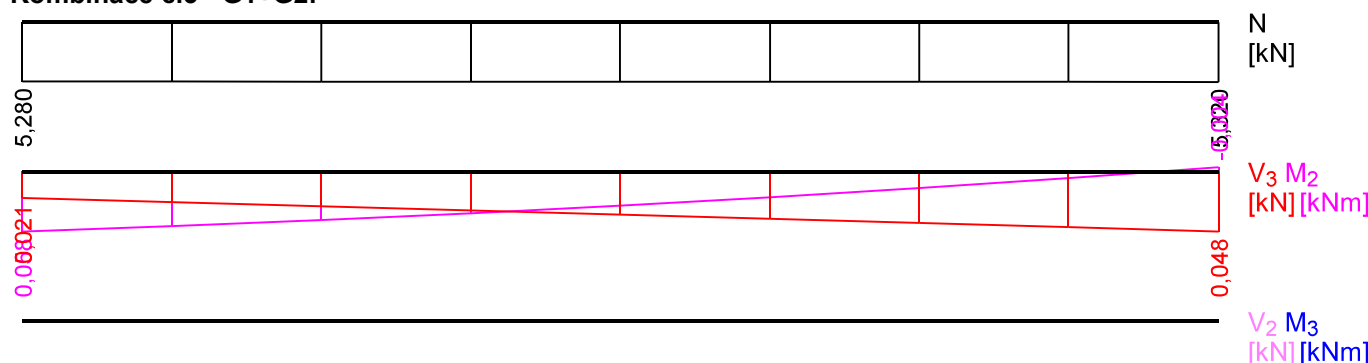
Vnitřní síly

Celkový počet zatěžovacích případů: 1

Kombinace č.3 - G1+G2:

	N[kN]	V ₃ [kN]	M ₂ [kNm]	V ₂ [kN]	M ₃ [kNm]
Max. hodnota	5,320	0,048	0,058	0,000	0,000
Min. hodnota	5,280	0,021	-0,004	0,000	0,000

Kombinace č.3 - G1+G2:



28.2 Výsledky

Celkové posouzení

Posouzení v čase požadované požární odolnosti $t = 15,0$ min:

Metoda redukovaného průřezu

Hloubka zuhelnatění $d_{char,n} = 0,0$ mm

Rozhodující zatěžovací případ: Kombinace č.3 - G1+G2

Vnitřní síly: $N = 5,280$ kN; $M_y = 0,058$ kNm; $M_z = 0,000$ kNm; $V_z = 0,021$ kN; $V_y = 0,000$ kN

Posudek kombinace tahu a ohybu:

Únosnosti: $N_{R,t,fi} = 98,000$ kN; $M_{y,R,t,fi} = 4,480$ kNm

$0,054 + 0,013 + 0,0 = 0,067 < 1$ **Vyhovuje**

Posudek smyku od posouvajících sil:

Únosnost: $V_{R,t,fi} = 12,507$ kN

$0,002 < 1$ **Vyhovuje**

Průřez vyhovuje

29 29:DD

29.1 Vstupní data

Délka dílce: 1,500 m

Průřez

Úsek č.	Začátek [m]	Konec [m]	Průřez	Natočení [°]
1	0,000	1,500	obdélník 40x160	0,0

Materiál

Název: C24 - jehličnaté

Při výpočtu je zohledněn součinitel k_h pro zvětšení pevnosti dřeva v tahu a ohybu.

Požární detail

Chráněný průřez, shora a zdola bráněno žáru

Požární ochrana:

Sádkarton (typ A,H,E,D,R,I)

Celková tloušťka $h_p = 20,0$ mm

Spáry tenčí než 2 mm nebo vyplněné

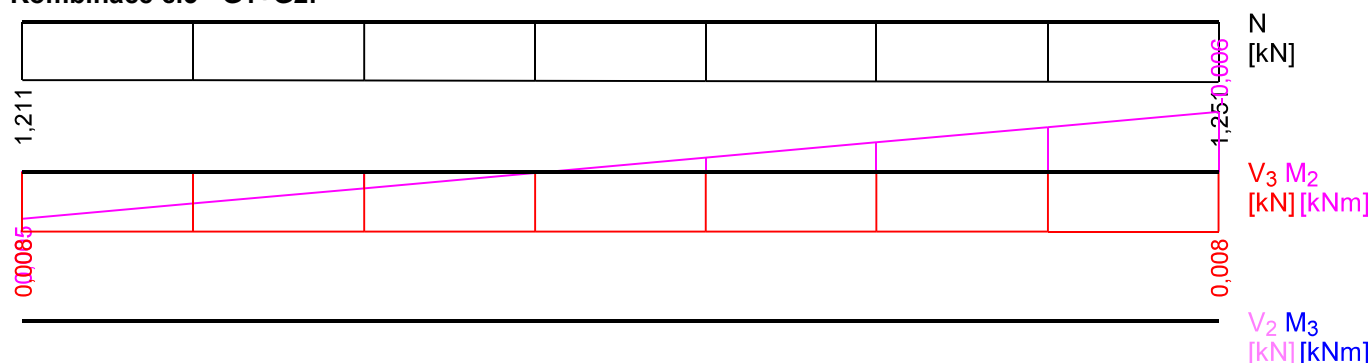
Vnitřní síly

Celkový počet zatěžovacích případů: 1

Kombinace č.3 - G1+G2:

	N[kN]	V ₃ [kN]	M ₂ [kNm]	V ₂ [kN]	M ₃ [kNm]
Max. hodnota	1,251	0,008	0,005	0,000	0,000
Min. hodnota	1,211	0,008	-0,006	0,000	0,000

Kombinace č.3 - G1+G2:



29.2 Výsledky

Celkové posouzení

Posouzení v čase požadované požární odolnosti $t = 15,0$ min:

Metoda redukovaného průřezu

Hloubka zuhelnatění $d_{char,n} = 0,0$ mm

Rozhodující zatěžovací případ: Kombinace č.3 - G1+G2

Vnitřní síly: $N = 1,251$ kN; $M_y = -0,006$ kNm; $M_z = 0,000$ kNm; $V_z = 0,008$ kN; $V_y = 0,000$ kN

Posudek kombinace tahu a ohybu:

Únosnosti: $N_{R,t,fi} = 98,000$ kN; $M_{y,R,t,fi} = -4,480$ kNm

$0,013 + 0,001 + 0,0 = 0,014 < 1$ **Vyhovuje**

Posudek smyku od posouvajících sil:

Únosnost: $V_{R,t,fi} = 12,507$ kN

$0,001 < 1$ **Vyhovuje**

Průřez vyhovuje

30 30:DD

30.1 Vstupní data

Délka dílce: 1,803 m

Průřez

Úsek č.	Začátek [m]	Konec [m]	Průřez	Natočení [°]
1	0,000	1,803	obdélník 40x160	0,0

Materiál

Název: C24 - jehličnaté

Při výpočtu je zohledněn součinitel k_h pro zvětšení pevnosti dřeva v tahu a ohybu.

Požární detail

Chráněný průřez, shora a zdola bráněno žáru

Požární ochrana:

Sádkarton (typ A,H,E,D,R,I)

Celková tloušťka $h_p = 20,0$ mm

Spáry tenčí než 2 mm nebo vyplněné

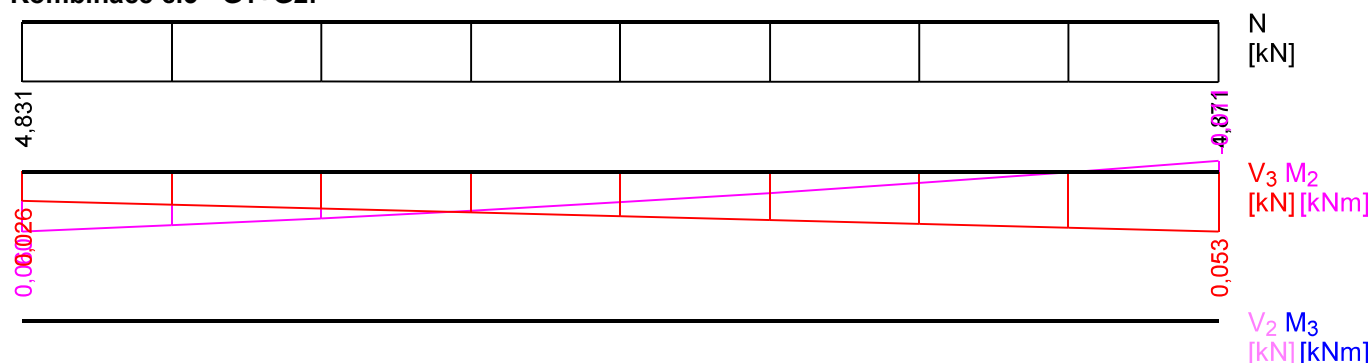
Vnitřní síly

Celkový počet zatěžovacích případů: 1

Kombinace č.3 - G1+G2:

	N[kN]	V ₃ [kN]	M ₂ [kNm]	V ₂ [kN]	M ₃ [kNm]
Max. hodnota	4,871	0,053	0,060	0,000	0,000
Min. hodnota	4,831	0,026	-0,011	0,000	0,000

Kombinace č.3 - G1+G2:



30.2 Výsledky

Celkové posouzení

Posouzení v čase požadované požární odolnosti $t = 15,0$ min:

Metoda redukovaného průřezu

Hloubka zuhelnatění $d_{char,n} = 0,0$ mm

Rozhodující zatěžovací případ: Kombinace č.3 - G1+G2

Vnitřní síly: $N = 4,831$ kN; $M_y = 0,060$ kNm; $M_z = 0,000$ kNm; $V_z = 0,026$ kN; $V_y = 0,000$ kN

Posudek kombinace tahu a ohybu:

Únosnosti: $N_{R,t,fi} = 98,000$ kN; $M_{y,R,t,fi} = 4,480$ kNm

$0,049 + 0,013 + 0,0 = 0,063 < 1$ **Vyhovuje**

Posudek smyku od posouvajících sil:

Únosnost: $V_{R,t,fi} = 12,507$ kN

$0,002 < 1$ **Vyhovuje**

Průřez vyhovuje

31 31:DD

31.1 Vstupní data

Délka dílce: 1,200 m

Průřez

Úsek č.	Začátek [m]	Konec [m]	Průřez	Natočení [°]
1	0,000	1,200	obdélník 40x160	0,0

Materiál

Název: C24 - jehličnaté

Při výpočtu je zohledněn součinitel k_h pro zvětšení pevnosti dřeva v tahu a ohybu.

Požární detail

Chráněný průřez, shora a zdola bráněno žáru

Požární ochrana:

Sádkartón (typ A,H,E,D,R,I)

Celková tloušťka $h_p = 20,0$ mm

Spáry tenčí než 2 mm nebo vyplněné

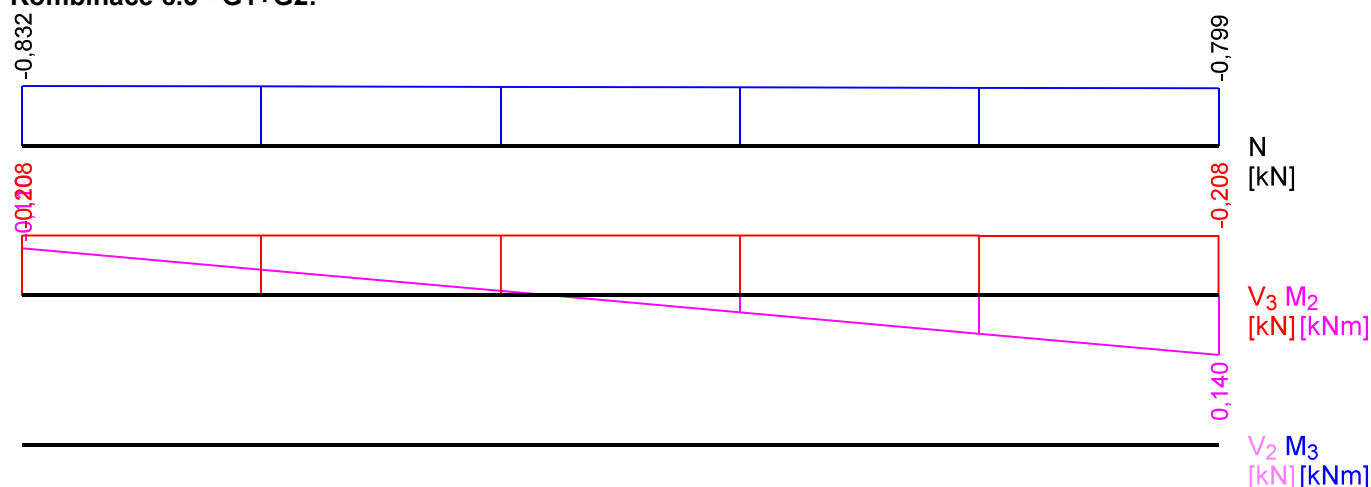
Vnitřní síly

Celkový počet zatěžovacích případů: 1

Kombinace č.3 - G1+G2:

	N[kN]	V ₃ [kN]	M ₂ [kNm]	V ₂ [kN]	M ₃ [kNm]
Max. hodnota	-0,799	-0,208	0,140	0,000	0,000
Min. hodnota	-0,832	-0,208	-0,110	0,000	0,000

Kombinace č.3 - G1+G2:



31.2 Výsledky

Celkové posouzení

Posouzení v čase požadované požární odolnosti $t = 15,0$ min:

Metoda redukovaného průřezu

Hloubka zuhelnatění $d_{char,n} = 0,0$ mm

Rozhodující zatěžovací případ: Kombinace č.3 - G1+G2

Vnitřní síly: $N = -0,799$ kN; $M_y = 0,140$ kNm; $M_z = 0,000$ kNm; $V_y = -0,208$ kN; $V_z = 0,000$ kN

Posudek kombinace tlaku a ohybu:

Únosnosti: $N_{R,t,fi} = 27030,587$ kN; $M_{y,R,t,fi} = -4,480$ kNm

$|0,0 + -0,031 + 0,0| = |-0,031| < 1$ **Vyhovuje**

Posudek smyku od posouvajících sil:

Únosnost: $V_{R,t,fi} = 12,507$ kN

$0,017 < 1$ **Vyhovuje**

Průřez vyhovuje

32 32:DD

32.1 Vstupní data

Délka dílce: 1,345 m

Průřez

Úsek č.	Začátek [m]	Konec [m]	Průřez	Natočení [°]
1	0,000	1,345	obdélník 40x160	0,0

Material

Název: C24 - jehličnaté

Při výpočtu je zohledněn součinitel k_h pro zvětšení pevnosti dřeva v tahu a ohybu.

Požární detail

Chráněný průřez, shora a zdola bráněno žáru

Požární ochrana:

Sádkarton (typ A,H,E,D,R,I)

Celková tloušťka $h_p = 20,0$ mm

Spáry tenčí než 2 mm nebo vyplněné

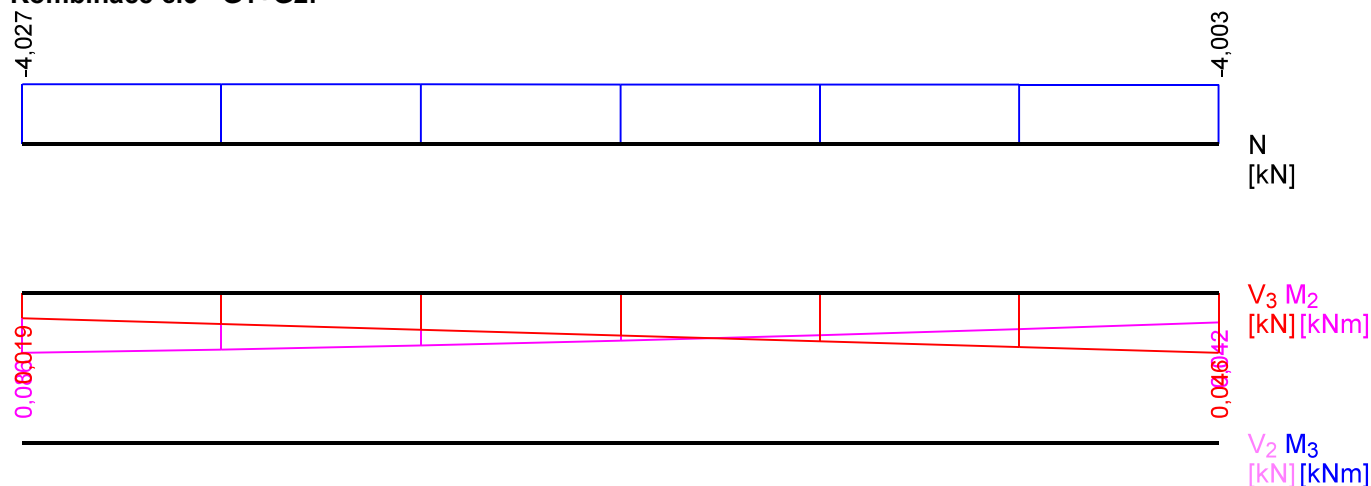
Vnitřní síly

Celkový počet zatěžovacích případů: 1

Kombinace č.3 - G1+G2:

	N[kN]	V ₃ [kN]	M ₂ [kNm]	V ₂ [kN]	M ₃ [kNm]
Max. hodnota	-4,003	0,046	0,086	0,000	0,000
Min. hodnota	-4,027	0,019	0,042	0,000	0,000

Kombinace č.3 - G1+G2:



32.2 Výsledky

Celkové posouzení

Posouzení v čase požadované požární odolnosti $t = 15,0$ min:

Metoda redukovaného průřezu

Hloubka zuhelnatění $d_{char,n} = 0,0$ mm

Rozhodující zatěžovací případ: Kombinace č.3 - G1+G2

Vnitřní síly: $N = -4,027$ kN; $M_y = 0,086$ kNm; $M_z = 0,000$ kNm; $V_z = 0,019$ kN; $V_y = 0,000$ kN

Posudek kombinace tlaku a ohybu:

Únosnosti: $N_{R,t,fi} = 5365,920$ kN; $M_{y,R,t,fi} = -4,480$ kNm

$|-0,001 + -0,019 + 0,0| = |-0,02| < 1$ **Vyhovuje**

Posudek smyku od posouvajících sil:

Únosnost: $V_{R,t,fi} = 12,507$ kN

$0,002 < 1$ **Vyhovuje**

Průřez vyhovuje

33 33:DD

33.1 Vstupní data

Délka dílce: 0,900 m

Průřez

Úsek č.	Začátek [m]	Konec [m]	Průřez	Natočení [°]
1	0,000	0,900	obdélník 40x160	0,0

Materiál

Název: C24 - jehličnaté

Při výpočtu je zohledněn součinitel k_h pro zvětšení pevnosti dřeva v tahu a ohybu.

Požární detail

Chráněný průřez, shora a zdola bráněno žáru

Požární ochrana:

Sádkarton (typ A,H,E,D,R,I)

Celková tloušťka $h_p = 20,0$ mm

Spáry tenčí než 2 mm nebo vyplněné

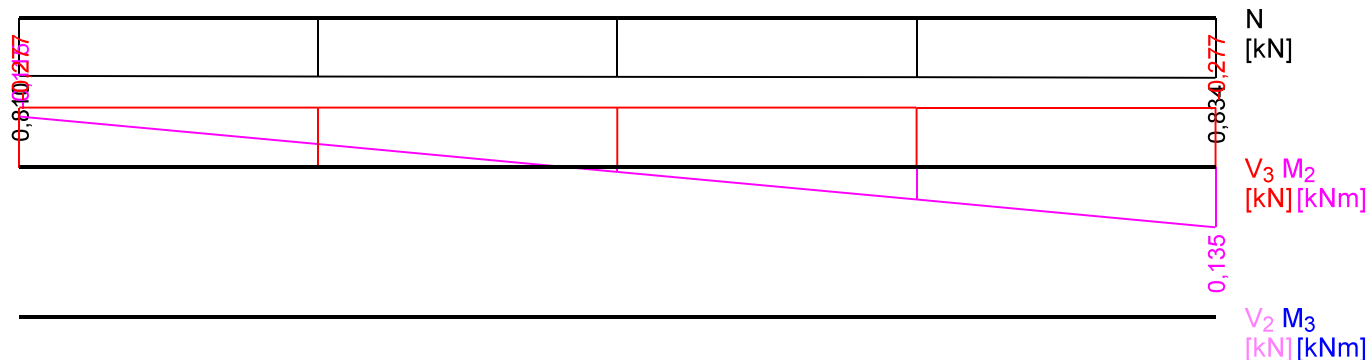
Vnitřní síly

Celkový počet zatěžovacích případů: 1

Kombinace č.3 - G1+G2:

	N[kN]	V ₃ [kN]	M ₂ [kNm]	V ₂ [kN]	M ₃ [kNm]
Max. hodnota	0,834	-0,277	0,135	0,000	0,000
Min. hodnota	0,810	-0,277	-0,115	0,000	0,000

Kombinace č.3 - G1+G2:



33.2 Výsledky

Celkové posouzení

Posouzení v čase požadované požární odolnosti $t = 15,0$ min:

Metoda redukovaného průřezu

Hloubka zuhelnatění $d_{char,n} = 0,0$ mm

Rozhodující zatěžovací případ: Kombinace č.3 - G1+G2

Vnitřní síly: $N = 0,834$ kN; $M_y = 0,135$ kNm; $M_z = 0,000$ kNm; $V_z = -0,277$ kN; $V_y = 0,000$ kN

Posudek kombinace tahu a ohybu:

Únosnosti: $N_{R,t,fi} = 98,000$ kN; $M_{y,R,t,fi} = 4,480$ kNm

$0,009 + 0,03 + 0,0 = 0,039 < 1$ **Vyhovuje**

Posudek smyku od posouvajících sil:

Únosnost: $V_{R,t,fi} = 12,507$ kN

$0,022 < 1$ **Vyhovuje**

Průřez vyhovuje

34 34:DD

34.1 Vstupní data

Délka dílce: 1,345 m

Průřez

Úsek č.	Začátek [m]	Konec [m]	Průřez	Natočení [°]
1	0,000	1,345	obdélník 40x160	0,0

Materiál

Název: C24 - jehličnaté

Při výpočtu je zohledněn součinitel k_h pro zvětšení pevnosti dřeva v tahu a ohybu.

Požární detail

Chráněný průřez, shora a zdola bráněno žáru

Požární ochrana:

Sádkartón (typ A,H,E,D,R,I)

Celková tloušťka $h_p = 20,0$ mm

Spáry tenčí než 2 mm nebo vyplněné

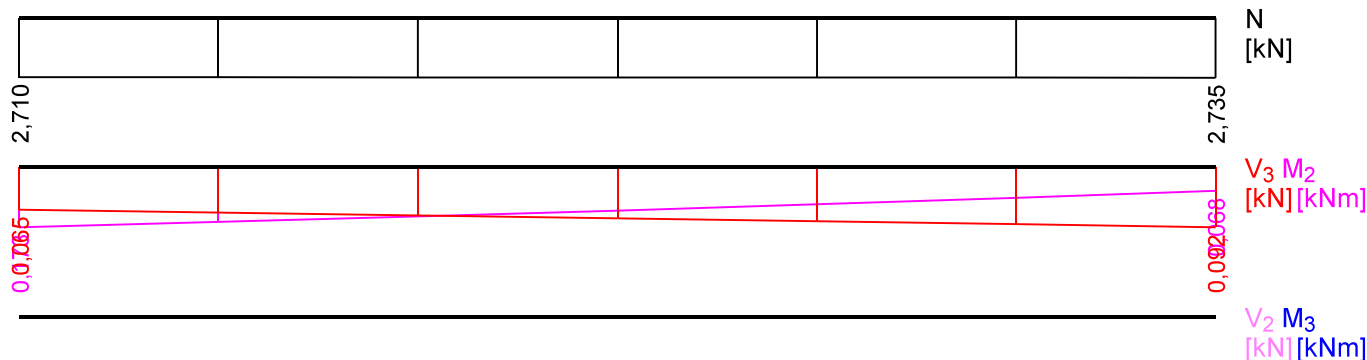
Vnitřní síly

Celkový počet zatěžovacích případů: 1

Kombinace č.3 - G1+G2:

	N[kN]	V ₃ [kN]	M ₂ [kNm]	V ₂ [kN]	M ₃ [kNm]
Max. hodnota	2,735	0,092	0,173	0,000	0,000
Min. hodnota	2,710	0,065	0,068	0,000	0,000

Kombinace č.3 - G1+G2:



34.2 Výsledky

Celkové posouzení

Posouzení v čase požadované požární odolnosti $t = 15,0$ min:

Metoda redukovaného průřezu

Hloubka zuhelnatění $d_{char,n} = 0,0$ mm

Rozhodující zatěžovací případ: Kombinace č.3 - G1+G2

Vnitřní síly: $N = 2,710$ kN; $M_y = 0,173$ kNm; $M_z = 0,000$ kNm; $V_z = 0,065$ kN; $V_y = 0,000$ kN

Posudek kombinace tahu a ohybu:

Únosnosti: $N_{R,t,fi} = 98,000$ kN; $M_{y,R,t,fi} = 4,480$ kNm

$0,028 + 0,039 + 0,0 = 0,066 < 1$ **Vyhovuje**

Posudek smyku od posouvajících sil:

Únosnost: $V_{R,t,fi} = 12,507$ kN

$0,005 < 1$ **Vyhovuje**

Průřez vyhovuje

35 35:DD

35.1 Vstupní data

Délka dílce: 0,600 m

Průřez

Úsek č.	Začátek [m]	Konec [m]	Průřez	Natočení [°]
1	0,000	0,600	obdélník 40x160	0,0

Materiál

Název: C24 - jehličnaté

Při výpočtu je zohledněn součinitel k_h pro zvětšení pevnosti dřeva v tahu a ohybu.

Požární detail

Chráněný průřez, shora a zdola bráněno žáru

Požární ochrana:

Sádkarton (typ A,H,E,D,R,I)

Celková tloušťka $h_p = 20,0$ mm

Spáry tenčí než 2 mm nebo vyplněné

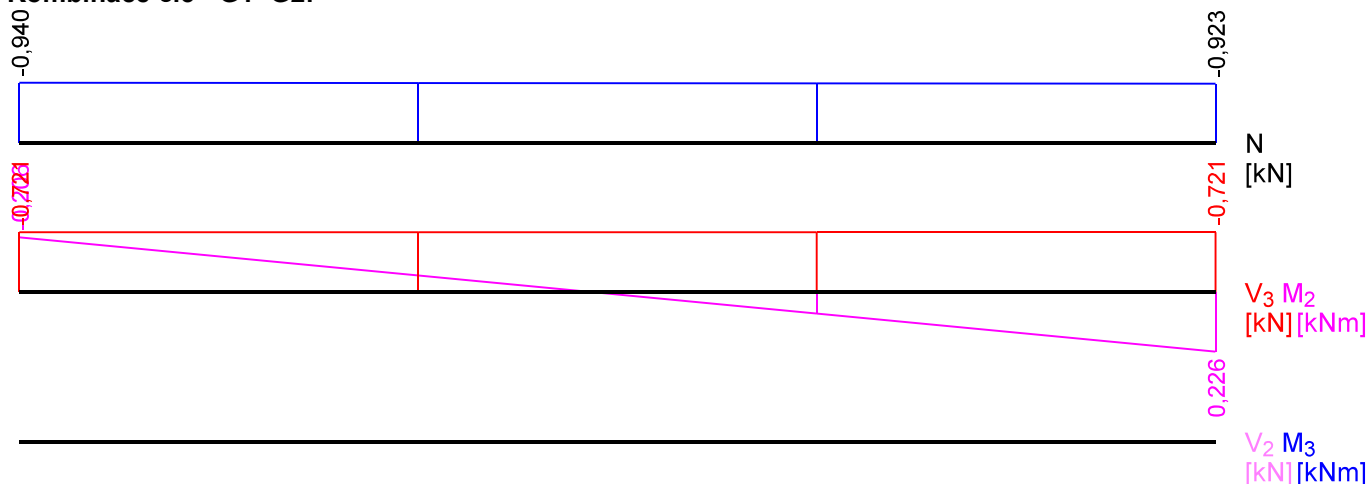
Vnitřní síly

Celkový počet zatěžovacích případů: 1

Kombinace č.3 - G1+G2:

	N[kN]	V ₃ [kN]	M ₂ [kNm]	V ₂ [kN]	M ₃ [kNm]
Max. hodnota	-0,923	-0,721	0,226	0,000	0,000
Min. hodnota	-0,940	-0,721	-0,206	0,000	0,000

Kombinace č.3 - G1+G2:



35.2 Výsledky

Celkové posouzení

Posouzení v čase požadované požární odolnosti $t = 15,0$ min:

Metoda redukovaného průřezu

Hloubka zuhelnatění $d_{char,n} = 0,0$ mm

Rozhodující zatěžovací případ: Kombinace č.3 - G1+G2

Vnitřní síly: $N = -0,940$ kN; $M_y = -0,206$ kNm; $M_z = 0,000$ kNm; $V_z = -0,721$ kN; $V_y = 0,000$ kN

Posudek kombinace tlaku a ohybu:

Únosnosti: $N_{R,t,fi} = 22999,146$ kN; $M_{y,R,t,fi} = 4,480$ kNm

$|0,0 + -0,046 + 0,0| = |-0,046| < 1$ **Vyhovuje**

Posudek smyku od posouvajících sil:

Únosnost: $V_{R,t,fi} = 12,507$ kN

$0,058 < 1$ **Vyhovuje**

Průřez vyhovuje

36 36:DD

36.1 Vstupní data

Délka dílce: 1,044 m

Průřez

Úsek č.	Začátek [m]	Konec [m]	Průřez	Natočení [°]
1	0,000	1,044	obdélník 40x160	0,0

Materiál

Název: C24 - jehličnaté

Při výpočtu je zohledněn součinitel k_h pro zvětšení pevnosti dřeva v tahu a ohybu.

Požární detail

Chráněný průřez, shora a zdola bráněno žáru

Požární ochrana:

Sádkartón (typ A,H,E,D,R,I)

Celková tloušťka $h_p = 20,0$ mm

Spáry tenčí než 2 mm nebo vyplněné

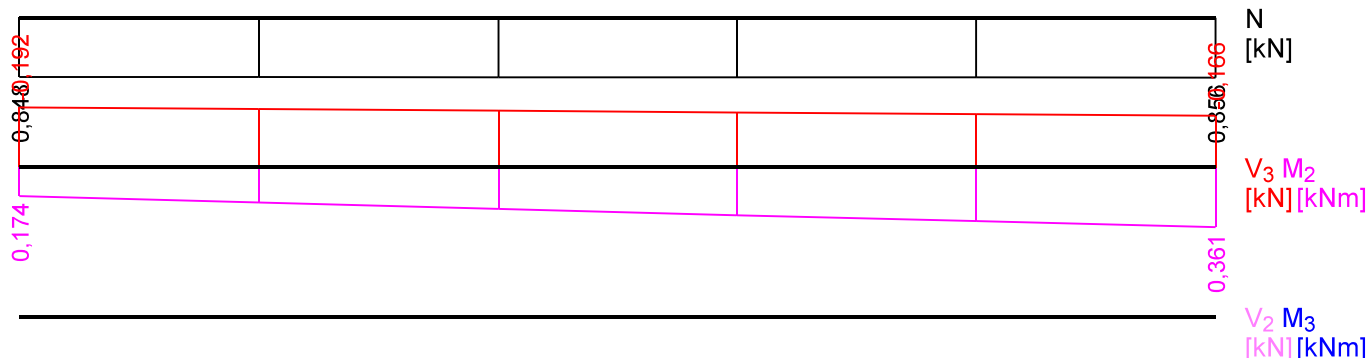
Vnitřní síly

Celkový počet zatěžovacích případů: 1

Kombinace č.3 - G1+G2:

	N[kN]	V ₃ [kN]	M ₂ [kNm]	V ₂ [kN]	M ₃ [kNm]
Max. hodnota	0,856	-0,166	0,361	0,000	0,000
Min. hodnota	0,848	-0,192	0,174	0,000	0,000

Kombinace č.3 - G1+G2:



36.2 Výsledky

Celkové posouzení

Posouzení v čase požadované požární odolnosti $t = 15,0$ min:

Metoda redukovaného průřezu

Hloubka zuhelnatění $d_{char,n} = 0,0$ mm

Rozhodující zatěžovací případ: Kombinace č.3 - G1+G2

Vnitřní síly: $N = 0,856$ kN; $M_y = 0,361$ kNm; $M_z = 0,000$ kNm; $V_z = -0,166$ kN; $V_y = 0,000$ kN

Posudek kombinace tahu a ohybu:

Únosnosti: $N_{R,t,fi} = 98,000$ kN; $M_{y,R,t,fi} = 4,480$ kNm

$0,009 + 0,08 + 0,0 = 0,089 < 1$ **Vyhovuje**

Posudek smyku od posouvajících sil:

Únosnost: $V_{R,t,fi} = 12,507$ kN

$0,013 < 1$ **Vyhovuje**

Průřez vyhovuje

37 37:DD

37.1 Vstupní data

Délka dílce: 0,300 m

Průřez

Úsek č.	Začátek [m]	Konec [m]	Průřez	Natočení [°]
1	0,000	0,300	obdélník 40x160	0,0

Materiál

Název: C24 - jehličnaté

Při výpočtu je zohledněn součinitel k_h pro zvětšení pevnosti dřeva v tahu a ohybu.

Požární detail

Chráněný průřez, shora a zdola bráněno žáru

Požární ochrana:

Sádkarton (typ A,H,E,D,R,I)

Celková tloušťka $h_p = 20,0$ mm

Spáry tenčí než 2 mm nebo vyplněné

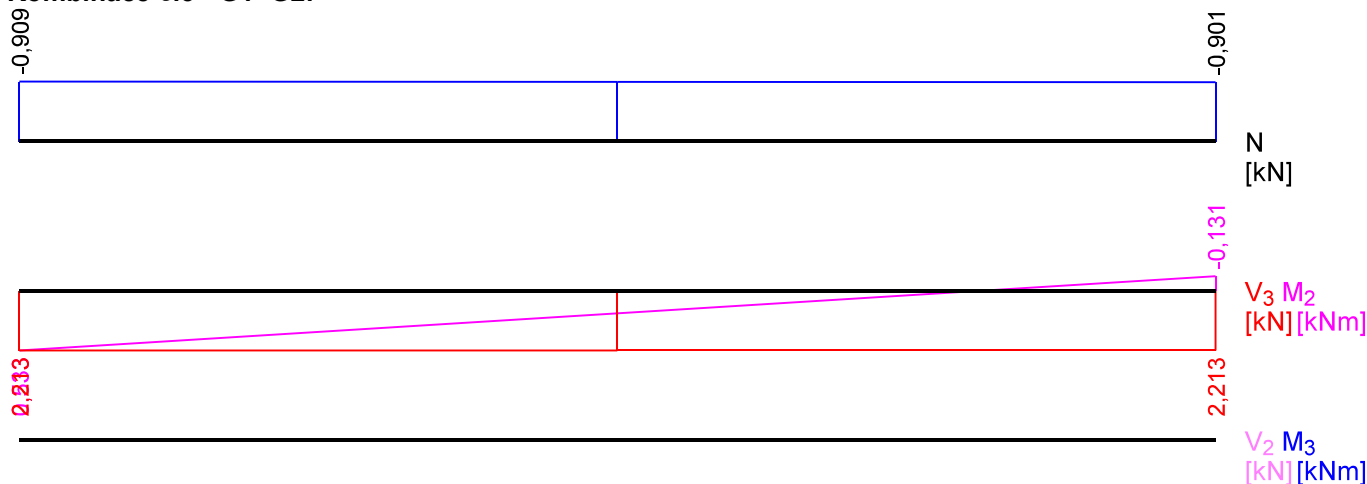
Vnitřní síly

Celkový počet zatěžovacích případů: 1

Kombinace č.3 - G1+G2:

	N[kN]	V ₃ [kN]	M ₂ [kNm]	V ₂ [kN]	M ₃ [kNm]
Max. hodnota	-0,901	2,213	0,533	0,000	0,000
Min. hodnota	-0,909	2,213	-0,131	0,000	0,000

Kombinace č.3 - G1+G2:



37.2 Výsledky

Celkové posouzení

Posouzení v čase požadované požární odolnosti $t = 15,0$ min:

Metoda redukovaného průřezu

Hloubka zuhelnatění $d_{char,n} = 0,0$ mm

Rozhodující zatěžovací případ: Kombinace č.3 - G1+G2

Vnitřní síly: $N = -0,909$ kN; $M_y = 0,533$ kNm; $M_z = 0,000$ kNm; $V_y = 2,213$ kN; $V_z = 0,000$ kN

Posudek kombinace tlaku a ohybu:

Únosnosti: $N_{R,t,fi} = 23779,340$ kN; $M_{y,R,t,fi} = -4,480$ kNm

$|0,0 + -0,119 + 0,0| = |-0,119| < 1$ **Vyhovuje**

Posudek smyku od posouvajících sil:

Únosnost: $V_{R,t,fi} = 12,507$ kN

0,177 < 1 **Vyhovuje**

Průřez vyhovuje